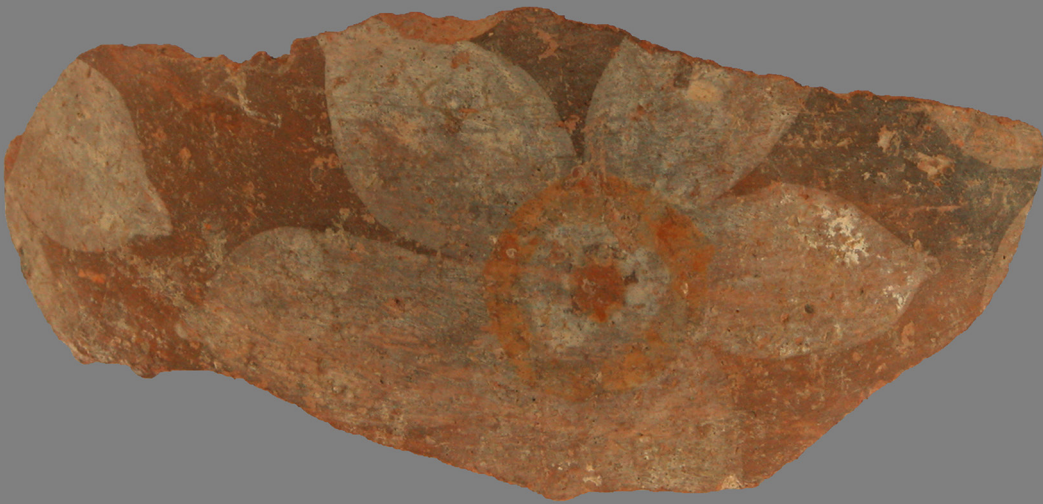


# Le classi ceramiche della “tradizione mista” a Kos nel Tardo Bronzo IA

Salvatore Vitale



Access Archaeology



# About Access Archaeology

*Access Archaeology* offers a different publishing model for specialist academic material that might traditionally prove commercially unviable, perhaps due to its sheer extent or volume of colour content, or simply due to its relatively niche field of interest. This could apply, for example, to a PhD dissertation or a catalogue of archaeological data.

All *Access Archaeology* publications are available in open-access e-pdf format and in print format. The open-access model supports dissemination in areas of the world where budgets are more severely limited, and also allows individual academics from all over the world the opportunity to access the material privately, rather than relying solely on their university or public library. Print copies, nevertheless, remain available to individuals and institutions who need or prefer them.

The material is refereed and/or peer reviewed. Copy-editing takes place prior to submission of the work for publication and is the responsibility of the author. Academics who are able to supply print-ready material are not charged any fee to publish (including making the material available in open-access). In some instances the material is type-set in-house and in these cases a small charge is passed on for layout work.

Our principal effort goes into promoting the material, both in open-access and print, where *Access Archaeology* books get the same level of attention as all of our publications which are marketed through e-alerts, print catalogues, displays at academic conferences, and are supported by professional distribution worldwide.

Open-access allows for greater dissemination of academic work than traditional print models could ever hope to support. It is common for an open-access e-pdf to be downloaded hundreds or sometimes thousands of times when it first appears on our website. Print sales of such specialist material would take years to match this figure, if indeed they ever would.

This model may well evolve over time, but its ambition will always remain to publish archaeological material that would prove commercially unviable in traditional publishing models, without passing the expense on to the academic (author or reader).



# Le classi ceramiche della “tradizione mista” a Kos nel Tardo Bronzo IA

Salvatore Vitale

Access Archaeology





ARCHAEOPRESS PUBLISHING LTD

Summertown Pavilion

18-24 Middle Way

Summertown

Oxford OX2 7LG

[www.archaeopress.com](http://www.archaeopress.com)

ISBN 978 1 78491 885 9

ISBN 978 1 78491 886 6 (e-Pdf)

© Archaeopress and S Vitale 2018

Frammento di olla in ceramica DSI, *LoD* decorata col motivo del narciso, eseguito in tecnica policroma (foto, S. Vitale).

All rights reserved. No part of this book may be reproduced, stored in retrieval system, or transmitted, in any form or by any means, electronic, mechanical, photocopying or otherwise, without the prior written permission of the copyright owners.

This book is available direct from Archaeopress or from our website [www.archaeopress.com](http://www.archaeopress.com)

*Per Antonio, che mi ha insegnato  
il latino, il greco e il blues*

## **Parte 1: Testo**

## Indice

<b>Parte 1: Testo</b> .....	<b>2</b>
<b>Indice</b> .....	<b>3</b>
<b>Ringraziamenti</b> .....	<b>6</b>
<b>Elenco delle abbreviazioni</b> .....	<b>8</b>
<b>Concordanze dei principali termini tecnici</b> .....	<b>13</b>
<b>Lista delle tabelle e delle illustrazioni</b> .....	<b>15</b>
Tabelle 1-24 .....	15
Tavole a colori 1-13 .....	16
Figure 1-38 .....	17
Tavole 1-24 .....	18
<b>Prefazione e argomento della ricerca</b> .....	<b>21</b>
<b>Capitolo 1</b> .....	<b>23</b>
<b>Terminologia, classificazione e impasti</b> .....	<b>23</b>
Terminologia.....	23
Dimensioni degli inclusi non plastici.....	23
Tecniche di formazione primaria.....	23
Trattamento delle superfici.....	24
Indice di durezza.....	25
Vernici.....	25
Colori .....	25
Trattamento decorativo .....	26
Tecniche decorative.....	26
Classificazione.....	27
“Tradizione locale” .....	27
“Tradizione mista” .....	29
“Tradizione minoica” .....	30
“Tradizione micenea” .....	30
Cronologia delle classi ceramiche prodotte a Kos nell’Età del Bronzo.....	31
Analisi macroscopica degli impasti.....	32
<b>Capitolo 2</b> .....	<b>35</b>
<b>Gli scavi di Morricone nell’area del “Serraglio”</b> .....	<b>35</b>
Informazioni topografiche e stratigrafia.....	35
Sequenza cronologica.....	37
Cronaca dei principali rinvenimenti della Sottofase III:1.....	38
1936.....	38
1940.....	38
1942.....	38
1943.....	39
1946.....	39

<b>Capitolo 3.....</b>	<b>40</b>
<b>Esame dei contesti della Sottofase III:1 .....</b>	<b>40</b>
Analisi dell'evidenza .....	40
Contesto III:1.a-01. ....	40
Catalogo.....	40
Commenti .....	43
Contesto III:1.a-02. ....	43
Catalogo.....	43
Commenti .....	43
Contesto III:1.b-01. ....	44
Catalogo.....	44
Commenti .....	44
Contesto III:1.b-02. ....	44
Catalogo.....	44
Commenti .....	45
Riepilogo dei dati .....	46
<b>Capitolo 4.....</b>	<b>47</b>
<b>Cronologia dei vasi erratici .....</b>	<b>47</b>
Catalogo.....	47
Discussione .....	52
Riepilogo dei dati .....	52
<b>Capitolo 5.....</b>	<b>53</b>
<b>Analisi del materiale frammentario .....</b>	<b>53</b>
Ipotesi sull'origine e la provenienza dei frammenti .....	53
Le Casette 0 e 04.....	54
La Cassetta 15.....	56
La Cassetta 18.....	57
I frammenti conservati nella Cassetta 0 .....	59
Catalogo.....	59
Quantificazione del materiale conservato nella Cassetta 0 .....	66
I frammenti conservati nella Cassetta 04 .....	66
Catalogo.....	66
Quantificazione del materiale conservato nella Cassetta 04 .....	73
I frammenti conservati nella Cassetta 15 .....	74
Catalogo.....	74
Quantificazione del materiale conservato nella Cassetta 15 .....	76
I frammenti conservati nella Cassetta 18 .....	76
Catalogo.....	76
Quantificazione del materiale conservato nella Cassetta 18 .....	83
Riepilogo dei dati .....	83
Premessa .....	83
Quantificazione complessiva .....	83

<b>Capitolo 6.....</b>	<b>86</b>
<b>Discussione e significato dei dati .....</b>	<b>86</b>
DF .....	86
Forme, motivi decorativi e brevi osservazioni sulla sequenza operativa .....	86
DSI, <i>LoD/DoL</i> .....	87
Analisi delle forme.....	87
Analisi dei motivi decorativi .....	89
Brevi osservazioni sulla sequenza operativa .....	90
Influenze minoiche e “tradizione locale” .....	92
Funzione e fruizione delle ceramiche di “tradizione mista” .....	94
<b>Capitolo 7.....</b>	<b>96</b>
<b>Conclusioni.....</b>	<b>96</b>
DSI, <i>LoD/DoL</i> .....	96
DF .....	97
Traiettorie culturali e socio-politiche .....	98
<b>English Abstract .....</b>	<b>103</b>
Subject and Contents of the Volume.....	103
Summary of the Results.....	104
PMC-C Pottery .....	105
PF Pottery .....	107
Cultural and Socio-Political Implications .....	108
<b>Bibliografia.....</b>	<b>112</b>
<b>Parte 2: Tabelle .....</b>	<b>130</b>
<b>Parte 3: Illustrazioni .....</b>	<b>153</b>

## Ringraziamenti

L'autore desidera rivolgere un ringraziamento speciale a: Mario Benzi e Giampaolo Graziadio, per il costante aiuto fornito durante la presente ricerca e per i tanti consigli ricevuti; Toula Marketou per la sua speciale amicizia, le stimolanti conversazioni avute insieme a Kos e Rodi e la lunga collaborazione scientifica; i direttori della Scuola Archeologica Italiana di Atene, Emanuele Greco e Emanuele Papi, per il sostegno logistico e scientifico senza il quale il lavoro a Kos non sarebbe stato possibile; Antonio Caputo per aver eseguito, con tanta generosità e perizia, la maggior parte dei disegni; François Bertemes e Konstanze Eckert per avere condiviso alcune informazioni inedite concernenti Tavşan Adası e avere permesso all'autore di citarle nel presente lavoro.

Questo volume non avrebbe potuto vedere la luce senza il sostegno dei tanti amici e colleghi dell'Eforia per le Antichità del Dodecanneso (Ufficio di Kos), in particolare Maria Chalkiti, Dora Gregoriadou, Fani Seroglou ed Elpida Skerlou, nonché del personale dei magazzini e del Museo Archeologico di Kos, specialmente Christina Diakodimitri, Irini Gialomandraki e Michalis Kiaris.

Nel corso degli anni, la ricerca presentata in questo volume ha beneficiato dei preziosi commenti di molti studiosi, amici e colleghi, tra i quali l'autore desidera ringraziare in particolare: Mario Benzi, Irò Camici, Jack L. Davis, Carmelo Di Nicuolo, Kasia Dudlik, Luca Girella, Evi Gorogianni, Giampaolo Graziadio, Teresa Hancock Vitale, Ioannis Iliopoulos, Bartłomiej Lis, Toula Marketou, Calla McNamee, Jerolyn E. Morrison, Jana Mokrišová, Peter Pavúk, Štěpán Rückl, Jeremy B. Rutter, Aleydis Van de Moortel e Malcolm H. Wiener.

L'autore desidera, inoltre, ringraziare tutti i membri delle missioni SELAP (“Serraglio, Eleona, and Langada Archaeological Project”) tenutesi tra il 2009 e il 2017, in particolare: Eleonora Ballan (Università Ca' Foscari, ex-allieva), Carmen Basile (Università di Milano, ex-allieva), Federico Bianchini (Università di Pisa), Caroline Belz (UCLA), Nicholas G. Blackwell (Indiana University at Bloomington), Irò Camici (Università di Genova), Chiara De Gregorio (Università Ca' Foscari, ex-allieva), Kasia Dudlik (Adam Mickiewicz University in Poznan), Anna Hager (fotografa), Christopher Hale (Jindal Global University), Teresa Hancock Vitale (University of Toronto, ex-allieva), Amanda Iacobelli (Pennsylvania State University), Ioannis Iliopoulos (University of Patras), Marie Leduc (fotografa), Laura Magno (Université catholique de Louvain), Cinzia Mantello (Università di Siena, ex-allieva), Calla McNamee (Wiener Laboratory for Archaeological Science, American School of Classical Studies at Athens), Jana Mokrišová (University of Sheffield), Jerolyn E. Morrison (Institute for Aegean Prehistory, Study Center East Crete), Kalirroï Moulo (University of Patras), Ioanna Moutafi (University of Cambridge, McDonald Institute for Archaeological Research), Denitsa Nenova (UCL), Kalliopi-Sofia Passa (University of Patras, ex-allieva), Salvatore Regio (disegnatore), Marcella Rossin (disegnatrice), Tina Ross (disegnatrice), Štěpán Rückl (University of

Amsterdam), Arianna Treçarichi (Università di Pisa, ex-allieva), Efrossini Vika (University of Durham) e Piotr Zeman (Adam Mickiewicz University in Poznan). Il contributo fornito dai membri delle missioni SELAP è stato prezioso per le fasi più recenti di questa ricerca, portate a termine dopo la difesa della tesi di dottorato dell'autore.

Le stagioni di studio svolte a Kos dal 2004 al 2007 sono state finanziate tramite una borsa di Dottorato di Ricerca in Archeologia (Curriculum Classico, XVIII ciclo) offerta dall'Università degli Studi di Pisa. Le stagioni di studio effettuate dal 2009 al 2017 sono state realizzate grazie al contributo dei seguenti enti: *Υπουργείο Παιδείας και Θρησκευμάτων*, the *Institute for Aegean Prehistory (INSTAP)*, *The Shelby White - Leon Levy Program for Archaeological Publications*, l'Università della Calabria e *The Mediterranean Archaeological Trust*. Inoltre, il lavoro a Kos non sarebbe stato possibile senza il continuo sostegno della Scuola Archeologica Italiana di Atene.

Un ringraziamento speciale va, infine, alla mia compagna, Calla, ai miei genitori e a mio figlio Sante, senza il cui affettuoso supporto la pubblicazione di questo lavoro non sarebbe stata possibile.



Marzo 2018, Pisa

## Elenco delle abbreviazioni

AB:	Antico Bronzo
AE:	Antico Elladico/a
AM:	Antico Minoico/a
ACF:	Acroma Chiara Fine
ACI:	Acroma Chiara d’Impasto
AG:	Acroma Grigia
ACSF:	Acroma Chiara Semifine
C:	Contesto
Cass.:	Cassetta/e
cat.:	Catalogo
CfT:	Costruito/a/i/e con colombini e foggato/a/i/e al tornio
col. pl./pls.:	Color plate/s
d.:	Diametro

D/b.:	Diametro della base
D/d.:	Diametro del disco
DF:	Dipinta Fine
D/i.:	Dimensione degli inclusi
dis.	Disegno/i
D/o.:	Diametro dell'orlo
DSI:	Dipinta Semifine e Impasto
E:	Est
ECR:	Energia cinetica rotazionale
Er./Err.:	Erratico/i
FaM:	Fatto/a/i/e a mano
FcT:	Foggiato/a/i/e al tornio
fig./figg.:	Figura/e
fig./figs.:	Figure/s

FT:	Tipo/i Furumark (secondo Furumark 1941)
FM:	Motivo/i Furumark (secondo Furumark 1941)
G:	Geometrico/a
H:	Altezza
<i>LoD/DoL:</i>	<i>Light-on-Dark/Dark-on-Light</i>
m:	Metro/i
Max.:	Massimo/a
MB:	Medio Bronzo
ME:	Medio Elladico/a
MG:	Monocroma Grigia
MicAF:	Micenea Acroma Fine
MicAI:	Micenea Acroma d’Impasto
MicASF:	Micenea Acroma Semifine
MicDF:	Micenea Dipinta Fine

MicDSF:	Micenea Dipinta Semifine
MicDI:	Micenea Dipinta d'Impasto
MinAF:	Minoica Acroma Fine
MinAI:	Minoica Acroma d'Impasto
MinASF:	Minoica Acroma Semifine
MM:	Medio Minoico/a
mm:	Millimetro/i
MN:	Monocroma Nera
MR:	Monocroma Rossa
MS:	Monocroma Scura
N:	Nord
NI:	Non identificabile
NMI:	Non meglio identificabile
PF:	Painted Fine

PG:	Protogeometrico/a
pl./pls.:	Plate/s
PMC-C:	Painted Medium-Coarse to Coarse
S:	Sud
Tab./Tabs.:	Table/s
tav./tavv.:	Tavola/e
tav./tavv. col.:	Tavola/e a colori
TB:	Tardo Bronzo
TC:	Tardo Cicladico/a
TE:	Tardo Elladico/a
TM:	Tardo Minoico/a
W:	Ovest
WF:	Forma/e Walberg (secondo Walberg 1992)
WM:	Motivo/i Walberg (secondo Walberg 1992)

## Concordanze dei principali termini tecnici

	Italiano	English or French
ACF	Acroma Chiara Fine	Unpainted Pale Fine
ACI	Acroma Chiara d'Impasto	Unpainted Pale Coarse
ACSF	Acroma Chiara Semifine	Unpainted Pale Medium-Coarse
AG	Acroma Grigia	Unpainted Grey
	Anse con profonde incisioni	Slit Handles
	Base con striature spiraliformi originatesi al momento del distacco dal tornio tramite corda	String cut base
CfT	Costruito/a/i/e con colombini e foggato/a/i/e al tornio	Coil-Built and Wheel-Fashioned
DF	Dipinta Fine	Painted Fine
	Tecnica a immersione	Dipped Rim Technique
DSI	Dipinta Semifine e Impasto	Painted Medium-Coarse to Coarse
ECR	Energia cinetica rotazionale	Rotative Kinetic Energy
FaM	Fatto/a/i/e a mano	Fully Handmade
FcT	Foggato/a/i/e al tornio	Wheel-Turned
	Gruppi ceramici	Wares
	Lastre di argilla	Clay Slabs
MG	Monocroma Grigia	Monochrome Grey
MicAF	Micenea Acroma Fine	Mycenaean Unpainted Fine
MicAI	Micenea Acroma d'Impasto	Mycenaean Unpainted Coarse
MicASF	Micenea Acroma Semifine	Mycenaean Unpainted Medium-Coarse
MicDF	Micenea Dipinta Fine	Mycenaean Painted Fine
MicDSF	Micenea Dipinta Semifine	Mycenaean Painted Medium-Coarse
MicDI	Micenea Dipinta d'Impasto	Mycenaean Painted Coarse
MinAF	Minoica Acroma Fine	Minoan Unpainted Fine

	Italiano	English or French
MinAI	Minoica Acroma d’Impasto	Minoan Unpainted Coarse
MinASF	Minoica Acroma Semifine	Minoan Unpainted Medium-Coarse
MN	Monocroma Nera	Monochrome Black
MR	Monocroma Rossa	Monochrome Red
MS	Monocroma Scura	Monochrome Dark
	Sequenza operativa	Chaîne Opératoire
	Superficie grezza	Unfinished Surface
	Superficie ingubbiata	Slipped Surface
	Superficie lavata	Washed Surface
	Superficie lisciata	Wiped Surface
	Superficie lucidata	Burnished Surface
	Superficie levigata	Smoothed Surface
	Superficie polita	Polished Surface
	Tazza troncoconica	Conical cup
	“Tradizione locale”	Local Tradition
	“Tradizione micenea”	Mycenaean Tradition
	“Tradizione minoica”	Minoan Tradition
	“Tradizione mista”	Entangled Tradition
	Vernice lucida	Lustrous Paint
	Vernice opaca	Matt Paint
	Vernice semilucida	Dull Paint

## Lista delle tabelle e delle illustrazioni

### **Tabelle 1-24**

Tabella 1. Classificazione delle ceramiche locali di Kos.

Tabella 2. Cronologia delle classi di “tradizione locale” a Kos.

Tabella 3. Analisi macroscopica degli impasti delle classi ceramiche prodotte a Kos dal Neolitico Finale al PG Finale.

Tabella 4. La sequenza insediativa nel “Serraglio” durante l’Età del Bronzo.

Tabella 5. Il “Serraglio”, Trianda e Akrotiri durante le fasi iniziali del TB.

Tabella 6. Cass. 0: quantificazione dei frammenti e delle tecniche decorative.

Tabella 7. Cass. 0: quantificazione delle forme DSI in base alle diverse tecniche decorative.

Tabella 8. Cass. 04: quantificazione dei frammenti e delle tecniche decorative.

Tabella 9. Cass. 04: quantificazione delle forme DSI in base alle diverse tecniche decorative.

Tabella 10. Cass. 15: quantificazione dei frammenti e delle tecniche decorative.

Tabella 11. Cass. 15: quantificazione delle forme DSI in base alle diverse tecniche decorative.

Tabella 12. Cass. 18: quantificazione dei frammenti e delle tecniche decorative.

Tabella 13. Cass. 18: quantificazione delle forme DSI in base alle diverse tecniche decorative.

Tabella 14. Tutte le cassette: quantificazione dei frammenti e delle tecniche decorative.

Tabella 15. Tutte le cassette: quantificazione delle forme chiuse e aperte nella ceramica DSI in base alle diverse tecniche decorative.

Tabella 16. Tutte le cassette: quantificazione delle altre classi in base alla loro distribuzione cronologica.

Tabella 17. Tutte le cassette: quantificazione delle forme DSI in base alle diverse tecniche decorative.

Tabella 18. Tutte le cassette: frequenza dei motivi *LoD* sulle diverse forme attestate in ceramica DSI, *LoD*.

Tabella 19. Tutte le cassette: frequenza dei motivi *LoD* sulle diverse forme attestate in ceramica DSI, *LoD* su fasce.

Tabella 20. Tutte le cassette: frequenza dei motivi *LoD* sulle diverse forme attestate in ceramica DSI, *LoD-DoL*.

Tabella 21. Tutte le cassette: frequenza dei motivi *DoL* sulle diverse forme attestate in ceramica DSI, *DoL*.

Tabella 22. Tutte le cassette: frequenza dei motivi *DoL* sulle diverse forme attestate in ceramica DSI, *LoD-DoL*.

Tabella 23. Ceramiche DSI: trattamento delle superfici.

Tabella 24. Caratteristiche minoiche nel SW dell’Anatolia, nel Dodecanneso, nelle Cicladi e a Citera nel corso del TB IA.

### **Tavole a colori 1-13**

Tavola a colori 1. Foto satellitare con la distribuzione geografica di caratteristiche minoiche e ceramica DSI, *LoD/DoL* durante il TB I nel bacino dell’Egeo.

Tavola a colori 2. Foto satellitare di Kos con l’indicazione dei quattro siti principali dell’Età del Bronzo scavati da Morricone.

Tavola a colori 3. Ceramica DF: tazze semiglobulari con dettagli della manifattura.

Tavola a colori 4. Ceramica DF: tecniche di formazione primaria CFT.

Tavola a colori 5:a. Ceramica DSI, *LoD*.

Tavola a colori 5:b. Ceramica DSI, *LoD* su fasce.

Tavola a colori 6:a. Ceramica DSI, *DoL*.

Tavola a colori 6:b. Ceramica *DSI, LoD-DoL*.

Tavola a colori 7:a. Ceramica DSI, *DoL*: superficie levigata.

Tavola a colori 7:b. Ceramica DSI, *LoD* su fasce: superficie lisciata.

Tavola a colori 8. Ceramica DSI, *LoD/DoL*: tecniche di formazione primaria FaM e CFT.

Tavola a colori 9:a. Ceramica DSI, *DoL*: tecnica di formazione primaria CFT.

Tavola a colori 9:b. Ceramica DSI, *LoD* su fasce: tecnica di formazione primaria mista, FaM e CFT.

Tavola a colori 10. Sottogruppi macroscopici A-VI, B-II, B-V, B-VI, B-IX, C-IV.

Tavola a colori 11:a. Ceramica DSI, *LoD*.

Tavola a colori 11:b. Ceramica MR.

Tavola a colori 12:a. Ceramica MS.

Tavola a colori 12:b. Ceramica DSI, *LoD* su fasce.

Tavola a colori 13. Frammenti DSI, *LoD* e *LoD* su fasce attribuiti alla cosiddetta seconda fase dello sviluppo tecnologico.

### Figure 1-38

Figura 1. Il “Serraglio” e altri importanti siti dell’Età del Bronzo nel bacino dell’Egeo.

Figura 2. Mappa di Kos con i principali siti preistorici menzionati nel testo.

Figura 3. La città di Kos prima del terremoto del 1933.

Figura 4. La città di Kos ricostruita dopo il terremoto del 1933 con le principali aree scavate da Morricone: il Serraglio propriamente detto, la Zona Fadil, l’antico quartiere di *Halvagià* e la Zona Pizzoli.

Figura 5. Planimetria delle strutture architettoniche del TB scoperte nelle Zone I-II del Serraglio propriamente detto.

Figura 6:a. Scavi del 1941. Serraglio: Zona II, resti struttivi appartenenti alla Città I (in grigio) e alla Città II.

Figura 6:b. Scavi del 1941. Serraglio: Zona II, sezione ricostruttiva con le strutture appartenenti alla Città I e alle Sottofasi 1 e 2 della Città II.

Figura 7:a. Scavi del 1942-1943. Zona Fadil: sezione ricostruttiva. Le tombe di epoca PG e G erano collocate sui pavimenti delle strutture appartenenti alle Città I-IV.

Figura 7:b. Scavi del gennaio 1943. Zona Fadil: sezione ricostruttiva con le strutture appartenenti alle Città I-IV. Sotto il pavimento della Città I era stratificato un riempimento con ceramica DSI, *LoD/DoL*.

Figura 8. Saggio di scavo effettuato nei mesi di febbraio e marzo del 1946. Serraglio: Zona II, angolo NW, sezione ricostruttiva con le strutture appartenenti alle Città I-IV. Sotto il pavimento della Città I era stratificato un riempimento con ceramica DSI, *LoD/DoL*.

Figura 9. TB IA Iniziale. Serraglio: Zona I, Vano A. Vasi C III:1.a-01:01-09, nn. 1221-1229.

Figura 10:a. TB IA Iniziale. Serraglio: Zona I, Vano Z. Vaso C III:1.a-02:01, n. 1215.

Figura 10:b. TB IA Maturo. Serraglio: Zona III, deposito pavimentale di distruzione. Vaso C III:1.b-01:01, n. 1196.

Figura 11. TB IA Maturo. Serraglio: Zona I, saggio sotto le murature della Città I (6 novembre 1940). Vasi C III:1.b-02:01-03, nn. 1205-1206, 1211.

Figura 12. Vasi Err. 01-03, nn. 1204, 1238, 1353.

Figura 13. Vasi Err. 04, senza n., 05-14, nn. 1214, 1234, 1242-1243, 1246, 1253-1257, e 15, senza n.

Figura 14. Cassetta 0: frammenti 0:01-05.

Figura 15. Cassetta 0: frammenti 0:06-12.

Figura 16. Cassetta 0: frammenti 0:13-17.

Figura 17. Cassetta 0: frammenti 0:18-21.

Figura 18. Cassetta 0: frammenti 0:22-28.

Figura 19. Cassetta 04: frammenti 04:01-06.

Figura 20. Cassetta 04: frammenti 04:07-12.

Figura 21. Cassetta 04: frammenti 04:13-17.

Figura 22. Cassetta 04: frammenti 04:18-22.

Figura 23. Cassetta 04: frammenti 04:23-27.

Figura 24. Cassetta 15: frammenti 15:01-03.

Figura 25. Cassetta 15: frammenti 15:04-08.

Figura 26. Cassetta 18: frammenti 18:01-06.

Figura 27. Cassetta 18: frammenti 18:07-13.

Figura 28. Cassetta 18: frammenti 18:14-19.

Figura 29. Cassetta 18: frammenti 18:20-27.

Figure 30-32. Forme attestate nella ceramica DSI, *LoD/DoL*.

Figure 33-38. Motivi decorativi attestati nella ceramica DSI, *LoD/DoL*.

#### **Tavole 1-24**

Tavola 1:a. Kos prima del terremoto del 1933 con l'edificio detto del Serraglio in fondo a destra (da W).

Tavola 1:b. Le rovine del Serraglio dopo il terremoto del 1933 e l'apertura delle nuove strade (da SE e S).

Tavola 2:a. Saggio di scavo del 12 giugno 1936. Serraglio: Zona III, pitharaki n. 1196 (da N).

Tavola 2:b. Saggio di scavo del 6 novembre 1940. Serraglio: Zona I, vasi rinvenuti *in situ* sotto le murature della Città I (da E).

Tavola 2:c. Scavo effettuato nel giugno 1942. Serraglio: Zona I, immagini del Vano A da due diverse angolazioni.

Tavola 2:d. Scavi febbraio-marzo 1946. Serraglio: Zona II, angolo NW, strutture delle Città I-IV (da E).

Tavola 3. TB IA Iniziale. Serraglio: Zona I, Vano A. Vasi C III:1.a-01:01-09, nn. 1221-1229.

Tavola 4:a. TB IA Iniziale. Serraglio: Zona I, Vano Z. Vaso C III:1.a-02:01, n. 1215.

Tavola 4:b. TB IA Maturo. Serraglio: Zona III, deposito pavimentale di distruzione. Vaso C III:1.b-01:01, n. 1196.

Tavola 5. TB IA Maturo. Serraglio: Zona I, saggio sotto le murature della Città I (6 novembre 1940). Vasi C III:1.b-02:01-03, nn. 1205-1206, 1211.

Tavola 6. Vasi Err. 01-03, nn. 1204, 1238, 1353.

Tavola 7. Vasi Err. 04, senza n., e 05, n. 1214.

Tavola 8. Vasi Err. 06-14, nn. 1234, 1242-1243, 1246, 1253-1257, e 15, senza n.

Tavola 9. Cassetta 0: frammenti 0:01-05.

Tavola 10. Cassetta 0: frammenti 0:06-12.

Tavola 11. Cassetta 0: frammenti 0:13-17.

Tavola 12. Cassetta 0: frammenti 0:18-21.

Tavola 13. Cassetta 0: frammenti 0:22-28.

Tavola 14. Cassetta 04: frammenti 04:01-06.

Tavola 15. Cassetta 04: frammenti 04:07-12.

Tavola 16. Cassetta 04: frammenti 04:13-18.

Tavola 17. Cassetta 04: frammenti 04:19-22.

Tavola 18. Cassetta 04: frammenti 04:23-27.

Tavola 19. Cassetta 15: frammenti 15:01-03.

Tavola 20. Cassetta 15: frammenti 15:04-08.

Tavola 21. Cassetta 18: frammenti 18:01-06.

Tavola 22. Cassetta 18: frammenti 18:07-13.

Tavola 23. Cassetta 18: frammenti 18:14-19.

Tavola 24. Cassetta 18: frammenti 18:20-27.

## Prefazione e argomento della ricerca

Gli scavi effettuati da L. Morricone nel cuore della moderna città di Kos si svolsero durante gli anni '30 e '40 del secolo scorso (tavv. col. 1-2; figg. 1-4). Per ciò che concerne l'Età del Bronzo, lo studioso italiano riportò alla luce un'enorme quantità di materiali, appartenenti a un ampio arco cronologico compreso tra l'AB e una fase piuttosto avanzata del TE IIIC. Furono, inoltre, rinvenuti moltissimi manufatti di epoca PG e G, provenienti dalle sepolture collocate nell'area del Serraglio, quando, dopo la fine dell'Età del Bronzo, il sito fu riutilizzato come necropoli<sup>1</sup>.

La presente ricerca propone un dettagliato riesame delle ceramiche della “tradizione mista” (“*Entangled Tradition*”) appartenenti al TB IA Iniziale e Maturo<sup>2</sup>. Come si vedrà nei capitoli successivi, tale breve – ma particolarmente importante – arco cronologico è incluso nella più antica delle fasi architettoniche individuate da Morricone: il cosiddetto Insediamento antecedente alla Città I.

Le ceramiche appartenenti alla “tradizione mista” includono due classi: la DF e la DSI, meglio nota in letteratura come *LoD/DoL*. Queste classi sono facilmente riconoscibili in base alla loro manifattura (impasti, metodi di formazione primaria e secondaria, trattamento delle superfici, preparazione e qualità delle vernici, etc.) e sono contraddistinte da un proprio particolare repertorio morfologico, decorativo e stilistico (cf. Capitoli 1 e 6). Come apparirà chiaro nel corso della presente ricerca, tale repertorio incorpora elementi della “tradizione locale” (“*Local Tradition*”) ed elementi della “tradizione minoica” (“*Minoan Tradition*”). In tutto, tra vasi completi e frammenti, sono discussi 590 pezzi, 119 dei quali sono presentati in maniera analitica in forma di catalogo ed illustrati attraverso nuovi disegni e fotografie<sup>3</sup>.

L'esposizione dei risultati della presente ricerca è articolata nel seguente modo. Nel corso del Capitolo 1, sono discusse alcune importanti questioni preliminari concernenti terminologia, classificazione delle ceramiche locali e classificazione macroscopica degli impasti. All'interno dei Capitoli 2 e 3 sono analizzati in dettaglio tutti i contesti con materiali *in situ* databili all'interno del TB IA Iniziale e Maturo. Nello specifico, il Capitolo 2 contiene una rapida discussione delle sequenze stratigrafiche e cronologiche rinvenute da Morricone, in aggiunta a una breve cronaca degli scavi. Il Capitolo 3, invece, include descrizione e catalogo dei materiali.

All'interno del Capitolo 4, sono riesaminati tutti i vasi completi erratici di “tradizione mista” attribuibili, per ragioni stilistiche, al TB IA Iniziale e Maturo. Per tali vasi è suggerita una

---

<sup>1</sup> Cf. Morricone 1975, in particolare pp. 139-147, 384-396; Morricone 1978.

<sup>2</sup> Per una definizione puntuale delle sottofasi qui indicate come TB IA Iniziale e Maturo, cf. sotto, Capitoli 2-3.

<sup>3</sup> Tutti i vasi completi e i frammenti analizzati all'interno della presente ricerca sono attualmente esposti nel Museo Archeologico di Kos o conservati nei magazzini di Kos dell'Eforia per le Antichità del Dodecanneso.

nuova e più aggiornata datazione, basata principalmente sul confronto col materiale precedentemente discusso nei Capitoli 2 e 3. Il Capitolo 5 è dedicato alla presentazione e all’analisi dei reperti frammentari, composti in grandissima parte da ceramica DSI. Nel corso del successivo Capitolo 6, sono esaminate e discusse le caratteristiche salienti delle ceramiche di “tradizione mista” in termini di manifattura, tipologia e repertorio decorativo. Inoltre, il Capitolo 6 contiene anche una discussione del significato dei molti tratti di origine minoica che caratterizzano le classi di “tradizione mista”. Infine, nel Capitolo 7, sono delineate le conclusioni della presente ricerca in relazione ai vari temi affrontati nelle sezioni precedenti.

I risultati presentati in questo volume riflettono in larga parte la ricerca portata a termine dall’autore tra il 2003 e il 2007, nell’ambito del dottorato di ricerca svolto presso il Dipartimento di Scienze Archeologiche (sezione classica) dell’Università degli Studi di Pisa<sup>4</sup>. Per tale ragione, lo scopo principale di questa pubblicazione è l’analisi di morfologia, tipologia e cronologia dei materiali di “tradizione mista”. Allo stesso tempo, il volume contiene molti riferimenti ai dati acquisiti tra il 2009 e il 2017 nel contesto del SELAP (“*Serraglio, Eleona, and Langada Archaeological Project*”), un progetto scientifico internazionale e multidisciplinare diretto dall’autore sotto l’egida scientifica della Scuola Archeologica Italiana di Atene<sup>5</sup>. Questi dati concernono l’esame dettagliato di tutti gli aspetti della cosiddetta sequenza operativa (“*chaîne opératoire*”), dall’estrazione dei materiali grezzi alla fruizione finale dei manufatti da parte degli abitanti preistorici di Kos. I risultati di questa parte della ricerca saranno pubblicati a breve in maniera più completa all’interno dei volumi monografici della Scuola Archeologica Italiana di Atene.

---

<sup>4</sup> Cf. Vitale 2006; Vitale 2007.

<sup>5</sup> Vitale 2012a; Vitale 2012b; Vitale 2013; Vitale 2016a; Vitale 2016b; Vitale 2017; Vitale - Hancock Vitale 2010; Vitale - Hancock Vitale 2013; Vitale - Treccarichi 2015; Vitale - Blackwell - McNamee 2017; Vitale *et al.* 2017; Vitale - Morrison 2017.

## Capitolo 1.

### Terminologia, classificazione e impasti

In questo capitolo vengono presentate e discusse alcune importanti questioni preliminari concernenti terminologia, classificazione delle ceramiche locali e classificazione degli impasti.

#### Terminologia

Le definizioni dei principali termini tecnici utilizzati nel corso del presente volume riguardano otto variabili fondamentali: (a) dimensione degli inclusi non plastici; (b) tecniche di formazione primaria; (c) indice di durezza; (d) trattamento delle superfici; (e) vernici; (f) colori; (g) trattamento decorativo; (h) tecniche decorative.

#### *Dimensioni degli inclusi non plastici*

Per quanto concerne la dimensione degli inclusi non plastici, la ceramica analizzata nel corso del presente volume può essere suddivisa in tre tipologie principali:

Fine (“*fine*”): quando le dimensioni non oltrepassano 0,002 m.

Semifine (“*medium-coarse*”): quando le dimensioni massime sono comprese tra 0,002 e 0,004 m.

Impasto (“*coarse*”): quando le dimensioni sono maggiori di 0,004 m<sup>6</sup>.

#### *Tecniche di formazione primaria*

L’analisi delle ceramiche del TB rinvenute a Kos, specialmente nell’area del Serraglio, ha dimostrato l’esistenza di tre tipi principali di tecniche di formazione primaria: (a) “FaM” (“*fully handmade*”); (b) “CfT” (“*coil-built and wheel-fashioned*”); (c) “FcT” (“*wheel-turned*”).

I vasi appartenenti al primo tipo sono costruiti senza l’uso di “ECR” (“*rotative kinetic energy*”). In un buon numero di casi, tali vasi mostrano tracce della presenza di “colombini” (“*coils*”). È quindi possibile che l’uso di questi ultimi fosse predominante tra i vasi FaM, ma

---

<sup>6</sup> Per simili definizioni in relazione alla tipologia degli impasti, cf. Vitale *et al.* 2017 (con bibliografia precedente).

non si può escludere anche l'uso di “lastre” d'argilla (“*clay slabs*”). I vasi appartenenti al secondo tipo sono prima costruiti a mano, con l'uso di colombini, e poi rifiniti con l'ausilio di ECR e, quindi, del tornio. I vasi appartenenti al terzo tipo mostrano segni di tornitura, ma nessuna traccia certa di essere stati inizialmente costruiti a mano. In teoria, è possibile che questi vasi siano stati prodotti interamente al tornio. Tuttavia, poiché le tracce dell'uso di colombini e lastre d'argilla possono essere eliminate in una delle fasi successive del processo di manifattura, non si può essere certi che i vasi FcT siano stati prodotti interamente al tornio, sulla base del solo esame macroscopico dei materiali.

L'identificazione dei vari metodi di manifattura è stata condotta seguendo protocolli simili a quelli descritti da V. Roux, M.A. Courty, C.D. Jeffra e M. Choleva<sup>7</sup>. Occorre sottolineare, comunque, che in molti casi lo stato di conservazione dei materiali non permette un'attribuzione sicura dei pezzi analizzati. In particolare, rimane a volte incerta la distinzione tra vasi CfT e FcT.

### ***Trattamento delle superfici***

A seconda del trattamento ricevuto, la superficie dei vasi analizzati nel corso della presente ricerca sarà descritta come:

Grezza (“*unfinished*”): con tale termine è indicata una superficie opaca sulla quale non è stato eseguito alcun intervento significativo per appianare le irregolarità dell'argilla dopo la foggatura del vaso.

Lavata (“*washed*”): con tale termine è indicata una superficie rivestita da una mistura di argilla e acqua piuttosto diluita; a tale mistura, detta appunto lavaggio, può essere aggiunto un pigmento che determina il colore finale della superficie del vaso<sup>8</sup>.

Ingubbiata (“*slipped*”): con tale termine è indicata una superficie rivestita da una mistura di argilla e acqua relativamente poco diluita; a tale mistura, detta appunto ingubbiatura, può essere aggiunto un pigmento che determina il colore finale della superficie del vaso.

Levigata (“*smoothed*”): con tale termine è indicata una superficie opaca sulla quale non sono identificabili le tracce dello strumento utilizzato per appianare l'argilla dopo la foggatura del vaso e l'eventuale applicazione di un'ingubbiatura o di un lavaggio.

Lisciata (“*wiped*”): con tale termine è indicata una superficie opaca o scarsamente lucida sulla quale le tracce dello strumento utilizzato per appianare l'argilla, dopo la foggatura del vaso e

---

<sup>7</sup> Roux - Courty 1998; Jeffra 2011; Choleva 2012.

<sup>8</sup> In pratica, il termine lavaggio (“*wash*”) è utilizzato, all'interno della presente ricerca, per descrivere una forma meno compatta di ingubbiatura (“*slip*”).

l'eventuale applicazione di un'ingubbiatura o di un lavaggio, sono identificate dalla presenza di piccole striature parallele di andamento orizzontale, verticale o diagonale.

Lucidata (“*burnished*”): con tale termine è indicata una superficie lucida sulla quale le tracce dello strumento utilizzato per appianare e lucidare l'argilla, dopo la foggatura del vaso e l'applicazione di un'ingubbiatura, sono chiaramente visibili<sup>9</sup>.

Polita (“*polished*”): con tale termine è indicata una superficie lucida sulla quale non sono identificabili le tracce dello strumento utilizzato per appianare e lucidare l'argilla dopo la foggatura del vaso e l'applicazione di un'ingubbiatura.

### **Indice di durezza**

L'indice di durezza dei vari impasti locali è stato misurato quantitativamente utilizzando la scala di Moh (cf., all'interno di questo capitolo, il paragrafo intitolato “Analisi macroscopica degli impasti”)<sup>10</sup>.

### **Vernici**

Da un punto di vista puramente tecnico, le vernici possono essere definite, analogamente a ingubbiature e lavaggi, come sospensioni fini di argilla e acqua, alle quali possono essere aggiunti pigmenti per enfatizzare determinati effetti cromatici<sup>11</sup>. A differenza di ingubbiature e lavaggi, tuttavia, le vernici hanno uno scopo prettamente decorativo.

A seconda del grado di brillantezza, le vernici utilizzate a Kos possono essere definite come “opache” (“*matt*”), “semilucide” (“*dull*”) o “lucide” (“*lustrous*”). Generalmente, si ritiene che le vernici opache siano a base di manganese, mentre quelle semilucide e lucide sarebbero a base ferrosa<sup>12</sup>. Nel caso dei materiali analizzati in questo volume, tali ipotesi non sono state verificate, poiché non è stato effettuato alcun tipo di analisi chimica o mineralogica.

### **Colori**

I colori giocano un ruolo fondamentale nel sistema di classificazione delle ceramiche locali di Kos (cf. sotto). Nella maggior parte dei casi, le differenze tra le varie classi non sono determinate dall'uso di argille di tipo diverso, ma da differenti tecniche di cottura, scelte dal vasaio per ottenere l'effetto cromatico desiderato.

---

<sup>9</sup> Per simili definizioni in relazione al trattamento delle superfici, cf. Rutter 1995, pp. 55-58.

<sup>10</sup> Cf. Shepard 1957, pp. 113-117.

<sup>11</sup> Evely 2000, pp. 290-293.

<sup>12</sup> Cf. Rutter 1993, pp. 71-75.

Una misurazione del colore delle superfici dei vasi, delle fratture e delle vernici è stata effettuata, con l'aiuto delle ben note “*Munsell Soil Color Charts*”<sup>13</sup>, sui 119 pezzi presentati in maniera analitica in forma di catalogo. In base a tale misurazione, la gamma dei colori delle argille locali può essere ora descritta con precisione. Tutte le misurazioni sono state effettuate alla luce del sole e ricontrollate una seconda volta, dopo un certo intervallo di tempo, al fine di eliminare il più possibile gli eventuali errori.

### **Trattamento decorativo**

Due principali trattamenti decorativi sono stati identificati nei materiali ceramici di Kos: (a) “dipinto” (“*painted*”); (b) “acromo” (“*unpainted*”). Nel primo caso la superficie interna e/o esterna del vaso è contraddistinta dalla presenza di lavaggi, ingubbiature e/o vernici di colore scuro, dal rosso chiaro al nero (“*dark-firing washes, slips, and/or paints*”). Nel secondo, le superfici non sono verniciate oppure sono interamente ricoperte da lavaggi o ingubbiature di colore chiaro, dal bianco al giallo (“*light-firing washes or slips*”).

I vasi verniciati possono essere decorati a ornati (“*patterned*”), lineari (“*linear*”) o monocromi (“*monochrome*”). Nel primo caso, la decorazione principale è costituita da motivi di tipo geometrico e/o naturalistico, i quali possono essere affiancati da fasce orientate in senso parallelo a quello della tornitura. Nel secondo caso, la decorazione principale è costituita esclusivamente da fasce orientate in senso parallelo a quello della tornitura. Nel terzo caso, infine, la superficie esterna del vaso è coperta interamente da un lavaggio o un'ingubbiatura di colore scuro. Le decorazioni a ornati e lineari sono eseguite dopo lo stato di “durezza-cuoio” (“*leather-hard*”), quando le superfici sono già asciutte, per evitare il rischio di gocciolamenti e aloni<sup>14</sup>.

### **Tecniche decorative**

Quattro differenti tecniche decorative sono state identificate nei materiali di Kos databili all'interno del TB: *LoD*, *LoD* su fasce, *DoL* e *LoD-DoL*. Nel primo caso la decorazione è eseguita in vernice chiara su superficie scura. Nel secondo, la decorazione è eseguita in vernice chiara su bande orizzontali scure, mentre il resto della superficie esterna dei vasi è interamente ricoperto da un lavaggio o un'ingubbiatura di colore chiaro. Nel terzo caso, la decorazione è eseguita in vernice scura su superficie chiara. Infine, la quarta tecnica è un misto tra il secondo e il terzo metodo.

---

<sup>13</sup> Munsell 1975.

<sup>14</sup> Evely 2000, p. 292.

## Classificazione

Nel 1995, nella sua monumentale pubblicazione delle ceramiche dell'AE III di Lerna, J.B. Rutter ha proposto un approccio coerente e rigoroso per la classificazione dei manufatti ceramici antichi. Il punto di partenza di Rutter è la critica dei sistemi tassonomici utilizzati in precedenza dalla maggioranza degli studiosi. Tali schemi erano generalmente basati su uno dei tre criteri seguenti: (a) la definizione di una serie di “wares” (“gruppi ceramici”); (b) la presenza di determinate forme; (c) la combinazione tra gruppi diagnostici e forme diagnostiche.

Come dimostrato da Rutter, il termine “wares” non è mai stato definito in maniera rigorosa e precisa. Per tale ragione, è possibile che un singolo vaso possa essere attribuito contemporaneamente a molteplici gruppi. D'altro canto, sistemi basati esclusivamente su criteri morfologici hanno due importanti difetti: (a) sono inadeguati per depositi formati principalmente da materiali frammentari; (b) non consentono distinzioni cronologiche sofisticate, in contrasto con schemi tassonomici basati su diverse variabili come forme, decorazioni, impasti etc.

Il sistema proposto da Rutter nel 1995 è fondato sul concetto di “classi ceramiche”. I vantaggi di tale approccio, basato su un insieme di criteri significativi, sono semplicità, coerenza e flessibilità. Il sistema elaborato per le ceramiche locali di Kos durante l'Età del Bronzo segue la metodologia tracciata da Rutter ed è basato su quattro principi organizzati tra loro in maniera gerarchica<sup>15</sup>: (a) tradizione culturale (locale vs. mista vs. minoica vs. micenea); (b) trattamento decorativo (dipinto vs. acromo); (c) colore; (chiaro vs. grigio vs. rosso vs. scuro vs. nero); (d) dimensioni degli inclusi non plastici (fine vs. semifine vs. impasto).

Altre variabili, quali metodi di formazione primaria, trattamento delle superfici, morfologia, tecniche decorative e presenza di determinati inclusi non plastici, non sono state definite come criteri prioritari ai fini della tassonomia. Tuttavia, come risulterà chiaro nel prosieguo di questo volume, tali variabili giocano comunque un ruolo significativo nella comprensione delle ceramiche del TB di Kos. Al momento, 19 classi sono state isolate, otto assegnabili alla “tradizione locale”, due alla “tradizione mista”, tre alla “tradizione minoica” e sei alla “tradizione micenea” (Tabella 1).

### **“Tradizione locale”**

La “tradizione locale” include le classi MR, MS, MN, MG, ACF, ACSF, ACI e AG.

---

<sup>15</sup> Vitale 2017.

1. MR (“*Monochrome Red*”): le superfici esterne sono rivestite da lavaggi/ingubbiature/vernici di tipo lucido e di colore rosso (10 R 4.5/8 - 2.5 YR 5.5/6) e sono sempre lucidate. Le dimensioni degli inclusi non-plastici sono solitamente semifini, ma possono anche essere fini o d’impasto. I metodi di formazione primaria individuati con certezza sono FaM e CfT, ma non si può escludere l’esistenza di esemplari FcT. Possibili candidati per l’uso di quest’ultima tecnica sono alcuni vasi di piccole dimensioni, come tazze e brocchette, databili all’interno della seconda metà del TB.

2. MS (“*Monochrome Dark*”): le superfici esterne sono rivestite da lavaggi/ingubbiature/vernici di tipo semilucido o lucido, che sfumano dal rosso al marrone all’interno dello stesso vaso (10 R 4.5/8 - 2.5 YR 3.5/2 - 2.5 YR 3.5/4) oppure sono uniformemente marroni (2.5 YR 3.5/2 - 2.5 YR 3.5/4). Le dimensioni degli inclusi non-plastici sono solitamente fini o semifini. I vasi prodotti in questa classe possono essere lisciati, lucidati o, in misura minore, levigati. Per quanto concerne i metodi di formazione primaria, questa classe si comporta esattamente come la MR.

3. MN (“*Monochrome Black*”): le superfici esterne sono rivestite da lavaggi/ingubbiature/vernici di tipo semilucido o lucido e di colore nero (2.5 YR 3.5/0 - 5 YR 3.5/1). Le dimensioni degli inclusi non-plastici sono solitamente fini o semifini. I vasi prodotti in questa classe possono essere levigati, lisciati o lucidati. Il metodo di formazione primaria più diffuso è CfT.

4. MG (“*Monochrome Grey*”): c’è un solo vaso attribuibile con certezza a questa classe, una piccola tazza con pareti concave proveniente dalla Tomba 38 di Langada (n. 138), databile all’interno del TE IIIA2<sup>16</sup>. Le superfici interne ed esterne sono rivestite da un’ingubbiatura lucida di colore grigio (7.5 YR 5.5/0). Questo effetto cromatico è dovuto alla cottura in atmosfera riducente. Le dimensioni degli inclusi non-plastici sono fini e le superfici lucidate. Il metodo di formazione primaria è CfT o FcT.

5-7. ACF, ACSF, ACI (“*Unpainted Pale Fine, Unpainted Pale Medium-Coarse, Unpainted Pale Coarse*”): le superfici esterne non sono di solito lavate/ingubbiate/verniciate e il loro colore può variare dal rosso (2.5 YR 5.5/8 - 5 YR 6.5/6) al giallo (7.5 YR 7.5/2 - 7.5 YR 7.5/4). In alternativa, le superfici esterne possono essere rivestite da lavaggi/ingubbiature/vernici di colore chiaro (10 YR 7.5/2 - 10 YR 8/2). Le dimensioni degli inclusi non-plastici sono fini nella ACF, semifini nella ACSF o d’impasto nella ACI. I vasi prodotti in queste classi possono essere levigati, lisciati o lucidati. Per quanto concerne i metodi di formazione primaria, queste classi si comportano come la MR e la MS.

8. AG (“*Unpainted Grey*”): le superfici esterne non sono verniciate e il loro colore è grigio (7.5 YR 4.5/0 - 10 YR 5.5/1). Questo effetto cromatico è dovuto alla cottura in atmosfera riducente. Le dimensioni degli inclusi non-plastici sono fini e le superfici sono lucidate. Il metodo di formazione primaria è CfT o FcT.

---

<sup>16</sup> Morricono 1967, pp. 178-182, figg. 188-192; Vitale *et al.* 2017, pp. 233-234, tabelle IV-VII.

### **“Tradizione mista”**

Come anticipato all’inizio di questo capitolo, la “tradizione mista” incorpora elementi della “tradizione locale” ed elementi della “tradizione minoica”. La “tradizione mista” include due classi, la DF e la DSI, che costituiscono l’oggetto principale del presente volume.

1. DF (tav. col. 3; “*Painted Fine*”): le superfici esterne sono rivestite da un’ingubbiatura chiara (10 YR 7.5/4 - 2.5 Y 7.5/2) e sono solitamente lisce. La dimensione degli inclusi non plastici è sempre fine. La decorazione è sempre a ornati. I motivi sono eseguiti in vernice scura semilucida o lucida (2.5 YR 3.5/0 - 2.5 YR 4/2). Sebbene non sia sempre possibile dimostrarlo con certezza, il metodo di formazione è di preferenza CfT (tav. col. 4).

2. DSI (tavv. col. 5-6; “*Painted Medium-Coarse to Coarse*”): le superfici esterne sono di solito lavate o ingubbiature e levigate (tav. col. 7:a) o lisce (tav. col. 7:b). La dimensione degli inclusi non plastici è semifine o d’impasto. La decorazione è a ornati o lineare. Il metodo di formazione primaria può essere FaM (tav. col. 8:a), CfT (tav. col. 8:b-f, tav. col. 9:a) oppure un misto tra FaM e CfT (tav. col. 9:b). In base alla tecnica decorativa, la ceramica DSI può essere ulteriormente suddivisa in quattro sottoclassi.

1. *LoD* su fondo scuro (tav. col. 5:a)<sup>17</sup>: la superficie esterna del vaso è rivestita da un lavaggio di colore scuro (2.5 YR 5/8 - 2.5 YR 4/0-2). Gli ornati sono sovradipinti in vernice bianca opaca o semilucida (10 YR 8/2). Occasionalmente, alcuni dettagli della decorazione possono essere eseguiti in arancio (2.5 YR 6/8), ottenendo così un certo effetto di policromia<sup>18</sup>.

2. *LoD* su fasce (tav. col. 5:b)<sup>19</sup>: la superficie esterna del vaso è rivestita da un lavaggio o da un’ingubbiatura di colore chiaro (10 YR 7.5/1 - 10 YR 8/2); su tale sfondo girano spesse fasce brune (10 R 5/8 - 2.5 YR 4/0), incorniciate ai margini da linee bianche (10 YR 8/2); all’interno di tali fasce scure sono sovradipinti gli ornati bianchi in vernice opaca o semilucida (10 YR 8/2).

3. *DoL* (tav. col. 6:a)<sup>20</sup>: la superficie del vaso è rivestita da un lavaggio o da un’ingubbiatura di colore chiaro (10 YR 7.5/1 - 10 YR 8/2); su tale sfondo sono sovradipinti gli ornati scuri in vernice opaca, semilucida o lucida (10 R 5/8 - 2.5 YR 4/0).

4. *LoD-DoL* (tav. col. 6:b)<sup>21</sup>: la superficie del vaso è rivestita da un lavaggio o da un’ingubbiatura di colore chiaro (10 YR 7.5/1 - 10 YR 8/2); su tale sfondo si alternano zone

<sup>17</sup> Cf. Morricone 1975, pp. 298-299, fig. 267.

<sup>18</sup> Cf. Morricone 1975, p. 316, fig. 288:b.

<sup>19</sup> Morricone 1975, p. 176, n. 1234, fig. 61:a.

<sup>20</sup> Morricone 1975, p. 176, n. 1214, fig. 60:a.

con motivi eseguiti in tinte scure in vernice opaca, semilucida o lucida (10 R 5/8 - 2.5 YR 4/0) e zone con fasce brune (10 R 5/8 - 2.5 YR 4/0) e ornati sovradipinti in vernice bianca opaca o semilucida (10 YR 8/2).

### **“Tradizione minoica”**

La “tradizione minoica” incorpora tre classi, tutte acrome.

1-3. MinAF, MinASF, MinAI (“*Minoan Unpainted Fine, Minoan Unpainted Medium-Coarse, Minoan Unpainted Coarse*”): le superfici esterne non sono di solito lavate/ingubbiolate/verniciate e il loro colore può variare dal rosso (2.5 YR 5.5/8 - 5 YR 6.5/6) al giallo (7.5 YR 7.5/2 - 7.5 YR 7.5/4). In alternativa, le superfici esterne possono essere rivestite da lavaggi/ingubbiature/vernici di colore chiaro (10 YR 7.5/2 - 10 YR 8/2). Le dimensioni degli inclusi non-plastici sono fini nella MinAF, semifini nella MinASF o d’impasto nella MinAI. I vasi prodotti in questa classe sono di solito lisciati. Il metodo di formazione primaria più comune è CfT.

### **“Tradizione micenea”**

La “tradizione micenea” incorpora sei classi, tre dipinte e tre acrome.

1-3. MicDF, MicDSF, MicDI (“*Mycenaean Painted Fine, Mycenaean Painted Medium-Coarse, Mycenaean Painted Coarse*”): le superfici esterne possono essere non lavate/ingubbiolate/verniciate (2.5 YR 5.5/8 - 7.5 YR 7.5/4) o possono essere rivestite da lavaggi/ingubbiature/vernici di colore chiaro (10 YR 7.5/1 - 10 YR 8/2). La decorazione è eseguita con vernice semilucida o lucida di colore scuro (2.5 YR 4.5/4 - 5 YR 3.5/1) e può essere a ornati, lineare o interamente monocroma. Le dimensioni degli inclusi non-plastici sono fini nella MicDF, semifini nella MicDSF o d’impasto nella MicDI. I vasi prodotti in questa classe possono essere levigati, lisciati, lucidati o politi. I metodi di formazione primaria più comuni sono CfT e FcT.

4-6. MicAF, MicASF, MicAI (“*Mycenaean Unpainted Fine, Mycenaean Unpainted Medium-Coarse, Mycenaean Unpainted Coarse*”): le superfici esterne non sono di solito lavate/ingubbiolate/verniciate e il loro colore può variare dal rosso (2.5 YR 5.5/8 - 5 YR 6.5/6) al giallo (7.5 YR 7.5/2 - 7.5 YR 7.5/4). In alternativa, le superfici esterne possono essere rivestite da lavaggi/ingubbiature/vernici di colore chiaro (10 YR 7.5/2 - 10 YR 8/2). Le

---

<sup>21</sup> Morricone 1975, pp. 316, 319, fig. 297:f, fig. 300.

dimensioni degli inclusi non-plastici sono fini nella MicAF, semifini nella MicASF o d'impasto nella MicAI. I vasi prodotti in questa classe possono essere levigati, lisciati, lucidati o polito. I metodi di formazione primaria più comuni sono CfT e FcT.

### ***Cronologia delle classi ceramiche prodotte a Kos nell'Età del Bronzo***

Le ceramiche della “tradizione locale” ebbero una lunga durata a Kos. Nonostante l'ovvia presenza di sviluppi diacronici, cinque delle otto classi appartenenti a questa tradizione, MR, MS, ACF, ACSF e ACI, sono attestate dall'AB 1-2 al TE IIIC (Tabelle 1-2). Tra queste, tutte, tranne la MR, furono con ogni probabilità prodotte addirittura a partire dal Neolitico Finale.

Le rimanenti tre classi della “tradizione locale”, invece, sono attestate solo nel corso del TB. In particolare, la MG e la AG cominciarono ad essere prodotte a partire dal TE IIIA2, mentre la MN fu prodotta a partire dal TE IIIB.

Le classi della “tradizione mista” sono attestate a Kos tra il TB IA Iniziale e il TB IIIA1 (Tabella 1). La produzione della DF è concentrata nel TB IA Iniziale. Questa sottofase è caratterizzata dalla nutrita presenza di tazze semiglobulari con orlo estroflesso e ansa verticale a nastro<sup>22</sup>. Tale forma tende a scomparire nel successivo TB IA Maturo, anche se non è da escludere che la classe DF abbia continuato a essere attestata in quantità residuali nel corso di quest'ultima sottofase. Alcune tazze semiglobulari della classe DF prodotte a Kos sono state rinvenute a Mileto. Questo dato testimonia l'esistenza di rapporti e scambi culturali tra Kos e l'importante centro situato sulle coste SW dell'Anatolia all'inizio del TB. In aggiunta alle tazze semiglobulari, la classe DF include, seppure in quantità estremamente limitate, anche alcune tazze troncoconiche.

La DSI, *LoD/DoL* ebbe il suo maggior momento di diffusione nel TB IA Maturo e continuò a essere in uso, in quantità più limitate, fino al TB II-TB IIIA1. La sua produzione ebbe inizio nel TB IA Iniziale, all'interno del quale, tuttavia, la DSI non era ancora molto comune<sup>23</sup>.

Questa interessante classe ceramica fu inizialmente attribuita allo stile di Kamares e considerata come un'importazione di epoca MM<sup>24</sup>. Studi più recenti hanno invece dimostrato che essa era prodotta localmente a Kos e diffusa in altre isole del Dodecanneso<sup>25</sup>, sulle coste

<sup>22</sup> Marketou 1990a, p. 103, fig. 5:c; Vitale 2006, pp. 74-76, fig. 3:e-h.

<sup>23</sup> Vitale 2006, pp. 74-76, 79, fig. 2, fig. 3:e, fig. 4:a-b, fig. 7:b.

<sup>24</sup> Maiuri 1928; Laviosa 1978; Laviosa 1984, pp. 183, 185; Mee 1982, p. 80. Il primo studioso ad avere dimostrato in maniera rigorosa e convincente che la produzione della classe DSI, *LoD/DoL* deve essere collocata prevalentemente nelle fasi iniziali della Tarda Età del Bronzo è stato J.L. Davis (Davis 1982).

<sup>25</sup> RODI, Trianda: Monaco 1941, pp. 75 (nn. 4-5), 92-93 (nn. 1, 3), 105 (n. 3), 108 (n. 6), 156 (n. 26), 158 (n. 4), fig. 22:2, fig. 39, fig. 58:2, fig. 85:8, fig. 115, fig. 119:4; Furumark 1950, pp. 152-154, 169, nn. 8, 43-47, 121-122, fig. 2:47, fig. 7:121; Papazoglou-Manioudaki 1990, pp. 154-155, nn. 41-47, tav. 67:α; Marketou 1988, pp. 30-31; Marketou 1990a, p. 109, fig. 15, fig. 17:AE 781; Marthari - Marketou - Jones 1990, p. 177, fig. 11; Marketou 1998, p. 51. KALYMNOS, Grotta di Vathy: Benzi 1993, pp. 277-279, fig. 1:c-d, tav. 35.

occidentali dell’Anatolia<sup>26</sup>, a Samos<sup>27</sup>, Cipro<sup>28</sup>, Creta<sup>29</sup>, nelle Cicladi<sup>30</sup>, a Egina<sup>31</sup> e nella Grecia continentale (tav. col. 1)<sup>32</sup>.

Le ceramiche della “tradizione minoica” sono prodotte a Kos dal TB IA Iniziale al TB IB, ad eccezione delle tazze troncoconiche, che continuano a essere attestate fino al TE IIIC (Tabella 1)<sup>33</sup>. Si tratta di un numero ristretto di forme, tutte acrome, che include tazze troncoconiche, tazze semiglobulari con beccuccio, giare a staffa, incensieri, bracieri e tripodi con fondo piatto<sup>34</sup>. Il momento di maggiore diffusione è il TB IA Maturo, quando le tazze troncoconiche sono una delle forme aperte più comuni a Kos.

I vasi della “tradizione micenea” sono prodotti a Kos dal TB IB alla fine del TE IIIC (Tabella 1). Almeno a partire dal TE IIIA2, essi includono l’intera gamma funzionale attestata nelle coeve produzioni rinvenute sulla terraferma greca<sup>35</sup>.

### Analisi macroscopica degli impasti

Seguendo un protocollo simile a quello elaborato originariamente da J. Moody, J. Morrison e l’autore di questo volume hanno suddiviso le ceramiche locali in gruppi e sottogruppi, partendo da un’accurata analisi macroscopica degli impasti<sup>36</sup>. I criteri considerati sono alcune caratteristiche diagnostiche dell’impasto, la densità e la tipologia degli inclusi, l’indice di durezza (calcolato utilizzando la scala di Moh) e la tipologia dei vacuoli (Tabella 3). La

<sup>26</sup> TROIA: Blegen - Caskey - Rawson 1953, pp. 162, 187, nn. G:146, F:261, tav. 365:19, tav. 372:21. ÇEŞME-BAĞLARARASI: Şahoğlu 2015, p. 615, fig. 14. IASOS: Levi 1970, pp. 474, 481, figg. 29, 30, 32; Laviosa 1978, pp. 1097-1098, tav. 350:13; Laviosa 1984, pp. 183, 185; Benzi *et al.* 2000, p. 345; Momigliano *et al.* 2001, pp. 272-273, fig. 2; Momigliano 2005, pp. 219, 221-222, tav. LVIII:c.a; Momigliano 2007, pp. 257, 259, 261, 263-264, figg. 2, 4; Momigliano 2012, pp. 54-56, 81-84, figg. 13, 65, 71, 78, 84, 92, 97-98, 124-125, 137-139, 145, 154-155, 165-166. MILETO: Weickert 1940, pp. 325-332, tav. 24:1; Weickert 1957, p. 118, tav. 28:3; Weickert *et al.* 1960, pp. 27, 45, 64-65, tav. 8:1, tav. 34, tav. 69:1, 2:a; Niemeier - Niemeier 1997, p. 193; Raymond *et al.* 2016, p. 64. TAVŞAN ADASI: F. Bertemes - K. Eckert, comunicazione personale. AKBUK-TEICHIUSSA: Voigtländer 1986, pp. 622, 644, nn. 28-30, fig. 21:28-30; Voigtländer 1988, pp. 605, 608, n. 2, fig. 39:2. KNIDOS: Mellink 1978, p. 321 (secondo la citazione in Marthari - Marketou - Jones 1990, p. 177).

<sup>27</sup> SAMOS, Tigani: Heidenreich 1936, p. 173, tav. 49:1-2.

<sup>28</sup> CIPRO, Maroni-Vournes: Cadogan *et al.* 2001, pp. 78-79, fig. 6.

<sup>29</sup> CRETA, Cnosso: Momigliano 2005, p. 221, nota 27, tav. LVIII:c.b-c.

<sup>30</sup> THERA, Akrotiri: Marthari 1990, pp. 64-65; Marthari - Marketou - Jones 1990, pp. 171-175, figg. 1-5. KEOS, Ayia Irini: Davis *et al.* 1983; Cummer - Schofield 1984, pp. 71, 121, 135, nn. 412, 1474, tav. 54:412, tav. 82:1474. NAXOS (?), Grotta: Momigliano 2007, p. 269.

<sup>31</sup> EGINA, Kolonna: Momigliano 2005, p. 222, nota 33.

<sup>32</sup> MYRSINOCHORI-ROUSI (vicino PYLOS): Davis 2015. KAKOVATOS: Huber *et al.*, c.d.s. TIRINTO (?): Momigliano 2007, p. 269. MITROU: Vitale - Hancock Vitale 2010, p. 64, fig. 1; Vitale - Hancock Vitale 2013, p. 44, fig. 4:1.a.

<sup>33</sup> Cf. Morricone 1967, p. 187, n. 469, fig. 194.

<sup>34</sup> Morricone 1975, pp. 282-285, figg. 246-249; Vitale 2016a, p. 80, fig. 5:1.i-j; Vitale - Morrison 2017, p. 79, tabella 8:2, nn. 26-27, 29-31, fig. 8:5.d-e, g-i.

<sup>35</sup> Mountjoy 1999, pp. 1083-1125, figg. 442-461; Vitale 2016a, pp. 82-87, figg. 5:2-3.

<sup>36</sup> Moody *et al.* 2003; Vitale - Morrison 2017, pp. 85-92, tabelle 8:4-5, figg. 8:9-10; Vitale *et al.* 2017, pp. 225-260, tabelle XVI-XVII.

densità degli inclusi non plastici può essere “fine”, “fine-media”, “media”, “semi-impasto”, “impasto” e “impasto +”. L’uso di questi termini, nel caso dell’analisi macroscopica delle fabbriche, non corrisponde alle definizioni fornite in relazione al metodo di classificazione introdotto in precedenza (cf. Tabella 1). Tale metodo di classificazione, infatti, prende in considerazione solamente le dimensioni massime degli inclusi, indipendentemente dalla loro frequenza.

Fino ad oggi, più di 1000 vasi prodotti a Kos sono stati esaminati in ambito SELAP utilizzando l’analisi macroscopica degli impasti. All’interno di questo campione, 262 esemplari sono stati catalogati e hanno ricevuto una descrizione dettagliata. L’intero corpus locale dal Neolitico Finale al PG Finale è stato suddiviso in quattro gruppi macroscopici principali (Tabella 3). Per quanto concerne la densità degli inclusi, tali gruppi sono designati come “fini” e “fini-medi” (Gruppo A; tav. col. 10:a), “medi” e “semi-impasto - impasto” (Gruppo B; tav. col. 10:b-e), e “impasto” e “impasto +” (Gruppi C e D; tav. col. 10:f).

I gruppi appena descritti includono una variegata gamma di colori (cuoio, arancio, rosa e giallo) e sono caratterizzati dalla presenza di minuscoli grani di origine metamorfica e ignea nell’impasto. Di solito non sono micacei e, anche se grani di mica isolati possono essere presenti, essi non sono distribuiti in maniera capillare o omogenea (Tabella 3). La maggior parte degli inclusi non plastici ha dimensioni <2 mm, ma sono comuni anche quelli con dimensioni fino a 5 mm, mentre i vacuoli, spesso di forma allungata, misurano tra 2 e 6 mm. Sono anche presenti inclusi morbidi di colore bianco e/o crema e le loro dimensioni variano da <2 mm a <6 mm. Molti degli impasti identificati in ambito SELAP mostrano caratteristiche che suggeriscono che i vasai di Kos in epoca preistorica abbiano praticato complesse manipolazioni delle materie prime, mescolando diversi tipi di argille e temperandole con elementi organici e inorganici.

I quattro gruppi principali presentano suddivisioni interne basate sulla tipologia e la distribuzione degli inclusi dominanti. Nello specifico, il Gruppo A è suddiviso in otto sottogruppi (A-I - A-VII), il Gruppo B in 11 sottogruppi (B-I - B-XI), il Gruppo C in quattro sottogruppi (C-I - C-IV) e il Gruppo D in tre sottogruppi (D-I - D-III).

I risultati delle analisi macroscopiche degli impasti e delle prospezioni geologiche condotte in ambito SELAP hanno rivelato nuove informazioni sulle materie prime utilizzate dai vasai antichi di Kos e sul dinamico rapporto tra uomo e risorse naturali in epoca preistorica<sup>37</sup>. I dati ottenuti indicano che tutte le ceramiche di Kos databili tra il Neolitico Finale e il PG Finale sono state prodotte con argille, depositi fluviali e tempere rocciose estratte in due aree principali, situate nella zona dell’Askklupis e in quella di Psalidi. Il confronto tra i colori dei bricchetti sperimentali e quelli dei manufatti antichi suggerisce due conclusioni. In primo luogo, i Gruppi macroscopici B, C e D sono simili alle argille cloritiche-illitiche individuate nelle vicinanze del fiume Platys, ubicato qualche centinaio di m a NE del sito di Askklupis. In

---

<sup>37</sup> Vitale *et al.* 2017, pp. 263-267, figg. 21-23.

secondo luogo, il Gruppo macroscopico A è simile alle argille calcareo-illitiche individuate nell'area del torrente Paradeisi a Psalidi. I risultati preliminari dei limiti di Atterberg hanno confermato l'eccellente plasticità delle argille identificate nelle aree dell'Asklupis e di Psalidi, dando conforto all'ipotesi che tali fonti possano essere quelle utilizzate per le ceramiche antiche<sup>38</sup>. Tali conclusioni devono essere confermate in maniera definitiva dal programma di analisi petrografiche e chimiche elaborato in ambito SELAP, nonché dai risultati delle ricerche sperimentali condotte nel contesto del medesimo progetto.

---

<sup>38</sup> Vitale *et al.* 2017, p. 267, figg. 21-23. I limiti di Atterberg includono il limite plastico, il limite liquido e l'indice plastico. Tali parametri sono importanti per definire il comportamento dei materiali argillosi durante il processo di manifattura.

## Capitolo 2.

### Gli scavi di Morricone nell'area del "Serraglio"

All'interno di questo capitolo sono presentate brevemente topografia, stratigrafia, cronologia e cronaca dei principali rinvenimenti di Morricone, attribuibili al TB IA Iniziale e Maturo. I materiali rinvenuti nei contesti più significativi sono esaminati dettagliatamente all'interno del capitolo successivo.

A partire da questo punto, l'intero insediamento dell'Età del Bronzo, scavato da Morricone nel cuore della moderna città di Kos, sarà indicato col nome di "Serraglio" scritto tra virgolette. In realtà, come apparirà chiaro dalle prossime pagine, tale toponimo indicava in origine solo un'area del sito, quella centrale. Quando ci si riferirà esclusivamente a tale area, il nome Serraglio sarà scritto senza virgolette, oppure sarà utilizzata la locuzione il "Serraglio propriamente detto".

#### Informazioni topografiche e stratigrafia

Il 23 aprile del 1933 un violento sisma colpì la città di Kos, all'epoca abitata da circa 7.500 persone<sup>39</sup>. Il piccolo centro era formato da due distinti nuclei insediativi (fig. 3; tav. 1:a). Il primo di essi, la *Χώρα*, situato a SE del porticciolo e occupato dalla maggioranza greco-ortodossa, era racchiuso dentro il perimetro delle mura trecentesche edificate dai Cavalieri di S. Giovanni. Il secondo nucleo edilizio, collocato a S-SW del porticciolo, comprendeva tre sobborghi minori: quello ortodosso, detto di *Άσπα*, e quelli mussulmani, detti rispettivamente *Halvagià*, il quartiere dei pasticceri, e *Ieni-Kapù* (Porta Nuova).

Il terremoto del 23 aprile 1933 distrusse quasi per intero la *Χώρα*. Tra i sobborghi furono in gran parte risparmiati quelli di *Halvagià* e *Ieni-Kapù*, mentre il quartiere di *Άσπα* subì danni piuttosto gravi. Dopo il disastro, si presentarono immediatamente vari problemi inerenti la ricostruzione e la parziale riorganizzazione dell'abitato. Sin dal 1928, gli scavi condotti da L. Laurenzi avevano rivelato la presenza, quasi ovunque nel sottosuolo, di resti di epoca classica, ellenistica, romana e paleocristiana<sup>40</sup>. Le ricerche furono riprese con maggiore intensità mentre si sgomberavano le macerie provocate dal sisma. Vennero individuate, in questa fase, alcune aree di maggiore interesse archeologico da destinare a futuri scavi e nelle quali fu proibita

---

<sup>39</sup> Per una esposizione dettagliata dei dati riassunti all'interno del presente paragrafo, cf. Morricone 1975, pp. 139-154.

<sup>40</sup> Per un riepilogo sintetico, ma completo, degli scavi italiani effettuati a Kos prima dell'esplorazione del "Serraglio", cf. Morricone 1975, pp. 139-141.

qualsiasi ricostruzione. La nuova città si sviluppò, invece, in altre zone all'apparenza meno promettenti.

La collinetta del Serraglio, all'interno del quartiere di *Άσπα*, era stata tra le più colpite dal terremoto del 1933 (figg. 3-4). Il nome, in greco *τὰ Σεράγια*, designava, durante la dominazione turca, la residenza del *Kaimakàm*, il governatore dell'isola. In seguito, esso si era esteso a tutta la zona circostante, attraversata da N a S dalla vecchia via *Άσπα*, la quale, dalla piazza del foro, si dirigeva verso S ai frutteti di mandorli che adornavano la zona detta dell'*Αμυγδαλώνας*.

I lavori di ricostruzione nell'area del Serraglio cominciarono alla fine del 1934. Il piano regolatore varato dopo il terremoto prevedeva di spianare la zona per portare il livello del terreno, all'epoca circa 11,4 m sul mare, più o meno alla stessa altezza dell'*Αμυγδαλώνας*, cioè 8 m sul mare. La superficie risultante dallo spianamento del Serraglio sarebbe stata divisa in appezzamenti da destinare a nuove costruzioni. Furono aperte tre strade (tav. 1:b): due parallele con direzione E-W, che delimitavano a N ed a S le Zone I e II del Serraglio propriamente detto e una che tagliava l'area in direzione N-S andando a sfociare nella via di Circonvallazione, oggi *Γρηγορίου Ε'* (fig. 5).

Tuttavia, proprio quando gli scavi delle strade erano ormai prossimi a raggiungere i livelli previsti (tav. 1:b), cominciarono a venire alla luce diversi oggetti di varie epoche, dal TB al periodo romano. A questo punto Laurenzi, divenuto da poco Sovrintendente ai Monumenti e agli Scavi delle Isole Egee presso Rodi, ottenne l'interruzione dei lavori di ricostruzione fino al momento in cui l'esplorazione archeologica del sito non fosse stata completata. Per la direzione dei nuovi scavi nell'area del Serraglio fu scelto Morricone, che aveva appena terminato la prima campagna di esplorazione delle necropoli di Eleona e Langada, situate poche centinaia di m a SW della città di Kos (fig. 2)<sup>41</sup>.

Gli scavi di Morricone si svolsero, con relativa continuità, dal 1935 al 1943 e interessarono quattro aree situate a S e SW del porto: il Serraglio propriamente detto, la Zona Fadil, l'antico quartiere di *Halvagià* e la Zona Pizzoli (fig. 4). Dopo il 1943, nessun'altra indagine fu effettuata ad eccezione di un breve ma importante saggio di scavo, condotto tra il 22 febbraio e il 5 marzo del 1946<sup>42</sup>. La stratigrafia del sito era complicata da una serie di fattori diversi. Essi erano innanzitutto di carattere tecnico. Le Opere Pubbliche, infatti, procedevano per prime alla demolizione delle macerie lasciate dal terremoto e allo sterro delle parti più alte della collinetta del Serraglio. Solo quando sembrava strettamente necessario, i lavori venivano interrotti e portati a termine dagli uomini dell'Ufficio Archeologico. I tagli a piombo così prodotti intorno all'altura provocavano frequenti smottamenti del terreno, tutto di formazione artificiale. Inoltre, numerose tombe di epoca PG e G, in tutto ben 74, avevano tagliato i livelli delle epoche precedenti, anche molto in profondità. Lo stesso poteva dirsi dei pozzi di età

---

<sup>41</sup> Morricone 1967.

<sup>42</sup> Morricone 1975, pp. 139-149, 224-232.

ellenistica, romana e turca che negli anni si erano andati riempiendo degli oggetti più vari<sup>43</sup>. A tutto ciò va aggiunto che una parte consistente della documentazione originale, inclusi i diari di scavo, andò perduta durante gli eventi bellici connessi alla seconda guerra mondiale<sup>44</sup>.

Nonostante queste difficoltà, in alcuni punti del Serraglio propriamente detto e della Zona Fadil furono portati alla luce svariati resti di strutture abitative, stratificate le une sulle altre e appartenenti ai diversi periodi di occupazione del sito. Ciascuna fase era contraddistinta da un differente orientamento e tale dato fu utilizzato da Morricone per mettere in relazione le informazioni stratigrafiche ricavate dalle diverse aree di scavo<sup>45</sup>. Per questo stesso scopo furono usate, come punto di riferimento, anche le quote di livello dei pavimenti delle diverse fasi, calcolate in base alla loro altezza sul livello del mare<sup>46</sup>. Per ciò che concerne il TB, furono riconosciute quattro principali fasi di occupazione, che Morricone chiamò Città I-IV (Tabella 4; figg. 6-8; tav. 2). Le Città II e III furono ulteriormente suddivise in due sottofasi ciascuna (figg. 6, 8; tav. 2:d). Il frequente rinvenimento di depositi contenenti ceramica DSI, *LoD/DoL* sotto i pavimenti della Città I indusse, inoltre, lo studioso italiano a ipotizzare l'esistenza di un insediamento precedente, che egli attribuì al MB/MM III (figg. 7-8; tav. 2:c)<sup>47</sup>.

### Sequenza cronologica

In anni recenti, la collaborazione tra SELAP e T. Marketou ha permesso di elaborare e fissare con precisione la cronologia delle fasi struttive del “Serraglio”. La sequenza ottenuta combina i risultati degli scavi effettuati dall'Eforia del Dodecanneso e lo studio dell'autore dei materiali rinvenuti da Morricone tra il 1935 e il 1946. In tutto, sono state riconosciute tre fasi principali, databili rispettivamente all'AB, al MB e al TB (Tabella 4).

La Fase I è suddivisa in due ulteriori sottofasi: I:1 attribuibile all'AB 3 Iniziale (“*EBA 3 Early*”) e I:2 attribuibile all'AB 3 Tardo (“*EBA 3 Late*”). La Fase II, databile al MB, non presenta ulteriori suddivisioni. Le città portate alla luce da Morricone cadono tutte all'interno del TB e appartengono alle Sottofasi III:1-5 (Tabella 4). I materiali che costituiscono l'oggetto del presente volume appartengono alle Sottofasi III:1.a, TB IA Iniziale (“*LBA IA Early*”) e III:1.b, TB IA Maturo (“*LBA IA Mature*”). Tali sottofasi corrispondono a quel periodo chiamato da Morricone Insediamento antecedente alla Città I. Come dimostrato dagli scavi effettuati da Marketou nell'area del Serraglio, le Sottofasi III:1.a e III:1.b si chiusero entrambe con eventi distruttivi di origine sismica.

I sincronismi con le sequenze di Creta e della Grecia continentale sono indicati nella Tabella 4. La Sottofase III:1.a corrisponde rispettivamente al TM IA Iniziale-Avanzato (MM IIIB nella

<sup>43</sup> Morricone 1975, p. 154.

<sup>44</sup> Morricone 1975, p. 149.

<sup>45</sup> Morricone 1975, pp. 388-389.

<sup>46</sup> Cf. ad esempio Morricone 1975, pp. 199, 203.

<sup>47</sup> Morricone 1975, pp. 384-394.

terminologia tradizionale) e al ME III Tardo. D’altro canto, la Sottofase III:1.b corrisponde rispettivamente al TM IA Finale (TM IA nella terminologia tradizionale) e al TE I.

Nelle Cicladi, le Sottofasi IIIA:1.a e III:1.b coincidono con due momenti particolarmente significativi che segnano uno spartiacque di cruciale importanza nelle traiettorie culturali dell’Egeo durante il TB (Tabella 5). Infatti, la Sottofase III:1.a corrisponde al TC IA Iniziale, mentre la Sottofase III:1.b corrisponde al TC IA Maturo. La fine del primo di questi due periodi nelle Cicladi è segnato dalla distruzione sismica di Akrotiri, mentre la fine del secondo coincide con l’eruzione di Santorini, che pose fine all’occupazione di Thera durante l’intero TB.

### **Cronaca dei principali rinvenimenti della Sottofase III:1**

#### **1936**

Il 12 giugno del 1936, nel corso di un breve saggio di scavo nella Zona III del Serraglio, fu rinvenuto, a 1,90 m da un tratto di muro dall’orientamento ignoto, un pitharaki di grosse dimensioni (figg. 4-5; tav. 2:a)<sup>48</sup>. Il vaso (n. 1196) era stato schiacciato da alcuni massi, ma era conservato quasi nella sua interezza. Esso poggiava probabilmente su un pavimento e aveva la bocca rivolta ad E. Al suo interno furono trovati molti frammenti di carbone insieme a un altro vaso di piccole dimensioni e un globetto di pasta vitrea (oggi perduti). Anche la terra di riempimento dello strato era ricca di carbone. Tutto suggerisce che la formazione del contesto sia da attribuire a un evento distruttivo. Nonostante l’assenza di elementi stratigrafici chiari, la presenza del pitharaki consente di attribuire lo strato appena descritto al cosiddetto periodo antecedente alla Città I (cf. Capitolo 3, C III:1.b-01).

#### **1940**

Nel saggio di scavo effettuato nella Zona I del Serraglio il 6 novembre del 1940 (tav. 2:b) furono rinvenute, *in situ*, svariate tazze troncoconiche (“*conical cups*”) oggi perdute e tre grandi vasi completi (nn. 1205-1206, 1211). Questi materiali appartenevano ad alcuni ambienti stratificati sotto le murature della Città I (cf. Capitolo 3, C III:1.b-02)<sup>49</sup>.

#### **1942**

Nel giugno del 1942, all’interno della Zona I del Serraglio, fu portata alla luce una piccola stanza, alla quale Morricone diede il nome di Vano A (tav. 2:c). All’interno furono rinvenuti,

---

<sup>48</sup> Morricone 1975, pp. 190-191, figg. 76-77.

<sup>49</sup> Morricone 1975, pp. 193-194, fig. 60:b, fig. 61:b, figg. 82-83.

*in situ*, nove vasi completi (nn. 1221-1229; cf. Capitolo 3, C III:1.a-01)<sup>50</sup>. Occorre sottolineare che la posizione stratigrafica del Vano A non è certa, poiché non vi erano resti struttivi stratificati sopra di esso. Morricone lo attribuì al periodo precedente alla Città I in base ai materiali in esso rinvenuti<sup>51</sup>. Tale valutazione espressa a suo tempo dello studioso italiano appare, ancora oggi, corretta.

Il Vano A era accompagnato da un altro piccolo ambiente topograficamente contiguo e stratigraficamente contemporaneo e, dunque, databile alla stessa fase d'uso<sup>52</sup>. Sul pavimento di questa piccola stanza, chiamata Vano Z, fu rinvenuta *in situ* una giara a staffa acroma di grandi dimensioni (n. 1125; cf. Capitolo 3, C III:1.a-02).

### 1943

Molto importanti per la stratigrafia furono le indagini compiute, tra il 1942 e il 1943, nella Zona Fadil<sup>53</sup>. Come nelle altre aree del sito, i livelli dell'Età del Bronzo erano stati parzialmente tagliati e sconvolti dalle sepolture di epoca PG e G che, in diversi casi, erano state adagate sui pavimenti delle strutture del periodo precedente (fig. 7:a). Nel corso dei saggi di scavo effettuati nel gennaio e nel maggio del 1943, furono rinvenute le murature e i livelli pavimentali di quattro fasi architettoniche sovrapposte, esattamente corrispondenti alle quattro "città" già identificate in precedenza nel Serraglio propriamente detto (fig. 7:b). Il dato più interessante è senz'altro costituito dal ritrovamento di profondi riempimenti contenenti frammenti di ceramica DSI, *LoD/DoL*. Tali riempimenti erano stratificati sotto i livelli corrispondenti alla Città I (fig. 7:b) e furono utilizzati, con ogni probabilità, come materiali di fondazione per i pavimenti della sottofase sovrastante (cf. Capitolo 5).

### 1946

Come accennato in precedenza, gli ultimi scavi effettuati da Morricone a Kos si svolsero nell'angolo NW della Zona II del Serraglio, durante il tardo inverno del 1946<sup>54</sup>. Gli strati pertinenti all'Età del Bronzo vennero esplorati tra il 28 febbraio e il 5 marzo. Furono portate alle luce, stratificate le une sulle altre, alcune strutture murarie appartenenti alle Città I-IV (fig. 8; tav. 2:d). Anche in questo caso, sotto i pavimenti della Città I fu rinvenuto un riempimento stracolmo di ceramica DSI, *LoD/DoL*. Il risultato più evidente degli scavi del 1946 fu l'ulteriore e definitiva conferma della sequenza stratigrafica già riconosciuta in precedenza (figg. 6-8).

---

<sup>50</sup> Morricone 1975, pp. 195-198, figg. 85-88.

<sup>51</sup> Morricone 1975, p. 386.

<sup>52</sup> Morricone 1975, pp. 195, 198, fig. 89.

<sup>53</sup> Morricone 1975, pp. 244-252.

<sup>54</sup> Morricone 1975, pp. 224-232.

## Capitolo 3.

### Esame dei contesti della Sottofase III:1

All'interno del presente capitolo sono esaminati in dettaglio i principali contesti della Sottofase III:1, rinvenuti da Morricone durante la sua esplorazione del “Serraglio”<sup>55</sup>. L'obiettivo è proporre un'analisi più aggiornata dei materiali e dei contesti pertinenti al TB IA.

#### Analisi dell'evidenza<sup>56</sup>

**Contesto III:1.a-01.** Serraglio: Zona I, Vano A (giugno 1942; Morricone 1975, pp. 195-198, nn. 1221-1229, figg. 85-88).

#### Catalogo

01. Brocca con becco obliquo e alto collo. N. 1221. DSI, *LoD* su fasce.

Fig. 9:a; tav. 3:a.

Ricomposta; becco, collo e ansa parzialmente restaurati in gesso. Max. h. preservata 0,221. D/b. 0,071. Max. d/i. semifine: piccoli grani di mica dorata; inclusi bianchi e marroni. Superficie lavata e lisciata. Argilla in superficie 5 YR 6.5/6. Lavaggio 10 YR 8/2. Corpo ovoidale; bocca a becco; collo rastremato verso l'alto; ansa verticale a cordone; base concava. Vernice opaca 10 YR 5.5/8 (fasce scure), 10 YR 8/2 (ornati chiari): rimane una linea ondulata singola sul ventre (estremamente consunta).

02. Brocca con becco obliquo e alto collo. N. 1222. DSI, *LoD-DoL*.

Fig. 9:b; tav. 3:b.

Ricomposta; parte del becco restaurata in gesso. Max. h. preservata 0,264. D/b. 0,059. Max. d/i. semifine: grani di mica dorata; inclusi bianchi e marroni. Superficie lavata e lisciata. Argilla in superficie 5 YR 6.5/6. Lavaggio 10 YR 8/2. Corpo ovoidale; bocca a becco; collo rastremato verso l'alto; ansa verticale a cordone; base concava. Vernice opaca 10 R 4.5/8 (fasce scure e ornati scuri), 10 YR 8/2 (ornati bianchi): si intravedono tracce di alcuni festoni sul becco e di linee ondulate singole sul collo e sul ventre.

---

<sup>55</sup> Morricone 1975.

<sup>56</sup> Tutte le misure sono espresse in m.

03. Brocca con becco obliquo. N. 1223. ACSF.

Fig. 9:c; tav. 3:c.

Intatta; piccola parte dell'orlo restaurata in gesso. Max. h. preservata 0,244. D/b. 0,077. Max. d/i. semifine: molti grani di mica dorata; inclusi bianchi e marroni. Superficie levigata. Argilla in superficie 5 YR 6.5/6. Corpo ovoidale; bocca obliqua; collo concavo; ansa verticale a cordone; base concava. Acroma.

04. Brocca con becco obliquo e alto collo. N. 1224. DSI, *LoD*.

Fig. 9:d; tav. 3:d.

Ricomposta; parti del becco e del collo restaurate in gesso. Max. h. preservata 0,204. D/b. 0,049. Max. d/i. semifine: inclusi marroni. Superficie lavata e lisciata. Argilla in superficie 5 YR 6.5/6. Lavaggio 2.5 YR 3/0. Corpo ovoidale; bocca a becco; collo rastremato verso l'alto; ansa verticale a cordone; base concava. Vernice opaca 10 YR 8/2: linea ondulata singola sul collo; linea ondulata doppia sulla spalla e sul ventre; trattini sul dorso dell'ansa; superficie lavata fino alla base del collo all'interno.

05. Tazza semiglobulare. N. 1225. DF.

Fig. 9:e; tav. 3:e.

Ricomposta; parti dell'orlo e del corpo restaurate in gesso. Max. h. 0,060 (0,071 sull'ansa). Max. d/o. 0,104. D/b. 0,041. Max. d/i. fine: piccoli grani di mica dorata; pochi inclusi marroni di piccole dimensioni. Superficie ingubbiata e lisciata. Argilla in superficie 5 YR 6.5/6. Ingubbiatura 2.5 Y 7.5/2. Corpo semiglobulare; orlo estroflesso; ansa verticale a nastro con piccolo risalto lungo il dorso; base concava. Vernice semilucida 2.5 YR 4/0: fascia sotto l'orlo all'esterno; festoni pendenti dall'orlo all'interno; due pennellate orizzontali sull'ansa.

06. Tazza semiglobulare. N. 1226. DF.

Fig. 9:f; tav. 3:f.

Ricomposta; parte dell'orlo restaurata in gesso. Max. h. 0,050 (0,055 sull'ansa). Max. d/o. 0,103. D/b. 0,040. Max. d/i. fine: nessun incluso identificabile ad occhio nudo. Superficie ingubbiata e lisciata. Argilla in superficie 10 R 7/4. Corpo semiglobulare; orlo estroflesso; ansa verticale a nastro con piccolo risalto lungo il dorso; base concava. Vernice semilucida 2.5 YR 3.5/0: parte superiore dell'ansa rivestita di vernice; fascia ondulata sull'orlo esterno e

interno, ottenuta mediante l’immersione della parte superiore del corpo nella vernice (“*dipped rim technique*”).

07. Tazza semiglobulare. N. 1227. DF.

Fig. 9:g; tav. 3:g.

Ricomposta; piccola parte dell’orlo restaurata in gesso. Max. h. 0,052 (0,056 sull’ansa). Max. d/o. 0,100. D/b. 0,039. Max. d/i. fine: piccoli grani di mica dorata; pochi inclusi marroni di piccole dimensioni. Argilla in superficie 2.5 YR 7.5/2 - 10 YR 6.5/3. Corpo semiglobulare; orlo estroflesso; ansa verticale a nastro; base concava. Vernice semilucida 2.5 YR 3.5/0: parte superiore dell’ansa rivestita di vernice; “*trickle pattern*” all’esterno e fascia ondulata all’interno, ottenuti mediante l’immersione della parte superiore del corpo nella vernice (“*dipped rim technique*”).

08. Tazza semiglobulare. N. 1228. DF.

Fig. 9:h; tav. 3:h.

Ricomposta; parti dell’orlo e del corpo restaurate in gesso. Max. h. 0,058 (0,059 sull’ansa). Max. d/o. 0,096. D/b. 0,038. Max. d/i. fine: piccoli grani di mica dorata; pochi inclusi marroni di piccole dimensioni. Superficie ingubbiata e lisciata. Argilla in superficie 5 YR 6.5/6. Ingubbiatura 2.5 YR 7.5/2. Corpo semiglobulare; orlo estroflesso; ansa verticale a nastro; base concava. Vernice semilucida 2.5 YR 3.5/0: parte superiore dell’ansa rivestita di vernice; fascia ondulata sull’orlo esterno e interno, ottenuta mediante l’immersione della parte superiore del corpo nella vernice (“*dipped rim technique*”).

09. Olla. N. 1224. DSI, *LoD*.

Fig. 9:i; tav. 3:i.

Ricomposta; parti dell’orlo e del corpo restaurate in gesso. Max. h. 0,086. D/o. 0,076. D/b. 0,040. Max. d/i. semifine: piccoli grani di mica dorata; pochi inclusi marroni di piccole dimensioni. Superficie lavata e levigata. Argilla in superficie 7.5 YR 6.5/4. Lavaggio 2.5 YR 4.5/8. Corpo piriforme con parte inferiore leggermente conica; orlo introflesso senza labbra; rimangono gli attacchi di due anse orizzontali a cordone; base ad anello. Vernice opaca 10 YR 8/2: marmorizzazione sull’intera superficie esterna del corpo.

### Commenti

La datazione al TB IA Iniziale è certa per la presenza delle tazze semiglobulari DF, che, come dimostrato dagli scavi condotti da Marketou, tendono a scomparire dopo questa sottofase. Allo stesso tempo, il recente restauro (2013) delle brocche con becco obliquo e alto collo n. 1221 e 1222 ha indicato che la decorazione di questi due vasi non era lineare, come ritenuto in precedenza, ma DSI, *LoD* su fasce e *LoD-DoL*. Questo dato dimostra per la prima volta con certezza l'esistenza di queste due tecniche prima del TB IA Maturo. Infine, altri due aspetti sono particolarmente significativi: (a) i lavaggi delle ceramiche DSI, *LoD*, vasi n. 1224 e 1229 (tav. col. 5:a, tav. col. 11:a), sono eseguiti in una tecnica identica a quella delle ceramiche MR e MS (tav. col. 11:b, tav. col. 12:a); (b) la vernice chiara utilizzata per la decorazione dei vasi n. 1221, 1222, 1224 e 1229 (tav. col. 5:a, tav. col. 11:a) ha una consistenza farinosa, cioè poco compatta, che rende gli ornati evanescenti.

**Contesto III:1.a-02.** Serraglio: Zona I, Vano Z (giugno 1942; Morricone 1975, pp. 195, 198, n. 1215, fig. 89).

### Catalogo

01. Giara a staffa. N. 1215. ACI.

Fig. 10:a; tav. 4:a.

Ricomposta; alcuni elementi sono parzialmente restaurati in gesso (disco, beccuccio, anse, corpo e base). Max. h. 0,307 (0,316 sull'ansa). D/d. 0,053. D/b. 0,116. Max. d/i. impasto: grani di mica dorata; molti inclusi marroni e bianchi. Superficie lavata e lisciata. Argilla in superficie 5 YR 6.5/6. Lavaggio 7.5 YR 7.5/2. Corpo ovoidale-biconico; falso collo concavo con superficie del disco leggermente concava; beccuccio concavo con orlo senza labbra; tre anse verticali a cordone dalla spalla al disco; base ad anello. Acroma.

### Commenti

In termini di morfologia, la giara a staffa triansata dal Vano Z trova il confronto migliore in un esemplare dai vecchi scavi di Mileto, che potrebbe essere una importazione dalla stessa Kos<sup>57</sup>. Stratigraficamente, il Vano Z appartiene alla stessa fase d'uso del Vano A e, quindi, il contesto deve essere datato al TB IA Iniziale (cf. sopra, Capitolo 2).

<sup>57</sup> Weickert *et al.* 1960, p. 127, tav. 8:1.a.

**Contesto III:1.b-01.** Serraglio: Zona III, possibile deposito pavimentale di distruzione (12 giugno 1942; Morricone 1975, pp. 190-191, n. 1196, figg. 76-77).

### *Catalogo*

01. Pitharaki. N. 1196. DSI, *LoD* su fasce.

Fig. 10:b; tav. 4:b.

Ricomposto; parti del corpo restaurate in gesso. Max. h. 0,488. Max. D/o. 0,214. D/b. 0,135. Max. d/i. semifine: grani di mica dorata; inclusi marroni. Superficie ingubbiata e lisciata. Argilla in superficie 5 YR 6.5/4. Frattura 5 YR 6.5/4. Ingubbiatura 10 YR 7.5/2. Corpo ovoidale-biconico; orlo estroflesso; collo rastremato verso l'alto; due anse verticali a cordone dalla spalla al collo e due anse orizzontali a cordone sulla spalla; base ad anello. Vernice semilucida 2.5 YR 4/0 (fasce scure), 10 YR 8/2 (ornati chiari): trattini su orlo ed anse; linea ondulata doppia su collo, spalla e ventre; corolle sulla spalla.

### *Commenti*

Da un punto di vista stilistico e tecnologico, il pitharaki n. 1196 rappresenta una fase più elaborata di quella testimoniata dai vasi n. 1121-1122, 1124 e 1229 descritti in precedenza (tav. col. 5:a; tav. col. 11:a). Ciò risulta chiaramente dalla qualità più compatta di ingubbiatura e vernice. Sebbene la posizione stratigrafica non sia chiara, tali dati suggeriscono una datazione al TB IA Maturo (cf. sotto, Contesto III:1.b-02).

**Contesto III:1.b-02.** Serraglio: Zona I, saggio sotto le murature della Città I (6 novembre 1940; Morricone 1975, pp. 193-194, nn. 1205-1206, 1211, fig. 60:b, fig. 61:b, figg. 82-83).

### *Catalogo*

01. Brocca con becco obliquo. N. 1205. DSI, *DoL*.

Fig. 11:a; tav. 5:a.

Ricomposta; parte del corpo restaurata in gesso; manca il becco. Max. h. preservata 0,456. D/b. 0,113. Max. d/i. semifine: grani di mica dorata; molti inclusi marroni. Superficie ingubbiata e lisciata. Argilla in superficie 5 YR 6.5/4. Frattura 5 YR 6.5/4. Ingubbiatura 10 YR 7.5/2. Corpo ovoidale; collo leggermente concavo; ansa verticale a cordone; base piatta; la

bocca era a becco. Vernice semilucida, 2.5 YR 4/0: festoni sul becco e sul collo; linea ondulata singola sul collo; linea ondulata doppia sul ventre; trattini sull'ansa.

02. Brocca. N. 1206. DSI, *LoD* su fasce

Fig. 11:b; tav. 5:b.

Ricomposta; parte dell'orlo restaurata in gesso. H. 0,398. D/o. 0,112. D/b. 0,105. Max. d/i. semifine: piccoli grani di mica dorata; alcuni inclusi bianchi e marroni. Superficie ingubbiata e lisciata. Argilla in superficie 5 YR 6.5/4. Ingubbiatura, 10 YR 7.5/2. Corpo ovoidale; orlo arrotondato; ansa verticale a cordone; base piatta. Vernice opaca, 2.5 YR 3.5/0 (fasce scure), 10 YR 8/2 (ornati chiari): linea ondulata doppia sulla parte superiore della spalla; linea ondulata doppia sul ventre; ansa rivestita di vernice con cerchio bianco attorno alla base.

03. Olla con beccuccio a ponte. N. 1211. MR.

Fig. 11:c; tav. 5:c.

Ricomposta; superficie interna, anse e parti del corpo restaurate in gesso. H. 0,246. D/o. 0,107. D/b. 0,087. Max. d/i. semifine: grani di mica dorata; inclusi bianchi e marroni. Superficie ingubbiata e lisciata. Argilla in superficie 5 YR 6.5/6. Frattura 5 YR 6.5/6. Corpo ovoidale-tondeggiate; orlo spiovente; beccuccio a ponte; base leggermente concava; rimangono gli attacchi di due anse verticali a nastro. Ingubbiatura/vernice lucida 10 R 4.5/8. Monocroma.

### *Commenti*

In aggiunta ai tre vasi descritti sopra, il contesto includeva anche delle tazze troncoconiche, oggi perdute. La contemporanea presenza delle tazze troncoconiche e delle brocche DSI, *LoD* su fasce e *DoL* permette di datare il contesto all'interno del TB IA Maturo. L'olla con beccuccio a ponte ricorda un esemplare rinvenuto a Rodi, ad Acrosciro, anch'esso attribuito al TB IA Maturo<sup>58</sup>. La vernice chiara utilizzata per il vaso n. 1206 (tav. col. 12:b) è di consistenza compatta. Ciò rende la decorazione chiaramente leggibile. La vernice usata per le fasce scure nello stesso vaso è anch'essa stabile. Questo dato, insieme al colore nero delle fasce scure, denota una tecnica diversa da quella utilizzata nei vasi di "tradizione locale" MR e MS (tav. col. 11:b, tav. col. 12:a).

<sup>58</sup> Benzi 1992, pp. 410-411, n. 1, tav. 128:i-l, tav. 175:g.

### **Riepilogo dei dati**

Il riesame dei principali depositi pavimentali della Sottofase III:1 suggerisce le seguenti considerazioni. Tra le sottoclassi della DSI, tre su quattro, *LoD*, *LoD* su fasce e *LoD-DoL*, erano certamente in uso già nel corso del TB IA Iniziale, mentre non vi sono prove che la sottoclasse *DoL* abbia iniziato a circolare prima del TB IA Maturo.

Il passaggio dalla sottofase iniziale a quella matura del TB IA sembra aver comportato una serie sviluppi tecnologici. In particolare, nel corso del TB IA Maturo si assiste a un incremento della compattezza di lavaggi e vernici, che avvicinano un po' di più la “tradizione mista” di Kos ai prototipi cretesi di “tradizione minoica” (tav. col. 12:b).

L'analisi dei depositi principali della Sottofase III:1.b, inoltre, conferma la scomparsa delle tazze semiglobulari DF nel corso del TB IA Maturo. Infine, il contesto III:1.b-01 suggerisce che il TB IA Maturo terminò con una distruzione, come precedentemente indicato dall'evidenza portata alla luce da Marketou.

## Capitolo 4.

### Cronologia dei vasi erratici

Nel capitolo precedente sono stati riesaminati i principali depositi pavimentali della Sottofase III:1 rinvenuti da Morricone durante la sua esplorazione del “Serraglio”. Tale riesame ha permesso di ottenere una più aggiornata cronologia relativa delle fasi architettoniche portate alla luce dallo studioso italiano e di ridatare, su basi più solide, circa la metà dei vasi completi di “tradizione mista” attribuibili, per ragioni stilistiche, al TB IA.

La rimanente metà è costituita da materiale erratico. Questo fatto è dovuto alle vicende belliche connesse alla seconda guerra mondiale, in seguito alle quali i diari di scavo andarono perduti e gran parte del materiale rinvenuto e restaurato in precedenza fu smarrito o confuso<sup>59</sup>. Lo scopo del presente capitolo è suggerire una nuova e più aggiornata datazione per i vasi erratici di “tradizione mista”, attribuibili al TB IA. Tale datazione è basata principalmente sul confronto col materiale rinvenuto, *in situ*, sui pavimenti della Sottofase III:1.

#### Catalogo<sup>60</sup>

Er. 01. Brocca con becco obliquo e alto collo. N. 1238. Serraglio, Zona I. Morricone 1975, p. 193, fig. 62:b. DSI, *DoL*.

Fig. 12:a; tav. 6:a.

Intatta; piccolissima porzione dell’orlo restaurata in gesso. Max. h. stimata 0,217. D/b. 0,052. Max. d/i. semifine: piccoli grani di mica dorata; inclusi bianchi e marroni. Superficie lavata e lisciata. Argilla in superficie 5 YR 6.5/6. Frattura 5 YR 6.5/6. Lavaggio, non più leggibile a causa dell’estrema consunzione. Corpo ovoidale; bocca a becco; collo rastremato verso l’alto, con leggera scanalatura circolare alla base; ansa verticale a cordone; base concava. Vernice semilucida 10 YR 4.5/8: decorazione lineare.

Er. 02. Incensiere. N. 1353. Serraglio, Zona I. Morricone 1975, p. 284, fig. 248:b. DSI, *LoD*.

Fig. 12:b; tav. 6:b.

---

<sup>59</sup> Morricone 1975, pp. 147-149, 388.

<sup>60</sup> Tutte le misure sono espresse in m. Se la provenienza non è indicata, si presume che il vaso sia stato rinvenuto nel Serraglio propriamente detto o nella Zona Fadil.

Intatto; manca la parte terminale del cappello. Max. h. 0,072. Max. d/i. semifine: piccoli grani di mica dorata; inclusi marroni. Superficie lavata e lisciata. Argilla in superficie 5 YR 5.5/6. Frattura 2.5 YR 5/6. Lavaggio 5 YR 6.5/1. Corpo globulare; cappello a spiovente; base convessa. Vernice opaca 10 YR 8/2: decorazione lineare.

Er. 03. Oinochoe. N. 1204. Serraglio, Zona II. Morricone 1975, p. 280, fig. 241. DSI, *DoL*.

Fig. 12:c; tav. 6:c.

Ricomposta; parti del corpo e della base restaurate in gesso. Max. h. 0,486. D/b. 0,124. Max. d/i. semifine: grani di mica dorata; inclusi marroni piuttosto grandi. Superficie lavata e lisciata. Lavaggio 10 YR 6.5/3. Corpo biconico; bocca a becco con due bitorzoli sui lati; breve collo concavo con leggera scanalatura circolare alla base; ansa verticale a cordone lievemente scanalata; base piatta. Vernice semifine 10 R 4.5/6: decorazione lineare.

Er. 04. Anfora. Non inventariata. Vitale 2007, p. 46, n. 04, tav. 10:a. DSI, *LoD*.

Fig. 13:a; tav. 7:a.

Ricomposta; rimangono le anse, parte del collo, della spalla e del ventre. Max. d. 0,277. Max. d/i. semifine: grani di mica dorata; inclusi marroni. Superficie lavata e lisciata. Lavaggio 2.5 YR 4.5/0. Il corpo doveva essere di forma ovoidale; breve collo concavo con leggero risalto circolare alla base; due anse verticali a cordone con profonde incisioni alle loro basi. Vernice opaca 10 YR 8/2: linea ondulata doppia intorno alla base del collo; coppie di archi concentrici sulla spalla; cerchi attorno alle basi delle anse.

Er. 05. Brocca. N. 1214. Serraglio, Zona I. Morricone 1975, p. 176, fig. 60:a. DSI, *DoL*.

Fig. 13:b; tav. 7:b.

Ricomposta; bocca e ansa restaurate in gesso. Max. h. preservata 0,299. D/b. 0,096. Max. d/i. semifine: piccoli grani di mica dorata; alcuni inclusi bianchi e molti inclusi marroni. Superficie lavata e lisciata. Argilla in superficie 5 YR 6.5/6. Lavaggio 10 YR 7.5/2. Corpo ovoidale; base piatta. Vernice semilucida 2.5 YR 3.5/0: linea ondulata singola sulla spalla; linea ondulata doppia sul ventre.

Er. 06. Oinochoe. N. 1234. Serraglio, Zona I. Morricone 1975, p. 176, fig. 61:a. DSI, *LoD* su fasce.

Fig. 13:c; tav. 8:a.

Ricomposta; parti del corpo e del becco restaurate in gesso. Max. h. 0,285. D/b. 0,092. Max. d/i. semifine: piccoli grani di mica dorata; alcuni inclusi bianchi e molti inclusi marroni. Superficie ingubbiata e lisciata. Argilla in superficie 5 YR 6.5/6. Ingubbiatura 7.5 YR 7.5/4. Corpo ovoidale-biconico; tracce di un piccolo bitorzolo applicato su un lato del becco; breve collo concavo; ansa verticale a nastro con bottoncino in rilievo nel punto di unione con la bocca; base piatta. Vernice semilucida 10 R 4.5/8 (fasce scure), 10 YR 8/2 (ornati chiari): linea ondulata doppia sulla parte alta della spalla; linea ondulata doppia sul ventre; trattini sul dorso dell'ansa e cerchio attorno alla sua base; orlo verniciato anche all'interno

Er. 07. Tazza semiglobulare. N. 1242. Serraglio, Zona II. Morricone 1975, p. 281, fig. 81:a. DF.

Fig. 13:d; tav. 8:b.

Ricomposta; ansa e parti del corpo restaurate in gesso. Max. h. 0,062. Max. d/o. 0,102. D/b. 0,032. Max. d/i. fine: piccoli grani di mica dorata; pochi inclusi marroni di piccole dimensioni. Superficie ingubbiata e lisciata. Argilla in superficie 2.5 YR 6.5/6. Ingubbiatura 10 YR 7/3.5. Corpo semiglobulare; orlo estroflesso; base concava. Vernice semilucida 2.5 YR 4.5/4: fascia sotto l'orlo all'esterno e festoni sotto l'orlo all'interno.

Er. 08. Tazza semiglobulare. N. 1243. Serraglio, Zona II. Morricone 1975, p. 281, fig. 59:b. DF.

Fig. 13:e; tav. 8:c.

Ricomposta; ansa e parti del corpo restaurate in gesso. Max. h. 0,051. Max. d/o. 0,108. D/b. 0,041. Max. d/i. fine: piccoli grani di mica dorata; molti piccoli grani di colore argenteo; pochi inclusi marroni di piccole dimensioni. Superficie ingubbiata e lisciata. Argilla in superficie 2.5 YR 6.5/6. Frattura 2.5 YR 5.5/6. Ingubbiatura 10 YR 7.5/1. Corpo semiglobulare; orlo estroflesso; base concava. Vernice semilucida 2.5 YR 4/0-2: fascia ondulata sull'orlo esterno e interno, ottenuta mediante l'immersione della parte superiore del corpo nella vernice ("*dipped rim technique*").

Er. 09. Tazza semiglobulare. N. 1246. Serraglio, Zona II. Morricone 1975, p. 281, fig. 59:a. DF.

Fig. 13:f; tav. 8:d.

Ricomposta; metà dell'orlo e parti del corpo restaurate in gesso. Max. h. 0,052 (0,058 sull'ansa). Max. d/o. 0,108. D/b. 0,050. Max. d/i. fine: piccoli grani di mica dorata; pochi

inclusi marroni di piccole dimensioni. Superficie ingubbiata e lisciata. Argilla in superficie 5 YR 6.5/6. Frattura 7.5 YR 6.5/4; nucleo 2.5 YR 4.5/0. Ingubbiatura 10 YR 7/3.5. Corpo semiglobulare; orlo estroflesso; ansa verticale a nastro; base concava. Vernice semilucida, 2.5 YR 5.5/6: parte superiore dell'ansa rivestita di vernice; fascia ondulata sull'orlo esterno e interno, ottenuta mediante l'immersione della parte superiore del corpo nella vernice (“*dipped rim technique*”).

Er. 10. Tazza semiglobulare. N. 1253. Serraglio, Zona II. Morricone 1975, p. 281, fig. 29:b. DF.

Fig. 13:g; tav. 8:e.

Ricomposta; ansa, parti dell'orlo e del corpo restaurate in gesso. Max. h. 0,071. Max. d/o. 0,114. D/b. 0,041. Max. d/i. fine: piccoli grani di mica dorata; molti piccoli grani di colore argenteo; pochi inclusi bianchi e marroni di piccole dimensioni. Superficie ingubbiata e lisciata. Argilla in superficie 5 YR 6.5/6. Ingubbiatura 10 YR 6.5/3. Corpo semiglobulare; orlo estroflesso; base concava. Vernice semilucida 2.5 YR 3.5/0: rametto sul ventre all'esterno e trattini sull'orlo all'interno.

Er. 11. Tazza semiglobulare. N. 1254. Serraglio, Zona I. Morricone 1975, p. 193, fig. 81:b. DF.

Fig. 13:h; tav. 8:f.

Ricomposta; parte dell'orlo restaurata in gesso. Max. h. 0,061. Max. d/o. 0,106. D/b. 0,038. Max. d/i. fine: piccoli grani di mica dorata; pochi inclusi marroni di piccole dimensioni. Superficie ingubbiata e lisciata. Argilla in superficie 5 YR 6.5/6. Ingubbiatura 7.5 YR 7/5. Corpo semiglobulare; orlo estroflesso; ansa verticale a nastro; base concava. Vernice semilucida 5 YR 4.5/3: parte superiore dell'ansa rivestita di vernice; fascia ondulata sull'orlo esterno e interno, ottenuta mediante l'immersione della parte superiore del corpo nella vernice (“*dipped rim technique*”).

Er. 12. Tazza semiglobulare. N. 1255. Serraglio, Zona II. Morricone 1975, p. 220, fig. 59:c. DF.

Fig. 13:i; tav. 8:g.

Ricomposta; ansa e parti del corpo restaurate in gesso. Max. h. 0,057. Max. d/o. 0,105. D/b. 0,034. Max. d/i. fine: piccoli grani di mica dorata; pochi inclusi marroni di piccole dimensioni. Superficie ingubbiata e lisciata. Argilla in superficie 2.5 YR 6.5/4. Frattura 7.5 YR 6.5/4;

nucleo 2.5 YR 5/0. Ingubbiatura 7.5 YR 7/4. Corpo semiglobulare; orlo estroflesso; ansa verticale a nastro; base concava. Vernice semilucida 5 YR 4.5/3: fascia ondulata sull'orlo esterno e interno, ottenuta mediante l'immersione della parte superiore del corpo nella vernice (*"dipped rim technique"*).

Er. 13. Tazza semiglobulare. N. 1256. Serraglio, Zona I. Morricone 1975, p. 176, fig. 59:d. DF.

Fig. 13:l; tav. 8:h.

Ricomposta; parti dell'orlo e del corpo restaurate in gesso. Max. h. 0,057 (0,062 sull'ansa). Max. d/o. 0,106. D/b. 0,043. Max. d/i. fine: piccoli grani di mica dorata; pochi inclusi marroni di piccole dimensioni. Superficie ingubbiata e lisciata. Argilla in superficie 5 YR 6.5/6. Ingubbiatura 10 YR 8/2. Corpo semiglobulare; orlo estroflesso; ansa verticale a nastro; base concava. Vernice semilucida 2.5 YR 4/2: parte superiore dell'ansa rivestita di vernice; fascia ondulata sull'orlo esterno e interno, ottenuta mediante l'immersione della parte superiore del corpo nella vernice (*"dipped rim technique"*).

Er. 14. Tazza semiglobulare. N. 1257. Serraglio, Zona II. Morricone 1975, p. 281, fig. 81:c. DF.

Fig. 13:m; tav. 8:i.

Ricomposta, ma completa. Max. h. 0,058. Max. d/o. 0,098. D/b. 0,040. Max. d/i. fine: piccoli grani di mica dorata; pochi inclusi marroni di piccole dimensioni. Superficie ingubbiata e lisciata. Argilla in superficie 5 YR 6.5/6. Ingubbiatura 7.5 YR 7/5. Corpo semiglobulare; orlo estroflesso; ansa verticale a nastro con leggero risalto lungo il dorso; base concava. Vernice semilucida 5 YR 4.5/3: parte superiore dell'ansa rivestita di vernice; fascia ondulata sull'orlo esterno e interno, ottenuta mediante l'immersione della parte superiore del corpo nella vernice (*"dipped rim technique"*).

Er. 15. Tazza troncoconica. Non inventariata. DF. Inedita.

Fig. 13:n; tav. 8:l.

Intatta; manca una piccola parte dell'orlo. Max. h. 0,065. Max. d/o. 0,118. D/b. 0,048. Max. d/i. fine: piccoli grani di mica dorata; inclusi marroni di piccole dimensioni. Superficie lisciata. Argilla in superficie 5 YR 6.5/4. Frattura 5 YR 7.5/4; nucleo 2.5 YR 5/0. Corpo troncoconico; orlo senza labbra; base concava con striature spiraliformi sul fondo originatesi al momento del distacco dal tornio tramite corda (*"string cut base"*). Vernice semilucida 5 YR 4.5/3: fascia

ondulata sull’orlo esterno e interno, ottenuta mediante l’immersione della parte superiore del corpo nella vernice (“*dipped rim technique*”).

### Discussione

I primi sei vasi presentati nel precedente catalogo appartengono a forme chiuse della classe DSI, *LoD/DoL*. Come sottolineato all’interno del Capitolo 1, tale classe ebbe il suo maggior momento di diffusione nel TB IA Maturo e continuò a essere in uso, in quantità più limitate, fino al TB II-TB IIIA1; la sua produzione cominciò nel TB IA Iniziale, all’interno del quale, tuttavia, la DSI, *LoD/DoL* era poco comune e limitata ai tipi *LoD*, *LoD* su fasce e *LoD-DoL*. Queste considerazioni suggeriscono che tutti i vasi DSI, *DoL* presentati in questo capitolo (Err. 01, 03, 05) siano da datare al TB IA Maturo. I vasi decorati con tecnica DSI, *LoD* (Err. 02, 04) possono essere attribuiti al TB IA Iniziale o Maturo, mentre la compattezza dell’ingubbiatura e della vernice utilizzate per il vaso Er. 06 suggerisce una datazione al TB IA Maturo.

I vasi Err. 07-14 sono tutti rappresentati da tazze semiglobulari con orlo estroflesso e ansa verticale a nastro. Tali tazze rappresentano la principale forma diagnostica del TB IA Iniziale a Kos e tendono a scomparire nel TB IA Maturo<sup>61</sup>. Il vaso Er. 15 è l’unica tazza troncoconica completa in ceramica DF dagli scavi di Morricone. Le tazze troncoconiche in ceramica DF sono rare a Kos. Nessun esemplare proviene da contesti chiusi. Considerando la cronologia della classe DF, la data più probabile per il vaso Er. 15 è il TB IA Iniziale. Tuttavia, in linea di principio, non si può escludere il TB IA Maturo, che rappresenta il periodo di maggiore diffusione delle tazze troncoconiche acrome nel “Serraglio”.

### Riepilogo dei dati

Riassumendo, in seguito all’analisi effettuata nel paragrafo precedente, la cronologia più verosimile per i vasi Err. 01-15 può essere ricapitolata nel modo seguente:

TB IA Iniziale (Sottofase III:1.a): Err. 07-14.

TB IA Iniziale o TB IA Maturo (Sottofase III:1.a o Sottofase III:1.b): Err. 02, 04, 15.

TB IA Maturo (Sottofase III:1.b): Err. 01, 03, 05-06.

Non può essere escluso, tuttavia, che i vasi Err. 01-06 appartengano tutti o in parte a una fase più tarda di quella suggerita qui, che potrebbe essere compresa tra il TB IB e il TB IIIA1.

---

<sup>61</sup> Marketou 1990a, p. 103, fig. 5:c.

## Capitolo 5.

### Analisi del materiale frammentario

Nel corso di questo capitolo sono analizzati i reperti contenuti in quattro cassette conservate nei magazzini dell'Eforia per le Antichità del Dodecanneso a Kos e contrassegnate rispettivamente dai numeri 0, 04, 15 e 18<sup>62</sup>. Esse includono la maggior parte dei frammenti appartenenti alle classi di “tradizione mista”, rinvenuti nel corso degli scavi effettuati da Morricone. Una parte significativa di questi frammenti, costituiti principalmente da ceramica DSI, *LoD/DoL*, è presentata in forma di catalogo, come nei capitoli precedenti. La parte rimanente è inclusa in una serie di tabelle, che riassumono i dati fondamentali in termini di morfologia, tipologia e decorazione. Tutti i pezzi presentati nel catalogo sono documentati per mezzo di nuovi disegni e fotografie. Il catalogo è seguito da un paragrafo conclusivo con il riepilogo e la discussione dei dati illustrati nelle sezioni precedenti.

Come si vedrà nel corso del presente capitolo, in aggiunta ai materiali di “tradizione mista”, le Cass. 0, 04, 15 e 18 contengono anche alcuni pezzi appartenenti ad altre classi. Tali reperti sono presentati in maniera analoga a quelli di “tradizione mista” e, quindi, compaiono sia nel catalogo, sia nelle tabelle riassuntive. La totalità dei frammenti di “tradizione mista” è attribuibile al TB IA, mentre i materiali appartenenti alle altre classi sono in parte antecedenti, in parte coevi e in parte posteriori a tale data.

#### **Ipotesi sull'origine e la provenienza dei frammenti**

Non esistono informazioni certe sulla data di scavo o il contesto di provenienza del materiale contenuto nelle quattro cassette, che costituiscono l'argomento principale di questo capitolo. Tale fatto è dovuto ai tragici eventi bellici connessi alla seconda guerra mondiale, a seguito dei quali, come già riferito, i diari di scavo originali furono smarriti e gran parte dei reperti andò perduta o confusa<sup>63</sup>. Per effetto di tali circostanze, l'unica fonte oggi a nostra disposizione per tentare di risalire all'origine dei frammenti in discussione rimane il lungo e dettagliato articolo pubblicato nel 1975 da Morricone all'interno dell'*Annuario della Scuola Archeologica Italiana di Atene*<sup>64</sup>.

---

<sup>62</sup> I numeri rispecchiano la sequenza arbitrariamente assegnata in origine dall'Eforia del Dodecanneso alle cassette contenenti i materiali dagli scavi di Morricone. Nel corso delle stagioni di studio effettuate in ambito SELAP, le cassette sono state contrassegnate con una nuova numerazione progressiva da 1 a 27. Le cassette originariamente indicate con i numeri 0, 04, 15, e 18 corrispondono rispettivamente ai numeri SELAP 09, 08, 26, e 07.

<sup>63</sup> Morricone 1975, pp. 147-149.

<sup>64</sup> Morricone 1975.

**Le Cassette 0 e 04**

Le etichette esterne che contrassegnano le Cass. 0 e 04 recano entrambe la seguente scritta:

<i>Οικόπεδο</i>	<i>Σεράγια</i>
<i>‘Οδός</i>	-
<i>Έτος άνασκαφής</i>	-
<i>Ημερολόγιο</i>	-
<i>Περιέχονται</i>	<i>Όστρακα διαλεγμένα από τον καθηγητή Morricone<sup>65</sup></i>

In basso, e certamente in un momento successivo a quello della prima scritta, era stata aggiunta la glossa:

*MB III-LB I Light on Dark; Dark on light*

All’interno della Cass. 04 era inoltre conservato un piccolo foglio di carta con la scritta:

<i>Τόπος εύρέσεως</i>	<i>Σεράγια</i>
<i>Χρόνος εύρέσεως</i>	<i>Ιταλική άνασκαφή</i>
<i>Περιγραφή</i>	<i>Όστρακα μυκηναϊκά από τον Morricone<sup>66</sup></i>

Le Cass. 0 e 04 contengono la quasi totalità dei pezzi in ceramica DSI, *LoD/DoL* scelti da Morricone nel 1975 per la pubblicazione (“Όστρακα διαλεγμένα από τον καθηγητή

<sup>65</sup> Traduzione:

Sito:	“Serraglio”
Via:	-
Anno dello scavo:	-
Diario di scavo:	-
Contenuto:	Frammenti selezionati dal Prof. Morricone

<sup>66</sup> Traduzione:

Luogo della scoperta:	“Serraglio”
Data della scoperta:	Scavi italiani
Descrizione:	Frammenti micenei da Morricone

*Morricone*)<sup>67</sup>. Solo un numero molto esiguo di frammenti è costituito da materiale inedito. Si può ipotizzare che tutti i pezzi attualmente conservati nelle Cass. 0 e 04 fossero stati inizialmente selezionati da Morricone per essere pubblicati, ma, alla fine, una piccolissima parte di essi rimase inedita a causa di un ripensamento, per motivi di tempo o di spazio. L'ultima riga contenuta nel piccolo foglio di carta custodito nella Cass. 04 (“*Ὅσπρακα μωκηναϊκὰ ἀπὸ τὸν Morricone*”) è evidentemente frutto di un errore, essendo il materiale quasi integralmente costituito da ceramica DSI, *LoD/DoL*.

A proposito dei frammenti pubblicati nel 1975, Morricone scrive che essi provenivano dagli scavi del 1942 nella Zona II del Serraglio e del 1943 nella Zona Fadil. Al momento in cui il materiale fu pubblicato non era però più possibile indicare l'esatta provenienza dei singoli pezzi, a causa del rimescolamento provocato dagli eventi accaduti nel corso della seconda guerra mondiale<sup>68</sup>. Rileggendo il resoconto degli scavi effettuati nella Zona II del Serraglio durante il 1942, tuttavia, non è menzionato alcun contesto in cui siano stati rinvenuti frammenti di ceramica DSI, *LoD/DoL*<sup>69</sup>. Al contrario, all'interno del resoconto sulle indagini effettuate nel 1943 nella Zona Fadil, sono descritti due diversi contesti che restituirono ceramica DSI, *LoD/DoL*<sup>70</sup>. Si tratta, in entrambi i casi, di riempimenti stratificati sotto i livelli pavimentali attribuiti alla Città I (cf. sopra, Capitolo 2; fig. 7)<sup>71</sup>.

Nessuna relazione è stabilita da Morricone tra i frammenti pubblicati nel 1975 e il riempimento rinvenuto il 5 marzo del 1946 nella Zona II del Serraglio, in corrispondenza della “Casa dei Fichi”, sotto i pavimenti della Città I (cf. sopra, Capitolo 2; fig. 8; tav. 2:d). A parte i tre riempimenti appena menzionati, non sono citati, all'interno dell'articolo del 1975, altri contesti nei quali furono portati alla luce frammenti di ceramica DSI, *LoD/DoL*.

Alla fine di questo breve riesame dell'evidenza a nostra disposizione, sull'origine dei frammenti contenuti nelle Cass. 0 e 04 possono essere suggerite le seguenti conclusioni. In primo luogo, i frammenti DSI, *LoD/DoL* contenuti nelle Cass. 0 e 04 corrispondono quasi integralmente a quelli pubblicati nel 1975 da Morricone. Per tale motivo è logico ritenere che essi provengano, almeno in parte, dagli scavi effettuati, nei mesi di gennaio e maggio del 1943, nella Zona Fadil (cf. Capitolo 2). Inoltre, i frammenti DSI, *LoD/DoL* contenuti nelle Cass. 0 e 04 provengono da riempimenti stratificati sotto i livelli appartenenti alla Città I. Essi devono perciò essere assegnati alla Sottofase III:1 e datati all'interno del TB IA Iniziale e del TB IA Maturo<sup>72</sup>.

---

<sup>67</sup> Morricone 1975, pp. 296-326, figg. 265-313.

<sup>68</sup> Morricone 1975, pp. 296-297.

<sup>69</sup> Cf. Morricone 1975, pp. 219-224.

<sup>70</sup> Cf. Morricone 1975, pp. 247-250, figg. 190, 193.

<sup>71</sup> Cf. Morricone 1975, p. 252.

<sup>72</sup> La produzione di ceramica DSI, *LoD/DoL* non è attestata prima del TB IA Iniziale (cf. sopra, Capitoli 1-3).

**La Cassetta 15**

L’etichetta esterna che contrassegna la Cass. 15 reca la seguente scritta:

<i>Οικόπεδο</i>	<i>Σεράγια</i>
<i>‘Οδός</i>	-
<i>Έτος ανασκαφής</i>	-
<i>Ημερολόγιο</i>	-
<i>Περιέχονται</i>	<i>Όστρακα</i> <sup>73</sup>

All’interno della Cass. 15 è inoltre conservato un altro piccolo foglio di carta con la scritta:

<i>Τόπος εύρέσεως</i>	<i>Σεράγια</i>
<i>Χρόνος εύρέσεως</i>	<i>Ιταλική ανασκαφή</i>
<i>Περιγραφή</i>	<i>Θραύσματα αγγείων μυκηναϊκών (sic)</i> <sup>74</sup>

Più in basso, sullo stesso foglietto, certamente in un momento successivo a quello della prima scritta, era stata aggiunta la seguente glossa:

*Χωρίς ενδείξεις, στο ίδιο ράφι με αγγεία από Σεράγια*<sup>75</sup>

---

<sup>73</sup> Traduzione:

Sito: “Serraglio”

Via: -

Anno dello scavo: -

Diario di scavo: -

Contenuto: Frammenti

<sup>74</sup> Traduzione:

Luogo della scoperta: “Serraglio”

Data della scoperta: Scavi italiani

Descrizione: Frammenti di vasi micenei

<sup>75</sup> Traduzione:

Nessuna informazione; stesso scaffale di quello con i vasi dal “Serraglio”

Tale glossa è l'unica, tra quelle esaminate, ad essere stata redatta in grafia monotonica.

La Cass. 15 conteneva una percentuale relativamente alta di ceramica DSI, *LoD/DoL* inedita. Tra i frammenti già pubblicati da Morricone spiccano due becchi appartenenti a brocche con becco obliquo e alto collo (cf. sotto, nn. 15:01-02). Una caratteristica saliente della Cass. 15 è, inoltre, la presenza di numerosi frammenti combacianti, appartenenti a un pitharaki ricomposto dallo scrivente e qui catalogato come 15:03.

L'evidenza a nostra disposizione per risalire all'origine del materiale contenuto nella Cass. 15 è piuttosto scarsa. Interpretare i dati è dunque molto difficile. L'unico elemento concreto dal quale si può partire è la presenza di alcuni frammenti già pubblicati da Morricone nel 1975. Questo dato suggerisce che almeno parte del materiale contenuto nella Cass. 15 abbia la stessa origine di quello conservato nelle Cass. 0 e 04. Questa ipotesi è avvalorata dal fatto che alcuni frammenti combacianti che compongono il pitharaki 15:03 sono stati rinvenuti nelle Cass. 0 (quattro frammenti) e 04 (tre frammenti). Il materiale inedito potrebbe, anche in questo caso, essere stato selezionato in un primo tempo per la pubblicazione e poi non essere stato incluso da Morricone per ragioni ormai non più riconoscibili.

### **La Cassetta 18**

L'etichetta esterna che contrassegna la Cass. 18 reca la seguente scritta:

<i>Οικόπεδο</i>	<i>Σεράγια</i>
<i>Όδος</i>	-
<i>Έτος άνασκαφής</i>	<i>1941</i>
<i>Ημερολόγιο</i>	-
<i>Περιέχονται</i>	<i>Όστρακα<sup>76</sup></i>

All'interno della Cass. 18 sono inoltre conservati altri due piccoli fogli di carta. Sul primo è scritto:

---

<sup>76</sup> Traduzione:  
 Sito: "Serraglio"  
 Via: -  
 Anno dello scavo: 1941  
 Diario di scavo: -  
 Contenuto: Frammenti

<i>Τόπος εὑρέσεως</i>	<i>Σεράγια</i>
<i>Χρόνος εὑρέσεως</i>	<i>Ιταλική ἀνασκαφή</i>
<i>Περιγραφή</i>	<i>T 55</i>
	<i>1941</i>
	<i>XIX<sup>77</sup></i>

Il secondo foglietto, molto consunto dal tempo, reca una scritta in italiano:

Serraglio II

T. 55 (in olla)

22 settembre 1941 XIX

I frammenti contenuti nella Cass. 18 sono molto numerosi e appartengono, con poche eccezioni, alla ceramica DSI, *LoD/DoL*. La caratteristica che distingue la Cass. 18 dalle altre fin qui esaminate è che essa comprende esclusivamente materiale inedito. Nessuna relazione può essere stabilita, tuttavia, tra tale materiale e i dati cui fanno riferimento l’etichetta esterna e i due foglietti conservati all’interno della cassetta. Infatti, il resoconto sullo scavo della Tomba 55 non contiene alcun accenno al ritrovamento di ceramica DSI, *LoD/DoL*. Inoltre, il livello al quale apparteneva la Tomba 55 era di molto superiore rispetto a quello delle murature più antiche della Zona II del Serraglio, cioè le murature delle Città I-II<sup>78</sup>.

Qual è dunque l’origine del materiale attualmente conservato all’interno della Cass. 18? Due alternative appaiono possibili. La prima è che il materiale abbia la stessa origine di quello scelto da Morricone per essere pubblicato e poi finito nelle Cass. 0 e 04. In questo caso, i frammenti attualmente conservati nella Cass. 18 sarebbero stati scartati dalla selezione operata da Morricone in vista della pubblicazione poiché considerati poco interessanti e/o a causa del loro logoro stato di conservazione.

---

<sup>77</sup> Traduzione:

Luogo della scoperta: “Serraglio”  
 Data della scoperta: Scavi italiani  
 Descrizione: T 55  
 1941  
 XIX

<sup>78</sup> Morricone 1975, pp. 216-219.

La seconda ipotesi è molto più attraente. Essa prevede che il materiale attualmente contenuto nella Cass. 18 sia quello rinvenuto il 5 marzo del 1946 nella Zona II del Serraglio, in corrispondenza della “Casa dei Fichi”, sotto i pavimenti della Città I (cf. sopra; fig. 8; tav. 2:d).

Nessuna delle cassette oggi conservate nei magazzini di Kos dell’Eforia per le Antichità del Dodecanneso fa riferimento a tale materiale. Questa circostanza è strana, dal momento che tutti i frammenti rinvenuti durante il medesimo saggio di scavo sono ordinatamente conservati all’interno dei magazzini. In pratica esiste almeno una cassetta contenente i materiali rinvenuti in ogni singola giornata di lavoro effettuata dal 22 febbraio al 4 marzo del 1946. L’unica data non documentata è appunto quella del 5 marzo, giorno in cui Morricone riferisce di aver rinvenuto il riempimento con i frammenti di ceramica DSI, *LoD/DoL* (cf. Capitolo 2)<sup>79</sup>. Se non si accetta questa seconda ipotesi, bisogna concludere che i frammenti di ceramica DSI, *LoD/DoL* rinvenuti nel 1946, e mai pubblicati da Morricone, siano stati scartati subito dopo essere stati portati alla luce o siano andati perduti nel corso del tempo.

### I frammenti conservati nella Cassetta 0

#### **Catalogo**<sup>80</sup>

DSI, *LoD*:

0:01. Pitharaki. Morricone 1975, p. 299, fig. 266:b.

Fig. 14:a; tav. 9:a.

Parete. Max. d. 0,339. Max. d/i. semifine: grani di mica dorata; inclusi bianchi e marroni. Superficie lavata e lisciata. Frattura 5 YR 6.5/8; nucleo 2.5 YR 5/0. Lavaggio 2.5 YR 4.5/0. Collo rastremato verso l’alto. Vernice opaca 10 YR 8/2: tratti obliqui e linea ondulata doppia sul collo; lunule sulla spalla.

0:02. Pitharaki. Morricone 1975, pp. 298-299, fig. 267.

Fig. 14:b; tav. 9:b.

Orlo. D/o. 0,234. Max. d/i. semifine: grani di mica dorata; inclusi bianchi e marroni. Superficie lisciata. Argilla in superficie e frattura 2.5 YR 5/8; nucleo 2.5 YR 5/0. Profilo del corpo verosimilmente piriforme; orlo piatto; ansa verticale a sezione ovale con leggera scanalatura sul dorso. Vernice opaca 10 YR 8/2: trattini sull’orlo; linea ondulata doppia e lunule sul corpo; trattini sul dorso dell’ansa e cerchio attorno alla base.

<sup>79</sup> Morricone 1975, p. 232, fig. 158.

<sup>80</sup> Tutte le misure sono espresse in m.

0:03. Pitharaki. Morricone 1975, p. 306, fig. 275:a-b.

Fig. 14:c; tav. 9:c.

Orlo. D/o. 0,210. Max. d/i. semifine: grani di mica dorata; inclusi bianchi e marroni. Superficie lavata e levigata. Frattura 2.5 YR 5.5/6. Lavaggio 2.5 YR 4.5/2. Orlo spiovente. Vernice opaca 10 YR 8/2: trattini sopra l'orlo; lunule sulla spalla.

0:04. Brocca. Morricone 1975, p. 305, fig. 284:d.

Fig. 14:d; tav. 9:d.

Due frammenti non combacianti: ansa e corpo. Max. d. 0,226. Max. d/i. semifine: grani di mica dorata; inclusi marroni. Superficie lisciata. Argilla in superficie e frattura 5 YR 5.5/6; nucleo 2.5 YR 4.5/0. Corpo globulare; ansa verticale a cordone. Vernice opaca 10 YR 8/2: spirale “J” e merletto sul corpo; trattini sul dorso dell'ansa; cerchi attorno all'attacco dell'ansa.

0:05. Brocca. Morricone 1975, p. 316, fig. 298:m.

Fig. 14:e; tav. 9:e.

Parete. Max. d. 0,158. Max. d/i. semifine: grani di mica dorata; inclusi bianchi e marroni. Superficie lavata e lisciata. Frattura 2.5 YR 6/6; nucleo 2.5 YR 5/0. Lavaggio 2.5 YR 4/0. Corpo verosimilmente globulare; collo rastremato verso l'alto. Vernice opaca 10 YR 8/2: collana di foglie alla base del collo; linea ondulata singola sulla spalla.

0:06. Brocca. Morricone 1975, p. 313, fig. 279:a.

Fig. 15:a; tav. 10:a.

Parete. Max. d. 0,156. Max. d/i. semifine: grani di mica dorata; inclusi bianchi e marroni. Superficie levigata. Argilla in superficie e frattura 5 YR 5.5/6; nucleo 2.5 YR 4.5/0. Collo concavo. Vernice opaca 10 YR 8/2: linea ondulata singola sul collo; linea ondulata doppia sulla spalla.

0:07. Brocca. Morricone 1975, p. 316, fig. 298:l.

Fig. 15:b; tav. 10:b.

Parete. Max. d. 0,224. Max. d/i. semifine: grani di mica dorata; inclusi bianchi e marroni. Superficie lavata e lisciata. Frattura 5 YR 7/5. Lavaggio 2.5 YR 3.5/0. Corpo verosimilmente globulare. Vernice opaca 10 YR 8/2: collana di foglie alla base del collo; linea ondulata singola sulla spalla.

0:08. Brocca con becco obliquo. Policroma. Morricone 1975, p. 313, fig. 283:b.

Fig. 15:c; tav. 10:c.

Ansa. Max. d. 0,128. Max. d/i. semifine: grani di mica dorata; inclusi bianchi e marroni. Superficie lavata e lisciata. Frattura 2.5 YR 6/6; nucleo 2.5 YR 5.5/0. Lavaggio 2.5 YR 4/0. Attacco di ansa verticale a cordone; collo concavo con risalto alla base. Vernice opaca 10 YR 8/2 (ornati chiari), 2.5 YR 6/8 (arancio): ondulazioni sulla spalla; trattini sul dorso dell'ansa; dettagli aggiunti in arancio.

0:09. Brocca con becco obliquo. Morricone 1975, p. 314, fig. 283:e.

Fig. 15:d; tav. 10:d.

Ansa. Max. d. 0,138. Max. d/i. semifine: grani di mica dorata; inclusi bianchi e marroni. Superficie lavata e lisciata. Frattura 2.5 YR 5.5/6. Lavaggio 2.5 YR 4/0. Attacco di ansa verticale a cordone; collo concavo con risalto alla base. Vernice opaca 10 YR 8/2: linea ondulata singola sul collo; merletto sulla spalla; trattini sul dorso dell'ansa.

0:10. Brocca con becco obliquo. Morricone 1975, p. 305, fig. 283:d.

Fig. 15:e; tav. 10:e.

Ansa. Max. d. 0,156. Max. d/i. semifine: grani di mica dorata; inclusi bianchi e marroni. Superficie lisciata. Argilla in superficie e frattura 5 YR 5.5/6. Attacco di ansa verticale a cordone; collo concavo con risalto alla base. Vernice opaca 10 YR 8/2: festoni sul becco; collana di foglie alla base del collo; linea ondulata doppia sulla spalla.

0:11. Tazza cilindrica. Papagiannopoulou 1985, pp. 87-88, fig. 1.

Fig. 15:f; tav. 10:f.

Base. Max. h. preservata 0,046. D/b. 0,054. Max. d/i. semifine: grani di mica dorata; inclusi bianchi e marroni. Superficie lavata e lisciata. Frattura 5 YR 6.5/6. Lavaggio 2.5 YR 4.5/0.

Corpo cilindrico; attacco di ansa verticale a nastro; base smussata con fondo piatto. Vernice opaca 10 YR 8/2: linea ondulata singola e marmorizzazione all'esterno; interno monocromo.

0:12. Bacino. Morricone 1975, p. 314, fig. 276:d.

Fig. 15:g; tav. 10:g.

Parete. Max. d. 0,330. Max. d/i. semifine: grani di mica dorata; inclusi bianchi e marroni. Superficie lavata e lisciata. Frattura 5 YR 5.5/6; nucleo 2.5 YR 5/0. Lavaggio 2.5 YR 4.5/2. Parete diritta con risalto piatto. Vernice opaca 10 YR 8/2: spirale “J” con stelo a rametto.

DSI, *LoD* su fasce:

0:13. Pitharaki. Morricone 1975, p. 298, fig. 266:a.

Fig. 16:a; tav. 11:a.

Orlo. D/o. 0,308. Max. d/i. semifine: grani di mica dorata; grani lucenti di colore grigio; inclusi bianchi e marroni. Superficie lavata e levigata. Frattura 2.5 YR 4.5/8; nucleo 2.5 YR 5.5/0. Lavaggio 10 YR 5.5/1 (visibile solo all'interno). Orlo estroflesso; collo concavo. Vernice opaca 2.5 YR 4/0 (fasce scure), 10 YR 8/2 (ornati chiari): tratti obliqui sul collo; rametto sulla spalla.

0:14. Anfora. Morricone 1975, p. 318, fig. 298:n.

Fig. 16:b; tav. 11:b.

Orlo. Max. d/o. 0,065. Max. d. 0,124. Max. d/i. semifine: grani di mica dorata; inclusi marroni. Superficie lavata e lisciata. Frattura 5 YR 6.5/6. Lavaggio 10 YR 7.5/2. Orlo arrotondato a doppio sgrondo; due anse verticali a cordone; collo concavo. Vernice opaca 2.5 YR 4/0 (fasce scure), 10 YR 8/2 (ornati chiari): trattini sull'orlo e sulle anse; cerchi attorno agli attacchi delle anse; linea ondulata doppia sulla spalla.

0:15. Brocca. Morricone 1975, p. 309, fig. 280:a.

Fig. 16:c; tav. 11:c.

Orlo. D/o. 0,095. Max. d/i. semifine: grani di mica dorata; inclusi marroni. Superficie lavata e lisciata. Frattura 5 YR 7/5; nucleo 2.5 YR 4.5/0. Lavaggio 7.5 YR 7.5/4 (visibile solo all'interno). Orlo arrotondato; collo concavo; attacco di ansa verticale a cordone. Vernice

opaca 2.5 YR 3.5/0 (fasce scure), 10 YR 8/2 (ornati chiari): ondulazioni sotto l'orlo all'esterno e all'interno.

0:16. Olla con o senza beccuccio a ponte oppure pitharaki. Morricone 1975, p. 300, fig. 273:e.

Fig. 16d; tav. 11:d.

Ansa. Max. d. 0,278. Max. d/i. semifine: grani di mica dorata; inclusi bianchi e marroni. Superficie lavata e lisciata. Frattura 5 YR 5.5/6. Lavaggio 5 YR 7.5/1. Corpo verosimilmente globulare; ansa orizzontale a cordone con una profonda incisione in prossimità dell'attacco. Vernice opaca 2.5 YR 4/0 (fasce scure), 10 YR 8/2 (ornati chiari): rimane una linea bianca eseguita su una fascia scura sotto l'attacco dell'ansa.

0:17. Bacino. Morricone 1975, p. 301, fig. 275:c.

Fig. 16:e; tav. 11:e.

Orlo. D/o 0,333. Max. d/i. semifine: grani di mica dorata; inclusi bianchi e marroni. Superficie lavata e lisciata. Frattura 2.5 YR 5.5/6; nucleo 2.5 YR 5/0. Lavaggio 5 YR 7.5/1 (visibile solo all'interno). Orlo piatto. Vernice opaca 2.5 YR 3.5/0 (fasce scure), 10 YR 8/2 (ornati chiari): ondulazioni sopra e sotto l'orlo; merletto e lunule più in basso; spessa fascia sotto l'orlo all'interno.

0:18. Giara (NMI). Morricone 1975, p. 317, fig. 296:n.

Fig. 17:a; tav. 12:a.

Orlo. D/o 0,170. Max. d/i. semifine: grani di mica dorata; inclusi bianchi e marroni. Superficie lavata e lisciata. Frattura 2.5 YR 5.5/6; nucleo 2.5 YR 5/0. Lavaggio 7.5 YR 6.5/2 (visibile solo all'interno). Orlo senza labbra; collo a collare. Vernice opaca 2.5 YR 4/0 (fasce scure), 10 YR 8/2 (ornati chiari): collana di foglie pendente dall'orlo; linea ondulata singola sulla spalla.

0:19. Forma chiusa (NMI). Morricone 1975, p. 300, fig. 271:f.

Fig. 17:b; tav. 12:b.

Base. D/b. 0,093. Max. d/i. semifine: grani di mica dorata; inclusi bianchi e marroni. Superficie lavata e lisciata. Frattura 5 YR 6.5/6. Lavaggio 10 YR 7.5/2. Base concava. Vernice opaca 2.5 YR 4.5/0 (fasce scure), 10 YR 8/2 (ornati chiari): rimane una linea bianca eseguita su una fascia scura in prossimità della base.

DSI, *DoL*:

0:20. Pitharaki. Morricone 1975, p. 320, fig. 304.

Fig. 17:c; tav. 12:c.

Orlo. D/o. 0,206. Max. d/i. semifine: grani di mica dorata; inclusi bianchi e marroni. Superficie lavata e lisciata. Frattura 5 YR 5.5/6; nucleo 2.5 YR 5/0. Lavaggio 10 YR 4.5/1. Corpo verosimilmente globulare o globulare-biconico; orlo senza labbra; collo a collare. Vernice semilucida 2.5 YR 3.5/0: serie di cespugli sulla spalla.

0:21. Pitharaki. Morricone 1975, p. 320, fig. 303.

Fig. 17:d; tav. 12:d.

Orlo. D/o. 0,192. Max. d/i. semifine: grani di mica dorata; inclusi bianchi e marroni. Superficie lavata e lisciata. Frattura 5 YR 6.5/6. Lavaggio 10 YR 6.5/2. Corpo verosimilmente globulare o globulare-biconico; orlo senza labbra; rimangono gli attacchi di due anse orizzontali a cordone, innestate ad altezze diverse sulla spalla; collo a collare. Vernice opaca 2.5 YR 3/0: linea ondulata doppia e spirali correnti “J” sulla spalla; cerchi attorno agli attacchi delle anse.

0:22. Anfora. Morricone 1975, p. 302, fig. 277:d.

Fig. 18:a; tav. 13:a.

Orlo. Max. d/o. 0,070. Max. d. 0,158. Max. d/i. semifine: grani di mica dorata; inclusi bianchi e marroni. Superficie lavata e lisciata. Frattura 2.5 YR 5.5/6; nucleo 2.5 YR 5/0. Lavaggio 10 YR 7/2. Orlo a doppio sgrondo senza labbra; attacchi di due anse verticali a cordone; collo concavo. Vernice semilucida 2.5 YR 3/0: trattini sull’orlo e sulle anse; rametti alla base del collo.

0:23. Anfora. Morricone 1975, p. 302, fig. 277:a.

Fig. 18:b; tav. 13:b.

Orlo. Max. d/o. 0,075. Max. d. 0,190. Max. d/i. semifine: grani di mica dorata; inclusi bianchi e marroni. Superficie lavata e lisciata. Frattura 5 YR 6.5/6; nucleo 2.5 YR 5/0. Lavaggio 10 YR 6.5/3. Orlo arrotondato a doppio sgrondo; due anse verticali a cordone (quella interamente preservata ha un’incisione in prossimità della base); collo concavo. Vernice semilucida 10 R 4.5/3: trattini sull’orlo e sulle anse; cerchio attorno alla base dell’ansa preservata per intero.

0:24. Brocca. Morricone 1975, p. 322, fig. 308:a.

Fig. 18:c; tav. 13:c.

Orlo. D/o. 0,094. Max. d/i. semifine: grani di mica dorata; inclusi bianchi e marroni. Superficie lavata e levigata. Frattura 5 YR 6.5/6. Lavaggio rozzamente applicato 10 YR 7/2.5. Orlo arrotondato; ansa verticale a cordone con incisione sul dorso. Vernice semilucida 2.5 YR 3/0: decorazione lineare.

0:25. Brocca con becco obliquo. Morricone 1975, p. 315, fig. 283:c.

Fig. 18:d; tav. 13:d.

Ansa. Max. d. 0,086. Max. d/i. semifine: grani di mica dorata; inclusi bianchi e marroni. Superficie lavata e lisciata. Frattura 2.5 YR 6/6; nucleo 2.5 YR 5/0. Lavaggio 10 YR 8/2. Attacco di ansa verticale a cordone; collo concavo con risalto alla base. Vernice semilucida 2.5 YR 3.5/0: linea ondulata singola sulla parte alta del collo e rametto sulla spalla.

0:26. Brocca con becco obliquo. Morricone 1975, pp. 322-323, fig. 310:a.

Fig. 18:e; tav. 13:e.

Orlo. Max. d. 0,164. Max. d/i. semifine: grani di mica dorata; inclusi bianchi e marroni. Superficie lavata e levigata. Frattura 5 YR 5.5/6; nucleo 2.5 YR 5/0. Lavaggio 10 YR 4.5/1. Bocca a becco; collo leggermente concavo con risalto alla base; ansa verticale a cordone terminante con una coda. Vernice semilucida 2.5 YR 3.5/0: festoni sul becco; linea ondulata doppia sul collo e sulla spalla; trattini sul dorso dell'ansa; cerchio attorno alla base dell'ansa.

0:27. Oinochoe. Morricone 1975, p. 322, fig. 309:a.

Fig. 18:f; tav. 13:f.

Orlo. Max. d. 0,240. Max. d/i. semifine: grani di mica dorata; inclusi bianchi e marroni. Superficie lavata e lisciata. Frattura 5 YR 6.5/6; nucleo 2.5 YR 5/0. Lavaggio rozzamente applicato 10 YR 7/2.5. Bocca a becco con due bitorzoli ai lati; breve collo concavo; ansa verticale a cordone con profonda incisione sul dorso in prossimità della base. Vernice opaca 10 R 2.75/1: decorazione lineare (becco e ansa quasi interamente rivestiti di vernice scura all'esterno; fascia sotto il becco all'interno).

Altre classi:

0:28. Kylix (FT 256/257). Micenea (importazione dall'Argolide). TE IIIA2 Medio/Tardo. Inedita.

Fig. 18:g; tav. 13:g.

Orlo. D/o. 0,198. Max. d/i. fine: grani di mica dorata; inclusi bianchi e marroni. Superficie ingubbiata e polita. Frattura 5 YR 6.5/4. Ingubbiatura 7.5 YR 7/4. Orlo estroflesso. Vernice lucida 2.5 YR 4/4: “*linked whorl-shell pattern*” FM 24:2-3.

### **Quantificazione del materiale conservato nella Cassetta 0**

In aggiunta ai 28 pezzi presentati all'interno del catalogo, la Cass. 0 ne contiene altri 99, per un totale di 127. L'indice di componibilità (0.8%) è piuttosto basso. Questo indicatore corrisponde alla riduzione nel numero dei frammenti di un determinato gruppo di materiali, dopo il completamento di tutte le operazioni di restauro. Tale riduzione è calcolata tenendo conto esclusivamente degli attacchi derivanti da fratture antiche.

Come indicato nella Tabella 6, il 95.2% del materiale conservato nella Cass. 0 è costituito da ceramica DSI, *LoD/DoL*, mentre il rimanente 4.8% è rappresentato da sei frammenti in stile miceneo (uno importato dall'Argolide, uno importato da una regione ignota e quattro locali appartenenti alla classe MicDF).

In 39 casi è stato possibile identificare con certezza le forme cui i frammenti DSI, *LoD/DoL* appartenevano originariamente (cf. Tabella 7). L'elenco include: anfore (nove esemplari), pitharakhia e brocche (otto esemplari ciascuno), brocche con becco obliquo (cinque esemplari), bacini (quattro esemplari), olle con o senza beccuccio a ponte (due esemplari), brocche con collo stretto, oinochoai e tazze cilindriche (un esemplare ciascuno). La tazza cilindrica è particolarmente degna di nota essendo l'unica attestazione di tale forma in ceramica DSI, *LoD/DoL* all'interno del materiale rinvenuto da Morricone.

### **I frammenti conservati nella Cassetta 04**

#### **Catalogo**

DSI, *LoD*:

04:01. Anfora. Inedita.

Fig. 19:a; tav. 14:a.

Orlo. Max. d/o. 0,120. Max d. 0,231. Max. d/i. semifine: alcuni grani di mica dorata; molti grani di colore argenteo; inclusi bianchi e marroni. Superficie lavata e lisciata. Frattura 5 YR

6.5/8; nucleo 2.5 YR 5/0. Lavaggio 2.5 YR 3.5/2. Orlo arrotondato a doppio sgrondo con bottoncino metallico nel punto di unione con l'ansa; collo concavo; ansa verticale a cordone con scanalatura sul dorso e incisione in prossimità della base. Vernice opaca 10 YR 8/2: linea ondulata doppia sulla spalla; cerchio attorno alla base dell'ansa; piccola croce sul bottoncino metallico.

04:02. Anfora. Morricone 1975, p. 302, fig. 277:b.

Fig. 19:b; tav. 14:b.

Orlo. D/o. 0,072. Max. d. 0,200. Max. d/i. semifine: molti grani di mica dorata; molti inclusi bianchi e marroni. Superficie lavata e lisciata. Frattura 2.5 YR 6.5/8; nucleo 2.5 YR 5.5/0. Lavaggio 2.5 YR 3.5/2. Orlo arrotondato a doppio sgrondo; collo rastremato verso l'alto; ansa verticale a cordone con un'incisione in prossimità dell'attacco sull'orlo e una in prossimità della base. Vernice opaca 10 YR 8/2: trattini sull'orlo e sull'ansa; cerchio attorno alla base dell'ansa; linea ondulata doppia sulla spalla.

04:03. Brocca. Morricone 1975, pp. 303-304, fig. 279:e.

Fig. 19:c; tav. 14:c.

Orlo. D/o. 0,126. Max. d/i. semifine: grani di mica dorata; inclusi bianchi e marroni. Superficie lavata e lisciata. Frattura 2.5 YR 5.5/6; nucleo 2.5 YR 5.5/0. Lavaggio 2.5 YR 4.5/0. Imboccatura larga con orlo arrotondato; collo concavo con risalto alla base. Vernice opaca 10 YR 8/2: collana di foglie attorno alla base del collo all'esterno; ondulazioni sull'orlo all'interno.

04:04. Brocca con collo stretto. Vitale - Hancock Vitale 2013, p. 52, fig. 4:3.e.

Fig. 19:d; tav. 14:d.

Orlo. D/o. 0,036. Max. d/i. semifine: grani di mica dorata; inclusi bianchi e marroni. Superficie lavata e lisciata. Frattura 2.5 YR 5.5/8; nucleo 2.5 YR 5/0. Lavaggio 2.5 YR 4/0. Orlo svasato senza labbra; collo leggermente concavo; ansa verticale a nastro con bottoncino metallico nel punto in cui si unisce all'orlo. Vernice opaca 10 YR 8/2: decorazione lineare su collo, spalla e ventre; fascia sotto l'orlo all'interno; trattini sul dorso dell'ansa.

04:05. Oinochoe. Morricone 1975, p. 304, fig. 281:b.

Fig. 19:e; tav. 14:e.

Orlo. Max. d. 0,116. Max. d/i. semifine: grani di mica dorata; molti inclusi bianchi e marroni. Superficie lavata e lisciata. Frattura 5 YR 6.5/6; nucleo 2.5 YR 6/0. Lavaggio 2.5 YR 3.5/0. Bocca a becco con un piccolo bitorzolo su un solo lato; collo concavo; attacco di ansa verticale a cordone. Vernice opaca 10 YR 8/2: tratti obliqui sul becco all'esterno; trattini sul becco all'interno; linea ondulata singola sulla spalla; trattini sul dorso dell'ansa.

04:06. Olla con beccuccio a ponte. Morricone 1975, pp. 307-308, fig. 286:a, c.

Fig. 19:f; tav. 14:f.

Due frammenti non combacianti: orlo e corpo. D/o. 0,158. Max. d/i. semifine: grani di mica dorata; inclusi bianchi e marroni. Superficie lavata e lisciata. Frattura 2.5 YR 5.5/8; nucleo 2.5 YR 5/0. Lavaggio 2.5 YR 4/0. Corpo globulare; orlo estroflesso; beccuccio a ponte. Vernice opaca 10 YR 8/2: marmorizzazione sul corpo; cerchio attorno al beccuccio.

04:07. Olla con o senza beccuccio a ponte. Morricone 1975, p. 309, fig. 288:d.

Fig. 20:a; tav. 15:a.

Parete. Max. d. 0,230. Max. d/i. semifine: grani di mica dorata; inclusi bianchi e marroni. Superficie lavata e lisciata. Frattura 10 YR 5.5/8; nucleo 2.5 YR 5.5/0. Lavaggio 2.5 YR 4/0. Corpo globulare. Vernice opaca 10 YR 8/2: zona con boccioli a racchetta attorno della massima espansione.

04:08. Olla con o senza beccuccio a ponte. Morricone 1975, p. 309, fig. 288:c.

Fig. 20:b; tav. 15:b.

Parete. Max. d. 0,244. Max. d/i. semifine: grani di mica dorata; inclusi bianchi e marroni. Superficie lavata e lisciata. Frattura 2.5 YR 5.5/6; nucleo 2.5 YR 5.5/0. Lavaggio 2.5 YR 4.5/0. Corpo globulare. Vernice opaca 10 YR 8/2: cespuglio.

04:09. Olla con o senza beccuccio a ponte. Policroma. Morricone 1975, p. 309, fig. 288:a.

Fig. 20:c; tav. 15:c.

Parete. Max. d. 0,261. Max. d/i. semifine: grani di mica dorata; inclusi bianchi e marroni. Superficie lavata e lisciata. Frattura 2.5 YR 6/6; nucleo 2.5 YR 5.5/0. Lavaggio 2.5 YR 4.5/2. Corpo globulare. Vernice opaca 10 YR 8/2 (ornati chiari), 2.5 YR 6/8 (arancio): corolle pendule; dettagli aggiunti in arancio.

04:10. Olla con o senza beccuccio a ponte. Policroma. Morricone 1975, p. 309, fig. 288:b.

Fig. 20:d; tav. 15:d.

Parete. Max. d. 0,194. Max. d/i. semifine: grani di mica dorata; inclusi bianchi e marroni. Superficie lavata e lisciata. Frattura 2.5 YR 5.5/6; nucleo 2.5 YR 5/0. Lavaggio 2.5 YR 4.5/0-2. Corpo globulare. Vernice opaca 10 YR 8/2 (ornati chiari), 2.5 YR 6/8 (arancio): rimangono tre fiori di narciso; l'unico interamente preservato ha cinque petali bianchi disposti attorno a una corona arancione.

04:11. Brocca (NMI). Morricone 1975, p. 306, fig. 285:d.

Fig. 20:e; tav. 15:e.

Ansa. Max. d. 0,278. Max. d/i. semifine: grani di mica dorata; inclusi bianchi e marroni. Superficie lavata e lisciata. Frattura 10 R 5.5/6; nucleo 2.5 YR 4.5/0. Lavaggio 2.5 YR 4/0. Corpo globulare con due profonde scanalature sulla spalla; ansa verticale a cordone con scanalatura lungo il dorso. Vernice opaca 10 YR 8/2: gocce sulla spalla; trattini e lunule sul ventre; tratti obliqui sull'ansa.

04:12. Forma chiusa (NMI). Inedita.

Fig. 20:f; tav. 15:f.

Base. D/b. 0,110. Max. d/i. semifine: grani di mica dorata; inclusi bianchi e marroni. Superficie lavata e lisciata. Frattura 2.5 YR 5.5/8; nucleo 2.5 YR 5/0. Lavaggio 2.5 YR 4.5/0-2. Base a disco. Vernice opaca 10 YR 8/2: decorazione severamente consunta; doveva trattarsi di marmorizzazione.

DSI, *LoD* su fasce:

04:13. Pitharaki. Morricone 1975, p. 298, fig. 265:a-b.

Fig. 21:a; tav. 16:a.

Due frammenti non combacianti: orlo. D/o. 0,328. Max. d/i. semifine: grani di mica dorata; grani di colore argenteo; inclusi bianchi e marroni. Superficie lavata e lisciata. Frattura 2.5 YR 5.5/6; nucleo 2.5 YR 5/0. Lavaggio 7.5 YR 6.5/2 (visibile solo all'interno). Orlo estroflesso; collo rastremato verso l'alto. Vernice opaca 2.5 YR 4.5/0 (fasce scure), 10 YR 8/2 (ornati

chiaro): croci sulla faccia superiore dell'orlo; linea ondulata doppia sul collo; corolle a zig-zag sulla spalla; fascia sotto l'orlo all'interno.

04:14. Pitharaki. Morricone 1975, pp. 307-308, fig. 286:d.

Fig. 21:b; tav. 16:b.

Orlo. D/o. 0,224. Max. d/i. semifine: grani di mica dorata; inclusi bianchi e marroni. Superficie lavata e lisciata. Frattura 2.5 YR 5.5/8. Lavaggio 10 YR 8/2. Corpo verosimilmente carenato, con risalti nella parte superiore; orlo estroflesso; presa a lobo sulla spalla. Vernice opaca 2.5 YR 3.5/0-2 (fasce scure), 10 YR 8/2.5 (ornati chiari): marmorizzazione sul ventre.

04:15. Brocca. Morricone 1975, p. 303, fig. 279:b.

Fig. 21:c; tav. 16:c.

Orlo. D/o. 0,112. Max. d/i. semifine: grani di mica dorata; inclusi bianchi e marroni. Superficie ingubbiata e lisciata. Frattura 2.5 YR 5.5/8; nucleo 2.5 YR 5.5/0. Ingubbiatura 10 YR 7.5/1. Orlo arrotondato; collo concavo. Vernice opaca 2.5 YR 4/0 (fasce scure), 10 YR 8/2 (ornati chiari): trattini sull'orlo; linea ondulata singola sulla spalla.

04:16. Olla con o senza beccuccio a ponte. Morricone 1975, p. 308, fig. 287:c.

Fig. 21:d; tav. 16:d.

Due frammenti non combacianti: orlo e corpo. D/o. 0,160. Max. d/i. semifine: pochi grani di mica dorata; inclusi bianchi e marroni. Superficie lavata e lisciata. Frattura 5 YR 6.5/6; nucleo 2.5 YR 5.5/0. Lavaggio 5 YR 7/4 (visibile solo all'interno). Orlo ribattuto e spiovente verso l'esterno; corpo globulare. Vernice opaca 2.5 YR 4.5/0 (fasce scure), 10 YR 8/2 (ornati chiari): ondulazioni sull'orlo; spirali “J” sul corpo, probabilmente correnti.

04:17. Olla con beccuccio a ponte. Morricone 1975, p. 309, fig. 289:i.

Fig. 21:e; tav. 16:e.

Orlo. D/o. 0,172. Max. d/i. semifine: grani di mica dorata; inclusi bianchi e marroni. Superficie lavata e lisciata. Frattura 2.5 YR 5.5/6; nucleo 2.5 YR 5/0. Lavaggio 2.5 YR 5.5/6. Orlo senza labbra; beccuccio a ponte. Vernice opaca 10 R 5.5/8 (fasce scure), 10 YR 8/2 (ornati chiari): trattini sull'orlo, probabilmente raggruppati a quattro a quattro; linea ondulata singola sotto l'orlo; cerchio attorno al beccuccio.

04:18. Forma chiusa (NMI). Morricone 1975, p. 315, fig. 294:h.

Fig. 22:a; tav. 16:f.

Parete. Max. d. 0,244. Max. d/i. semifine: grani di mica dorata; inclusi bianchi e marroni. Superficie lavata e lisciata. Frattura 5 YR 6.5/4; nucleo 2.5 YR 5.5/0. Lavaggio 10 YR 8/2. Vernice opaca 2.5 YR 4.5/2 (fasce scure), 10 YR 8/2.5 (ornati chiari): "ruota".

DSI, *DoL*:

04:19. Pitharaki. Morricone 1975, pp. 319-320, figg. 301-302.

Fig. 22:b; tav. 17:a.

Tre frammenti non combacianti: orlo, ansa e corpo. D/o. 0,222. Max. d/i. semifine: grani di mica dorata; grani di colore argenteo; inclusi bianchi e marroni. Superficie ingubbiata e lisciata. Frattura 2.5 YR 5.5/6; nucleo 2.5 YR 5/0. Ingubbiatura 10 YR 7/3. Corpo biconico; orlo ribattuto e arrotondato; anse orizzontali a cordone (quella preservata per intero ha delle incisioni in prossimità degli attacchi). Vernice opaca 2.5 YR 3.5/0: trattini sull'orlo e sull'ansa preservata per intero (quest'ultima ha anche dei cerchi attorno agli attacchi); ondulazioni sotto l'orlo; spirali correnti "J" e piccole foglie sulla spalla; incisione a foggia di linea ondulata attorno alla massima espansione.

04:20. Pitharaki. Morricone 1975, p. 325, fig. 305:b.

Fig. 22:c; tav. 17:b.

Orlo. D/o. 0,250. Max. d/i. semifine: grani di mica dorata; grani di colore argenteo; inclusi bianchi e marroni. Superficie lavata e lisciata. Frattura 2.5 YR 5.5/8. Lavaggio 5 YR 8/3. Orlo piatto. Vernice semilucida 10 R 5/8: lunule.

04:21. Brocca con collo stretto. Morricone 1975, p. 322, fig. 312:b.

Fig. 22:d; tav. 17:c.

Ansa. Max. d. 0,050. Max. d/i. semifine: grani di mica dorata; inclusi bianchi e marroni. Superficie lucidata. Argilla in superficie 5 YR 6.5/6. Frattura 5 YR 5.5/6. Collo concavo; ansa verticale a cordone. Vernice opaca 2.5 YR 4/0-2.5 YR 5/6: fasce sul collo all'esterno e trattini sul collo all'interno; trattini sul dorso dell'ansa e cerchio attorno alla sua base.

04:22. Olla con beccuccio a ponte. Morricone 1975, pp. 320-321, fig. 305:a.

Fig. 22:e; tav. 17:d.

Orlo. D/o. 0,184. Max. d/i. semifine: grani di mica dorata; inclusi bianchi e marroni. Superficie lavata e lisciata. Frattura 2.5 YR 5.5/4; nucleo 2.5 YR 5/0. Lavaggio 10 YR 8/2. Corpo globulare; orlo ribattuto e spiovente; beccuccio a ponte. Vernice opaca 10 R 5/8: ondulazioni sopra l'orlo; tratti obliqui sulla superficie esterna del beccuccio e cerchio attorno alla sua base; linea ondulata doppia e lunule sulla spalla; corolle sul ventre.

04:23. Olla con o senza beccuccio a ponte oppure pitharaki. Morricone 1975, p. 321, fig. 306:b.

Fig. 23:a; tav. 18:a.

Orlo. D/o. 0,200. Max. d/i. semifine: grani di mica dorata; inclusi bianchi e marroni. Superficie lavata e lisciata. Frattura 2.5 YR 5.5/6; nucleo 2.5 YR 5.5/0. Lavaggio 10 YR 6.5/2.5. Corpo globulare; orlo piatto; attacco di ansa orizzontale a cordone. Vernice opaca 2.5 YR 4/0: linea ondulata singola e collana di foglie sulla spalla; trattini sul dorso dell'ansa e cerchio attorno alla sua base.

04:24. Brocca (NMI). Inedita.

Fig. 23:b; tav. 18:b.

Base. D/b. 0,050. Max. d/i. semifine: grani di mica dorata; inclusi bianchi e marroni. Superficie ingubbiata e lisciata. Frattura 2.5 YR 5.5/6. Ingubbiatura 10 YR 8/2. Base concava. Vernice semilucida 2.5 YR 4/2: rimangono solo due piccole fasce scure di andamento irregolare.

DSI, *LoD-DoL*:

04:25. Pitharaki. Morricone 1975, p. 316, fig. 297:f.

Fig. 23:c; tav. 18:c.

Parete. Max. d. 0,411. Max. d/i. semifine: grani di mica dorata; inclusi bianchi e marroni. Superficie ingubbiata e lisciata. Frattura 2.5 YR 5.5/8; nucleo 2.5 YR 5.5/0. Ingubbiatura 10 YR 8/2. Vernice opaca 2.5 YR 3.5/2 (fasce scure e ornati scuri), 10 YR 8/2.5 (ornati chiari); linea ondulata singola e lunule (ornati chiari); lunule e gocce (ornati scuri).

04:26. Pitharaki. Morricone 1975, p. 319, fig. 300.

Fig. 23:d; tav. 18:d.

Ansa. Max. d. 0,406. Max. d/i. semifine: grani di mica dorata; inclusi bianchi e marroni. Superficie ingubbiata e lisciata. Frattura 2.5 YR 5.5/8; nucleo 2.5 YR 4/0. Ingubbiatura 7.5 YR 7.5/2. Corpo con scanalature sul collo e un risalto piatto attorno alla spalla; ansa verticale a cordone. Vernice semilucida/lucida 2.5 YR 4/0 (fasce scure e ornati scuri), 10 YR 8/2 (ornati chiari): trattini sull'ansa, dischi sul risalto piatto attorno alla spalla e merletto più in basso (ornati chiari); lunule sulla spalla e sul ventre (ornati scuri); fascia scura attorno al collo all'interno.

04:27. Oinochoe. Morricone 1975, pp. 304-305, fig. 282:d.

Fig. 23:e; tav. 18:e.

Orlo. Max. d. 0,191. Max. d/i. semifine: grani di mica dorata; inclusi bianchi e marroni. Superficie lavata e lisciata. Frattura 2.5 YR 5.5/8; nucleo 2.5 YR 5.5/0. Lavaggio 7.5 YR 7.5/2. Bocca a becco con due piccoli bitorzoli sui lati; collo concavo. Vernice opaca 2.5 YR 4.5/0 (fasce scure e ornati scuri), 10 YR 8/2.5 (ornati chiari): tratti obliqui sul beccuccio; gocce e linea ondulata doppia sulla spalla (ornati chiari); lunule sulla spalla (ornati scuri); fascia chiara attorno all'orlo all'interno.

#### **Quantificazione del materiale conservato nella Cassetta 04**

In aggiunta ai 27 pezzi presentati all'interno del catalogo, la Cass. 04 ne contiene altri 92, per un totale di 119. L'indice di componibilità (5.6%) è relativamente basso. Come indicato nella Tabella 8, il 93.3% del materiale è costituito da ceramica DSI, *LoD/DoL*. Il rimanente 6.7% comprende un pezzo di importazione minoica e sette pezzi in stile miceneo (uno importato da una regione ignota e sei locali appartenenti alla classe MicDF).

In 60 casi è stato possibile identificare con certezza le forme cui i frammenti DSI, *LoD/DoL* appartenevano originariamente (cf. Tabella 9). I tipi riconosciuti sono: olle con o senza beccuccio a ponte (25 esemplari), pitharakia (13 esemplari), anfore (sette esemplari), oinochoai (sei esemplari), brocche (quattro esemplari), brocche con collo stretto e brocche con becco obliquo (due esemplari ciascuno), brocche con becco obliquo e alto collo (un solo esemplare).

## I frammenti conservati nella Cassetta 15

### *Catalogo*

DSI, *LoD*:

15:01. Brocca con becco obliquo e alto collo. Morricone 1975, p. 323, fig. 311:b.

Fig. 24:a; tav. 19:a.

Orlo. Max. d. 0,075. Max. d/i. semifine: grani di mica dorata; inclusi bianchi e marroni. Superficie lavata e lisciata. Frattura 2.5 YR 5.5/6; nucleo 2.5 YR 4.5/0. Lavaggio 5 YR 6.5/6. Bocca a becco; alto collo rastremato verso l'alto; attacco di ansa verticale e cordone. La vernice doveva essere opaca: decorazione severamente consunta.

15:02. Brocca con becco obliquo e alto collo. Morricone 1975, p. 323, fig. 311:a.

Fig. 24:b; tav. 19:b.

Orlo. Max. d. 0,100. Max. d/i. semifine: grani di mica dorata; inclusi bianchi e marroni. Superficie lavata e lisciata. Frattura 2.5 YR 5.5/6; nucleo 2.5 YR 4.5/0. Lavaggio 10 R 4.5/4. Bocca a becco; alto collo concavo; attacco di ansa verticale e cordone. La vernice doveva essere opaca: decorazione severamente consunta.

DSI, *LoD* su fasce:

15:03. Pitharaki. Vitale 2007, p. 46, n. 06, tav. 10:c.

Fig. 24:c; tav. 19:c.

Ricomposto da 37 frammenti (30 conservati nella Cass. 15, quattro nella Cass. 0 e tre nella Cass. 04): orli, anse e corpi. Max. h. preservata 0,375. D/o. 0,258. Max. d. 0,513. Max. d/i. impasto: grani di mica dorata; inclusi bianchi e marroni. Superficie lavata e lisciata. Frattura 2.5 YR 5.5/6; nucleo 2.5 YR 5/0. Lavaggio 10 YR 7.5/2. Corpo piriforme con parte inferiore probabilmente conica; orlo estroflesso; collo rastremato verso l'alto; rimangono gli attacchi di quattro anse orizzontali a cordone, innestate ad altezze differenti sulla spalla, con dorso scanalato e incisioni in prossimità delle basi. Vernice opaca 2.5 YR 5/0 (fasce scure), 10 YR 8/2 (ornati chiari): linea ondulata doppia sul collo e la spalla; ondulazioni sulla parte superiore dell'orlo; rametti sulla spalla e sul ventre; cerchi attorno agli attacchi delle anse.

15:04. Brocca. Inedita.

Fig. 25:a; tav. 20:a.

Parete. Max. d. 0,210. Max. d/i. semifine: grani di mica dorata; inclusi bianchi e marroni. Superficie lavata e lisciata. Frattura 2.5 YR 5.5/6. Lavaggio 10 YR 8/2. Collo rastremato verso l'alto. Vernice opaca 2.5 YR 4/0 (fasce scure), 10 YR 8/2.5 (ornati chiari): linea ondulata doppia sulla spalla.

DSI, *DoL*:

15:05. Pitharaki. Morricone 1975, p. 325, fig. 313:a.

Fig. 25:b; tav. 20:b.

Orlo. D/o. 0,250. Max. d/i. semifine: inclusi bianchi e marroni. Superficie lavata e lisciata. Frattura 2.5 YR 5.5/6; nucleo 2.5 YR 4.5/0. Lavaggio 7.5 YR 7.5/4. Orlo spiovente. Vernice semilucida 10 R 4.5/4: trattini sull'orlo; marmorizzazione e corolle sulla spalla.

15:06. Giara a staffa. Morricone 1975, p. 383, fig. 313:b.

Fig. 25:c; tav. 20:c.

Disco. D/d. 0,106. Max. d/i. semifine: grani di mica dorata; inclusi bianchi e marroni. Superficie ingubbiata e lisciata. Frattura 5 YR 6.5/4; nucleo 2.5 YR 5/0. Ingubbiatura 10 YR 8/2. Falso collo concavo; disco con superficie piatta; attacchi di due anse verticali a cordone. Vernice semilucida 2.5 YR 3.5/2: trattini sulle anse; "ruota" sul disco; linea ondulata singola sul collo.

15:07. Giara a staffa. Inedita.

Fig. 25:d; tav. 20:d.

Disco. D/d. 0,060. Max. d/i. semifine: inclusi bianchi e marroni. Superficie ingubbiata e lisciata. Frattura 2.5 YR 5.5/6; nucleo 2.5 YR 4.5/0. Ingubbiatura 10 YR 8/2. Falso collo concavo; disco con superficie leggermente concava; due anse verticali a cordone. Vernice semilucida 2.5 YR 3/0-2: tratti obliqui sul disco; ondulazioni alla base del collo; cerchi attorno alle basi delle anse.

Altre classi:

15:08. Giara a staffa triansata. MinASF. TB IA Maturo. Inedita.

Fig. 25:e; tav. 20:e.

Disco. D/d. 0,042. Max. d/i. semifine: grani di mica dorata; inclusi bianchi e marroni. Superficie ingubbiata e lisciata. Frattura 2.5 YR 5.5/6; nucleo 2.5 YR 5/0. Ingubbiatura 10 YR 8/2. Falso collo concavo; disco con superficie piatta; tre anse verticali a cordone. Acroma.

### **Quantificazione del materiale conservato nella Cassetta 15**

In aggiunta agli otto pezzi presentati all'interno del catalogo, la Cass. 15 contiene altri 15 pezzi per un totale di 23. L'indice di componibilità (61.7%) è molto alto per via della presenza del pitharaki 15:03. Come indicato nella Tabella 10, l'82.6% del materiale è costituito da ceramica DSI, *LoD/DoL*, mentre il rimanente 17.4% include un frammento locale in stile minoico con superficie acroma (MinAF) e tre pezzi locali in stile miceneo (MicDF).

In 18 casi è stato possibile identificare le forme cui i frammenti DSI, *LoD/DoL* appartenevano originariamente (cf. Tabella 11). I tipi riconosciuti includono: pitharakia (otto esemplari), brocche (quattro esemplari), brocche con becco obliquo e alto collo e giare a staffa (due esemplari ciascuno) e olle con o senza beccuccio e bacini (un esemplare ciascuno). Le due giare a staffa costituiscono le uniche attestazioni di tale forma in ceramica DSI, *LoD/DoL* all'interno del materiale rinvenuto da Morricone.

### **I frammenti conservati nella Cassetta 18**

#### **Catalogo**

DSI, *LoD*:

18:01. Pitharaki. Inedito.

Fig. 26:a; tav. 21:a.

Orlo. D/o. 0,266. Max. d/i. semifine: grani di mica dorata; inclusi bianchi e marroni. Superficie lavata e lisciata. Frattura 2.5 YR 5.5/8; nucleo 2.5 YR 4.5/0. Lavaggio 2.5 YR 4.5/0. Orlo estroflesso. Vernice opaca 10 YR 8/2: ondulazioni sull'orlo; collana di foglie sul collo.

18:02. Pitharaki. Inedito.

Fig. 26:b; tav. 21:b.

Orlo. D/o. 0,225. Max. d/i. semifine: grani di mica dorata; inclusi bianchi e marroni. Superficie lavata e lisciata. Frattura 5 YR 6/6; nucleo 2.5 YR 5/0. Lavaggio 5 YR 4/2. Orlo spiovente. Vernice opaca 10 YR 8/2: trattini sull'orlo; lunule sulla spalla.

18:03. Anfora. Inedita.

Fig. 26:c; tav. 21:c.

Orlo. Max. d/o. 0,170. Max d. 0,140. Max. d/i. semifine: grani di mica dorata; inclusi bianchi e marroni. Superficie lavata e lisciata. Frattura 5 YR 7/6; nucleo 2.5 YR 5/0. Lavaggio 2.5 YR 5.5/0. Orlo arrotondato a doppio sgrondo; collo concavo; due anse verticali a cordone. Vernice opaca 10 YR 8/2: trattini sull'orlo all'esterno e all'interno; linea ondulata singola sulla spalla.

18:04. Brocca. Inedita.

Fig. 26:d; tav. 21:d.

Orlo. D/o. 0,106. Max. d/i. semifine: inclusi bianchi e marroni. Superficie originariamente lavata e lisciata; il frammento è interamente bruciato. Superficie e frattura 2.5 YR 2.75/0. Orlo arrotondato; collo concavo. Vernice opaca 10 YR 8/2: decorazione consunta; rimangono tracce di una fascia chiara che cingeva la base del collo.

18:05. Brocca. Inedita.

Fig. 26:e; tav. 21:e.

Orlo. D/o. 0,108. Max. d/i. semifine: molti grani di mica dorata; inclusi marroni. Superficie lavata e lisciata. Frattura 5 YR 5.5/6. Lavaggio 5 YR 5.5/1. Orlo arrotondato; collo concavo; ansa verticale a cordone. Vernice opaca 10 YR 8/1: trattini sull'orlo; linea ondulata singola sul collo.

18:06. Brocca con collo stretto. Vitale - Hancock Vitale 2010, p. 70, fig. 4:3.

Fig. 26:f; tav. 21:f.

Orlo. D/o. 0,039. Max. d/i. semifine: inclusi bianchi. Superficie lavata e levigata. Frattura 5 YR 5.5/6; nucleo 2.5 YR 5/0. Lavaggio 2.5 YR 4.5/0. Orlo senza labbra; collo concavo; ansa verticale a cordone con incisione sul dorso. Vernice opaca 10 YR 8/1.5: trattini sull'ansa.

18:07. Brocca con becco obliquo. Inedita.

Fig. 27:a; tav. 22:a.

Ansa. Max. d. 0,132. Max. d/i. semifine: grani di mica dorata; inclusi bianchi e marroni. Superficie lavata e lisciata. Frattura 10 R 6/7. Lavaggio 2.5 YR 3.5/0. Collo concavo con risalto alla base; attacco di ansa verticale a cordone. Vernice opaca 7.5 YR 7.5/0: marmorizzazione.

18:08. Brocca con becco obliquo. Inedita.

Fig. 27:b; tav. 22:b.

Parete. Max. d. 0,122. Max. d/i. semifine: inclusi bianchi e marroni. Superficie lavata e lisciata. Frattura 5 YR 7/5; nucleo 2.5 YR 5/0. Lavaggio 2.5 YR 3.5/0. Collo concavo con risalto alla base. Vernice opaca 10 YR 8/2: tratti obliqui sul collo; rete sulla spalla.

18:09. Olla con o senza beccuccio a ponte. Inedita.

Fig. 27:c; tav. 22:c.

Orlo. D/o. 0,150. Max. d/i. semifine: grani di mica gialla dorata; inclusi bianchi e marroni. Superficie lavata e lisciata. Frattura 5 YR 6.5/8; nucleo 2.5 YR 5/0. Lavaggio 5 YR 5/3. Corpo verosimilmente globulare; orlo estroflesso. Vernice opaca 10 YR 8/2: trattini sull'orlo all'esterno e all'interno; spirale sulla spalla.

18:10. Forma chiusa (NMI). Inedita.

Fig. 27:d; tav. 22:d.

Base. D/b. 0,102. Max. d/i. semifine: grani di mica dorata; inclusi bianchi e marroni. Superficie lisciata. Frattura e argilla in superficie 5 YR 6/6. Vernice opaca 10 YR 8/2: rimane una fascia chiara in prossimità della base.

18:11. Forma chiusa (NMI). Inedita.

Fig. 27:e tav. 22:e.

Base. D/b. 0,074. Max. d/i. semifine: grani di mica dorata; inclusi bianchi e marroni. Superficie lisciata. Frattura e argilla in superficie 5 YR 6/6. Vernice opaca 10 YR 8/2: rimane una fascia chiara in prossimità della base.

DSI, *LoD* su fasce:

18:12. Pitharaki. Inedito.

Fig. 27:f; tav. 22:f.

Orlo. D/o. 0,301. Max. d/i. semifine: grani di mica dorata; inclusi bianchi e marroni. Superficie lavata e lisciata. Frattura 2.5 YR 6/6; nucleo 2.5 YR 5/0. Lavaggio 7.5 YR 6.5/2 (visibile solo all'interno). Orlo estroflesso. Vernice opaca 2.5 YR 4.5/0 (fasce scure), 10 YR 8/2 (ornati chiari): trattini sull'orlo.

18:13. Pitharaki. Inedito.

Fig. 27:g; tav. 22:g.

Orlo. D/o. 0,249. Max. d/i. semifine: grani di mica dorata; inclusi bianchi. Superficie lavata e lisciata. Frattura 5 YR 6.5/8; nucleo 2.5 YR 5/0. Lavaggio 7.5 YR 6.5/2 (visibile solo all'interno). Orlo arrotondato; ansa a cordone. Vernice opaca 2.5 YR 4.5/0 (fasce scure), 10 YR 8/2 (ornati chiari): trattini sull'orlo; cerchio attorno all'attacco dell'ansa.

18:14. Brocca. Inedita.

Fig. 28:a; tav. 23:a.

Orlo. D/o. 0,128. Max. d/i. semifine: molti grani di mica dorata; inclusi bianchi e marroni. Superficie lavata e lisciata. Frattura 5 YR 5.5/6; nucleo 2.5 YR 5/0. Lavaggio 10 YR 6.5/1. Orlo arrotondato; collo concavo con risalto alla base. Vernice opaca 2.5 YR 3.5/0 (fasce scure), 10 YR 8/2 (ornati chiari): trattini sull'orlo all'esterno e all'interno.

18:15. Olla con o senza beccuccio a ponte. Inedita.

Fig. 28:b; tav. 23:b.

Orlo. D/o. 0,120. Max. d/i. semifine: grani di mica dorata; inclusi bianchi e marroni. Superficie lavata e lisciata. Frattura 5 YR 6.5/6; nucleo 2.5 YR 5/0. Lavaggio 7.5 YR 6.5/2 (visibile solo all'interno). Corpo globulare; orlo piatto; attacco di ansa orizzontale a cordone. Vernice opaca 2.5 YR 4/0 (fasce scure), 10 YR 8/1.5 (ornati chiari): ondulazioni sopra l'orlo; cerchio attorno all'attacco dell'ansa.

18:16. Giara (NMI). Inedita.

Fig. 28:c; tav. 23:c.

Orlo. D/o. 0,165. Max. d/i. semifine: grani di mica dorata; inclusi bianchi e marroni. Superficie lavata e lisciata. Frattura 5 YR 7/6. Lavaggio 7.5 YR 6.5/2 (visibile solo all'interno). Orlo estroflesso. Vernice opaca 2.5 YR 5/0 (fasce scure), 10 YR 8/2 (ornati chiari): linea ondulata doppia.

18:17. Giara (NMI). Inedita.

Fig. 28:d; tav. 23:d.

Orlo. D/o. 0,160. Max. d/i. semifine: inclusi bianchi e marroni. Superficie lavata e lisciata. Frattura 5 YR 6.5/6; nucleo 2.5 YR 5/0. Lavaggio 10 YR 7/2 (visibile solo all'interno). Orlo arrotondato. Vernice opaca 2.5 YR 6.5/0 (fasce scure), 10 YR 8/2 (ornati chiari): serie di trattini sull'orlo all'esterno e all'interno; linea ondulata singola sulla spalla.

DSI, *DoL*:

18:18. Brocca. Inedita.

Fig. 28:e; tav. 23:e.

Orlo. D/o. 0,128. Max. d/i. semifine: inclusi bianchi e marroni. Superficie ingubbiata e lisciata. Frattura 5 YR 7/5. Ingubbiatura 10 YR 8/1.5. Orlo arrotondato; collo concavo; attacco di ansa verticale a cordone. Vernice opaca 2.5 YR 3.5/0: linea ondulata singola sul collo; fascia di vernice scura sotto l'orlo all'interno.

DSI, *LoD-DoL*:

18:19. Pitharaki. Inedito.

Fig. 28:f; tav. 23:f.

Ansa. D/o. 0,260. Max. d/i. semifine: grani di mica dorata; inclusi bianchi e marroni. Superficie lavata e lisciata. Frattura 2.5 YR 4.5/6; nucleo 2.5 YR 4.5/0. Lavaggio 10 YR 7/3. Attacco di ansa a cordone; collo concavo. Vernice opaca 2.5 YR 3/0 (fasce scure e ornati scuri), 10 YR 8/2 (ornati chiari): cerchio attorno all'attacco dell'ansa e marmorizzazione (ornati chiari); rete (ornati scuri).

Altre classi:

18:20. Brocca con becco obliquo. ACSF. TBA IA Iniziale/Maturo. Vitale - Hancock Vitale 2010, p. 68, fig. 3:2.

Fig. 29:a; tav. 24:a.

Orlo. Max. d. 0,122. Max. d/i. semifine: molti grani di mica dorata; inclusi bianchi e marroni. Superficie originariamente lavata e lisciata; il lavaggio è quasi interamente consunto. Argilla in superficie e frattura 5 YR 7/5. Bocca a becco; collo concavo con risalto alla base; ansa verticale a cordone terminante con una coda. Acroma.

18:21. Brocca con becco obliquo. Importazione dal Dodecanneso. TBA IA Iniziale/Maturo. Inedita.

Fig. 29:b; tav. 24:b.

Orlo. Max d. 0,132. Max. d/i. semifine: molti grani di mica dorata; inclusi marroni. Superficie ingubbiata e levigata. Frattura 2.5 YR 4.5/8; nucleo 2.5 YR 5.5/0. Ingubbiatura 10 YR 8/2.5. Bocca a becco; collo concavo con risalto alla base; attacco di ansa verticale a cordone. Acroma.

18:22. Tazza semiglobulare. DF. TB IA Iniziale. Vitale 2007, p. 48, n. 16, tav. 11:l.

Fig. 29:c; tav. 24:c.

Orlo. Max. h. 0,068 (0,073 sull'ansa). Max. d/o. 0,098. D/b. 0,054. Max. d/i. fine: grani di mica dorata; inclusi bianchi e marroni di piccole dimensioni. Superficie ingubbiata e lisciata. Frattura 2.5 YR 5.5/6. Ingubbiatura 10 YR 7.5/2. Corpo semiglobulare; orlo estroflesso; ansa verticale a nastro con leggera scanalatura sul dorso; base concava. Vernice semilucida 2.5 YR 3.5/0-2: fascia ondulata sull'orlo esterno e interno, ottenuta mediante l'immersione della parte superiore del corpo nella vernice ("*dipped rim technique*").

18:23. Tazza semiglobulare. DF. TB IA Iniziale. Vitale 2007, p. 48, n. 17, tav. 11:m.

Fig. 29:d; tav. 24:d.

Orlo. Max. h. 0,062. Max. d/o. 0,103. D/b. 0,047. Max. d/i. fine: grani di mica dorata; inclusi marroni di piccole dimensioni. Superficie ingubbiata e lisciata. Frattura 7.5 YR 7.5/2. Ingubbiatura 10 YR 8/2. Corpo semiglobulare; orlo estroflesso; base concava. Vernice semilucida 2.5 YR 3.5/0: fascia ondulata sull'orlo esterno e interno, ottenuta mediante l'immersione della parte superiore del corpo nella vernice ("*dipped rim technique*").

18:24. Tazza semiglobulare. DF. TB IA Iniziale. Vitale 2007, p. 48, n. 18, tav. 11:n.

Fig. 29:e; tav. 24:e.

Orlo. Max. h. 0,079. Max. d/o. 0,108. D/b. 0,055. Max. d/i. fine: grani di mica dorata; inclusi marroni di piccole dimensioni. Superficie ingubbiata e lisciata. Frattura 5 YR 7.5/4; nucleo 2.5 YR 4.5/0. Ingubbiatura 7.5 YR 6.5/4. Corpo semiglobulare; orlo estroflesso; base con fondo irregolare. Vernice semilucida 2.5 YR 3.5/0: fascia ondulata sull'orlo esterno e interno, ottenuta mediante l'immersione della parte superiore del corpo nella vernice (“*dipped rim technique*”).

18:25. Tazza troncoconica. MinAF. TB IA Maturo. Vitale 2007, p. 49, n. 21, tav. 11:q.

Fig. 29:f; tav. 24:f.

Orlo. H. 0,046. Max. d/o. 0,076. D/b. 0,038. Max. d/i. fine: grani di mica dorata; inclusi bianchi e marroni. Superficie lisciata. Argilla in superficie 2.5 YR 6/6. Frattura 2.5 YR 5.5/6; nucleo 10 R 4/1. Corpo conico; base concava con striature spiraliformi sul fondo originatesi al momento del distacco dal tornio tramite corda (“*string cut base*”). Acroma.

18:26. Fiasca (FT 188/189). MicDF. TE IIIA2. Inedita.

Fig. 29:g; tav. 24:g.

Parete. Max. d. Non calcolabile. Max. d/i. fine: grani di mica dorata; inclusi bianchi e marroni. Superficie ingubbiata e lisciata. Frattura 2.5 YR 4.5/6. Ingubbiatura 10 YR 8/2. Vernice lucida 2.5 YR 3.5/0: cerchi concentrici.

18:27. Bacino (FT 294). MicDF. TE IIIA2/TE IIIB. Inedito.

Fig. 29:h; tav. 24:h.

Orlo. D/o. > 0,350. Max. d/i. semifine: grani di mica dorata; inclusi bianchi e marroni. Superficie ingubbiata e lisciata. Frattura 5 YR 7/5; nucleo 2.5 YR 5/0. Ingubbiatura 10 YR 7/3. Orlo piatto; parete diritta. Vernice lucida 2.5 YR 3.5/0: trattini sopra l'orlo.

### **Quantificazione del materiale conservato nella Cassetta 18**

In aggiunta ai 27 pezzi presentati all'interno del catalogo, la Cass. 18 contiene altri 265 pezzi per un totale di 292. L'indice di componibilità (0.7%) è piuttosto basso. Come indicato nella Tabella 12, il 96.0% del materiale era costituito da ceramica DSI, *LoD/DoL*. Il rimanente 4.0% include tre tazze semiglobulari della classe DF, una tazza troncoconica (MinAF), due frammenti di "tradizione locale" (uno MR e uno ACSF), tre frammenti minoici d'importazione, un frammento importato dal Dodecanneso e due frammenti locali in stile miceneo (MicDF).

In 90 casi è stato possibile identificare le forme cui i frammenti DSI, *LoD/DoL* appartenevano originariamente (cf. Tabella 13). I tipi riconosciuti includono: anfore (38 esemplari), olle con o senza beccuccio a ponte (24 esemplari), brocche (12 esemplari), pitharakia (sette esemplari), brocche con becco obliquo (cinque esemplari), oinochoai (tre esemplari) e brocche con collo stretto (un esemplare).

### **Riepilogo dei dati**

#### **Premessa**

La scelta di riepilogare in maniera unitaria i dati relativi alle diverse cassette presentate nei paragrafi precedenti è dovuta essenzialmente a due ragioni. In primo luogo, tutti i frammenti di ceramica DSI, *LoD/DoL* sono stati rinvenuti, secondo la testimonianza di Morricone, in riempimenti stratificati sotto i pavimenti della Città I. Il materiale, per questo motivo, è cronologicamente uniforme e può essere interamente datato all'interno del TB IA Iniziale - TB IA Maturo. Inoltre, non esiste una reale necessità di discutere il significato dei dati singolarmente perché i frammenti non sono stati rinvenuti *in situ* e, soprattutto, perché, come risulta dai paragrafi iniziali di questo capitolo, non è possibile risalire con certezza assoluta ai contesti di provenienza.

Prima di esaminare i dati è, infine, necessario sottolineare che i frammenti giunti fino a noi non rappresentano integralmente il materiale originariamente portato alla luce da Morricone, ma sono il frutto di una scelta, in qualche modo arbitraria, operata dallo studioso italiano in una fase successiva allo scavo. Tale fatto implica la possibilità che i numeri qui presentati siano parzialmente viziati da una sorta di distorsione del campione nella sua forma attuale.

#### **Quantificazione complessiva**

L'indice di componibilità dei materiali esaminati all'interno del presente capitolo (7.7%) è complessivamente basso. Questo dato indica che, nella grande maggioranza dei casi, tali materiali erano già in uno stato frammentario quando furono incorporati nei depositi scavati da

Morricone. Il modesto indice di componibilità è, inoltre, coerente con l'ipotesi che i frammenti in questione siano stati utilizzati come materiali di fondazione per i pavimenti della sottofase sovrastante, cioè la cosiddetta Città I di Morricone (cf. Capitolo 2).

Il 94.6% dei frammenti analizzati nel presente capitolo è costituito da ceramica DSI, *LoD/DoL* (cf. Tabelle 14-15). I pezzi eseguiti in tecnica *LoD* sono quelli più diffusi e corrispondono al 58.6% del totale. I pezzi decorati in tecnica *LoD* su fasce rappresentano il 25.4%, quelli in tecnica *DoL* l'11.7%, mentre solo il restante 4.3% è decorato nella doppia tecnica *LoD-DoL* (Tabella 14).

Per ciò che concerne le altre classi (Tabella 16), il 10.0% appartiene alla DF, il 3.3% alla MR, il 3.3% alla ACSF, il 6.7% alla ceramica locale in stile minoico (MinAF), il 50.0% alla ceramica in stile miceneo (MicDF), il 3.3% alle importazioni dal Dodecanneso, il 13.4% alle importazioni minoiche e il 10.0% a quelle micenee. Risulta, dunque, evidente che circa i  $\frac{3}{4}$  del materiale appartenente alle classi non DSI è di produzione locale. Per quanto concerne la cronologia delle classi non DSI rappresentate nelle cassette analizzate, è altresì evidente che, eccezion fatta per la ceramica in stile miceneo databile alla seconda parte del TB, le rimanti classi sono tutte comprese tra la fine del MB e il TB IA Maturo. Esse sono, cioè, di poco anteriori o più o meno contemporanee alla ceramica DSI analizzata nel presente volume.

Come indicato dalle Tabelle 15 e 17, all'interno dell'intera produzione in ceramica *LoD/DoL*, le forme chiuse (525 pezzi, pari al 98.9% del totale) prevalgono largamente su quelle aperte. Queste ultime, rappresentate solo dalla tazza cilindrica e dai bacini, appaiono invece piuttosto rare (6 pezzi, pari all'1.1% del totale).

Si può, inoltre, osservare che la gamma delle forme attestate nelle varie sottoclassi della ceramica DSI è generalmente simile (Tabella 17). Le forme più diffuse sono l'anfora e le olle con o senza con beccuccio a ponte. Abbastanza ricorrenti sono anche i pitharakia, le brocche e le brocche con becco obliquo. Nonostante questa sostanziale uniformità, se si esaminano i dati relativi alle diverse tecniche, emergono due elementi interessanti. In primo luogo, si può osservare che alcuni tipi sono documentati in un'unica sottoclasse. Si tratta della tazza cilindrica, attestata solo in tecnica *LoD*, e della giara a staffa, attestata esclusivamente in tecnica *DoL* (Tabella 17). La particolarità della loro posizione potrebbe essere, tuttavia, solo apparente. Infatti, entrambe le forme in questione sono rare e una giara staffa in tecnica *LoD* su fondo scuro, probabilmente importata da Kos, è stata rinvenuta a Mileto<sup>81</sup>. In secondo luogo, va sottolineato che alcune forme sono più comuni in determinate sottoclassi piuttosto che in altre. Le anfore e i bacini, ad esempio, sono più frequenti in versione *LoD*; i pitharakia e le brocche con becco obliquo in versione *DoL* e *LoD-DoL*; le olle con o senza beccuccio a ponte in versione *DoL*. Infine, le brocche con becco obliquo e alto collo non sono affatto attestate in tecnica *DoL* (Tabella 17).

---

<sup>81</sup> Weickert *et al.* 1960, p. 27, tav. 8:1.a.

I dati relativi ai motivi decorativi sono riassunti all'interno delle Tabelle 18-22. Come già notato a proposito delle forme, la gamma degli ornati documentati nelle varie sottoclassi è, grosso modo, sovrapponibile. Le eccezioni a questa regola generale sono relativamente poche. Esse sono rappresentate dal narciso, dal bocciolo a racchetta, dai dischi e dalla corolla a zig-zag. I primi due motivi sono, infatti, esclusivamente attestati su frammenti decorati in tecnica *LoD*, il terzo su un frammento decorato in tecnica *LoD-DoL* e il quarto su un frammento in tecnica *LoD* su fasce. Va sottolineato, tuttavia, che si tratta di quattro motivi non comuni e, dunque, anche in questo caso, le tendenze appena esposte potrebbero non essere rilevanti.

Se si escludono quattro motivi accessori, come trattini/tratti obliqui, ondulazioni, cerchi e collane di foglie, i quali erano generalmente confinati alla decorazione di orli, colli e anse, gli ornati più diffusi sono la linea ondulata singola, la linea ondulata doppia, le lunule e le spirali. Alcuni motivi sono di preferenza attestati in determinate sottoclassi piuttosto che in altre. La marmorizzazione, ad esempio, è più frequente sui frammenti decorati in tecnica *LoD* e *LoD* su fasce, gli archi su quelli in tecnica *LoD-DoL*. Tra i frammenti *DoL*, d'altro canto, spiccano la buona diffusione del cespuglio, molto in voga anche nella coeva ceramica minoica, e la presenza relativamente bassa delle linee ondulate singole e doppie. In generale si ha l'impressione che la frequenza dei singoli ornati sia più uniformemente distribuita sui pezzi in tecnica *DoL* che su quelli in tecnica *LoD* e *LoD* su fasce, all'interno dei quali prevalgono nettamente la linea ondulata singola e la linea ondulata doppia. In generale, i frammenti in tecnica *DoL* sembrano riflettere più da vicino le contemporanee tendenze della Creta minoica<sup>82</sup>.

Un ultimo interessante fenomeno che emerge dall'analisi dei dati è la tendenza a decorare in maniera ricorrente alcune forme con determinati motivi prestabiliti. La maggior parte delle linee ondulate singole e doppie è attestata su forme chiuse che non è stato possibile assegnare con certezza. La quasi totalità di questi frammenti doveva appartenere, tuttavia, a pitharakia, anfore e brocche NMI. Le lunule, soprattutto per ciò che concerne i frammenti eseguiti in tecnica *LoD*, sembrano spesso essere associate ai pitharakia. Le spirali ricorrono sovente sulle olle con o senza beccuccio a ponte in tecnica *LoD* e sui pitharakia in tecnica *DoL*. I motivi naturalistici di maggior pregio e di più stretta imitazione minoica, come il narciso e il bocciolo a racchetta, sembrano essere di preferenza associati alle olle con o senza beccuccio a ponte.

---

<sup>82</sup> Cf. Betancourt 1985, pp. 123-133.

## Capitolo 6.

### Discussione e significato dei dati

Questo capitolo è suddiviso in tre parti. Nelle prime due, è discusso il repertorio morfologico e decorativo delle ceramiche DF e DSI, *LoD/DoL* ed è proposto un breve esame della sequenza operativa e del complesso rapporto tra “tradizione locale” e influenze minoiche all’interno di queste due classi. Nella terza parte, invece, sono discussi i dati concernenti funzione e fruizione delle ceramiche della “tradizione mista”.

Lo scopo delle prime due sezioni del presente capitolo non è di proporre una classificazione sistematica e definitiva del repertorio morfologico e decorativo delle classi DF e DSI, *LoD/DoL*. Ciò sarebbe prematuro, dal momento che gli analoghi materiali rinvenuti nel corso degli scavi greci più recenti sono ancora quasi completamente inediti. Nelle prossime pagine, invece, sono discussi criticamente i dati relativi al repertorio rappresentato nei materiali provenienti dagli scavi effettuati da Morricone e sono avanzate alcune correzioni e aggiunte rispetto alla pubblicazione originale.

Allo stesso tempo, l’esame approfondito della sequenza operativa sarà presentato in un lavoro futuro, che comparirà nelle serie delle monografie del progetto SELAP. I dati preliminari introdotti nelle prossime pagine hanno semplicemente lo scopo di permettere una più accurata discussione del complesso rapporto tra la “tradizione locale” di Kos e la “tradizione minoica” di Creta, il cui risultato principale è appunto il fiorire delle ceramiche DF e DSI, *LoD/DoL*.

#### DF

##### ***Forme, motivi decorativi e brevi osservazioni sulla sequenza operativa***

La classe DF comprende quasi esclusivamente tazze semiglobulari. Dal punto di vista tipologico, gli esemplari del TB IA Iniziale rappresentano un’evoluzione delle tazze carenate locali del MB<sup>83</sup>. Le varianti possibili non sono molte. A seconda del rapporto tra l’altezza e la massima espansione del vaso, la forma del corpo può essere più marcatamente profonda, come nel caso di Cass. 18:22, 24 (fig. 29:c, e; tav. 24:c-e), oppure più tozza, come nel caso dei vasi Err. 08-09 (fig. 13:e-f; tav. 8:c-d). L’ansa si innalza generalmente al di sopra dell’orlo, ma non mancano esempi in cui questi due elementi avevano la medesima altezza, come nel caso dei vasi Err. 11 e 14 (fig. 13:h, m; tav. 8:f, i). La gamma dei motivi decorativi è piuttosto limitata. Gli unici ornati attestati sono il rametto (una attestazione; fig. 13:g; tav. 8:e), i festoni (due attestazioni; fig. 9:e, fig. 13:d; tav. 3:e, tav. 8:b), i trattini (una attestazione; fig. 13:g; tav. 8:e),

---

<sup>83</sup> Marketou 1990a, p. 103.

la fascia ondulata ottenuta mediante immersione (11 attestazioni; fig. 9:f, h, fig. 13:e-f, h-m, fig. 28:c-e; tav. 3:f, h, tav. 8:c-d, f-i, tav. 24:c-e) e il “*trickle-pattern*” (una attestazione; fig. 9:g; tav. 3:g). Il rametto e il “*trickle-pattern*” sono di ovvia derivazione minoica. L’utilizzo preponderante della fascia ondulata, d’altro canto, è un’idiosincrasia locale.

Una sola tazza troncoconica in ceramica DF è giunta fino a noi in forma completa all’interno dei materiali rinvenuti negli scavi diretti da Morricone. Tale fatto dimostra che le tazze troncoconiche prodotte all’interno di questa classe sono molto rare. Ovviamente, dal punto di vista morfologico, la tazza troncoconica è una forma eminentemente minoica. L’utilizzo della fascia ondulata rispecchia probabilmente il gusto locale, come suggerito sopra in relazione alle tazze semiglobulari.

Per ciò che concerne impasti, tecniche di formazione primaria, trattamento delle superfici, rifinitura e qualità delle vernici, la classe DF mostra molte affinità con i tratti caratteristici della “tradizione locale”. Le tazze DF sono in maggioranza prodotte utilizzando il Sottogruppo macroscopico A-VI (cf. Capitolo 1; Tabella 3; tav. col. 10:a), attestato a Kos a partire dall’AB 3 in classi come la MR e la MS (Tabella 2). Per quanto concerne la formazione primaria, i vasi DF sono prevalentemente CfT (tav. col. 4), una tecnica ben documentata nelle classi della “tradizione locale” nelle fasi tra l’AB 3 e il MB<sup>84</sup>. In maniera simile, per quanto concerne trattamento delle superfici e vernici, le tazze DF sono prevalentemente lisciate e decorate con vernici semilucide, cosa che le differenzia dai coevi corrispettivi minoici, che sono di norma lucidati e decorati con vernici lucide. Le superfici sono spesso rifinite per mezzo di un’ingubbiatura di colore chiaro, che può presentare affinità sia con la “tradizione locale” di Kos, sia con quella minoica di Creta. In aggiunta ai due motivi decorativi menzionati in precedenza, la principale caratteristica di derivazione minoica delle tazze della classe DF è la tecnica decorativa a immersione (“*dipped rim technique*”)<sup>85</sup>.

## **DSI, LoD/DoL**

### **Analisi delle forme**

Il repertorio DSI, LoD/DoL portato alla luce nel corso degli scavi italiani a Kos include 12 forme principali: pitharakia, anfore, brocche, brocche con collo stretto, brocche con becco obliquo e alto collo, brocche con becco obliquo, oinochoai, olle con o senza beccuccio a ponte, giare a staffa, incensieri, tazze cilindriche e bacini (figg. 30-32). La maggior parte di tali forme era già stata riconosciuta da Morricone, ma alcune revisioni ed aggiunte sono oggi possibili in base ai risultati della presente ricerca. La classificazione proposta nel 1975 dallo studioso italiano è, quindi, discussa e aggiornata di seguito.

<sup>84</sup> Marketou 1990a, pp. 102-103, fig. 5; Marketou 1990b, p. 40, figg. 1-2; Vitale - Morrison 2017, pp. 90-92.

<sup>85</sup> Vitale 2016a, p. 77.

Le forme identificate da Morricone come “dolii”<sup>86</sup> e qui indicate come pitharakia possono essere suddivise in due ulteriori sottotipi (fig. 30:a.1-4). In generale, il profilo del corpo è piriforme, ovoidale-biconico, globulare-biconico, o biconico. Il primo sottotipo, tuttavia, si distingue dal secondo per le maggiori dimensioni, l'imponente spessore delle pareti – fino a 0,030 m – e la presenza costante di un grande orlo estroflesso e piatto (fig. 30:a.1). Il secondo sottotipo, invece, mostra una maggiore varietà di soluzioni nel numero e nella tipologia delle anse e negli orli, che possono essere piatti (fig. 30:a.2, 30:a.4.2), spioventi (fig. 30:a.3) o estroflessi (fig. 30:a.4.1). Esiste, inoltre, il fondato sospetto che alcuni esemplari fossero forniti di beccuccio. Ciò è suggerito dal confronto con una giara proveniente da Beycesultan, molto affine ad alcuni pitharakia portati alla luce nel “Serraglio”<sup>87</sup>.

Le forme identificate da Morricone come “brocche con bocca rotonda”<sup>88</sup> devono essere distinte in brocche (fig. 31:a) e brocche con collo stretto (fig. 31:b). All'interno delle prime possono essere riconosciute diverse tendenze tipologiche. Il profilo del corpo, sovente di foggia ovoidale, era in alcuni casi più affusolato (fig. 31:a.1.1), in altri più tozzo (fig. 31:a.1.2). L'ansa verticale, quasi sempre a cordone, andava di solito dalla spalla al collo (fig. 31:a.1), ma esiste qualche esempio meno frequente in cui essa si innestava direttamente sull'orlo (fig. 31:a.2). Le brocche con collo stretto (fig. 31:b) erano contraddistinte dalla presenza di un collo concavo sul quale si innestava un'unica ansa verticale a cordone o più raramente a nastro. La forma del corpo era di tipo globulare.

I vasi originariamente identificati da Morricone come “brocche con bocca obliqua”<sup>89</sup> e generalmente caratterizzati da un corpo di forma ovoidale e/o biconica possono essere ulteriormente suddivisi in brocche con becco obliquo e alto collo (fig. 31:c), brocche con becco obliquo (fig. 31:d) e oinochoai (fig. 31:e). Le prime si distinguono dalle altre due per la presenza di un collo chiaramente distinto da spalla e becco, affusolato, e dal profilo rastremato verso l'alto o concavo. In effetti, la lunghezza del collo non si potrebbe propriamente definire “alta”, come indica il nome, ma è piuttosto di dimensioni “medie”. Tuttavia, il nome attribuito a questa forma intende sottolineare la derivazione diretta da prototipi di “tradizione locale” e/o anatolica, databili all'AB e, in più larga misura, al MB<sup>90</sup>. Nel corso del tempo, il collo si è progressivamente accorciato, fino ad assumere la forma tipica degli esemplari DSI, *LoD/DoL*.

In contrasto con le brocche con becco obliquo e alto collo, le brocche con becco obliquo e le oinochoai sono caratterizzate dalla presenza di un collo tozzo o strozzato, sempre di forma concava. Esse si distinguono le une dalle altre soprattutto in base alla foggia del becco, aguzzo e tagliato in maniera obliqua nel caso delle brocche con becco obliquo, più sinuoso e caratterizzato da bitorzoli sui lati nel caso delle oinochoai.

---

<sup>86</sup> Morricone 1975, pp. 298-301, 319-320.

<sup>87</sup> Lloyd - Mellaart 1965, p. 131, fig. P. 36:11. L'esemplare da Beycesultan può essere confrontato in particolare col pitharaki n. 04:14 dal “Serraglio”.

<sup>88</sup> Morricone 1975, pp. 303-304, 322.

<sup>89</sup> Morricone 1975, pp. 304-306, 322-324.

<sup>90</sup> Marketou 2004, p. 21, fig. 2:α-β; Marketou 2009, pp. 74, 82, figg. 2, 13.

Le variazioni tipologiche all'interno delle rimanenti forme riconosciute da Morricone sono meno pronunciate. Le anfore (fig. 30:b) sono caratterizzate dal profilo ovoidale del corpo e da due anse a cordone dalla spalla all'orlo, spesso contraddistinte da profonde incisioni (“*slit handles*”)<sup>91</sup>. La bocca a doppio sgrondo poteva essere arrotondata (fig. 30:b.1) o senza labbra (fig. 30:b.2). Le olle con o senza beccuccio a ponte avevano di solito forma piriforme, ovoidale o globulare (fig. 32:a.1-2)<sup>92</sup>. L'orlo poteva essere estroflesso (fig. 32:a.3.1), spiovente (fig. 32:a.3.2) o senza labbra (fig. 32:a.3.3). Le anse erano orizzontali e con sezione globulare (cioè a cordone). Alcuni frammenti di vasi aperti con orlo estroflesso (fig. 32:e.1) o piatto e estroflesso (fig. 32:e.2) e pareti diritte sono stati interpretati come bacini<sup>93</sup>. La forma del corpo, delle anse e della base non è certa, ma è possibile che essi imitassero alcuni ben noti prototipi cretesi del MB<sup>94</sup>.

In seguito ai risultati della presente ricerca, alle forme riconosciute nel 1975 da Morricone possono essere aggiunte la giara a staffa (fig. 32:b), l'incensiere (fig. 32:c) e la tazza cilindrica (fig. 34:d)<sup>95</sup>. I pochi e frammentari esemplari di giare a staffa giunti fino a noi sono caratterizzati da un falso collo concavo e da un disco con superficie piatta o leggermente concava. Le anse erano a cordone. Nulla di certo può essere detto sulla forma del corpo (fig. 32:b), anche se si può immaginare che essa fosse simile a quella delle anfore (fig. 30:b), così come accadeva nella coeva ceramica minoica<sup>96</sup>. L'unico esemplare di incensiere ha la forma canonica dei prototipi cretesi del Tipo Georgiou 1:A<sup>97</sup>, con camera globulare e cappello a spiovente contrassegnato da molti fori circolari di piccole dimensioni e un foro circolare principale molto sovradimensionato rispetto agli altri. L'unico esemplare di tazza cilindrica giunto fino a noi ha base smussata con fondo piatto e un'unica ansa verticale a nastro. Esso ricalca i prototipi cretesi del MM III<sup>98</sup>.

### ***Analisi dei motivi decorativi***

Il repertorio DSI, *LoD/DoL* portato alla luce nel corso degli scavi italiani a Kos include 26 motivi decorativi: trattini/tratti obliqui, archi, linee ondulate singole, linee ondulate doppie, lunule, ondulazioni, merletti, festoni, spirali, gocce, cerchi, dischi, grate, reti, corolle a zig-zag, croci, ruote, marmorizzazioni, narcisi, corolle, corolle pendule, boccioli a racchetta, collane di foglie, foglie, rametti e cespugli (figg. 33-38).

<sup>91</sup> Morricone 1975, pp. 302-303, 321, figg. 277-278.

<sup>92</sup> Morricone 1975, pp. 307-309.

<sup>93</sup> Morricone 1975, pp. 320-321.

<sup>94</sup> Levi - Carinci 1988, p. 25, tav. 13:p-q; Rutter - Van de Moortel 2006, pp. 276, 297, tav. 3:1 X/5, tav. 3:6 Ja/21.

<sup>95</sup> Per la tazza cilindrica cf. anche Papagiannopoulou 1985, pp. 87-88, fig. 1.

<sup>96</sup> Walberg 1992, pp. 51-52, 66.

<sup>97</sup> Georgiou 1980, pp. 129-142, tavv. 1-3.

<sup>98</sup> Betancourt 1985, p. 105, fig. 77:c, fig. 81:b; Walberg 1992, pp. 54-55, 76-77, n. 115, tav. 7:115.

Come già intuito da Morricone, i motivi decorativi attestati all’interno della ceramica DSI, *LoD/DoL* possono essere suddivisi in motivi di tipo geometrico e motivi di tipo “naturalistico”, ispirati a elementi floreali o vegetali<sup>99</sup>. All’interno di queste due grandi categorie, un’ulteriore distinzione deve essere effettuata tra motivi “accessori” – cioè utilizzati esclusivamente per la decorazione di alcuni elementi strutturali quali orli, anse e colli – e motivi “principali”, impiegati come elementi centrali della decorazione.

Tra gli ornati geometrici “accessori” possono essere annoverati i trattini/tratti obliqui, il merletto, i festoni, il cerchio, i dischi e le croci (fig. 33:a, fig. 34:c-d, fig. 35:c-d, fig. 36:c). Agli ornati geometrici di tipo “principale” appartengono, invece, gli archi concentrici, le onnipresenti linee ondulate singole e doppie, le lunule, le ondulazioni, le spirali, le gocce, le grate, le corolle a zig-zag, la marmorizzazione e la rete, quest’ultima identificata per la prima volta nel corso della presente ricerca (fig. 33:b-d, fig. 34:a-b, fig. 35:a-b, e, fig. 36:a-b, e). L’unico ornato “naturalistico” di tipo “accessorio” è rappresentato dalla collana di foglie (fig. 37:e). Tutti gli altri ornati “naturalistici”, ovvero il narciso, le corolle, le corolle pendule, il bocciolo a racchetta, le foglie, il rametto e il cespuglio erano utilizzati, di norma, come elementi centrali della decorazione (fig. 37:a-d, fig. 38).

Una citazione a parte merita il motivo cosiddetto a “ruota”, costituito da una croce iscritta all’interno di un cerchio (fig. 36:d). La “ruota” ha, infatti, alcuni confronti molto precisi a Thera, dove essa era utilizzata su pithoi di grandi dimensioni come unità di misura della capacità, in concomitanza con altri simboli simili<sup>100</sup>. Sulla DSI, *LoD/DoL*, la “ruota” è attestata sul corpo di una brocca (fig. 22:a; tav. 16:f) e sul disco di una giara a staffa (fig. 25:c; tav. 20:c). In entrambi i casi si tratta di vasi generalmente usati in transazioni di tipo commerciale. Tenendo conto che importazioni di ceramica DSI, *LoD/DoL* sono ben documentate ad Akrotiri, le possibilità che la “ruota” rappresenti, sulla stessa DSI, *LoD/DoL*, un’unità di misura della capacità appaiono probabili.

### **Brevi osservazioni sulla sequenza operativa**

In termini di impasti e tecniche di formazione primaria, anche la DSI, *LoD/DoL* mostra molte affinità con la “tradizione locale”. La maggior parte dei vasi della classe DSI, *LoD/DoL* sono prodotti utilizzando i Sottogruppi macroscopici A-VI, B-V, B-VI e B-IX (cf. Capitolo 1; Tabella 3; tav. col. 10:a, c-e). Il Sottogruppo macroscopico A-VI è attestato a Kos nell’AB 3 e nel MB, mentre i Sottogruppi B-V e B-VI sono molto simili ai sottogruppi locali dell’AB, dai quali si differenziano principalmente per la mancanza di tempere di origine organica, come paglia (“*chaff tempering*”). Inoltre, seppure in misura molto residuale, alcuni frammenti DSI, *LoD/DoL* sono prodotti utilizzando i Sottogruppi macroscopici B-II e C-IV (Tabella 3; tav. col. 10:b, f), attestati a Kos sin dall’AB 1-2.

<sup>99</sup> Morricone 1975, pp. 309-318, 324-326.

<sup>100</sup> Doumas - Constantinides 1990, p. 42, figg. 1-3.

Passando alle tecniche di formazione primaria, i vasi della classe DSI, *LoD/DoL* possono essere FaM, CfT, o presentare un misto tra queste due tecniche (tavv. col. 8-9). Il secondo metodo è attestato a Kos sin dall'AB 3 nelle classi della "tradizione locale"<sup>101</sup>. Un altro punto di contatto tra la "tradizione locale" dell'AB e la "tradizione mista" delle fasi iniziali del TB è rappresentato dalla possibile presenza in entrambi i periodi di vasi il cui corpo è costituito da due parti costruite separatamente e poi unite a formare un unico profilo. Nell'AB 2, tale tecnica è utilizzata per la manifattura di grandi brocche con bocca obliqua<sup>102</sup>, mentre nel TB IA essa è utilizzata per la costruzione di alcuni pitharakia (tav. col. 9:a-b; fig. 10:b, fig. 22:b, fig. 24:c).

In termini di manifattura, i vasi DSI, *LoD/DoL* sono in gran parte lisciati (Tabella 23). Tra i vasi della "tradizione locale" la lisciatura è il secondo metodo più comune dopo la lucidatura già a partire dalle fasi comprese tra il Neolitico Finale e l'AB 1-2. La diffusione della lisciatura cresce nel corso del TB, soprattutto nell'ambito delle classi MS e MN. L'alta frequenza dei vasi lisciati all'interno della DSI, *LoD/DoL* non è quindi in contrasto con le tradizioni ceramiche di Kos in epoca preistorica.

Per ciò che concerne rifinitura delle superfici e qualità delle vernici, occorre richiamare un punto già accennato in precedenza: la possibile esistenza di due fasi distinte nella produzione delle ceramiche DSI, *LoD/DoL*. Come osservato nel Capitolo 3, i dati stratigrafici suggeriscono, nonostante la quantità limitata del campione, uno sviluppo tecnologico in alcuni aspetti della sequenza operativa. In particolare, nel corso del TB IA Maturo, si assiste a un incremento della compattezza di lavaggi, ingubbiature e vernici che avvicinano un po' di più la "tradizione mista" di Kos ai prototipi della "tradizione minoica" a Creta (tav. col. 5:b, tav. col. 6:b, tav. col. 12:b, tav. col. 13). Al contrario, nel corso del TB IA Iniziale i punti di contatto con le produzioni cretesi sembrano meno accentuati. Infatti, ingubbiature e lavaggi appaiono identici a quelli utilizzati nelle classi della "tradizione locale" MR (tav. col. 11:a-b) e MS (tav. col. 5:a, tav. col. 12:b), mentre le vernici hanno una consistenza farinosa e tendono a scomparire (tav. col. 5:a, tav. col. 11:a).

In questo quadro, è interessante notare come i motivi naturalistici di più raffinata esecuzione (tav. col. 13:b-d) siano tutti eseguiti su vasi che presentano le caratteristiche tecnologiche della fase più avanzata della produzione, suggerendo così una datazione all'interno del TB IA Maturo per questi esemplari. L'uso di tali motivi ha un'ulteriore implicazione: esso comporta una maggiore perizia non solo nell'esecuzione del singolo ornato, ma anche nella sintassi decorativa. I vasi stratigraficamente databili all'interno del TB IA Iniziale sembrano essere contraddistinti dall'uso relativamente frequente di quella che A. Furumark definiva "*tectonic composition*", secondo la quale la decorazione è organizzata in fasce o registri sovrapposti e più o meno corrispondenti ai principali elementi strutturali del vaso (base, massima espansione

---

<sup>101</sup> Marketou 1990a, pp. 102-103, fig. 5; Marketou 1990b, p. 40, figg. 1-2.

<sup>102</sup> Vitale 2013, p. 5, fig. 6:1, fig. 7:3.

del corpo, spalla, collo e orlo; tav. col. 5:a; fig. 9:a-b, d; tav. 3:a, b-d)<sup>103</sup>. I vasi con motivi naturalistici e corrispondenti alla fase più avanzata dello sviluppo tecnologico descritto in precedenza, invece, sono a volte caratterizzati da quella che Furumark definiva “*unity composition*” (tav. col. 13:d; fig. 20:b, d; tav. 15:b, d)<sup>104</sup>. In questo caso, la decorazione occupa l'intera superficie del vaso e ciò presuppone una progettazione più elaborata della sintassi e l'abilità di adattare la composizione alla tridimensionalità della superficie, determinata dalle inevitabili curve del corpo.

### ***Influenze minoiche e “tradizione locale”***

La presenza di elementi stilistici di origine minoica ha spesso colpito coloro che hanno studiato la DSI, *LoD/DoL*<sup>105</sup>. A partire da tali elementi, alcuni archeologi hanno interpretato questa interessante classe come uno dei tanti indizi dell'espansione economica, politica e culturale della civiltà cretese fuori dai propri confini, nel suo momento di massimo splendore<sup>106</sup>. I dati emersi all'interno della presente ricerca permettono di ridiscutere il carattere della ceramica DSI, *LoD/DoL*, valutando in maniera più equilibrata le interazioni tra i differenti tratti stilistici che la contraddistinguono.

Svariate forme, tra le quali anfore, brocche con becco obliquo, oinochoai, giare con o senza beccuccio a ponte, giare a staffa, incensieri, tazze cilindriche e bacini (fig. 30:b, fig. 31:d-e, fig. 32), riproducono prototipi cretesi (cf. WF 10-13 e 28)<sup>107</sup>. Lo stesso accade se si prendono in considerazione diversi motivi decorativi, sia di tipo geometrico, come lunule, ondulazioni, merletti, spirali, gocce, dischi, corolle a zig-zag e marmorizzazioni (fig. 34:a-c, fig. 35:a-b, d, fig. 36:b, e), sia di tipo “naturalistico”, come narcisi, corolle, corolle pendule, boccioli a racchetta, foglie, rametti e cespugli (fig. 37:a-d, fig. 38; cf. WM 2-7, 9, 14-19, 21)<sup>108</sup>. Un ulteriore elemento di matrice minoica è del resto rappresentato dallo stesso alternarsi delle varie tecniche *LoD*, *LoD* su fasce, *DoL* e *LoD-DoL*<sup>109</sup>.

<sup>103</sup> Furumark 1941, pp. 112-113; Walberg 1992, pp. 98-105.

<sup>104</sup> Furumark 1941, pp. 112-113; Walberg 1992, pp. 98-105.

<sup>105</sup> Furumark 1950, pp. 154, 169; Morricone 1975, pp. 296, 384, 386; Davis 1982, pp. 33, 35-36; Davis *et al.* 1983, p. 363; Papagiannopoulou 1985, pp. 87-89; Papagiannopoulou 1991, pp. 216-217; Papazoglou-Manioudaki 1990, pp. 153-154.

<sup>106</sup> Maiuri 1928; Laviosa 1978; Laviosa 1984, pp. 183, 185; Mee 1982, p. 80.

<sup>107</sup> Walberg 1992, pp. 50-52, 54-55, 63-68, 76-78, tavv. 2-4, 7 (con ampia bibliografia aggiornata fino al 1990). Per i principali contributi dal 1991 in poi cf. Warren 1991; Sakellarakis - Sapouna-Sakellarakis 1997; Knappett - Cunningham 2003; Rutter - Van de Moortel 2006.

<sup>108</sup> Walberg 1992, pp. 80-89, 92-96, tavv. 8-13 (con ampia bibliografia aggiornata fino al 1990). Per i principali contributi dal 1991 in poi cf. Warren 1991; Sakellarakis - Sapouna-Sakellarakis 1997; Knappett - Cunningham 2003; Rutter - Van de Moortel 2006. Un confronto molto stretto per il narciso di 04:10 proviene da Palaikastro (MacGillivray *et al.* 1991, p. 137, fig. 15, tav. 14:c-d).

<sup>109</sup> Cf. in generale Betancourt 1985, pp. 103-114, 123-133, figg. 81-85, 87, 92, 98, 100, tavv. 13-17. Inoltre, alcuni frammenti in tecnica *LoD* su fasce con flettature bianche (Morricone 1975, p. 299, figg. 268-269) possono essere confrontati con svariati esemplari delle Fasi II e III di Phaistos (Levi 1976, pp. 200-202, 212-214, 216, 228, 235,

Accanto agli elementi di origine cretese, tuttavia, molte forme esibiscono idiosincrasie locali, come la preferenza per le brocche con ansa innestata sul collo piuttosto che sull'orlo (fig. 31:a.1), la presenza di profili più o meno accentuatamente biconici (fig. 30:a.3.2, fig. 31:e), l'uso di modellare parti relativamente estese del corpo con risalti (fig. 30:a.4) e la ricorrenza di profonde incisioni sul dorso delle anse (fig. 16:d, fig. 18:b-c, f, fig. 19:a-b, fig. 22:b, fig. 24:c, fig. 26:f). Queste caratteristiche richiamano le tradizioni dell'area culturale compresa tra Egeo sudorientale e Anatolia sudoccidentale<sup>110</sup>, all'interno delle quali, come dimostrato da studi recenti, vanno incluse le ceramiche di "tradizione locale" prodotte a Kos dal Neolitico Finale fino a una fase avanzata del MB<sup>111</sup>. A ben guardare, alla stessa tradizione dell'area culturale compresa tra Egeo sudorientale e Anatolia sudoccidentale si ricollega direttamente anche un certo numero di forme in ceramica DSI, *LoD/DoL*, tra le quali spiccano i pitharakia (fig. 30:a)<sup>112</sup>, le brocche con collo stretto (fig. 31:b)<sup>113</sup> e le brocche con becco obliquo e alto collo (fig. 31:c)<sup>114</sup>.

Idiosincrasie locali sono ravvisabili anche nel repertorio degli ornati, all'interno del quale sono frequentissimi semplici disegni geometrici come linee ondulate singole e doppie (fig. 33:c-d), ma dove è completamente assente uno tra i più comuni motivi diagnostici del TM IA: il "ripple pattern", il quale è, peraltro, frequentemente attestato nelle coeve ceramiche "minoicizzanti" prodotte fuori dall'isola di Creta<sup>115</sup>. Come dimostrato nei paragrafi precedenti, anche in termini di impasti e tecniche di formazione primaria, la DSI, *LoD/DoL* mostra molte affinità con la "tradizione locale".

496-497, nn. F. 482, 519, 579, 612, 1973, 2285, 5234, tav. 166:a, tav. 167:a-b, tav. 168:c, tav. 169:g, tav. 170:d-f, tav. 183:b).

<sup>110</sup> Per le brocche con ansa sul collo cf. Marketou 2004, p. 26, fig. 8:η (Kos, AB 3); Milojevic 1961, pp. 19, 34-35, tav. 39:6, tav. 42:11, 15-16, tav. 43:14 (Samo, AB III-MB I); Günel 1999, p. 70, n. 17, fig. 14:17 (Liman Tepe, MB I-II). Per i profili biconici cf. Milojevic 1961, pp. 71, 74, tav. 15:7, tav. 47:16 (Samo, AB); Weickert *et al.* 1960, p. 28, n. 2, tav. 10:2 (Mileto, TM I-II); Lloyd - Mellaart 1965, pp. 105, 111, 119, 121, fig. P. 17:1-3, 6-8, fig. P. 18, fig. P. 19:2-3, 5-6, 8, fig. P. 20:1-4, 6-7, 11, fig. P. 21:1-7, 9-11, fig. P. 27:2-3, 5, fig. P. 28:2-6, 9, fig. P. 29:2 (Beycesultan, MB), p. 131, fig. P. 35:9-13, fig. P. 36:2, 4 (Beycesultan, MB-TB); Mellaart - Murray 1995, pp. 4, 7, fig. P. 5:2-3 (Beycesultan, TB). Per l'uso di risalti cf. Lloyd - Mellaart 1965, pp. 103, 105, 111, fig. P. 14:5, fig. P. 17:7, fig. P. 19:5, fig. P. 20:5, fig. P. 21:11 (Beycesultan, MB), pp. 129, 131, fig. P. 32:3, fig. P. 34:3, fig. P. 36:11 (Beycesultan, MB-TB); Mellaart - Murray 1995, pp. 3, 6, fig. P. 2:10-11 (Beycesultan, TB).

<sup>111</sup> Marketou 1990b; Marketou 2004; Vitale 2013; Vitale 2016a; Vitale - Hancock Vitale 2010; Vitale - Hancock Vitale 2013; Vitale - Trecarichi 2015; Vitale - Morrison 2017; Vitale *et al.* 2017.

<sup>112</sup> Per i precedenti e i confronti nell'ambito delle tradizioni anatoliche cf. Lloyd - Mellaart 1965, pp. 131, 133, fig. P. 34:3, fig. P. 36:11 (Beycesultan, MB-TB).

<sup>113</sup> Per un precedente e un confronto nell'ambito delle tradizioni anatoliche cf. Milojevic 1961, p. 37, tav. 44:4 (Samo, AB II-III).

<sup>114</sup> Per i precedenti e i confronti nell'ambito delle tradizioni anatoliche cf. Marketou 2009, p. 74, fig. 2 (Rodi, MB); Milojevic 1961, pp. 8, 11, 37, tav. 35:75, tav. 36:18, tav. 44:2 (Samo, AB II-MB I); Günel 1999, p. 70, n. 18, fig. 14:18 (Liman Tepe, MB II-III); Lloyd - Mellaart 1965, p. 131, fig. P. 35:4-5 (Beycesultan, MB-TB); Mellaart - Murray 1995, pp. 5, 8, fig. P. 6:1-7 (Beycesultan, TB). Cf. inoltre Papagiannopoulou 1991, p. 217.

<sup>115</sup> Per il "ripple pattern" fuori da Creta durante la transizione tra la Media e la Tarda Età del Bronzo cf.: CITERA, Kastri: Coldstream - Huxley 1972, pp. 283, 290, tavv. 23-32. THERA, Akrotiri: Marthari 1984, p. 129, fig. 8:c; Marthari 1987, p. 364, fig. 15. KEOS, Ayia Irini: Cummer - Schofield 1984, pp. 86, 136, nn. 820, 1707, tav. 62:a, d, i, j, 820, tav. 88:1707. MELOS, Phylakopi: Renfrew 1978, p. 407 (secondo la citazione in Warren - Hankey 1989, p. 66).

Vista nel suo insieme, la DSI, *LoD/DoL* appare come una sorta di ibrido *pidgin*, nel quale singoli elementi di origine minoica si fondono con caratteristiche della “tradizione locale”, dando così vita a un linguaggio totalmente nuovo. Questo dato rimane sostanzialmente corretto anche nel corso della fase avanzata dello sviluppo tecnologico della DSI, *LoD/DoL* (Sottofase III:1.b, TB IA Maturo).

L’inestricabile mescolanza tra stili locali e cretesi costituisce il tratto distintivo della DSI, *LoD/DoL* e rappresenta l’originale esito dell’interazione culturale tra “tradizione locale” e “tradizione minoica” a Kos, nell’epoca di maggiore espansione della cultura cretese nell’Egeo. La peculiarità della DSI, *LoD/DoL* può essere pienamente apprezzata se tale classe viene confrontata con le coeve produzioni di Citera, Thera, Keos e Melos<sup>116</sup>, dove non esistono vere e proprie classi miste, ma sono invece attestate produzioni locali di ceramiche decorate in stile minoico.

### **Funzione e fruizione delle ceramiche di “tradizione mista”**

Un aspetto importante, ma mai discusso in precedenza nella storia degli studi sulla DSI, *LoD/DoL*, concerne la differente distribuzione delle forme vascolari, se si confrontano le attestazioni nel “Serraglio” a Kos con le esportazioni nel resto dell’Egeo. La comparazione indica che, nonostante la vasta diffusione della DSI, *LoD/DoL* (tav. col. 1), solo una gamma relativamente ristretta di forme è rappresentata fuori da Kos. Si tratta essenzialmente di vasi di medie o grandi dimensioni per il trasporto di prodotti solidi e/o liquidi, che includono pitharakia, anfore, brocche, oinochoai e giare a staffa<sup>117</sup>. D’altra parte, in aggiunta a queste forme, il repertorio del “Serraglio” include altri tipi vascolari non attestati o solo raramente attestati nell’Egeo, tra i quali brocche con collo stretto, brocche con becco obliquo e alto collo, brocche con becco obliquo, olle con o senza beccuccio, incensieri, tazze cilindriche e bacini. Si tratta di forme che possono avere funzione di ceramica da mensa per versare, bere e mangiare, cioè vasi utilizzabili nella sfera quotidiana all’interno di un insediamento, ma anche in eventi più ampi nei quali la comunità si poteva riunire, tutta o in parte, per la celebrazione di attività conviviali. In questo contesto, va sottolineato che il repertorio funzionale della DSI, *LoD/DoL* destinato al consumo interno era ampliato e completato dalla presenza a Kos di altre forme della “tradizione mista”, come le tazze semiglobulari e troncoconiche in ceramica DF<sup>118</sup>.

---

<sup>116</sup> Coldstream - Huxley 1972; Marthari 1984, p. 129; Marthari 1987, pp. 362-366, 373-376; Cummer - Schofield 1984, pp. 45-46; Renfrew 1978, p. 407.

<sup>117</sup> Le eccezioni sono rare (cf. Monaco 1941, p. 156, n. 26, fig. 115; Momigliano 2012, pp. 54-56, fig. 65:b, d, fig. 71:a, fig. 92:b, fig. 155:b). L’attribuzione alla DSI, *LoD/DoL* di Kos di alcuni frammenti di ciotole carenate o giare carenate con beccuccio da Iasos non appare certa, in base a dettagli concernenti morfologia e decorazione (Momigliano 2012, p. 55, fig. 124:a-b, fig. 137:a, fig. 139:a, fig. 145:a).

<sup>118</sup> Alcune tazze semiglobulari DF potrebbero essere state anche esportate fuori dal “Serraglio”, come suggerisce un esemplare da Mileto (Raymond *et al.* 2016, p. 67, fig. 4:3, terza dall’alto).

I dati appena discussi suggeriscono due conclusioni significative. In primo luogo, sembra evidente che sia esistito un repertorio di forme DSI, *LoD/DoL* destinato alla fruizione locale ma non, eccetto pochi casi, all'esportazione e allo scambio con altre aree dell'Egeo. Inoltre, risulta chiaro che le ceramiche di "tradizione mista" abbiano supplito alla mancata presenza a Kos di una produzione locale di ceramica decorata di stretta imitazione minoica. Questo dato è in contrasto con l'evidenza archeologica pertinente a molte altre regioni dell'Egeo interessate dal cosiddetto processo di "minoicizzazione" durante la fase Neopalaziale a Creta. In queste aree, infatti, la produzione locale di ceramica in stile minoico è ben rappresentata sia nelle classi decorate, sia in quelle acrome, con esiti che variano, ovviamente, da sito a sito (Tabella 24)<sup>119</sup>. A Kos, invece, i vasi di stretta imitazione minoica includono solo un piccolo repertorio di forme acrome in ceramica MinAF, MinASF e MinAI, tra le quali tazze troncoconiche, tazze semiglobulari con beccuccio, giare a staffa (fig. 25:e; tav. 20:e), incensieri, bracieri e tripodi con fondo piatto<sup>120</sup>.

In tale contesto, non sembra casuale che le produzioni più raffinate e tecnologicamente avanzate (cf. sopra), all'interno del repertorio DSI, *LoD/DoL*, siano destinate prevalentemente o esclusivamente alla fruizione interna e che esse rappresentino quanto di più vicino si possa trovare a Kos ai prototipi cretesi. Inoltre, non sembra casuale che tecnologicamente (qualità di lavaggi, ingubbiature e vernici) e stilisticamente (esecuzione degli ornati e sintassi) le produzioni più raffinate possano essere assegnate in prevalenza al TB IA Maturo (cf. sopra), il periodo che segna il momento più alto dell'influenza cretese nelle aree dell'Egeo interessate dal cosiddetto processo di "minoicizzazione".

---

<sup>119</sup> Vitale - Hancock Vitale 2010, p. 70; Vitale - Hancock Vitale 2013, p. 52 (con bibliografia precedente).

<sup>120</sup> Morricone 1975, pp. 281-285, figg. 243, 245-246, 248-249.

## Capitolo 7.

### Conclusioni

L'analisi dei dati proposta all'interno di questo volume suggerisce alcune conclusioni significative su cronologia, sequenza operativa, sviluppi tecnologici, stilemi e significati culturali e socio-politici delle ceramiche della “tradizione mista” nelle primissime fasi del TB a Kos. Contrariamente a quanto sostenuto da studi precedenti, le classi DF e DSI, *LoD/DoL* non possono essere considerate come una delle tante imitazioni locali della ceramica minoica di Creta, diffuse nel bacino dell'Egeo nell'epoca dei secondi palazzi<sup>121</sup>. Esse costituiscono, invece, un esempio unico di combinazione, in un linguaggio totalmente nuovo e originale, di elementi locali e caratteristiche della “tradizione minoica” cretese.

Nei due successivi paragrafi di questo capitolo, le caratteristiche diagnostiche delle ceramiche DSI, *LoD/DoL* e DF sono riassunte con particolare attenzione agli aspetti concernenti tecnologia, tipologia e preferenze decorative. Il terzo ed ultimo paragrafo di questo capitolo, invece, discute i risultati della presente ricerca in relazione alle traiettorie culturali e socio-politiche del “Serraglio” e di Kos all'inizio della Tarda Età del Bronzo.

#### **DSI, *LoD/DoL***

Le caratteristiche diagnostiche delle produzioni locali possono essere definite e comprese in profondità prendendo in esame la dinamica delle interazioni tra sviluppi interni e influenze esterne.

Per ciò che concerne le ceramiche DSI, *LoD/DoL*, impasti, tecniche di formazione primaria e trattamenti delle superfici sembrano essere legati in maniera prominente alla “tradizione locale”. Ciò è dimostrato dal fatto che le caratteristiche che contraddistinguono le ceramiche DSI, *LoD/DoL* in questi tre aspetti hanno antecedenti che a Kos risalgono alle fasi comprese tra il Neolitico Finale e il MB.

La questione diventa più articolata se si prendono in considerazione lavaggi, ingubbiature e vernici. Questi tre elementi, infatti, seguono traiettorie complesse che indicano un graduale incremento nella ricezione di svariate caratteristiche di origine minoica.

I risultati di questo volume dimostrano la presenza di due stadi nello sviluppo tecnologico della DSI, *LoD/DoL*. Nel primo (Sottofase III:1.a, TB IA Iniziale), lavaggi e ingubbiature sono mutuati dalle ceramiche MR e MS, due classi della “tradizione locale” attestate a Kos rispettivamente dall'AB 1-2 e dal Neolitico Finale-AB 2 (Tabella 2). Nel secondo stadio

---

<sup>121</sup> Cf. Vitale - Hancock Vitale 2010, p. 70; Vitale - Hancock Vitale 2010, p. 52 (con bibliografia precedente).

(Sottofase III:1.b, TB IA Maturo), invece, lavaggi e ingubbiature assumono una compattezza più stabile, assomigliando più da vicino alle ceramiche minoiche o “minoicizzanti” della tradizione cretese.

La traiettoria seguita dalle vernici, specialmente quelle utilizzate per la realizzazione degli ornati chiari nella DSI, *LoD/DoL*, è simile a quella di lavaggi e ingubbiature, con ornati fragili ed evanidi nel primo stadio e ornati più stabili e compatti nel secondo. Anche questa evoluzione contribuisce a rendere la ceramica DSI, *LoD/DoL* più affine ai prototipi minoici nel corso del secondo stadio dello sviluppo tecnologico, rispetto agli esiti del primo.

Per quanto concerne il repertorio morfologico, le ceramiche DSI, *LoD/DoL* sono caratterizzate da una mescolanza di elementi legati alla “tradizione locale” di Kos e di elementi legati alla “tradizione minoica” di Creta. Trattamenti e tecniche decorative, d'altra parte, sono prominentemente di origine cretese. L'alternarsi delle tecniche *LoD*, *LoD* su fasce, *DoL* e *LoD-DoL*, è per definizione un elemento squisitamente minoico. A ben guardare, la stessa adozione della decorazione a ornati è di per sé una caratteristica minoica per il semplice fatto che le classi della “tradizione locale” di Kos dal Neolitico Finale al TE IIC sono preminentemente acrome o monocrome (Tabelle 1-2).

Anche nel caso della decorazione, comunque, occorre sottolineare i cambiamenti occorsi tra il primo e il secondo stadio dello sviluppo tecnologico. Nel primo (Sottofase III:1.a, TB IA Iniziale), sono rappresentate tutte le tecniche decorative, eccetto la DSI, *DoL*, il repertorio dei motivi è limitato e la sintassi è molto semplificata. Nel secondo (Sottofase III:1.b, TB IA Maturo), invece, alle tre tecniche decorative precedenti si aggiunge la DSI, *DoL*. Inoltre, il repertorio dei motivi decorativi si arricchisce e la sintassi è contraddistinta da esempi più complessi con uso della cosiddetta “*unity composition*”.

Il passaggio dal primo al secondo stadio dello sviluppo tecnologico della DSI, *LoD/DoL* suggerisce un incremento della complessità e della specializzazione del processo di manifattura. La comparsa di trattamenti e tecniche decorative più elaborati nel corso del TB IA Maturo indica una consapevolezza maggiore delle coeve produzioni minoiche di Creta. Nonostante ciò, bisogna sottolineare che la DSI, *LoD/DoL* rimane una classe inestricabilmente mista e, anche in questo stadio avanzato, è difficile, se non in rari casi, trovare un confronto puntuale tra un vaso DSI, *LoD/DoL* prodotto a Kos e un vaso minoico prodotto a Creta.

## DF

Le tazze in ceramica DF sono prodotte in maniera prominente, se non esclusiva, nel TB IA Iniziale. Per tale ragione, non ci sono tracce di due distinte fasi di sviluppo tecnologico, come nelle ceramiche DSI, *LoD/DoL*. In ogni caso, anche le tazze DF includono un misto inestricabile di caratteristiche riconducibili in parte alla “tradizione locale” di Kos ed in parte alle “tradizione minoica” di Creta. Le prime sono evidenti in termini di tecniche di formazione

primaria, trattamento delle superfici, vernici e, nel caso delle tazze semiglobulari, morfologia. Le caratteristiche minoiche, d'altro canto, sono evidenti in termini di preferenze decorative, come dimostrato dall'utilizzo della tecnica ad immersione (“*dipped rim technique*”) e di motivi quali il rametto ed il “*trickle pattern*”. Ovviamente, la presenza di tazze troncoconiche in ceramica DF rappresenta un ulteriore elemento di origine cretese incorporato, seppure in piccole quantità, in questa classe.

### Traiettorie culturali e socio-politiche

Per comprendere il profondo significato culturale e socio-politico della comparsa delle ceramiche della “tradizione mista” nel corso del TB IA Iniziale, è opportuno ripercorrere le traiettorie seguite da Kos a partire dal Neolitico Finale. Le ricerche condotte in ambito SELAP hanno dimostrato l'esistenza di importanti elementi di continuità e cambiamento, che caratterizzano i complessi sviluppi culturali occorsi sull'isola durante la fase preistorica. Durante il Neolitico Finale e l'AB 2, Kos fa parte dell'area culturale comprendente le isole dell'Egeo orientale e le coste dell'Anatolia occidentale. Tale dato è indicato da molteplici fattori che includono specifiche preferenze nelle strategie insediative, nelle strategie di sussistenza, nelle pratiche funerarie e nel repertorio ceramico. È in questo specifico clima culturale che si determinano le caratteristiche diagnostiche della “tradizione locale” di Kos per tutta la fase preistorica<sup>122</sup>. I siti principali di questa fase sono concentrati nella regione dell'Askklupis (settore NE dell'isola), nella regione di Halasarna (settore SW dell'isola) e includono anche la grotta di Aspri Petra (fig. 2).

Nell'AB 3 si verifica un cambiamento nelle strategie insediative. Mentre nelle fasi precedenti Kos era caratterizzata da piccole comunità organizzate in villaggi interni, concentrati sulle pendici del Monte Dikaiois, nell'AB 3 si assiste a un processo di sinecismo che culmina nella fondazione del “Serraglio” (Fasi I:1-2; Tabella 4). Questo nuovo insediamento si caratterizza come un centro regionale fortificato, situato sulla costa e immerso nella fertile pianura alluvionale del settore NE dell'isola<sup>123</sup>. Tale cambiamento fu accompagnato da importanti trasformazioni e dall'implementazione di differenti strategie socio-economiche. In particolare, due elementi sono da sottolineare. Il primo è il possibile passaggio dalla coltivazione intensiva di piccoli appezzamenti collegati a singole unità abitative (Neolitico Finale-AB 2) ad attività agricole su più ampia scala nell'ambito delle risorse offerte dalla pianura alluvionale del settore NE dell'isola (AB 3). Il secondo elemento è il probabile passaggio dall'uso di limitate aree di pascolo d'altura (Neolitico Finale-AB 2) all'impiego, per le medesime attività produttive, dei più estesi terreni agricoli della pianura alluvionale (AB 3). È ragionevole supporre che queste trasformazioni abbiano prodotto un incremento della complessità sociale, a causa delle crescenti differenze nell'accesso alle principali risorse economiche. La

<sup>122</sup> Morricone 1967, p. 306; Marketou 1990b, pp. 43-44; Marketou 2004, pp. 25-27; Vitale 2013; Vitale *et al.* 2017, pp. 236, 277.

<sup>123</sup> Cf. Vitale *et al.* 2017, pp. 236-238, 277.

fondazione del “Serraglio” suggerisce l’ascesa di una nuova élite sociale, economica e politica con un interesse attivo nelle reti commerciali marittime dell’Egeo orientale. La comparsa del “Serraglio” va, infatti, inquadrata nel cosiddetto “*Anatolian Trade Network System*”, già operativo in altre aree dell’Egeo orientale e dell’Anatolia occidentale a partire dalla fase finale dell’AB 2<sup>124</sup>.

La trasformazione delle strategie insediative ed economiche fu accompagnata nell’AB 3 da sviluppi significativi nelle pratiche socio-culturali, come è dimostrato dall’introduzione di un nuovo repertorio di ceramiche da mensa, che include boccali del tipo “*tankard*”, *depata* e ciotole MR costruite per la prima volta secondo la modalità CfT<sup>125</sup>. L’introduzione di queste innovazioni non cancellò le caratteristiche della “tradizione locale” elaborate nelle fasi precedenti. Al contrario, i nuovi elementi si fusero con il sostrato precedente in maniera naturale, essendo anch’essi radicati, come la “tradizione locale” di Kos, nell’area culturale dell’Egeo orientale e dell’Anatolia occidentale.

Le informazioni sul MB sono complessivamente limitate. Due aspetti emergono dai dati disponibili. Il primo è un decremento del ruolo di Kos negli scambi commerciali e culturali dell’Egeo orientale dopo la fine, nell’AB 3B (Sottofase I:2), del cosiddetto “*Anatolian Trade Network System*”. Inoltre, sembra evidente che la cultura materiale del “Serraglio” nel MB (Fase II; Tabella 4) sia caratterizzata da una sostanziale continuità col periodo precedente. Al centro di tale continuità vanno collocate, ancora una volta, le classi ceramiche della “tradizione locale”. I contatti con le culture dell’Egeo occidentale nel MB appaiono, invece, relativamente sterili<sup>126</sup>.

Durante la transizione tra il MB e il TB, pur nel quadro di una sostanziale continuità con il periodo precedente, lo scenario comincia gradualmente a mutare. Il TB IA Iniziale (Sottofase III:1.a; Tabella 4) è contraddistinto dalla comparsa delle classi della “tradizione mista”, da un incremento delle importazioni di ceramica di provenienza cretese, nonché dall’inizio della produzione locale di tazze troncoconiche della classe MinAF. Tali elementi segnano un’improvvisa impennata nella quantità e qualità dei contatti con le regioni W dell’Egeo, anche se la cultura materiale del “Serraglio” rimane prevalentemente legata alla “tradizione locale”<sup>127</sup>.

Il successivo TB IA Maturo (Sottofase III:1.b; Tabella 4) è contraddistinto da una generale riorganizzazione del “Serraglio” dopo il terremoto che aveva posto fine alla sottofase precedente<sup>128</sup>. L’insediamento conosce un nuovo momento di grande crescita e prosperità, sfruttando, ancora una volta, la propria felice posizione geografica, collocata al centro delle

---

<sup>124</sup> Vitale *et al.* 2017, pp. 236-238, 277; Şahoğlu 2005a; Şahoğlu 2005b.

<sup>125</sup> Marketou 1990b, p. 41, figg. 1-2; Marketou 2004, pp. 25-27, fig. 8:γ-στ, κ.

<sup>126</sup> Vitale 2016a, p. 77 (con bibliografia precedente).

<sup>127</sup> Vitale 2016a, p. 77 (con bibliografia precedente).

<sup>128</sup> Marketou 1990a, p. 103.

rotte commerciali che collegano Anatolia occidentale e Grecia continentale, attraverso Creta e le Cicladi.

Per quanto concerne la ceramica, il periodo è caratterizzato da sei elementi di importanza cruciale<sup>129</sup>. In primo luogo, le tazze in ceramica DF del TB IA Iniziale, specialmente quelle di tipo semiglobulare, tendono a scomparire. In secondo luogo, si assiste alla fioritura della DSI, *LoD/DoL* (cf. Capitoli 5-6). In terzo luogo, la produzione locale di tazze troncoconiche in ceramica MinAF diventa molto comune. In quarto luogo, in aggiunta a tali tazze troncoconiche, comincia la produzione locale di ceramica acroma in stile minoico (MinAF, MinASF, MinAI), comprendente un numero limitato di forme, tra cui tazze semiglobulari con beccuccio, giare a staffa (fig. 25:e; tav. 20:e), incensieri, bracieri e tripodi con fondo piatto<sup>130</sup>. Infine, aumentano le importazioni di ceramica minoica e “minoicizzante” da Creta e da altre aree dell’Egeo<sup>131</sup> e, contemporaneamente, cominciano a essere attestate le prime importazioni di ceramica micenea<sup>132</sup>, con ogni probabilità prodotte nell’Argolide. In aggiunta alla ceramica, i contatti diretti e/o indiretti con la cultura cretese sono dimostrati dalla presenza nel “Serraglio” di un *polythyron*, sebbene costruito con tecnologia locale, e dalla comparsa di pesi da telaio di forma discoidale con o senza scanalatura della superficie sovrastante il foro a sezione cilindrica<sup>133</sup>.

L’elemento principale che emerge da questi dati è che il TB IA Maturo rappresenta il momento in cui la “minoicizzazione” del “Serraglio” tocca il suo punto più alto. Ciò è inequivocabilmente testimoniato dalla produzione locale su vasta scala di tazze troncoconiche in ceramica MinAF e dall’influenza esercitata in generale dai modelli cretesi. D’altro canto, gli scavi di Morricone e quelli di Marketou, nonché i recenti risultati delle ricerche effettuate nell’ambito del progetto SELAP, indicano che la “tradizione locale” rimane l’elemento prominente della cultura materiale del “Serraglio”<sup>134</sup>. Se si guarda alle produzioni ceramiche, tale dato risulta evidente dal fatto che ben cinque delle classi prodotte a Kos già a partire dal Neolitico Finale o dall’AB 1-2 sono ancora in uso nel TB IA Maturo (MR, MS, ACF, ACSF, ACI; Tabella 2). La prominenza della “tradizione locale” durante questa sottofase risulta evidente se si confronta la presenza di indicatori culturali minoici a Kos con quella di altri siti dell’Egeo esposti all’influenza cretese nel corso dello stesso periodo (Tabella 24).

Complessivamente, le informazioni appena esposte indicano che le traiettorie socio-culturali di Kos tra il Neolitico Finale e il TB IA Maturo sono caratterizzate dall’alternanza tra fasi di accelerazione e fasi di stabilità. Le prime si sviluppano in periodi nei quali l’interazione con le aree vicine si fa più intensa e dinamica. Le fasi di stabilità includono l’arco temporale compreso tra il Neolitico Finale e l’AB 2 e il MB. Le fasi di accelerazione includono l’AB 3,

<sup>129</sup> Vitale 2016a, pp. 77-81 (con bibliografia precedente).

<sup>130</sup> Morricone 1975, pp. 281-285, figg. 243, 245-246, 248-249; Vitale - Morrison 2017, p. 79, fig. 8:5d-e.

<sup>131</sup> Morricone 1975, pp. 326-327, figg. 314-316; Vitale 2016a, p. 80, fig. 5:1.k.

<sup>132</sup> Morricone 1975, p. 333, fig. 322:d-e; Vitale 2016a, p. 80, fig. 5:1.l.

<sup>133</sup> Vitale 2016a, pp. 81-82 (con bibliografia precedente).

<sup>134</sup> Vitale 2016a, pp. 77-81 (con bibliografia precedente).

quando la regione NE di Kos partecipò al cosiddetto “*Anatolian Trade Network System*”, e l’intero TB IA, quando Kos stabilì intensi scambi ideologici col mondo culturale minoico.

L’alternanza tra fasi di accelerazione e stabilità può essere compresa attraverso i modelli definiti come “*social agency*” e “*cultural entanglement*”<sup>135</sup>. Gli episodi di accelerazione possono essere connessi con l’ascesa di élite locali, la cui fortuna dipendeva dalla capacità di intraprendere relazioni commerciali e culturali con le aree vicine. Per implementare tali relazioni e capitalizzarne i frutti nell’arena socio-politica interna, in ciascuna delle fasi di accelerazione le élite del “Serraglio” diedero vita a una serie di processi di ridefinizione e rimodellamento di pratiche, stilemi e identità locali, in una continua tensione dialettica tra tradizione domestica e innovazione.

La comparsa delle classi miste va inquadrata all’interno delle dinamiche culturali appena descritte. La produzione delle ceramiche DF e DSI, *LoD/DoL* rispecchia l’intenzione delle élite del “Serraglio” di partecipare al nuovo clima determinato dalla crescente espansione economica, politica e culturale dei secondi palazzi a Creta e di sfruttarne le potenziali opportunità. L’esportazione di prodotti locali attraverso vasi da trasporto appartenenti alla ceramica DSI, *LoD/DoL* è verosimilmente da interpretare come una studiata ed efficace strategia commerciale, almeno a giudicare dalla capillare diffusione di questa classe nell’Egeo nel corso del TB IA (tav. col. 1). D’altro canto, le tazze DF e i vasi DSI, *LoD/DoL* destinati al consumo e alla fruizione interna rispondono al bisogno di promuovere pratiche sociali e culturali di tipo minoico, attraverso le quali dimostrare, nell’arena sociale di Kos, l’abilità delle élite locali di partecipare al nuovo clima culturale creatosi nell’Egeo. L’introduzione nel “Serraglio” degli altri elementi di origine cretese menzionati sopra (importazioni di ceramiche minoiche; produzione delle classi MinAF, MinASF e MinAI; pesi da telaio discoidali; presenza di un *polythyron*) doveva contribuire a ottenere lo stesso risultato.

Rimane, comunque, da stabilire in quale modo la comunità del “Serraglio” sia entrata in contatto con alcuni tra gli elementi più tipici della cultura materiale minoica e “minoicizzante”. I complessi processi attraverso cui tali elementi si diffusero nel bacino dell’Egeo, tra la fine del MB e l’inizio del TB, sono stati spiegati attraverso un’ampia gamma di modelli teorici, tra i quali migrazione, acculturazione, colonizzazione, colonialismo senza colonie e, più recentemente, mobilità<sup>136</sup>. Il modello più aderente ai dati archeologici presentati e discussi nel presente volume è, complessivamente, quello della mobilità, mentre la colonizzazione e il colonialismo senza colonie appaiono inapplicabili al caso del “Serraglio”<sup>137</sup>.

<sup>135</sup> Giddens 1984; Hodder 2012 (con bibliografia precedente).

<sup>136</sup> Branigan 1981; Wiener 1990; Melas 1988a; Melas 1988b; Melas 1991; Knappett - Nikolakopoulou 2008. Cf. anche Mountjoy 1998, pp. 33-34; Broodbank 2004; Davis - Gorogianni 2008; Niemeier 2009.

<sup>137</sup> Per una critica puntuale dei modelli migratori, coloniali e colonialistici, cf. Vitale 2016a, pp. 86-88; Vitale *et al.* 2017, pp. 278-279; Mokrišová 2016, pp. 44-47 (tutti con bibliografia precedente).

Se si considera la posizione strategica di Kos nelle rotte commerciali tra l'Egeo e l'Anatolia occidentale, il fatto che il sito fosse oggetto di visite ricorrenti di viaggiatori e mercanti sembra un fatto praticamente scontato. In questo quadro, appare altamente probabile anche la presenza stagionale o semipermanente di piccole comunità culturalmente variegata. Questi piccoli gruppi possono aver svolto un ruolo decisivo nella veicolazione della cultura materiale minoica e nel concreto scambio di beni materiali e di idee con le élite locali di Kos e, più in generale, con gli abitanti del “Serraglio”.

La fase appena descritta non fu, tuttavia, di lunghissima durata. Dopo l'eruzione di Santorini, databile nel TC IA Maturo (Tabella 5), il rapido mutare dello scenario internazionale provocò una impasse quasi immediata dei processi di fusione culturale tra “tradizione locale” e cultura minoica. Nel corso del TB IB, il repertorio morfologico e decorativo della DSI, *LoD/DoL* rimane simile a quello della sottofase precedente. Le innovazioni del TM IB non vengono accolte, nonostante Kos sia regolarmente raggiunta da esportazioni cretesi<sup>138</sup>.

L'impasse non significò l'immediata fine della ceramica DSI, *LoD/DoL*. Questa classe, infatti, continuò a essere prodotta fino al TB IIIA1, quando gli esemplari più recenti raggiunsero, per l'ultima volta, Rodi e forse Keos<sup>139</sup>. Nel frattempo, l'incremento graduale ma costante di elementi di origine micenea nel “Serraglio” preparò il terreno per una nuova intensa fase di accelerazione nelle relazioni culturali tra Kos e altre aree dell'Egeo occidentale<sup>140</sup>.

---

<sup>138</sup> Vitale 2016a, p. 82 (con bibliografia precedente).

<sup>139</sup> Monaco 1941, pp. 156 (n. 26), 158 (n. 4), fig. 115, fig. 119:4; Papazoglou-Manioudaki 1990, pp. 154-155, nn. 41-47, tav. 67:α; Davis *et al.* 1983, p. 363, n. 3, fig. 2, tav. 70:e; Cummer - Schofield 1984, p. 135.

<sup>140</sup> Vitale 2016a, pp. 84-86 (con bibliografia precedente).

## English Abstract

### Subject and Contents of the Volume

The materials discussed in this volume were uncovered during the excavations carried out on Kos by L. Morricone between 1935 and 1946<sup>141</sup>. Specifically, this book analyzes the ceramics of the Koan Entangled Tradition that date to Late Bronze Age (LBA) IA Early and LBA IA Mature (Tab. 1). These relatively short but important sub-phases incorporate the oldest architectural remains identified by Morricone at the prehistoric settlement of the “Serraglio” (Chapter 2; Tab. 4; figs. 6-8; pl. 2:d). Overall, this volume discusses 590 specimens including complete and fragmentary vessels, 119 of which are presented in a detailed catalogue<sup>142</sup>.

The ceramics of the Entangled Tradition include two distinct classes: Painted Fine (PF; col. pls. 3-4) and Painted Medium-Coarse to Coarse (PMC-C) pottery (col. pls. 5-6). Based on attested decorative techniques, the latter can be further divided into four sub-classes that include Light-on-Dark (LoD), LoD on top of dark bands, Dark-on-Light (DoL), and LoD-DoL. For this reason, in previous literature, PMC-C pottery has been usually termed Koan LoD/DoL pottery<sup>143</sup>.

The ceramic classes of the Koan Entangled Tradition can be easily recognized based on their technological characteristics, such as fabric mixes, methods of primary and secondary formation of the vessels, surface treatments, paints, etc. They are also characterized by a specific typological and decorative repertoire (Chapters 1 and 6), which includes elements of the Koan Local Tradition classes (Tabs. 1-2) and features that are typical of the pottery productions of Minoan Crete. The data presented in this volume shed new light on the links between local potting practices and the cultural, social, and political trajectories of Kos during the 17<sup>th</sup> century B.C. In turn, these trajectories can be thoroughly understood only by

---

<sup>141</sup> Morricone 1967; Morricone 1975; Morricone 1978.

<sup>142</sup> Vitale 2006, pp. 74-76, fig. 2 (with previous bibliography).

<sup>143</sup> The results presented in this volume reflect to a large extent the work carried by the author between 2003 and 2007 as part of his PhD research at the Department of Archaeology of the University of Pisa (Vitale 2006; Vitale 2007). For this reason, the aim of this book is the analysis of the most relevant aspects concerning the archaeological context, typology, and chronology of the classes of the Koan Entangled Tradition. At the same time, the volume also includes references to the information acquired on Kos between 2009 and 2017 in the context of SELAP (“Serraglio, Eleona, and Langada Archaeological Project”). SELAP is an international multidisciplinary research program directed by the author under the scientific auspices of the Italian Archaeological School at Athens (see Vitale 2012a; Vitale 2012b; Vitale 2013; Vitale 2016a; Vitale 2016b; Vitale 2017; Vitale - Hancock Vitale 2010; Vitale - Hancock Vitale 2013; Vitale - Trecarichi 2015; Vitale - Blackwell - McNamee 2017; Vitale *et al.* 2017; Vitale-Morrison 2017). SELAP’s data concern a detailed examination of all the aspects of the so-called *chaîne opératoire*, from the extraction of the raw potting materials to the consumption of the finished objects by the inhabitants of prehistoric Kos. The results of this part of the research on the classes of the Koan Entangled Tradition. will be published in the near future in a more comprehensive form within the monograph series of the Italian Archaeological School at Athens, together with the other volumes connected to SELAP’s research.

considering the intense cultural relationships between the settlement of the “Serraglio” and the wider Aegean area during the Neopalatial period of Minoan Crete (col. pl. 1).

The results of this research are treated in seven distinct chapters. Chapter 1 provides a discussion of some important preliminary questions concerning terminological issues, the classification of the local pottery assemblage, and the classification of the local macroscopic fabric groups and sub-groups. Chapters 2 and 3 include a detailed analysis of the most significant contexts from Morricone’s excavations at the “Serraglio” dating to the LBA IA Early and Mature sub-phases. More specifically, Chapter 2 includes a critical discussion of the stratigraphic sequence uncovered by Morricone, while Chapter 3 includes the analysis of the relevant pottery materials.

Chapter 4 examines the LBA IA complete or largely restorable vessels assignable to the Koan Entangled Tradition that come from unstratified or unknown contexts. For these stray vessels, a reliable chronological assessment is suggested based on the data from the significant contexts discussed in Chapters 2 and 3. Chapter 5 is dedicated to the presentation and the analysis of the fragmentary materials, which to a large extent belong to the Koan PMC-C pottery class. Detailed counts are provided for all identified shapes, decorative techniques, and motifs (Tabs. 6-15, 17-22).

Chapter 6 discusses the defining characteristics of the classes of the Koan Entangled Tradition in terms of technology, typology, and decorative repertoire. This chapter also includes an in-depth discussion of the cultural meaning of the Minoan features included in the Koan entangled classes. Finally, Chapter 7 summarizes the wider cultural and socio-political implications of the present research.

### **Summary of the Results**

In contrast to previous studies, this research demonstrates that PF and PMC-C classes cannot be considered as one of the many local imitations of Minoan pottery attested in the Aegean during the Cretan Neopalatial period<sup>144</sup>. In fact, Koan PF and PMC-C ceramics represent a unique example of fully entangled classes, which combine in a new and original way local and Minoan potting traditions. In the two following sub-sections of this abstract, the defining features of PMC-C and PF ceramics are summarized with specific attention to technology, shape typology, and decorative preferences. A third and final sub-section discusses the implications of the present research for the wider understanding of cultural and socio-political developments at the settlement of the “Serraglio” and on the island of Kos at the very beginning of the LBA period.

---

<sup>144</sup> See Vitale - Hancock Vitale 2010, p. 70; Vitale - Hancock Vitale 2013, p. 52 (with previous bibliography).

### **PMC-C Pottery**

The data presented within this volume allow a consistent and systematic analysis of the classes of the Koan Entangled Tradition. The diagnostic features of these materials can be thoroughly defined and understood by considering the dynamic interaction between local developments and external influences.

Fabrics, formation techniques, and surface treatments of PMC-C pottery are prominently based in Koan local traditional practices. This is demonstrated by three elements. The first is the occurrence of distinctively Koan fabric groups with a long history on the island preceding and following the appearance of PMC-C pottery (Tab. 3; col. pl. 10)<sup>145</sup>. The second is the use of three manufacturing methods attested on Kos from previous phases, as is shown by the presence of fully handmade vessels (col. pl. 8:a)<sup>146</sup>, coil-built and wheel-fashioned vessels (col. pl. 8:b-f, col. pl. 9:a)<sup>147</sup>, and vessels that consist of two parts built separately and then joined at a later stage into a single shape (col. pl. 9:a-b; fig. 10:b, fig. 22:b, fig. 24:c)<sup>148</sup>. The third element is the remarkable preference for wiped surface treatments (Tab. 23; col. pl. 7:b), a practice that has a long history on Kos and thus is consistent with Local Tradition methods<sup>149</sup>.

In contrast with fabrics, manufacturing techniques, and surface treatments, PMC-C washes, slips, and paints follow complex trajectories that imply a gradual increase in the adoption of Minoan features. Shifts in the character of these features can be followed examining what the present research has defined as two distinct stages in the technological development of Koan PMC-C pottery. In the first stage (Sub-Phase III:1.a, LBA IA Early; Tab. 4), washes and slips (col. pl. 5:a, col. pl. 11:a) are executed in the same way as on two Local Tradition classes, Monochrome Red (MR; col. pl. 11:b) and Monochrome Dark (MD; col. pl. 12:a) that are attested on Kos since the Early Bronze Age (EBA) 1-2 and the Final Neolithic (FN)-EBA 2 periods respectively (Tab. 2). As a result, in this early stage of production, the surfaces of PMC-C vessels are not thoroughly coated and thus washes and slips tend to partially fade. Similarly, in this first stage paints tend to be fugitive, especially for the execution of light-colored motifs (col. pl. 5:a, col. pl. 11:a). On the other hand, in the second stage of the technological development of PMC-C pottery (Sub-Phase III:1.b, LBA IA Mature; Tab. 4), washes, slips, and paints are more compact and stable, thus becoming more similar to Minoan and/or Minoanizing ceramics manufactured elsewhere in the Aegean according to Cretan potting traditions (col. pl. 5:b, col. pls. 6-7, col. pl. 12:b, col. pl. 13).

The typological repertoire of PMC-C pottery consists of a mix of features derived from both the Koan and the Minoan tradition. Many of the attested shapes imitate Cretan types, such as

<sup>145</sup> Vitale *et al.* 2017, pp. 255-260, tabs. XVI-XVII, figs. 18-19.

<sup>146</sup> Vitale 2013, pp. 52-57, figs. 4-7.

<sup>147</sup> Vitale *et al.* 2017, p. 260, fig. 19:a-g.

<sup>148</sup> Vitale 2013, p. 55, fig. 6:1, fig. 7:3.

<sup>149</sup> See Vitale 2013, p. 54; Vitale 2017, pp. 155-158; Vitale *et al.* 2017, p. 255.

the oval-mouthed amphora, the beaked jug, the eyed beaked jug, the bridge-spouted jar, the hole-mouthed jar, the stirrup jar, the firebox, the straight-sided cup, and the basin (fig. 30:b, fig. 31:d-e, fig. 32). Others, such as pithoid jars, narrow-necked jugs, and high-necked beaked jugs are Koan Local Tradition shapes (fig. 30:a, fig. 31:b-c). Koan Local Tradition features also include the preference for neck-handled rather than rim-handled jugs, the occurrence of fully biconical, ovoid-biconical, or globular-biconical profiles, the use of ridges to decorate extensive parts of the vessel body, and the widespread presence of slit handles (fig. 10:b, fig. 11:b, fig. 12:c, fig. 13:a, c, fig. 16:c, fig. 17:d, fig. 18:b, f, fig. 19:a-b, fig. 21:b, fig. 22:b, fig. 24:c, fig. 26:f, fig. 28:e).

Moving to decorative preferences, the alternative use of LoD, LoD on top of dark bands, DoL, and LoD-DoL techniques is by definition an element of Cretan origin (col. pls. 5-6). In fact, even the simple occurrence of patterned decorative treatments (Tabs. 18-22; figs. 33-38) is by itself a Minoan feature, as Koan Local Tradition classes from the FN to the end of the LBA are prominently unpainted or monochrome painted (Tabs. 1-2). Within this general picture, some important changes between the first and the second stage of technological development of Koan PMC-C pottery can be noted also in decorative preferences. During the earlier stage, all techniques are attested except for DoL. The repertoire of motifs is limited and syntax is extremely simple (col. pl. 5:a, col. pl. 11:a; fig. 9:a-b, d, i; pl. 3:a-b, d, i). In the later stage, on the other hand, the use of the DoL technique (fig. 11:a; pl. 5:a) is added to that of LoD, LoD on top of dark bands, and LoD-DoL techniques. The range of the attested motifs is enriched (col. pl. 13:b-d), while the decorative syntax is typified by more complex schemes that include the use of the so-called “unity composition” (col. pl. 13:d; fig. 20:b, d; pl. 15:b, d)<sup>150</sup>.

The shifts that occurred from the first to the second stage of the technological development of Koan PMC-C pottery imply an increase in the complexity and specialization of the manufacturing process. The appearance of more elaborate decorative treatments and techniques during the LBA IA Mature sub-phase suggests a closer familiarity with contemporary Cretan productions. It is hardly surprising that this increased familiarity coincides chronologically with the peak in the expansion of Minoan civilization outside of its core cultural area. Nevertheless, even during the second stage of technological development, it would be almost impossible to find an exact parallel between a PMC-C vessel manufactured on Kos and a Minoan vessel made on Crete. Thus, the overall effect remains that of a new, original, fresh, and inextricably mixed stylistic language.

An important but previously neglected aspect of PMC-C consumption patterns concerns the difference between the vessels attested at the “Serraglio” and those found in the rest of the Aegean. Such a comparison indicates that, despite the extensive distribution of PMC-C specimens (col. pl. 1), only a relatively restricted range of shapes occurs outside of Kos. These shapes include mostly medium to large containers that can be used for the transportation/exportation of solid and liquid goods, such as pithoid jars, oval-mouthed

---

<sup>150</sup> Furumark 1941, pp. 112-113; Walberg 1992, pp. 98-105.

amphoras, round-mouthed jugs, eyed beaked jugs, and stirrup jars (fig. 30, fig. 31:a, e, fig. 32:b)<sup>151</sup>. On the other hand, in addition to these shapes, the repertoire attested at the “Serraglio” includes other types, which are altogether absent or uncommon in the wider Aegean, such as narrow-necked jugs, high-necked beaked jugs, beaked jugs, hole-mouthed jars, bridge-spouted jars, fireboxes, straight-sided cups, and basins (31:b-d, 32:a, c-e). As far as function is concerned, the shapes prevalently attested at the “Serraglio” can be used as tableware in the domestic sphere of a settlement, but can also be utilized for large scale eating and drinking activities within a given community, alongside other Entangled Tradition shapes, such as PF semi-globular and conical cups (see below).

These trends in consumption patterns suggest two important conclusions. First, there was a repertoire of shapes that were manufactured for local use and were not meant to be exported to other areas of the Aegean, except for a few cases. Second, it seems obvious that PMC-C vessels, together with PF vessels (see below), filled up the functional gap originated by the lack of a local production of proper Minoan style painted pottery at the “Serraglio”.

### **PF Pottery**

PF pottery was manufactured mostly, if not exclusively, during LBA I Early. For this reason, this class is not typified by two distinct technological stages, as seen for PMC-C ceramics. Nevertheless, PF pottery is also characterized by a mix of Koan and Minoan features. Local elements are evident in the attested range of fabric mixes (Tab. 3; col. pl. 10), the use of coil-built and wheel-fashioned forming techniques, as well as the preference for wiped surface treatments and dull paints (col. pls. 3-4). Decorative techniques and treatments, however, derive from the Minoan potting tradition, as implied by the use of motifs such as the foliate band and the trickle pattern and by the widespread occurrence of the dipped rim technique (col. pls. 3-4; fig. 9:f-h, fig. 13:e-n, fig. 29:c-e; pl. 3:f-h, pl. 8:c-l, pl. 28:c-e). The high incidence of wavy bands, on the other hand, may represent a local idiosyncrasy. As far as the morphological repertoire is concerned, the shape of PF semi-globular cups is based in the Local Tradition and represents a linear development from Middle Bronze Age (MBA) Koan carinated cups<sup>152</sup>. The rare examples of Koan PF conical cups (fig. 13:n), on the other hand, obviously imitate a type that constitutes one of the hallmarks of the Minoan typological repertoire.

---

<sup>151</sup> Exceptions to this trend are rare (see, for example, Monaco 1941, p. 156, no. 26, fig. 115; Momigliano 2012, pp. 54-56, fig. 65:b, d, fig. 71:a, fig. 92:b, fig. 155:b). The attribution to Koan PMC-C pottery of some carinated bowl/spouted jar fragments from Iasos seems uncertain, based on details of morphology and decorative treatment (Momigliano 2012, p. 55, fig. 124:a-b, fig. 137:a, fig. 139:a, fig. 145:a).

<sup>152</sup> Marketou 1990a, p. 103.

### **Cultural and Socio-Political Implications**

To understand the cultural and socio-political meaning of the appearance of Entangled Tradition classes during the LBA IA Early sub-phase, it is crucial to consider the cultural trajectories of Kos starting from the FN period. SELAP’s research has shown the co-existence of important elements of continuity and change that characterize Koan cultural developments during prehistory. In the FN and the EBA 2, Kos was part of a cultural network that included the E Aegean-W coastal Anatolian region. This fact is demonstrated by specific preferences in settlement choices, subsistence strategies, funerary practices, and pottery repertoire. It is within this particular environment that the distinctive features of the Koan Local Tradition were developed<sup>153</sup>. The main sites attested in this phase were concentrated in the Asklepios region (NE sector of the island), the Halasarna area (SW sector of the island), and at the cave of Aspri Petra (fig. 2).

During the EBA 3, a significant change in settlement strategies occurred. While in the previous phases Kos was characterized by small communities organized around inland villages on the slopes of Mount Dikaïos, the EBA 3 is typified by a nucleation process that culminates in the foundation of the new settlement of the “Serraglio” (Sub-Phases I:1-2; Tab. 4). The “Serraglio” can be characterized as a proto-urban coastal center provided with fortification walls and located within the fertile alluvial plain in the NE sector of the island (col. pl. 2; fig. 2)<sup>154</sup>. This change in settlement patterns was accompanied by important cultural transformations, as well as the implementation of different social and economic strategies. These may include shifts in agricultural practices, such as the transition from the cultivation of small household plots to larger scale production, and herding practices, with grazing in the uplands replaced by grazing on the agricultural lands of the alluvial plains. Socially, gradual discrepancies in household wealth may have arisen due to differential access to resources and the ability to accumulate storage. The nucleation in the coastal settlement of the “Serraglio” in EBA 3 suggests that an emerging elite had an active interest in engaging in broader maritime trade networks. The appearance of a proto-urban regional center at the “Serraglio” is part of a wider and well known phenomenon characterizing settlement patterns and cultural choices in the E Aegean and W Anatolian region during the final stages of the EBA 2 and the first half of the EBA 3: the so-called Anatolian Trade Network period<sup>155</sup>.

The changes in settlement and subsistence strategies during the EBA 3 were accompanied by important developments in socio-cultural practices, as is shown by the introduction of a new set of tableware pottery vessels, including tankards, *depata*, shallow bowls, and carinated bowls, which were built for the first time using a combination of coils and wheel technology<sup>156</sup>. The appearance of these innovations did not replace the Local Tradition

---

<sup>153</sup> Morricone 1967, p. 306; Marketou 1990b, pp. 43-44; Marketou 2004, pp. 25-27; Vitale 2013; Vitale *et al.* 2017, pp. 236, 277.

<sup>154</sup> See Vitale *et al.* 2017, pp. 236-238, 277.

<sup>155</sup> Vitale *et al.* 2017, pp. 236-238, 277; Şahoğlu 2005a; Şahoğlu 2005b.

<sup>156</sup> Marketou 1990b, p. 41, figs. 1-2; Marketou 2004, pp. 25-27, fig. 8:γ-στ, κ.

features elaborated on Kos during the phases between the FN and the EBA 2. On the contrary, these new elements were easily incorporated into Koan Local Tradition potting practices, as both streams had a common cultural origin based in the E Aegean-W coastal Anatolian region.

Information on the MBA period (Phase II; Tab. 4) is overall scanty. Two aspects emerge from the available data. The first one is the decreased importance of trade and cultural exchanges between Kos and other sites in the E Aegean after the end of the so-called Anatolian Trade Network System, which can be dated to the EBA 3B (Sub-Phase I:2 at the “Serraglio”; Tab. 4). Moreover, it seems clear that the Koan material culture during the MBA is characterized by a strong continuity with previous periods. For example, the ceramic classes of the Koan Local Tradition continued to play a key role. On the other hand, although not absent, imports from the W Aegean do not seem to have had a significant impact on Koan MBA material culture, representing less than 1.0% of the overall ceramic assemblage<sup>157</sup>.

During the MBA to LBA transition, this picture begins to gradually change. LBA IA Early (Sub-Phase III:1.a; Tab. 4) is typified by the appearance of Koan Entangled pottery classes (fig. 9:a-b, d-i; pl. 3:a-b, d-i) as well as by an increase in the presence of Minoan imports and the beginning of the local production of MiUF conical cups (fig. 29:f; pl. 24:f). These elements mark a sudden shift in the quantity and quality of the contacts between Kos and the W Aegean, although Local Tradition features remain prominent<sup>158</sup>.

The following LBA IA Mature (Sub-Phase III:1.b; Tab. 4) is characterized by a general reorganization of the “Serraglio” after a severe earthquake<sup>159</sup>. During this period, the site experiences a rich phase, taking advantage of its favorable position on one of the main maritime trade routes between W Anatolia and the Greek mainland, through Crete and the Cyclades. As far as pottery is concerned, the LBA IA Mature period is characterized by six significant features<sup>160</sup>. First, PF cups die out. Second, PMC-C pottery reaches its production peak (fig. 10:b, fig. 11:a-b, figs. 12-28; pl. 4:b, pl. 5:a-b, pls. 6-23). Third, locally produced MiUF conical cups become extremely popular (fig. 29:f; pl. 24:f). Fourth, in addition to conical cups, the local manufacture of Minoan type vessels increases. The LBA I Mature repertoire includes a limited but interesting number of shapes, such as MiUF spouted semi-globular cups and Minoan Unpainted Medium-Coarse or Minoan Unpainted Coarse stirrup jars (fig. 25:e; pl. 20:e), braziers, fireboxes, and flat-bottomed tripod cooking pots<sup>161</sup>. Fifth, there is a growth of Minoan and Minoanizing ceramic imports from Crete and other Aegean islands<sup>162</sup>. Sixth, the first Mycenaean imports reach Kos, mostly coming from the Argolid<sup>163</sup>. Besides ceramics, direct and/or indirect contacts between the “Serraglio” and Cretan culture are

<sup>157</sup> Vitale 2016a, p. 77 (with previous bibliography).

<sup>158</sup> Vitale 2016a, p. 77, fig. 5:1.c-e (with previous bibliography).

<sup>159</sup> Marketou 1990a, p. 103.

<sup>160</sup> Vitale 2016a, pp. 77-81 (with previous bibliography).

<sup>161</sup> Morricone 1975, pp. 281-285, figs. 243, 245-246, 248-249; Vitale - Morrison 2017, p. 79, fig. 8:5d-e.

<sup>162</sup> Morricone 1975, pp. 326-327, figs. 314-316; Vitale 2016a, p. 80, fig. 5:1.k.

<sup>163</sup> Morricone 1975, p. 333, fig. 322:d-e; Vitale 2016a, p. 80, fig. 5:1.l.

demonstrated by the occurrence of a *polythyron* and the presence of discoid loomweights with a grooved top<sup>164</sup>. According to Marketou, however, the polythyron was rather provincial in style and was constructed according to local building techniques<sup>165</sup>.

The most important point emerging from this brief analysis is that LBA IA Mature represents the peak of the process of interaction between Koan and Minoan cultural elements at the “Serraglio”. This is indicated by the large scale local production of MiUF conical cups and by the overall influence exerted by features of Cretan origin. On the other hand, the excavations carried out by Morricone and Marketou, as well as the results of SELAP’s research, demonstrate that Local Tradition elements remain the prominent component of the Koan material assemblage<sup>166</sup>. When pottery is considered, this conclusion is supported by the fact that all five classes manufactured on Kos since the FN or the EBA 1-2 phases, including MR, MD, Unpainted Pale Fine, Unpainted Pale Medium-Coarse, and Unpainted Pale Coarse pottery, were still in use during LBA IA Mature, despite the occurrence of obvious diachronic changes (Tab. 2; fig. 11:c, fig. 29:a-b; pl. 5:c, pl. 24:a-b).

Overall, Koan cultural and socio-political developments from the FN to the LBA IA Mature period were characterized by the alternation between phases of acceleration and stability, with acceleration being initiated during dynamic periods of engagement with neighboring areas. The phases of stability include the periods from the FN to the EBA 2, as well as the MBA. The phases of acceleration include the EBA 3, when NE Kos participated in the so-called Anatolian Trade Network System, as well as the whole LBA IA, when NE Kos was engaged in dynamic cultural and ideological exchanges with Minoan culture.

This alternation of phases of acceleration and stability may be thoroughly understood through the lenses of social agency and cultural entanglement<sup>167</sup>. The episodes of acceleration may be linked to the appearance of local elites aiming to engage in commercial and cultural relationships with neighboring areas. In order to implement these connections and enhance their leadership in the social and political arena of the “Serraglio”, the Koan elites undertook complex processes of redefinition and reshaping of local practices, styles, and identity.

It is in the framework of this wider cultural context that the appearance at the “Serraglio” of the pottery classes of the Entangled Tradition can be thoroughly explained and understood. In the moment of the most dynamic expansion of the Cretan palaces, the manufacture of PF and PMC-C pottery reflects the intention of the Koan elites to participate in the “new environment” determined by the economic and cultural leadership of Neopalatial Crete<sup>168</sup>. The exportation of local products through PMC-C vessels may be interpreted as an effective trade strategy to compete along the maritime trade routes of the Aegean, as is proven by the

---

<sup>164</sup> Vitale 2016a, pp. 81-82 (with previous bibliography).

<sup>165</sup> Marketou 2009, p. 91.

<sup>166</sup> Vitale 2016a, pp. 77-81 (with previous bibliography).

<sup>167</sup> Giddens 1984; Hodder 2012 (both with previous bibliography).

<sup>168</sup> For the definition of the term “new environment”, see Davis - Groggianni 2008.

distribution of this class outside the “Serraglio” (col. pl. 1). On the other hand, PF cups and those PMC-C vessels that were manufactured for local consumption on Kos may have facilitated the performance of Minoan-type cultural practices in the local socio-political arena. Through these practices, Koan elites could display their ability to participate in the new Minoanizing environment characterizing the Aegean at this time. The introduction at the “Serraglio” of other features of Cretan origin, such as Minoan style architecture, Minoan pottery imports, locally produced Minoan type unpainted ceramic classes, and Minoan type discoid loomweights, would contribute to the same scope.

The dynamics that originated the spread of Minoan culture from Crete to the wider Aegean region have been explained through different lenses, which include migration, acculturation, colonization, colonialism without colonies, and more recently mobility<sup>169</sup>. In the specific Koan case, mobility provides the most satisfactory framework<sup>170</sup>. Considering the strategic location of Kos on the maritime trade routes between the Aegean and Anatolia, recurrent visits of small groups of different peoples, as well as the seasonal or semi-permanent presence of limited communities of travelers and merchants appear to be highly likely. These diverse groups of people may have been the vehicles of Minoan material culture and may have played an active role in the concrete exchange of goods with the Koan local elites and their wider community.

The cultural environment described in the previous paragraphs did not last for long. After the Santorini eruption in Late Cycladic IA Mature (Tab. 5), the rapidly changing “international scenario” resulted in a sudden impasse of the processes of cultural fusion between local and Minoan traditions, which had characterized the “Serraglio” in the LBA IA period. During LBA IB, the typological and decorative repertoire of the PMC-C class remained almost unchanged from the previous sub-phase and none of the innovations developed on Crete were adopted, despite the occurrence of Late Minoan IB imports at the “Serraglio”<sup>171</sup>.

This situation of standstill did not result in the sudden end of the manufacture of Koan PMC-C pottery. In fact, this class continued to be produced until LBA IIIA1, when the latest specimens reached Rhodes and possibly Keos<sup>172</sup>. Meanwhile, the constant increase of elements of Greek mainland origin at the “Serraglio” set the route for a new and intense phase of acceleration in the cultural relationships between this settlement and other regions of the Aegean Sea, leading the way for the gradual construction of a Mycenaean identity on the island of Kos<sup>173</sup>.

<sup>169</sup> Branigan 1981; Wiener 1990; Melas 1988a; Melas 1988b; Melas 1991; Knappett - Nikolakopoulou 2008. See also Mountjoy 1998, pp. 33-34; Broodbank 2004; Davis - Groggianni 2008; Nieimeier 2009.

<sup>170</sup> For recent critical reviews of the other abovementioned frameworks, see Vitale 2016a, pp. 86-88; Vitale *et al.* 2017, pp. 278-279; Mokrišová 2016, pp. 44-47 (all with previous bibliography).

<sup>171</sup> Vitale 2016a, p. 82 (with previous bibliography).

<sup>172</sup> Monaco 1941, pp. 156 (no. 26), 158 (no. 4), fig. 115, fig. 119:4; Papazoglou-Manioudaki 1990, pp. 154-155, nos. 41-47, pl. 67:α; Davis *et al.* 1983, p. 363, no. 3, fig. 2, pl. 70:e; Cummer - Schofield 1984, p. 135.

<sup>173</sup> Vitale 2016a, pp. 84-86 (with previous bibliography).

## Bibliografia<sup>174</sup>

Benzi 1992

Benzi M., *Rodi e la civiltà micenea*, in “*Incunabula Graeca*” 94, Roma 1992.

Benzi 1993

Benzi M., “The Late Bronze Age Pottery from Vathy Cave, Kalymnos”, in *Wace and Blegen: Pottery as Evidence for Trade in the Aegean Bronze Age 1939-1989, Proceedings of the International Conference held at the American School of Classical Studies, Athens, Dec. 2-3, 1989*, a cura di C. Zerner - P. Zerner - J. Winder, Amsterdam 1993, pp. 275-288.

Benzi *et al.* 2000

Benzi M. - Belli P. - Graziadio G. - Momigliano N. - Morabito I., “Rapporto sul progetto B.A.C.I. (Bronze Age Carian Iasos): attività 1999/2000”, in “*SMEA*” 42, 2000, pp. 340-345.

Betancourt 1985

Betancourt P., *The History of Minoan Pottery*, Princeton 1985.

Blegen - Caskey - Rawson 1953

Blegen C.W. - Caskey J.L. - Rawson M., *Troy, III, The Sixth Settlement*, Princeton 1953.

Branigan 1981

Branigan K., “Minoan Colonialism”, in “*BSA*” 76, 1981, pp. 23-33.

---

<sup>174</sup> Ove possibile, i nomi di riviste e serie monografiche sono abbreviati secondo le norme bibliografiche dell'*American Journal of Archaeology*: <https://www.ajaonline.org/submissions/journals-series>.

Broodbank 2004

Broodbank C., "Minoanisation", in *"Proceedings of the Cambridge Philological Society"* 50, 2004, pp. 46-91.

Cadogan *et al.* 2001

Cadogan G. - Herscher E. - Russell P. - Manning S., "Maroni-Vournes: A Long White Slip Sequence and its Chronology", in *The White Slip Ware of Late Bronze Age Cyprus, Proceedings of an International Conference Organized by the Anastasios G. Leventis Foundation, Nicosia in Honour of Malcolm Wiener, Nicosia, 29<sup>th</sup> -30<sup>th</sup> October 1998*, a cura di V. Karageorghis, Vienna 2001, pp. 75-88.

Choleva 2012

Choleva M., "The First Wheelmade Pottery at Lerna. Wheel-Thrown or Wheel-Fashioned?", in *"Hesperia"* 81, 2012, pp. 343-381.

Coldstream - Huxley 1972

Coldstream J.N. - Huxley G.L., *Kythera. Excavations and Studies; Conducted by the University of Pennsylvania Museum and the British School at Athens*, London 1972.

Cummer - Schofield 1984

Cummer W. - Schofield E., *Keos III. Ayia Irini: House A*, Mainz 1984.

Davis 1982

Davis J.L., "The Earliest Minoans in the South-East Aegean", in *"AS"* 32, 1982, pp. 33-41.

Davis 2015

Davis J.L., "A First Dodecanesian Import in the Peloponnese", in *Ein Minoer im Exil. Festschrift für Wolf-Dietrich Niemeier*, a cura di D. Panagiotopoulos - I. Kaiser - O. Kouka, Bonn 2015, pp. 51-57.

Davis *et al.* 1983

Davis J.L. - Schofield E. - Torrence R. - Williams D., “Keos and the Earliest Aegean. The Cretan Connection”, in “*Hesperia*” 51, 1983, pp. 361-366.

Davis - Gorogianni 2008

Davis J.L. - Gorogianni E., “Potsherds from the Edge: the Construction of Identities and the Limits of Minoanized Areas of the Aegean”, in *Horizon Ορίζων: A Colloquium on the Prehistory of the Cyclades*, a cura di N. Brodie - J. Doole - G. Gavalas - C. Renfrew, Cambridge 2008, pp. 379-388.

Doumas - Constantinides 1990

Doumas C.G. - Constantinides A.G., “Pithoi, Size and Symbols: Some Preliminary Considerations on the Akrotiri Evidence”, in *Thera and the Aegean World, III:1, Proceedings of the 3<sup>rd</sup> International Scientific Congress, Santorini*, a cura di C.G. Doumas - J.A. Sakellarakis - P. Warren, London 1990, pp. 41-44.

Evely 2000

Evely R.D.G., *Minoan Crafts: Tools and Techniques. An Introduction*, in “*SIMA*” 92, Jonsered 2000.

Furumark 1941

Furumark A., *Mycenaean Pottery, I, Analysis and Classification*, Stockholm 1941.

Furumark 1950

Furumark A., “The Settlement at Ialysos and Aegean History c. 1550-1400 B.C.”, in “*OpArch*” 6, 1950, pp. 150-271.

Georgiou 1980

Georgiou H., “Minoan Fireboxes: A Study of Form and Function”, in “*SMEA*” 21, 1980, pp. 123-192.

Giddens 1984

Giddens A., *The Constitution of Society: Outline of the Theory of Structuration*, Cambridge 1984.

Girella - Gorogianni - Pavúk 2016

Girella L. - Gorogianni E. - Pavúk P., "Introduction: Methodological Considerations", in *Beyond Thalassocracies. Understanding Processes of Minoanisation and Mycenaeanisation in the Aegean*, a cura di E. Gorogianni - P. Pavúk - L. Girella, Oxbow Books, Oxford 2016, pp. 1-14.

Günel 1999

Günel S., "Vorbericht über die mittel- und spätbronzezeitliche Keramik vom Liman Tepe", in "*IstMitt*" 49, 1999, pp. 41-82.

Heidenreich 1936

Heidenreich R., "Vorgeschichtliches in der Stadt Samos. Die Funde", in "*AM*" 60-61, 1936, pp. 125-200.

Hodder 2012

Hodder I., *Entangled: An Archaeology of the Relationships Between Humans and Things*, Malden 2012.

Hope Simpson - Lazenby 1970

Hope Simpson R. - Lazenby J.F., "Notes from the Dodecanese II", in "*BSA*" 65, 1970, pp. 47-76.

Huber *et al.* c.d.s.

Huber J. - Kordatzaki G. - Kiriati E. - Mommsen H., "Consuming Local and Imported Pots at Kakovatos: Regional and Interregional Connections", in *(Social) Place and Space in Early*

*Mycenaean Greece. Proceedings of the International Conference, October 5th-8th 2016 in Athens*, a cura di B. Eder - M. Zavadil, Vienna, c.d.s.

Jeffra 2011

Jeffra C., *The Archaeological Study of Innovation: An Experimental Approach to the Pottery Wheel in Bronze Age Crete and Cyprus*, Tesi di dottorato, University of Exeter 2011.

Knappett - Cunningham 2003

Knappett C. - Cunningham T.F., “Three Neopalatial Deposits from Palaikastro, East Crete”, in “*BSA*” 98, 2003, pp. 107-187.

Knappett - Nikolakopoulou 2008

Knappett C. - Nikolakopoulou I., “Colonialism without Colonies? A Bronze Age Case Study from Akrotiri, Thera”, in “*Hesperia*” 77, 2008, pp. 1-42.

Laviosa 1978

Laviosa C., “Les fouilles de Iasos”, in *Proceedings of the Xth International Congress of Classical Archaeology, Ankara-Izmir 1973*, Ankara 1978, pp. 1093-1099.

Laviosa 1984

Laviosa C., “The Minoan Thalassocracy, Iasos and the Carian Coast”, in *The Minoan Thalassocracy: Myth and Reality, Proceedings of the Third International Symposium at the Swedish Institute in Athens*, a cura di R. Hägg - N. Marinatos, Göteborg 1984, pp. 183-185.

Levi 1970

Levi D., “Iasos, le campagne di scavo 1969-1970”, in “*ASAtene*” 47-48, 1970, pp. 461-532.

Levi 1976

Levi D., *Festòs e la civiltà minoica, I*, in “*Incunabula Graeca*” 60, Roma 1976.

Levi - Carinci 1988

Levi D. - Carinci F., *Festòs e la civiltà minoica*, II:2, in “*Incunabula Graeca*” 77:2, Roma 1988.

Lloyd - Mellaart 1965

Lloyd S. - Mellaart J., *Beycesultan. Middle Bronze Age Architecture and Pottery*, London 1965.

MacGillivray *et al.* 1991

MacGillivray J.A. - Sackett L.H. - Driessen J. - Farnoux A. - Smyth D., “Excavations at Palaikastro, 1990”, in “*BSA*” 86, 1991, pp. 121-147.

Maiuri 1928

Maiuri A., “Esplorazione di grotte con avanzi preistorici nell’isola di Calimno”, in “*Clara Rhodos*” 1, 1928, pp. 104-117.

Marketou 1988

Marketou T., “New Evidence on the Topography and Site History of Prehistoric Ialysos”, in *Archaeology in the Dodecanese*, a cura di S. Dietz - I. Papachristodoulou, Copenhagen 1988, pp. 27-38.

Marketou 1990a

Marketou T., “Santorini tephra from Rhodes and Kos. Some Chronological Remarks Based on the Stratigraphy”, in *Thera and the Aegean World, III:3, Proceedings of the 3<sup>rd</sup> International Scientific Congress, Santorini*, a cura di C.G. Doumas - J.A. Sakellarakis - P. Warren, London 1990, pp. 100-113.

## Marketou 1990b

Marketou T., “Asomatos and Serraglio. Early Bronze Age Production and Interconnections”, in “*Hydra*” 7, 1990, pp. 40-49.

## Marketou 1998

Marketou T., “Excavations at Trianda (Ialysos) on Rhodes: New Evidence for the Late Bronze Age I Period”, in “*RendLinc*” 9, 1998, pp. 39-82.

## Marketou 2004

Marketou T., “Η Πρώιμη Εποχή του Χαλκού στην Κω”, in *Χάρις Χαίρε: Μελέτες στη μνήμη της Χάρης Κάντζια*, a cura di A. Giannikouri - I. Zerboudaki - I. Kollias - I. Papachristodoulou, Athens 2004, pp. 17-37.

## Marketou 2009

Marketou T., “Ialysos and Its Neighbouring Areas in the MBA and LB I Periods: A Chance for Peace”, in *The Minoans in the Central, Eastern and Northern Aegean: New Evidence. Acts of a Minoan Seminar, 22-23 January 2005*, in collaboration with the Danish Institute at Athens and the German Archaeological Institute at Athens, a cura di C.F. Macdonald - E. Hallager - W-D. Niemeier, Athens 2009, pp. 73-96.

## Marketou 2010

Marketou T., “Dodecanese”, in *The Oxford Handbook of the Bronze Age Aegean (ca. 3000-1000 BC)*, a cura di E.H. Cline, Oxford 2010, pp. 762-774.

## Marthari 1984

Marthari M., “The Destruction of the Town at Akrotiri, Thera, at the Beginning of LC I: Definition and Chronology”, in *The Prehistoric Cyclades (Contributions to a Workshop on Cycladic Chronology. In Memoriam: John Langdon Caskey, 1908-1981)*, a cura di J.A. MacGillivray - R.L.N. Barber, Edinburgh 1984, pp. 119-133.

## Marthari 1987

Marthari M., "The Local Pottery Wares with Painted Decoration from the Volcanic Destruction Level of Akrotiri", in "AA", 1987, pp. 359-380.

## Marthari 1990

Marthari M., "The Chronology of the Last Phases of Occupation at Akrotiri in the Light of the Evidence from the West House Pottery Groups", in *Thera and the Aegean World, III:3, Proceedings of the 3<sup>rd</sup> International Scientific Congress, Santorini*, a cura di C.G. Dumas - J.A. Sakellarakis - P. Warren, London 1990, pp. 57-70.

## Marthari - Marketou - Jones 1990

Marthari M. - Marketou T. - Jones R., "LBI Ceramic Connections between Thera and Kos", in *Thera and the Aegean World, III:1, Proceedings of the 3<sup>rd</sup> International Scientific Congress, Santorini*, a cura di C.G. Dumas - J.A. Sakellarakis - P. Warren, London 1990, pp. 171-184.

## Mee 1982

Mee C., *Rhodes in the Bronze Age*, Warminster 1982.

## Melas 1988a

Melas E.M., "The Dodecanese and Western Anatolia in Prehistory: Interrelationship, Ethnicity and Geography", in "AS" 38, 1988, pp. 109-120.

## Melas 1988b

Melas E.M., "Minoans Overseas: Alternative Models of Interpretation", in *Aegaeum 2. Annales d'archéologie égéenne de l'Université de Liège*, a cura di R. Laffineur, Aegaeum 2, Liège 1988, pp. 47-70.

## Melas 1991

Melas E.M., "Acculturation and Social Mobility in the Minoan World", in *Thalassa. L'Egée préhistorique et la mer. Actes de la troisième rencontre égéenne internationale de l'Université*

de Liège, *Station de recherches sous-marines et océanographiques (StaReSo), Calvi, Corse, 23-25 avril 1990*, a cura di R. Laffineur - L. Basch, *Aegaeum* 7, Liège 1991, pp. 169-188.

Mellaart - Murray 1995

Mellaart J. - Murray A., *Beycesultan Volume 3 Part 2: Late Bronze Age and Phrygian Pottery and Middle and Late Bronze Age Small Objects*, Oxford 1995.

Mellink 1978

Mellink M., “Archaeology in Asia Minor”, in “*AJA*” 82, 1978, pp. 315-338.

Milojčić 1961

Milojčić V., *Samos I. Die prähistorische Siedlung unter dem Heraion. Grabung 1953 und 1955*, Bonn 1961.

Mokrišová 2016

Mokrišová J. 2016, “Minoanisation, Mycenaeanisation, and Mobility: A View from Southwest Anatolia”, in *Beyond Thalassocracies. Understanding Processes of Minoanisation and Mycenaeanisation in the Aegean*, a cura di E. Gorogianni - P. Pavúk - L. Girella, Oxbow Books, Oxford 2016, pp. 43-57.

Momigliano 2005

Momigliano N., “Iasos and the Aegean Islands before the Santorini Eruption”, in *Emporia. Aegean in the Central and Eastern Mediterranean, Proceedings of the 10th International Aegean Conference/10e Rencontre égéenne internationale. Athens, Italian School of Archaeology, 14-18 April 2004*, a cura di R. Laffineur - E. Greco, I, Liège/Austin 2005, pp. 217-225.

Momigliano 2007

Momigliano N., “Kamares or Not Kamares? This Is [Not] the Question. Southeast Aegean Light-on-Dark (LOD) and Dark-on-Light (DOL) Pottery: Synchronisms, Production Centers, and Distribution”, in *Proceedings of the International Workshop Held at Salzburg, October*

*31st - November 2nd, 2004*, a cura di F. Florens - W. Gauss - R. Smetana, Österreichische Akademie der Wissenschaften Denkschriften der Gesamtakademie 42, Vienna 2007, pp. 257-272.

Momigliano 2012

Momigliano N., *Bronze Age Carian Iasos: Structures and Finds from the Area of the Roman Agora (c. 3000-1500 BC)*, Roma 2012.

Momigliano *et al.* 2001

Momigliano N. - Morabito I. - Graziadio G. - Belli P. - Benzi M.-Couch S., "Report on the 2001 study season of the Bronze Age levels at Iasos (SW Turkey)", in "*SMEA*" 43, 2001, pp. 269-274.

Monaco 1941

Monaco G., "Scavi nella zona micenea di Ialiso 1935-1936", in "*Clara Rhodos*" 10, 1941, pp. 41-183.

Moody *et al.* 2003

Moody J. - Robinson H. - Francis J. - Nixon L. - Wilson L., "Ceramic Fabric Analysis and Survey Archaeology: The Sphakia Survey", in "*BSA*" 98, 2003, pp. 37-105.

Morricone 1967

Morricone L., "Eleona e Langada: Sepolcreti della tarda Età del Bronzo a Coò", in "*ASAtene*" 43-44, 1967, pp. 5-311.

Morricone 1975

Morricone L., "Coò- Scavi e scoperte nel 'Serraglio' e in località minori (1935-1943)", in "*ASAtene*" 50-51, 1975, pp. 139-396.

Morricone 1978

Morricone L., “Sepolture della prima età del ferro a Coò”, in “*ASAtene*” 56, 1978, pp. 9-427.

Mountjoy 1998

Mountjoy P.A., “The East Aegean-West Anatolian Interface in the Late Bronze Age: Mycenaeans and the Kingdom of Ahhiyawa”, in “*AS*” 48, 1998, pp. 33-67.

Mountjoy 1999

Mountjoy P.A., *Regional Mycenaean Decorated Pottery*, Rahden/Westf 1999.

Munsell 1975

Munsell Color Company, *Munsell Soil Color Charts*, Baltimore 1975.

Munsell 2009

Munsell Color Company, *Munsell Soil Color Charts*, Baltimore 2009.

Niemeier 2009

Niemeier W-D., “‘Minoanisation’ versus ‘Minoan Thalassocracy’. An Introduction”, in *The Minoans in the Central, Eastern and Northern Aegean: New Evidence. Acts of a Minoan Seminar, 22-23 January 2005, in Collaboration with the Danish Institute at Athens and the German Archaeological Institute at Athens*, a cura di C.F. Macdonald - E. Hallager - W-D. Niemeier, Athens 2009, pp. 11-29.

Niemeier - Niemeier 1997

Niemeier B. - Niemeier W.-D., “Milet 1994-1995. Projekt Minoisch-mykenisches bis protogeometrisches Milet: Zielsetzung und Grabungen auf dem Stadionhügel und am Athenatempel”, in “*AA*”, 1997, pp. 189-248.

Papagiannopoulou 1985

Papagiannopoulou A.G., “Were the S.E. Aegean Islands Deserted in the MBA?”, in “*AS*” 35, 1985, pp. 85-92.

Papagiannopoulou 1991

Papagiannopoulou A.G., *The Influence of Middle Minoan Pottery on the Cyclades*, in “*SIMA, Pocketbook*” 96, Göteborg 1991.

Papazoglou-Manioudaki 1990

Papazoglou-Manioudaki L., “Ανασκαφή του Μινωικού οικισμού στα Τριάντα της Ρόδου”, in “*ArchDelt*” 37, 1982, pp. 139-187.

Raymond *et al.* 2016

Raymond A. - Kaiser I. - Rizzotto L.-C. - Zurbach J., “Discerning Acculturation at Miletus: Minoanisation and Mycenaeanisation”, in *Beyond Thalassocracies. Understanding Processes of Minoanisation and Mycenaeanisation in the Aegean*, a cura di E. Gorogianni - P. Pavúk - L. Girella, Oxbow Books, Oxford 2016, pp. 58-74.

Renfrew 1978

Renfrew A.C., “Phylakopi and the Late Bronze I Period in the Cyclades”, in *Thera and the Aegean World I. Papers Presented at the Second International Scientific Congress, Santorini, Greece, August 1978*, a cura di Ch. Doumas, London 1978, pp. 403-421.

Roux - Courty 1998

Roux V. - Courty M.A., “Identification of Wheel-fashioning Methods: Technological Analysis of 4th-3rd Millennium BC Oriental Ceramics”, in “*JAS*” 25, 1998, pp. 747-763.

Rutter 1977

Rutter J.B., “Late Helladic IIIC Pottery and Some Historical Implications”, in *Symposium on the Dark Ages in Greece*, a cura di E.N. Davis, New York 1977, pp. 1-20.

Rutter 1978

Rutter J.B., “A Plea for the Abandonment of the Term Submycenaean”, in “*TUAS*” 3, 1978, pp. 58-65.

Rutter 1993

Rutter J.B., “A Group of Late Helladic IIA Pottery from Tsoungiza”, in “*Hesperia*” 62, 1993, pp. 53-93.

Rutter 1995

Rutter J.B., *Lerna. A Preclassical Site in the Argolid. The Pottery of Lerna IV, III*, Princeton 1995.

Rutter - Van de Moortel 2006

Rutter J.B. - Van de Moortel A., “Minoan Pottery from the Southern Area”, in *Kommos V: The Monumental Buildings at Kommos*, a cura di J.W. Shaw - M.C. Shaw, Princeton 2006, pp. 261-715.

Şahoğlu 2005a

Şahoğlu V., “Interregional Contacts Around the Aegean During the Early Bronze Age: New Evidence from the Izmir Region”, in “*Anadolu/Anatolia*” 27, 2005, pp. 97-120.

Şahoğlu 2005b

Şahoğlu V., “The Anatolian Trade Network and the Izmir Region During the Early Bronze Age”, in “*OJA*” 24, 2005, pp. 339-361.

Şahoğlu 2015

Şahoğlu V., “Çeşme-Bağlararası: A Western Anatolian Harbour Settlement at the Beginning of the Late Bronze Age”, in “*NOSTOI. Indigenous Culture, Migration and Integration in the*

*Aegean Islands and Western Anatolia during the Late Bronze and Early Iron Age*, a cura di N. Stampolidis - M. Çiğdem - K. Kopanias, Istanbul 2015, pp. 593-608.

Sakellarakis - Sapouna-Sakellarakis 1997

Sakellarakis J.A. - Sapouna-Sakellarakis E., *Archanes. Minoan Crete in a New Light*, Athens 1997.

Shepard 1957

Shepard A.O., *Ceramics for the Archaeologist*, Washington 1957.

Van de Moortel 2001

Van de Moortel A., "The Area Around the Kiln and the Pottery from the Kiln and the Kiln Dump", in *A LM IA Ceramic Kiln in South-Central Crete. Function and Pottery Production*, a cura di J. W. Shaw - A. Van de Moortel - P.M. Day - V. Kilikoglou, *Hesperia Supplement 30*, Princeton 2001, pp. 25-110.

Vitale 2006

Vitale S., "L'insediamento di 'Serraglio' durante il Tardo Bronzo. Riesame dei principali contesti portati alla luce da Luigi Morricone tra il 1935 e il 1946", in "*ASAtene*" 83, 2006, pp. 71-94.

Vitale 2007

Vitale S., "The Early Late Bronze Age Pottery from Italian Excavations at 'Serraglio', on Kos. A Reassessment of the Complete or almost Complete Local Vases with no Preserved Context", in "*AGOGÉ*" 3, 2007, pp. 43-63.

Vitale 2012a

Vitale S., "The Serraglio, Eleona, and Langada Archaeological Project (SELAP). Report on the Results of the 2009 and 2010 Study Seasons", in "*ASAtene*" 87, 2012, pp. 1233-1252.

## Vitale 2012b

Vitale S., “Dressing up the Dead. The Significance of Late Helladic IIIB Adornments from Eleona and Langada at Kos”, in *KOSMOS. Jewellery, Adornment and Textiles in the Aegean Bronze Age. Proceedings of the 13<sup>th</sup> International Aegean Conference/13<sup>e</sup> Rencontre égéenne internationale, University of Copenhagen, Danish National Research Foundation's Centre for Textile Research, 21-26 April 2010*, a cura di M.-L. Nosch - R. Laffineur, *Aegaeum* 33, Liège and Austin 2012, pp. 407-415.

## Vitale 2013

Vitale S., “The Asklepis Reconsidered: A Preliminary Report on the Chronology and Burial Practices of an Early Bronze Age 2 Cemetery on Kos”, in “*Aegean Archaeology*” 10, 2013, pp. 47-63.

## Vitale 2016a

Vitale S., “Cultural Entanglements on Kos during the Late Bronze Age: A Comparative Analysis of Minoanisation and Mycenaeanisation at the ‘Serraglio’, Eleona, and Langada”, in *Beyond Thalassocracies. Understanding Processes of Minoanisation and Mycenaeanisation in the Aegean*, a cura di E. Gorogianni - P. Pavúk - L. Girella, Oxbow Books, Oxford 2016, pp. 75-93.

## Vitale 2016b

Vitale S., “Oggetti d’ornamento, gioielli e altri reperti mobili dalle necropoli micenee di Eleona e Langada a Kos”, in *ΔΡΟΜΟΙ. Studi sul mondo antico offerti a Emanuele Greco dagli allievi della Scuola Archeologica Italiana di Atene*, a cura di F. Longo - R. Di Cesare - S. Privitera, Athens/Paestum 2016, pp. 257-276.

## Vitale 2017

Vitale S., “The Koan Ceramic Assemblage During the Late Bronze Age: Classification, Chronology, Typology, and Significance”, in *Το Αρχαιολογικό Έργο στα Νησιά του Αιγαίου. Διεθνές Επιστημονικό Συνέδριο. Ρόδος, 27 Νοεμβρίου - 1 Δεκεμβρίου 2013*, a cura di P. Triantafyllidis, Mitilini 2017, pp. 151-174.

## Vitale - Hancock Vitale 2010

Vitale S. - Hancock Vitale T., "The Minoan and Mycenaean Expansion in the Dodecanese. The Evidence from the 'Serraglio' on Kos and Its Theoretical Implications", in *Migration in Bronze and Early Iron Age Europe*, (*Prace Archeologiczne Studies* 63), a cura di K. Dziegielewski - M.S. Przybyła - A. Gawlik, Krakow 2010, pp. 63-85.

## Vitale - Hancock Vitale 2013

Vitale S. - Hancock Vitale T., "The Minoans in the Southeastern Aegean? The Evidence from the 'Serraglio' on Kos and Its Significance", in *Exchange Networks and Local Transformations. Interactions and Local Changes in Europe and the Mediterranean Between Bronze and Iron Age*, a cura di M.E. Alberti - S. Sabatini, Oxbow Books, Oxford 2013, pp. 44-59.

## Vitale - Trecarichi 2015

Vitale S. - Trecarichi A., "The Koan Traditions During the Mycenaean Age. A Contextual and Functional Analysis of Local Ceramics from the 'Serraglio', Eleona, and Langada", in "NOSTOI". *Indigenous Culture, Migration and Integration in the Aegean Islands and Western Anatolia during the Late Bronze and Early Iron Age*, a cura di N. Stampolidis - M. Çiğdem - K. Kopanias, Istanbul 2015, pp. 311-335.

## Vitale - Blackwell - McNamee 2017

Vitale S. - Blackwell N.G. - McNamee C., "Kos and Italy/Europe During the Mycenaean Period: Evidence for a Special Connection", in *ΕΣΠΕΡΟΣ/HESPEROS. The Aegean Seen from the West. (Proceedings of the 16<sup>th</sup> International Aegean Conference/16<sup>e</sup> Rencontre égéenne internationale, University of Ioannina, 18-21 May, 2016*, a cura di M. Fotiadis - R. Laffineur - Y. Lolos - A. Vlachopoulos, *Aegaeum* 41, Leuven/Liege 2017, pp. 243-252.

## Vitale et al. 2017

Vitale S. - Marketou T. - McNamee C. - Ballan E. - Blackwell N.G. - Iliopoulos I. - Mantello C. - Morrison J.E. - Moulo K. - Moutafi I. - Passa K.-S. - Vika E., "Serraglio, Eleona, and Langada Archaeological Project (SELAP): Report on the Results of the 2011 to 2015 Study Seasons", in "ASAtene" 94, 2017, pp. 225-285.

Vitale - Morrison 2017

Vitale S. - Morrison J.E., “Food and Cultural Identity on Kos during the Bronze Age: A Typological, Technological, and Macroscopic Fabric Analysis of the Storage and Cooking Pottery Assemblage”, in *From Cooking Vessels to Cultural Practices in the Late Bronze Age Aegean*, a cura di J.A. Hruby - D.A. Trusty, Oxbow Books, Oxford 2017, pp. 72-97.

Voigtländer 1986

Voigtländer V., “Umriss eines vor- und frühgeschichtlichen Zentrums an der karisch-ionischen Küste”, in “AA”, 1986, pp. 613-667.

Voigtländer 1988

Voigtländer V., “Akbuik-Teichiusa”, in “AA”, 1988, pp. 567-625.

Walberg 1992

Walberg G., *Middle Minoan III- A Time of Transition*, in “SIMA” 97, Jonsered 1992.

Warren 1991

Warren P., “A New Minoan Deposit from Knossos c.1600 B.C., and its Wider Relations”, in “BSA” 86, 1991, pp. 319-340.

Warren - Hankey 1989

Warren P. - Hankey V., *Aegean Bronze Age Chronology*, Bristol 1989.

Weickert 1940

Weickert K., “Grabungen in Milet 1938”, in *Bericht über den VI internationalen Kongress für Archäologie*, Berlin 1940, pp. 325-332.

Weickert 1957

Weickert K., "Die Ausgrabung beim Athena-Tempel in Milet 1955", in "*IstMitt*" 7, 1957, pp. 102-132.

Weickert *et al.* 1960

Weickert K. - Hommel P. - Kleiner G. - Halfwits A. - Schiering W., "Die Ausgrabung beim Athena-Tempel in Milet 1957- III. Der Westabschnitt", in "*IstMitt*" 9-10, 1960, pp. 1-96.

Wiener 1990

Wiener M.H., "The Isles of Crete? The Minoan Thalassocracy Revisited", in *Thera and the Aegean World, III:1, Proceedings of the 3<sup>rd</sup> International Scientific Congress, Santorini*, a cura di C.G. Doumas - J.A. Sakellarakis - P. Warren, London 1990, pp. 128-161.

## **Parte 2: Tabelle**

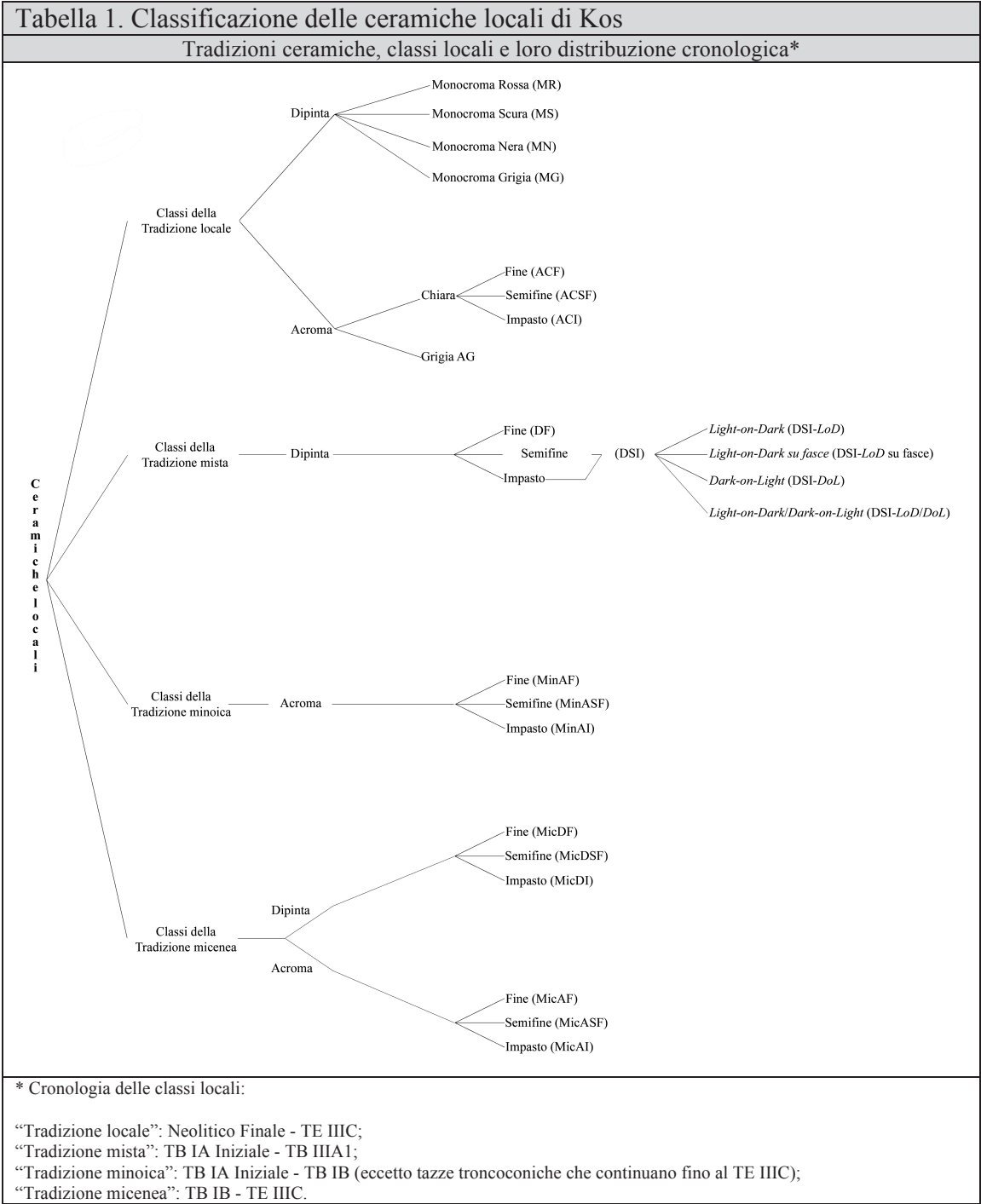


Tabella 2. Cronologia delle classi di “tradizione locale” a Kos			
Classi	Qualità dei Contesti		Distribuzione cronologica
	Depositi stratigraficamente chiusi	Depositi stilisticamente omogenei (se non specificato altrimenti)	
MG	TE IIIA2 (L. T. 38)	-	TE IIIA2
MR	AB 2 (A. Te. 3, 4); TB IA Maturo (S.: Vitale 2006, p. 76, n. 1211, fig. 4:c); TB II-TB IIIA1 (S.: Vitale 2006, p. 81, n. 1236, fig. 9:b); TE IIIA2 (L. T. 38); TE IIIB2 Tardo (L. T. 21).	AB 1-2 (A. In.);* TB IIIA1 (E. T. 3); TE IIIA2 (L. T. 16); TE IIIB (E. T. 19); TE IIIC Medio (L. T. 50).	AB 1-2 - TE IIIC
MS	AB 2 (A. Te. 1, 4); TB IB (S.: Vitale 2006, p. 79, nn. 1202, 1230, figg. 5, 7:a); TB II-TB IIIA1 (S.: Vitale 2006, pp. 81-82, nn. 1232, 1237, figg. 9:a, 11).	Neolitico Finale-AB 2 (A. In.);* TB IIIA1 (E. T. 3); TE IIIA2 (L. T. 54); TE IIIB (L. T. 30); TE IIIC Medio (L. Te. 45, 50).	Neolitico Finale-AB 2 - TE IIIC
MN	TE IIIC Iniziale (L. T. 25).	TE IIIB (L. Te. 30, 48, 49); TE IIIC Medio (L. T. 45).	TE IIIB - TE IIIC
ACF, ACSF, ACI	AB 2 (A. Te. 1, 2, 3, 4); TB IA Iniziale (S.: Vitale 2006, p. 76, n. 1223, fig. 3:c); TB II-TB IIIA1 (S.: Vitale 2006, p. 82, n. 1231, fig. 11); TE IIIA2 (L. T. 38); TE IIIB2 Tardo (L. T. 21); TE IIIC Iniziale (L. T. 57); TE IIIC Medio (S.: Morricone 1975, p. 163, fig. 31).	Neolitico Finale-AB 2 (A. In.);* TB IIIA1 (E. T. 3).	Neolitico Finale-AB 2 - TE IIIC
AG	TE IIIA2 (L. Te. 25, 38).	TE IIIA2 (L. Te. 16, 29, 56); TE IIIC Medio (L. T. 45).	TE IIIA2 - TE IIIC

Abbreviazioni: A.: Asklopis; E.: Eleona; L.: Langada; S.: “Serraglio”; T(e): Tomba(e); In.: Insediamento.  
\* Ceramiche non stratificate dagli scavi di Morricone o dalla ricognizione di Hope Simpson e Lazenby (Hope Simpson - Lazenby 1970).

Tabella 3. Analisi macroscopica degli impasti delle classi ceramiche prodotte a Kos dal Neolitico Finale al PG Finale (J. Morrison, in collaborazione con S. Vitale)

Gruppi e sottogruppi	Struttura (omogeneità morfologica degli inclusi)	Impasto				Descrizione generale
		Densità degli inclusi	Granulometria	Tipo	Durezza*	
A-I	buona	fine	impasto	non micaceo	media, dura	inclusi non plastici o "morbidi" <1 mm
A-II	buona	fine	impasto	micaceo**	media, dura	inclusi non plastici o "morbidi" <1 mm
A-III	buona-moderata	fine-media	impasto	non micaceo	media, dura	possibili grani meta-ignei <1-2 mm; inclusi morbidi bianchi/crema
A-IV	eterogenea	fine-media	impasto, impasto +	non micaceo	media, dura	possibili grani meta-ignei <1-2 mm; possibili vacuoli (paglia)
A-V	eterogenea	fine-media	impasto, impasto +	non micaceo	dura	possibili grani meta-ignei <1-2 mm; inclusi morbidi bianchi/crema; <i>spalling</i> calcareo (+); vacuoli (irregolari NON paglia); grani micacei (-)
A-VI	eterogenea-moderata	fine-media	impasto, impasto +	non micaceo	dura	possibili grani meta-ignei <1-2 mm; grani micacei (-); <i>spalling</i> calcareo (-)
A-VII	eterogenea-moderata	fine-media	impasto, impasto +	micaceo	dura	possibili grani meta-ignei <1-2 mm; grani micacei (+?); <i>spalling</i> calcareo (-)
A-VIII	buona	fine	impasto	micaceo	media, dura	inclusi rossi-bruni <1 mm; cotta in atmosfera riducente
B-I	eterogenea	media	impasto, impasto +	non micaceo	media	possibili grani meta-ignei <2 mm; inclusi crema morbidi <2 mm; vacuoli (paglia)
B-II	eterogenea	media	impasto, impasto +	micaceo (mica grigia)	media	possibili grani meta-ignei <2 mm; inclusi crema morbidi <8 mm; vacuoli sub-arrottondati (paglia)
B-III	eterogenea	media	impasto, impasto +	non micaceo	media	possibili grani meta-ignei <2 mm; vacuoli (paglia), 2-6 mm
B-IV	eterogenea	media	impasto, impasto +	non micaceo	dura	possibili grani meta-ignei <2 mm; inclusi morbidi bianchi/crema (-); vacuoli (paglia) (-)
B-V	eterogenea	media	impasto, impasto +	non micaceo	dura	possibili grani meta-ignei <2 mm; inclusi morbidi bianchi/crema (-)
B-VI	eterogenea	media	impasto, impasto +	non micaceo	dura	grani meta-ignei <2 mm; inclusi morbidi bianchi/crema (+)
B-VII	eterogenea	semi-impasto - impasto	impasto, impasto +	non micaceo	dura	grani meta-ignei <2 mm; grani micacei (-); inclusi morbidi bianchi/crema (-); può essere luccicante per la presenza di grani ignei
B-VIII	eterogenea	semi-impasto - impasto	impasto, impasto +	non micaceo	dura	possibili grani meta-ignei <2 mm; inclusi morbidi bianchi/crema (-); vacuoli (paglia) (-)
B-IX	buona-moderata	semi-impasto - impasto	impasto, impasto +	non micaceo (a volte micaceo)	dura	possibili grani meta-ignei <1-3 mm; inclusi chiari lucenti; inclusi neri lucenti; grani di mica argentea o dorata (+); inclusi morbidi bianchi/crema (-)
B-X	buona, eterogenea	semi-impasto - impasto	impasto, impasto +	non micaceo	dura	possibili grani meta-ignei <1-3 mm (+); inclusi morbidi bianchi/crema (-)
B-XI	eterogenea	semi-impasto - impasto	impasto, impasto +	non micaceo	dura	possibili grani meta-ignei <1-3 mm (+); inclusi morbidi bianchi/crema (+); grani di mica relativamente grandi
C-I	eterogenea	impasto	impasto +, ciottolo	non micaceo	dura	possibili grani meta-ignei <5 mm; vacuoli (paglia), 2-6 mm
C-II	eterogenea	impasto +	impasto +, ciottolo	non micaceo	dura	possibili grani meta-ignei <5 mm; vacuoli (paglia), 2-6 mm
C-III	eterogenea	impasto +	impasto, impasto +	non micaceo	dura	possibili grani meta-ignei <2 mm; mix di "pomici" bianche/grigie <2 mm; vacuoli (paglia), 2-6 mm
C-IV	moderata	impasto	impasto, impasto +	non micaceo	dura	possibili grani meta-ignei <2 mm; grani di mica dorata; inclusi chiari lucenti <2 mm (forse quarzo o feldspati); inclusi neri lucenti <1 mm (forse orneblenda); vacuoli (paglia), 2-6 mm
D-I	eterogenea	impasto	impasto, impasto +	non micaceo	morbida	possibili grani meta-ignei <2 mm; inclusi morbidi crema <6 mm; inclusi morbidi arancio, marroni <2 mm; vacuoli (paglia), 2-4 mm
D-II	eterogenea	impasto	impasto, impasto +	non micaceo	morbida	possibili grani meta-ignei <2 mm; inclusi morbidi bianchi, arancio, marroni <2 mm; vacuoli (paglia)
D-III	moderata	impasto +	impasto, impasto +	non micaceo	morbida	possibili grani meta-ignei <2 mm; inclusi morbidi bianchi, arancio, marroni <2 mm; vacuoli (paglia)

Abbreviazioni e leggenda: Meta-ignei = metamorfici-ignei.

Densità degli inclusi: Fine = 1%; Fine-Media = 2-5%; Media = 7-10%; Semi-impasto = 15-20%; Impasto = 25-30%; Impasto += 40-50% (Moody *et al.* 2003; Munsell 2009, pp. 9-10). Granulometria: Impasto = 0.5-1 mm; Impasto += 1-2 mm; Ciottolo = 4-64 mm.

\* In termini di durezza, un impasto è considerato: morbido quando si può facilmente graffiare con un'unghia ( $\leq 1.5$  nella scala di Moh); medio quando si può graffiare solo superficialmente con un'unghia ( $> 1.5$  e  $< 2.5$  nella scala di Moh); duro quando non si può graffiare con un'unghia ( $\geq 2.5$  nella scala di Moh).

\*\* Per essere definito micaceo un impasto deve avere una percentuale abbondante di mica, tale da creare un'impressione di superficie completamente luccicante. Quindi, un impasto può contenere grani di mica isolati, anche ben visibili a occhio nudo, senza per questo dovere essere definito come micaceo.

Tabella 4. La sequenza insediativa nel “Serraglio” durante l’Età del Bronzo*								
Fasi struttive	Cronologia proposta	Scavi di Morricone (Morricone 1975)	Scavi di Marketou (Marketou 1990a; 1990b; 2009; 2010)	Vitale (Vitale 2006; 2012a)	Vitale e Marketou (Vitale <i>et al.</i> 2017)		Sincronismi di massima	
					Fasi struttive	Cronologia proposta	Creta	Grecia continentale
-	-	-	Fasi struttive/ Cronologia proposta AB 3 Iniziale	-	I:1	AB 3 Iniziale	AM III	AE III
-	-	-	AB 3 Tardo	-	I:2	AB 3 Tardo		
-	-	-	MB	-	II	MB	MM IA-III A	ME I-III Iniziale
Insestimento antecedente alla Città I, Sottofase 1	MM III		TB IA Iniziale	TB IA Iniziale	III:1.a	TB IA Iniziale	MM III B o TM IA	ME III Tardo
Insestimento antecedente alla Città I, Sottofase 2			TB IA Maturo	TB IA Maturo	III:1.b	TB IA Maturo	TM IA o TM IA Finale**	
Città I	MB III-TB I o TB I		TB IB	TB IB	III:2	TB IB	TM IB	TE IIA
Città II, Sottofase 1	TB IIIA (= fine del periodo)			TB II-TB IIIA I	III:3.a	TB II-TB IIIA I	TM II-TM IIIA I	TE IIB-TE IIIA I
Città II, Sottofase 2				Sequenza	III:3.b	TB IIIA I	TM IIIA I	TE IIIA I
Città III, Sottofase 1	TB IIIA-TB IIIB TB IIIB finale (= fine del periodo)		TM II/TE IIB TM/TE IIC Tardo sconvolta	TE IIIA2-TE IIB1	III:4.a	TE IIIA2-TE IIB1	TM IIIA2-TM IIB1	TE IIIA2-TE IIB1
Città III, Sottofase 2				TE IIB1-TE IIB2 Tardo	III:4.b	TE IIB1-TE IIB2 Tardo	TM IIB1-TM IIB2	TE IIB1-TE IIB2 Tardo
Città IV	TB IIC			TE IIC Iniziale-Medio	III:5	TE IIC Iniziale-Medio	TM IIC Iniziale-Subminoico	TE IIC Iniziale-Tardo ***

\* Le sottofasi iniziali sono chiamate TB I, II e IIIA1 perché in questo periodo la cultura materiale di Kos è ancora fortemente connotata da caratteristiche locali. Dal TE IIIA2 in poi, la sequenza micenea standard può essere applicata anche a Kos (cf. Vitale 2007, p. 44).

\*\* Cf. Van de Moortel 2001; Rutter - Van de Moortel 2006.

\*\*\* Il periodo compreso tra il TE IIC Iniziale e Tardo corrisponde alle Fasi 1-5 della terminologia di Rutter (cf. Rutter 1977; Rutter 1978).

Tabella 5. II “Serraglio”, Trianda e Akrotiri durante le fasi iniziali del TB					
Kos, “Serraglio” (Vitale <i>et al.</i> 2017)		Rodi, Trianda (Furumark 1950; Marketou 1990a; Marketou 1998)		Akrotiri, Thera (Marthari 1984; Marthari 1987; Marthari 1990)	
Sottofasi struttive	Datazione	Fasi struttive	Datazione	Fasi struttive	Datazione
III:1.a	TB IA Iniziale (Distruzione sismica)	Trianda I	TB IA Iniziale (Distruzione sismica)	Periodo finale, Fase A	TC IA Iniziale (Distruzione sismica)
III:1.b	TB IA Maturo (Distruzione sismica)		TB IA Maturo (Distruzione sismica)		
III:2	TB IB	Trianda IIA	TM IB	-	-
III:3.a-b	TB II-TB IIIA1	Trianda IIB	TM II-TM IIIA1 iniziale	-	-

**Tabella 6. Cass. 0: quantificazione dei frammenti e delle tecniche decorative\***

	DSI										Altre classi			Totale	
	LoD		LoD su fasce		DoL		LoD-DoL		Subtotale		(Locali e importate)		Subtotale	Valori assoluti	%
	Cat.	Fuori cat.	Cat.	Fuori cat.	Cat.	Fuori cat.	Cat.	Fuori cat.	Cat.	Fuori cat.	Cat.	Fuori cat.			
Orli (Rims)	2	4	5	-	7	-	-	-	-	18	1	-	1	19	15.0%
Dischi (Discs)	-	-	-	-	-	-	-	-	-	-	-	-	-	-	0.0%
Anse (Handles)	4	7	1	-	1	-	-	-	-	13	-	1	14	11.0%	
Basi (Bases)	1	-	1	-	-	-	-	-	2	-	-	-	2	1.6%	
Beccucci (Spouts)	-	-	-	-	-	-	-	-	-	-	-	-	-	0.0%	
Pareti (Body sherds)	5 (+1)	47	-	29	-	3	-	4	88 (+1)	-	4	4	92 (+1)	72.4%	
Subtotale	12 (13)	58	7	29	8	3	-	4	121 (122)	1	5		127 (128)	Totale indice di componibilità: 0.8%	
Totale	70 (71)	36	11	4	4	4	4	6	95.2%	0.0%	4.8%				
%	55.1%	28.3%	8.7%	3.1%	3.1%	3.1%	3.1%	0.0%	4.8%						

\* I valori corrispondono al Numero Minimo di Individui per ciascuna delle classi e/o sottoclassi considerate. I valori in parentesi rappresentano i frammenti non combacianti e/o gli attacchi con fratture antiche appartenenti ai vasi già inclusi nel Numero Minimo di Individui.

Tabella 7. Cass. 0: quantificazione delle forme DSI in base alle diverse tecniche decorative						
Forme	LoD	LoD su fasce	DoL	LoD-DoL	Totale	
					Valori assoluti	%
Pitharaki	5	1	2	-	8	6.6%
Anfora	5	1	2	1	9	7.4%
Brocca	5	2	1	-	8	6.6%
Brocca con collo stretto	1	-	-	-	1	0.8%
Brocca con becco obliquo	3	-	2	-	5	4.1%
Oinochoe	-	-	1	-	1	0.8%
Olla con o senza beccuccio a ponte	-	2	-	-	2	1.7%
Tazza cilindrica	1	-	-	-	1	0.8%
Bacino	3	1	-	-	4	3.3%
Brocca NMI	9	1	-	-	10	8.3%
Giara/olla NMI	-	1	-	-	1	0.8%
Forma chiusa NMI	38	27	3	3	71	58.7%
Totale	70	36	11	4	121	
	57.9%	29.8%	9.1%	3.3%		

Tabella 8. Cass. 04: quantificazione dei frammenti e delle tecniche decorative*												
	DSI						Altre classi			Totale		
	LoD		LoD su fasce		DoL		LoD-DoL		(Locali e importate)		Subtotale	
	Cat.	Fuori cat.	Cat.	Fuori cat.	Cat.	Fuori cat.	Cat.	Fuori cat.	Cat.	Fuori cat.	Valori assoluti	%
Orli (Rims)	6	12	5	-	4	5	1	-	-	1	34	28.6%
Dischi (Discs)	-	-	-	-	-	-	-	-	-	-	-	0.0%
Anse (Handles)	1	11	-	1	1	2	1	-	-	1	18	15.1%
Basi (Bases)	1	-	-	-	1	-	-	-	-	-	2	1.7%
Beccucci (Spouts)	-	-	-	-	-	-	-	-	-	-	-	0.0%
Pareti (Body sherds)	4	23	1	17	-	6	1	7	-	6	65	54.6%
Subtotale	12	46	6	18	6	13	3	7	-	8	119	
											(126)	
Totale	58	(59)	24	(26)	19	(21)	10		8	(10)	Totale indice di componibilità: 5.6%	
%	48.7%		20.2%		16.0%		8.4%				6.7%	

\* I valori corrispondono al Numero Minimo di Individui per ciascuna delle classi e/o sottoclassi considerate. I valori in parentesi rappresentano i frammenti non combacianti e/o gli attacchi con fratture antiche appartenenti ai vasi già inclusi nel Numero Minimo di Individui.

Tabella 9. Cass. 04: quantificazione delle forme DSI in base alle diverse tecniche decorative						
Forme	LoD	LoD su fasce	DoL	LoD-DoL	Totale	
					Valori assoluti	%
Pitharaki	4	2	5	2	13	11.7%
Anfora	7	-	-	-	7	6.3%
Brocca	3	1	-	-	4	3.6%
Brocca con collo stretto	1	-	1	-	2	1.8%
Brocca con becco obliquo e alto collo	-	1	-	-	1	0.9%
Brocca con becco obliquo	-	1	-	1	2	1.8%
Oinochoe	2	-	3	1	6	5.4%
Olla con o senza beccuccio a ponte	17	3	5	-	25	22.5%
Brocca NMI	8	2	3	-	13	11.7%
Forma chiusa NMI	16	14	2	6	38	34.2%
Totale	58	24	19	10	111	
	52.3%	21.6%	17.1%	9.0%		

Tabella 10. Cass. 15: quantificazione dei frammenti e delle tecniche decorative*																
	DSI												Altre classi		Totale	
	LoD		LoD su fasce		DoL		LoD-DoL		Subtotale		(Solo locali)		Subtotale		Valori assoluti	%
	Cat.	Fuori cat.	Cat.	Fuori cat.	Cat.	Fuori cat.	Cat.	Fuori cat.	Cat.	Fuori cat.	Cat.	Fuori cat.	Cat.	Fuori cat.		
Orli (Rims)	2	1	1	-	1	-	-	-	5	-	1	1	1	6	26.1%	
Dischi (Discs)	-	-	-	-	2	-	-	-	2	1	-	1	3	13.0%		
Anse (Handles)	-	2	-	-	-	-	-	-	2	-	1	1	3	13.0%		
Basi (Bases)	-	-	-	-	-	-	-	-	-	-	-	-	-	0.0%		
Beccucci (Spouts)	-	-	-	-	-	-	-	-	-	-	-	-	-	0.0%		
Pareti (Body sherds)	-	7	1	1	-	1	-	-	10	-	1	1	11	47.8%		
Subtotale	2	10	2	1	3	1	-	19	10	1	3	4	23			
Valori assoluti	12	3	4	-	4	-	-	19	10	1	3	4	23	60		
%	52.2%	13.0%	17.4%	0.0%	17.4%	0.0%	0.0%	82.6%	65.5%	20.0%	17.4%	20.0%	61.7%	61.7%		
Totale	Subtotale indice di componibilità: 61.7%															

\* I valori corrispondono al Numero Minimo di Individui per ciascuna delle classi e/o sottoclassi considerate. I valori in parentesi rappresentano i frammenti non combacianti e/o gli attacchi con fratture antiche appartenenti ai vasi già inclusi nel Numero Minimo di Individui.

Tabella 11. Cass. 15: quantificazione delle forme DSI in base alle diverse tecniche decorative						
Forme	LoD	LoD su fasce	DoL	LoD-DoL	Totale	
					Valori assoluti	%
Pitharaki	6	1	1	-	8	42.1%
Brocca	1	2	1	-	4	21.1%
Brocca con becco obliquo e alto collo	2	-	-	-	2	10.5%
Olla con o senza beccuccio a ponte	1	-	-	-	1	5.3%
Giara a staffa	-	-	2	-	2	10.5%
Forma chiusa NMI	1	-	-	-	1	5.3%
Bacino	1	-	-	-	1	5.3%
Totale	12	3	4	-	19	
	63.2%	15.8%	21.1%	0.0%		

Tabella 12. Cass. 18: quantificazione dei frammenti e delle tecniche decorative*																
	DSI												Altre classi		Totale	
	LoD		LoD su fasce		DoL		LoD-DoL		Subtotale		(Locali e importate)		Subtotale	Valori assoluti	%	
	Cat.	Fuori cat.	Cat.	Fuori cat.	Cat.	Fuori cat.	Cat.	Fuori cat.	Cat.	Fuori cat.	Cat.	Fuori cat.				
Orli (Rims)	7	22	6	3	1	8	-	-	-	47	7	-	7	54	18.5%	
Dischi (Discs)	-	-	-	-	-	-	-	-	-	-	-	-	-	-	0.0%	
Anse (Handles)	1	47	-	-	-	9	1	1	1	60	-	2	2	62	21.2%	
Basi (Bases)	2	-	-	3	-	-	-	-	-	5	-	-	-	5	1.7%	
Beccucci (Spouts)	-	-	-	-	-	-	-	-	-	-	-	1	1	1	0.3%	
Pareti (Body sherds)	1	91 (+1)	-	60	-	10 (+1)	-	-	7	168 (+2)	1	1	2	170 (+2)	58.2%	
Subtotale	11	160 (161)	6	66	1	27 (28)	1	1	8	280 (282)	8	4		292 (294)	Totale indice di componibilità: 0.7%	
Totale	Valori assoluti		72		28 (29)		9		Subtotale indice di componibilità: 0.7%		12		Subtotale indice di componibilità: 0.0%		4.0%	
	%		24.7%		9.6%		3.1%		96.0%		4.0%					

\* I valori corrispondono al Numero Minimo di Individui per ciascuna delle classi e/o sottoclassi considerate. I valori in parentesi rappresentano i frammenti non combacianti e/o gli attacchi con fratture antiche appartenenti ai vasi già inclusi nel Numero Minimo di Individui.

Tabella 13. Cass. 18: quantificazione delle forme DSI in base alle diverse tecniche decorative						
Forme	LoD	LoD su fasce	DoL	LoD-DoL	Totale	
					Valori assoluti	%
Pitharaki	2	3	1	1	7	2.5%
Anfora	34	1	3	-	38	13.6%
Brocca	7	3	2	-	12	4.3%
Brocca con collo stretto	1	-	-	-	1	0.4%
Brocca con becco obliquo	4	-	1	-	5	1.8%
Oinochoe	1	-	2	-	3	1.1%
Olla con o senza beccuccio a ponte	17	1	6	-	24	8.6%
Brocca NMI	9	-	9	-	18	6.4%
Giara/olla NMI	-	2	-	-	2	0.7%
Forma chiusa NMI	96	62	4	8	170	60.7%
Totale	171	72	28	9	280	
	61.1%	25.7%	10.0%	3.2%		

Tabella 14. Tutte le cassette: quantificazione dei frammenti e delle tecniche decorative*																	
	DSI																
	LoD			LoD su fasce			DoL			LoD-DoL			Altre classi			Totale	
	Valori assoluti	% LoD del tot.	% del tot.	Valori assoluti	% LoD su fasce	% del tot.	Valori assoluti	% DoL	% del tot.	Valori assoluti	% LoD-DoL	% del tot.	Valori assoluti	% altre classi	% del tot.	Valori assoluti	%
Orli (Rims)	56	18.0%	49.6%	20 (+3)	14.8%	17.7%	26	41.9%	23.0%	1	4.3%	0.9%	10 (+3)	33.3%	8.8%	113 (+6)	20.2%
Dischi (Discs)	-	0.0%	0.0%	-	0.0%	0.0%	2	3.2%	66.7%	-	0.0%	0.0%	1	3.3%	33.3%	3	0.5%
Anse (Handles)	74	23.8%	76.3%	2 (+6)	1.5%	2.1%	13 (+1)	21.0%	13.4%	3	13.0%	3.1%	5	16.7%	5.1%	97 (+7)	17.3%
Basi (Bases)	4	1.3%	44.4%	4	3.0%	44.4%	1	1.6%	11.1%	-	0.0%	0.0%	-	0.0%	0.0%	9	1.6%
Beccucci (Spouts)	-	0.0%	0.0%	-	0.0%	0.0%	-	0.0%	0.0%	-	0.0%	0.0%	1	3.3%	100%	1	0.2%
Pareti (Body sherds)	177 (+3)	56.9%	52.4%	109 (+29)	80.7%	32.2%	20 (+2)	32.3%	5.9%	19	82.6%	5.6%	13	43.3%	3.8%	338 (+34)	60.2%
Totale	311 (314)			135 (173)			62 (65)			23			30 (33) (5.4%) Subtotale indice di componibilità: 9.1%			561 (608) Totale indice di componibilità: 7.7%	

\* I valori corrispondono al Numero Minimo di Individui per ciascuna delle classi e/o sottoclassi considerate. I valori in parentesi rappresentano i frammenti non combacianti e/o gli attacchi con fratture antiche appartenenti ai vasi già inclusi nel Numero Minimo di Individui.

Tabella 15. Tutte le cassette: quantificazione delle forme chiuse e aperte nella ceramica DSI in base alle diverse tecniche decorative										
	LoD		LoD su fasce		DoL		LoD-DoL		Totale	
	Valori assoluti	% LoD	Valori assoluti	% LoD su fasce	Valori assoluti	% DoL	Valori assoluti	% LoD-DoL	Valori assoluti	%
Forme chiuse	306	98.4%	134	99.2%	62	100.0%	23	100.0%	525	98.9%
Forme aperte	5	1.6%	1	0.8%	-	0.0%	-	0.0%	6	1.1%
Totale	311 (58.6%)		135 (25.4%)		62 (11.7%)		23 (4.3%)		531	

Tabella 16. Tutte le cassette: quantificazione delle altre classi in base alla loro distribuzione cronologica									
	Produzioni locali					Importazioni			Totale
	DF	MR	ACSF	MinAF	MicDF	Dodecanneso	Minoiche	Micenee	
MB (fase finale) - TB IA Maturo	-	-	-	-	-	-	4	-	4
TB IA Iniziale	3	-	-	-	-	-	-	-	3
TB IA Iniziale/Maturo	-	1	1	-	-	1	-	-	3
TB IA Maturo	-	-	-	2	-	-	-	-	2
TE IIIA2	-	-	-	-	1	-	-	1	2
TE IIIA2/TE IIIB	-	-	-	-	1	-	-	-	1
TE IIIC Medio	-	-	-	-	7	-	-	1	8
TB/TE III	-	-	-	-	3	-	-	1	4
TE IIIC	-	-	-	-	3	-	-	-	3
Totale	3	1	1	2	15	1	4	3	30
	22					8			
%	10.0%	3.3%	3.3%	6.7%	50.0%	3.3%	13.4%	10.0%	100.0%
	73.3%					26.7%			

Tabella 17. Tutte le cassette: quantificazione delle forme DSI in base alle diverse tecniche decorative														
	LoD			LoD su fasce			DoL			LoD-DoL			Totale	
	Valori assoluti	% LoD	% del tot.	Valori assoluti	% LoD su fasce	% del tot.	Valori assoluti	% DoL	% del tot.	Valori assoluti	% LoD-DoL	% del tot.	Valori assoluti	%
Forme chiuse (525; 98,9%)														
Pitharaki	17	5.5%	47.2%	7	5.2%	19.4%	9	14.5%	25.0%	3	13.0%	8.3%	36	6.8%
Anfora	46	14.8%	85.2%	2	1.5%	3.7%	5	8.1%	9.3%	1	4.3%	1.9%	54	10.2%
Brocca	16	5.1%	57.1%	8	5.9%	28.6%	4	6.5%	14.3%	-	0.0%	0.0%	28	5.3%
Brocca con collo stretto	3	1.0%	75.0%	-	0.0%	0.0%	1	1.6%	25.0%	-	0.0%	0.0%	4	0.8%
Brocca con becco obliquo e alto collo	2	0.6%	66.7%	1	0.7%	33.3%	-	0.0%	0.0%	-	0.0%	0.0%	3	0.6%
Brocca con becco obliquo	7	2.3%	58.3%	1	0.7%	8.3%	3	4.8%	25.0%	1	4.3%	8.3%	12	2.3%
Oinochoe	3	1.0%	30.0%	-	0.0%	0.0%	6	9.7%	60.0%	1	4.3%	10.0%	10	1.9%
Olla con o senza beccuccio a ponte	35	11.3%	67.3%	6	4.4%	11.5%	11	17.7%	21.2%	-	0.0%	0.0%	52	9.8%
Giara a staffa	-	0.0%	0.0%	-	0.0%	0.0%	2	3.2%	100.0%	-	0.0%	0.0%	2	0.4%
Brocca NMI	26	8.4%	63.4%	3	2.2%	7.3%	12	19.4%	29.3%	-	0.0%	0.0%	41	7.7%
Giara/olla NMI	-	0.0%	0.0%	3	2.2%	100.0%	-	0.0%	0.0%	-	0.0%	0.0%	3	0.6%
Forma chiusa NMI	151	48.6%	53.9%	103	76.3%	36.8%	9	14.5%	3.2%	17	73.9%	6.1%	280	52.7%
Forme aperte (6; 1.1%)														
Tazza cilindrica	1	0.3%	100.0%	-	0.0%	0.0%	-	0.0%	0.0%	-	0.0%	0.0%	1	0.2%
Bacino	4	1.3%	80.0%	1	0.7%	20.0%	-	0.0%	0.0%	-	0.0%	0.0%	5	0.9%
Totale	311			135			62			23			531	
%	58.6%			25.4%			11.7%			4.3%				

Tabella 18. Tutte le cassette: frequenza dei motivi LoD sulle diverse forme attestate in ceramica DSI, LoD																
	Pitharaki	Anfora	Brocca	Brocca con collo stretto	Brocca con becco obliquo e alto collo	Brocca con becco obliquo	Oinochoe	Olla con o senza beccuccio a ponte	Giara a staffa	Brocca NMI	Giara NMI	Forma chiusa NMI	Tazza cilindrica	Bacino	Totale	%
Trattimi/tratti obliqui	10	41	5	3	-	3	2	16	-	14	-	4	-	2	100	24.7%
Archi	1	-	-	-	-	-	-	-	-	-	-	1	-	-	2	0.5%
Linea ondulata singola	-	2	4	-	-	1	1	-	-	-	-	19	1	-	28	6.9%
Linea ondulata doppia	3	5	3	-	-	1	1	2	-	6	-	42	-	-	63	15.6%
Lunule	4	-	-	-	-	-	-	-	-	1	-	7	-	1	13	3.2%
Ondulazioni	1	-	2	-	-	1	-	2	-	-	-	1	-	-	7	1.7%
Merletto	-	-	1	-	-	1	-	-	-	1	-	3	-	-	6	1.5%
Festoni	-	-	-	-	-	1	-	-	-	-	-	3	-	-	4	1.0%
Spirali	-	-	1	-	-	-	-	4	-	-	-	4	-	2	11	2.7%
Gocce	-	-	-	-	-	-	-	-	-	1	-	-	-	-	1	0.2%
Cerchio	6	25	2	-	-	-	-	8	-	12	-	4	-	2	59	14.6%
Disco	-	-	-	-	-	-	-	-	-	-	-	-	-	-	-	0.0%
Grata	-	-	-	-	-	-	-	-	-	-	-	3	-	-	3	0.7%
Rete	-	-	-	-	-	1	-	-	-	-	-	-	-	-	1	0.2%
Corolla a zig-zag	-	-	-	-	-	-	-	-	-	-	-	-	-	-	-	0.0%
Croce	-	1	-	-	-	-	-	-	-	-	-	-	-	-	1	0.2%
Ruota	-	-	-	-	-	-	-	-	-	-	-	-	-	-	-	0.0%
Marmorizzazione	-	-	-	-	-	1	-	2	-	-	-	1	1	-	5	1.2%
Narciso	-	-	-	-	-	-	-	1	-	-	-	-	-	-	1	0.2%
Corolla	-	-	-	-	-	-	-	-	-	-	-	1	-	-	1	0.2%
Corolla pendula	-	-	-	-	-	-	-	1	-	-	-	-	-	-	1	0.2%
B. a racchetta	-	-	-	-	-	-	-	1	-	-	-	1	-	-	2	0.5%
Collana di foglie	1	-	3	-	-	1	-	-	-	2	-	4	-	-	11	2.7%
Foglie	-	-	-	-	-	-	1	-	-	-	-	1	-	-	2	0.5%
Rametto	1	-	-	-	-	-	-	-	-	1	-	3	-	-	5	1.2%
Cespuglio	-	-	-	-	-	-	-	1	-	-	-	1	-	-	2	0.5%
Lineare	4	-	1	-	-	-	-	-	-	-	-	43	-	-	48	11.9%
NI	-	2	2	-	2	2	1	4	-	1	-	14	-	-	28	6.9%
<b>Totale</b>	<b>31</b>	<b>76</b>	<b>24</b>	<b>3</b>	<b>2</b>	<b>13</b>	<b>6</b>	<b>42</b>	<b>-</b>	<b>39</b>	<b>-</b>	<b>160</b>	<b>2</b>	<b>7</b>		
<b>%</b>	<b>7.7%</b>	<b>18.8%</b>	<b>5.9%</b>	<b>0.7%</b>	<b>0.5%</b>	<b>3.2%</b>	<b>1.5%</b>	<b>10.4%</b>	<b>0.0%</b>	<b>9.6%</b>	<b>0.0%</b>	<b>39.5%</b>	<b>0.5%</b>	<b>1.7%</b>		<b>405</b>

Tabella 19. Tutte le cassette: frequenza dei motivi <i>LoD</i> sulle diverse forme attestate in ceramica DSI, <i>LoD</i> su fasce																
	Pitharaki	Anfora	Brocca	Brocca con collo stretto	Brocca con becco obliquo e alto collo	Brocca con becco obliquo	Oinochoe	Olla con o senza beccuccio a ponte	Giara a staffa	Brocca NMI	Giara NMI	Forma chiusa NMI	Tazza cilindrica	Bacino	Totale	%
Trattimi/tratti obliqui	3	2	3	-	-	-	-	1	-	-	1	-	-	-	10	6.4%
Archi	-	-	-	-	-	-	-	-	-	-	-	-	-	-	-	0.0%
Linea ondulata singola	-	-	2	-	-	-	-	1	-	1	2	16	-	-	22	14.0%
Linea ondulata doppia	2	2	1	-	-	1	-	-	-	-	1	41	-	-	48	30.6%
Lunule	-	-	-	-	-	-	-	-	-	-	-	-	-	1	1	0.6%
Ondulazioni	2	-	1	-	-	-	-	3	-	-	-	-	-	1	7	4.5%
Merletto	-	-	-	-	-	-	-	-	-	-	-	2	-	1	3	1.9%
Festoni	-	-	-	-	-	-	-	-	-	1	-	-	-	-	1	0.6%
Spirali	-	-	-	-	-	-	-	2	-	1	-	1	-	-	4	2.5%
Gioce	-	-	-	-	-	-	-	-	-	-	-	-	-	-	-	0.0%
Cerchio	2	1	-	-	-	-	-	3	-	-	-	1	-	7	4.5%	
Disco	-	-	-	-	-	-	-	-	-	-	-	-	-	-	-	0.0%
Grata	-	-	-	-	-	-	-	-	-	-	-	2	-	2	1.3%	
Rete	-	-	-	-	-	-	-	-	-	-	-	-	-	-	-	0.0%
Corolla a zig-zag	1	-	-	-	-	-	-	-	-	-	-	-	-	-	1	0.6%
Croce	1	-	-	-	-	-	-	-	-	-	-	-	-	1	0.6%	
Ruota	-	-	-	-	-	-	-	-	-	-	-	1	-	1	0.6%	
Marmorizzazione	1	-	-	-	-	-	-	-	-	-	-	1	-	2	1.3%	
Narciso	-	-	-	-	-	-	-	-	-	-	-	-	-	-	-	0.0%
Corolla	-	-	-	-	-	-	-	-	-	-	-	3	-	3	1.9%	
Corolla pendula	-	-	-	-	-	-	-	-	-	-	-	-	-	-	-	0.0%
B. a racchetta	-	-	-	-	-	-	-	-	-	-	-	-	-	-	-	0.0%
Collana di foglie	-	-	-	-	-	-	-	-	-	-	1	1	-	2	1.3%	
Foglie	-	-	-	-	-	-	-	-	-	-	-	-	-	-	-	0.0%
Rametto	2	-	-	-	-	-	-	-	-	1	-	2	-	5	3.2%	
Cespuglio	-	-	-	-	-	-	-	-	-	-	-	-	-	-	-	0.0%
Lineare	-	-	1	-	1	-	-	1	-	-	-	30	-	33	21.0%	
NI	-	-	-	-	-	-	-	-	-	-	-	4	-	4	2.5%	
Totale	14	5	8	-	1	1	-	11	-	4	5	105	-	3	157	
%	8.9%	3.2%	5.1%	0.0%	0.6%	0.6%	0.0%	7.0%	0.0%	2.5%	3.2%	66.9%	0.0%	1.9%		

Tabella 20. Tutte le cassette: frequenza dei motivi LoD sulle diverse forme attestate in ceramica DSI, LoD-DoL																
	Pitharaki	Anfora	Brocca	Brocca con collo stretto	Brocca con becco obliquo e alto collo	Brocca con becco obliquo	Oinochoe	Olla con o senza beccuccio a ponte	Giara a staffa	Brocca NMI	Giara NMI	Forma chiusa NMI	Tazza cilindrica	Bacino	Totale	%
Trattini/tratti obliqui	1	-	-	-	-	-	1	-	-	-	-	-	-	-	2	6.9%
Archi	-	-	-	-	-	-	-	-	-	-	-	12	-	-	12	41.4%
Linea ondulata singola	1	-	-	-	-	-	-	-	-	-	-	-	-	-	1	3.4%
Linea ondulata doppia	-	-	-	-	-	-	1	-	-	-	-	-	-	-	1	3.4%
Lunule	1	-	-	-	-	-	-	-	-	-	-	-	-	-	1	3.4%
Ondulazioni	-	-	-	-	-	-	-	-	-	-	-	-	-	-	-	0.0%
Merletto	1	-	-	-	-	-	-	-	-	-	-	-	-	-	1	3.4%
Festoni	-	-	-	-	-	-	-	-	-	-	-	-	-	-	-	0.0%
Spirali	-	-	-	-	-	-	-	-	-	-	-	-	-	-	-	0.0%
Gocce	-	-	-	-	-	-	1	-	-	-	-	-	-	-	1	3.4%
Cerchio	1	-	-	-	-	-	-	-	-	-	-	-	-	-	1	3.4%
Disco	1	-	-	-	-	-	-	-	-	-	-	-	-	-	1	3.4%
Grata	-	-	-	-	-	-	-	-	-	-	-	-	-	-	-	0.0%
Rete	-	-	-	-	-	-	-	-	-	-	-	-	-	-	-	0.0%
Corolla a zig-zag	-	-	-	-	-	-	-	-	-	-	-	-	-	-	-	0.0%
Croce	-	-	-	-	-	-	-	-	-	-	-	-	-	-	-	0.0%
Ruota	-	-	-	-	-	-	-	-	-	-	-	-	-	-	-	0.0%
Marmorizzazione	1	-	-	-	-	-	-	-	-	-	-	-	-	-	1	3.4%
Narciso	-	-	-	-	-	-	-	-	-	-	-	-	-	-	-	0.0%
Corolla	-	-	-	-	-	-	-	-	-	-	-	-	-	-	-	0.0%
Corolla pendula	-	-	-	-	-	-	-	-	-	-	-	-	-	-	-	0.0%
B. a racchetta	-	-	-	-	-	-	-	-	-	-	-	-	-	-	-	0.0%
Collana di foglie	-	-	-	-	-	-	1	-	-	-	-	-	-	-	1	3.4%
Foglie	-	-	-	-	-	-	-	-	-	-	-	-	-	-	-	0.0%
Rametto	-	-	-	-	-	-	-	-	-	-	-	-	-	-	-	0.0%
Cespuglio	-	-	-	-	-	-	-	-	-	-	-	1	-	-	1	3.4%
Lineare	-	-	-	-	-	-	-	-	-	-	-	1	-	-	1	3.4%
NI	-	1	-	-	-	-	-	-	-	-	-	3	-	-	4	13.8%
<b>Totale</b>	<b>7</b>	<b>1</b>	<b>-</b>	<b>-</b>	<b>-</b>	<b>1</b>	<b>3</b>	<b>-</b>	<b>-</b>	<b>-</b>	<b>-</b>	<b>17</b>	<b>-</b>	<b>-</b>	<b>-</b>	<b>-</b>
<b>%</b>	<b>24.1%</b>	<b>3.4%</b>	<b>0.0%</b>	<b>0.0%</b>	<b>0.0%</b>	<b>3.4%</b>	<b>10.3%</b>	<b>0.0%</b>	<b>0.0%</b>	<b>0.0%</b>	<b>0.0%</b>	<b>58.6%</b>	<b>0.0%</b>	<b>0.0%</b>	<b>29</b>	<b>-</b>

Tabella 21. Tutte le cassette: frequenza dei motivi <i>DoL</i> sulle diverse forme attestate in ceramica DSI, <i>DoL</i>																
	Pitharaki	Anfora	Brocca	Brocca con collo stretto	Brocca con becco obliquo e alto collo	Brocca con becco obliquo	Oinochoe	Olla con o senza beccuccio a ponte	Giara a staffa	Brocca NMI	Giara NMI	Forma chiusa NMI	Tazza cilindrica	Bacino	Totale	%
Trattimi/tratti obliqui	2	5	1	1	1	1	-	4	2	4	-	2	-	-	22	23.4%
Archi	-	-	-	-	-	-	-	-	-	-	-	-	-	-	-	0.0%
Linea ondulata singola	1	-	1	-	-	1	-	1	1	2	-	-	-	-	7	7.4%
Linea ondulata doppia	1	-	1	-	-	1	-	1	-	1	-	1	-	-	6	6.4%
Lunule	1	-	-	-	-	1	-	1	-	-	-	1	-	-	3	3.2%
Ondulazioni	1	-	-	-	-	1	-	1	1	-	-	-	-	-	3	3.2%
Merletto	-	-	-	-	-	-	-	-	-	-	-	-	-	-	-	0.0%
Festoni	-	-	-	-	-	2	-	-	-	-	-	-	-	-	2	2.1%
Spirali	4	-	-	-	-	-	-	-	-	1	-	4	-	-	9	9.6%
Gocce	-	-	-	-	-	-	-	-	-	-	-	-	-	-	-	0.0%
Cerchio	1	4	-	1	-	1	-	3	1	2	-	-	-	-	13	13.8%
Disco	-	-	-	-	-	-	-	-	-	-	-	-	-	-	-	0.0%
Grata	-	-	-	-	-	-	-	-	-	-	-	-	-	-	-	0.0%
Rete	-	-	-	-	-	-	-	-	-	-	-	-	-	-	-	0.0%
Corolla a zig-zag	-	-	-	-	-	-	-	-	-	-	-	-	-	-	-	0.0%
Croce	-	-	-	-	-	-	-	-	-	-	-	-	-	-	-	0.0%
Ruota	-	-	-	-	-	-	-	-	1	-	-	-	-	-	1	1.1%
Marmorizzazione	1	-	-	-	-	-	-	-	-	-	-	-	-	-	1	1.1%
Narciso	-	-	-	-	-	-	-	-	-	-	-	-	-	-	-	0.0%
Corolla	1	-	-	-	-	-	-	1	-	-	-	-	-	-	2	2.1%
Corolla pendula	-	-	-	-	-	-	-	-	-	-	-	-	-	-	-	0.0%
B. a racchetta	-	-	-	-	-	-	-	-	-	-	-	-	-	-	-	0.0%
Collana di foglie	-	-	-	-	-	-	-	1	-	-	-	-	-	-	1	1.1%
Foglie	1	-	-	-	-	-	-	-	-	-	-	-	-	-	1	1.1%
Rametto	-	1	-	-	-	1	-	-	-	-	-	-	-	-	2	2.1%
Cespuglio	2	-	-	-	-	-	-	-	-	2	-	1	-	-	5	5.3%
Lineare	-	-	1	-	-	-	3	-	-	1	-	-	-	-	5	5.3%
NI	-	-	-	-	-	-	3	6	-	2	-	-	-	-	11	11.7%
Totale	16	10	4	2	-	7	6	19	6	15	-	9	-	-	94	
%	17.0%	10.6%	4.3%	2.1%	0.0%	7.4%	6.4%	20.2%	6.4%	16.0%	0.0%	9.6%	0.0%	0.0%	94	

Tabella 22. Tutte le cassette: frequenza dei motivi DoL sulle diverse forme attestate in ceramica DSI, LoD-DoL																
	Pitharaki	Anfora	Brocca	Brocca con collo stretto	Brocca con becco obliquo e alto collo	Brocca con becco obliquo	Oinochoe	Olla con o senza beccuccio a ponte	Giara a staffa	Brocca NMI	Giara NMI	Forma chiusa NMI	Tazza cilindrica	Bacino	Totale	%
Trattimi/tratti obliqui	-	-	-	-	-	-	-	-	-	-	-	-	-	-	-	0.0%
Archi	-	-	-	-	-	-	-	-	-	-	-	12	-	-	12	50.0%
Linea ondulata singola	-	-	-	-	-	-	-	-	-	-	-	-	-	-	-	0.0%
Linea ondulata doppia	-	-	-	-	-	-	-	-	-	-	-	-	-	-	-	0.0%
Lunule	2	-	-	-	-	-	1	-	-	-	-	-	-	-	3	12.5%
Ondulazioni	-	-	-	-	-	1	-	-	-	-	-	-	-	-	1	4.2%
Merletto	-	-	-	-	-	-	-	-	-	-	-	-	-	-	-	0.0%
Festoni	-	-	-	-	-	-	-	-	-	-	-	-	-	-	-	0.0%
Spirali	-	-	-	-	-	-	-	-	-	-	-	-	-	-	-	0.0%
Gocce	1	-	-	-	-	-	-	-	-	-	-	-	-	-	1	4.2%
Cerchio	-	-	-	-	-	-	-	-	-	-	-	-	-	-	-	0.0%
Disco	-	-	-	-	-	-	-	-	-	-	-	-	-	-	-	0.0%
Grata	-	-	-	-	-	-	-	-	-	-	-	-	-	-	-	0.0%
Rete	1	-	-	-	-	-	-	-	-	-	-	-	-	-	1	4.2%
Corolla a zig-zag	-	-	-	-	-	-	-	-	-	-	-	-	-	-	-	0.0%
Croce	-	-	-	-	-	-	-	-	-	-	-	-	-	-	-	0.0%
Ruota	-	-	-	-	-	-	-	-	-	-	-	-	-	-	-	0.0%
Marmorizzazione	-	1	-	-	-	-	-	-	-	-	-	-	-	-	1	4.2%
Narciso	-	-	-	-	-	-	-	-	-	-	-	-	-	-	-	0.0%
Corolla	-	-	-	-	-	-	-	-	-	-	-	-	-	-	-	0.0%
Corolla pendula	-	-	-	-	-	-	-	-	-	-	-	-	-	-	-	0.0%
B. a racchetta	-	-	-	-	-	-	-	-	-	-	-	-	-	-	-	0.0%
Collana di foglie	-	-	-	-	-	-	-	-	-	-	-	-	-	-	-	0.0%
Foglie	-	-	-	-	-	-	-	-	-	-	-	-	-	-	-	0.0%
Rametto	-	-	-	-	-	-	-	-	-	-	-	-	-	-	-	0.0%
Cespuglio	-	-	-	-	-	-	-	-	-	-	-	1	-	-	1	4.2%
Lineare	-	-	-	-	-	-	-	-	-	-	-	1	-	-	1	4.2%
NI	-	-	-	-	-	-	-	-	-	-	-	3	-	-	3	12.5%
Totale	4	1	-	-	-	1	1	-	-	-	-	17	-	-	-	
%	16.7%	4.2%	0.0%	0.0%	0.0%	4.2%	4.2%	0.0%	0.0%	0.0%	0.0%	70.8%	0.0%	0.0%	24	

Tabella 23. Ceramiche DSI: trattamento delle superfici (compilazione effettuata con l'assistenza di C.M. Hale e J. Mokrišová)

Superficie esterna						Superficie interna				
Grezza	Lisciata	Levigata	Lucidata	Grezza	Lisciata	Levigata	Lucidata	Levigata	Lucidata	Illeggibile
0.2%	95.1%	0.3%	4.4%	25.9%	66.2%	1.3%	0.7%	1.3%	0.7%	5.9%
Totale del campione 531 (Numero minimo di Individui, 575 frammenti complessivi)										

Tabella 24. Caratteristiche minoiche nel SW dell'Anatolia, nel Dodecanneso, nelle Cicladi e a Citera nel corso del TB IA

	Quadro generale	Ceramica			Architettura (Murature con blocchi isodomi, <i>polythyra</i> , fortificazioni, sistemi idraulici, etc.)	Affreschi	Rituali/Religione		Lineare A	Attrezzi per la tessitura
		Stretta imitazione/ produzione locale di ceramiche decorate in stile minoico	Elementi stilistici di origine minoica	Aspetti della produzione di chiara origine minoica			Oggetti culturali/ edifici culturali	Pratiche funerarie		
SW ANATOLIA										
Mileto	*	-	*	*	*	*	*	?	*	*
Iasos	-	*	*	*	*	-	-	?	-	*
DODECANNESO										
Kos “Serraglio”	-	-	*	-	*	-	-	?	-	*
Rodi Trianda	-	*	*	*	*	*	*	-	-	*
CICLADI E CITERA										
Melos Phylakopi	-	*	*	*	*	*	*	?	*	*
Keos A. Irini; Troulli	-	*	*	*	*	*	*	?	*	*
Thera Akrotiri	-	*	*	*	*	*	*	?	*	*
Citera Kastri	*	*	*	*	*	-	*	*	*	*

\* Fonti: Vitale 2016a, p. 87, tabella 5.4; Vitale - Hancock Vitale 2010, p. 71, tabella 3; Vitale - Hancock Vitale 2013, p. 54, tabella 4.3 (tutte con bibliografia precedente).

## **Parte 3: Illustrazioni**

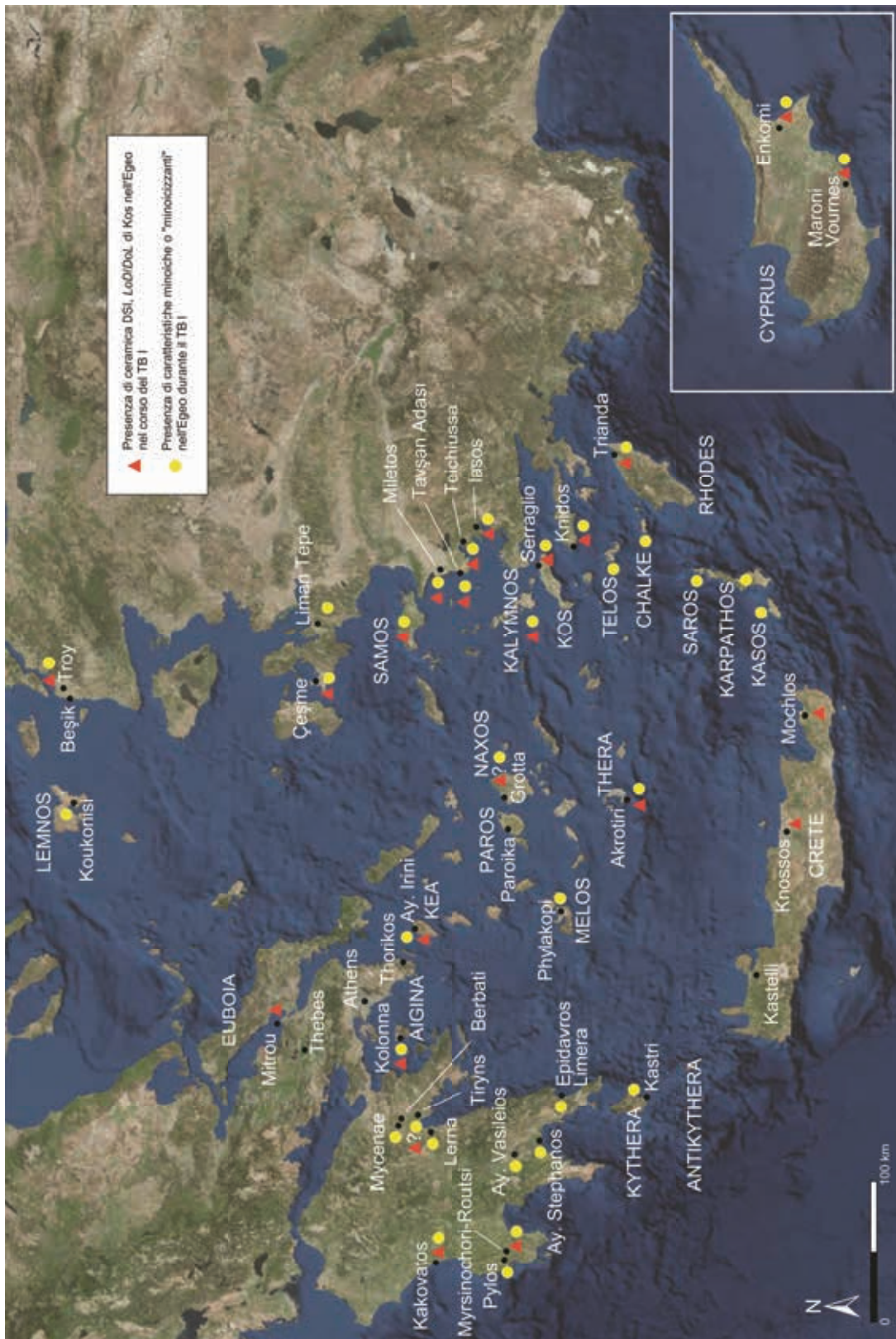


Tavola a colori 1. Foto satellitare con la distribuzione geografica di caratteristiche minoiche e ceramica DSI, LoD/DoL durante il TB I nel bacino dell'Egeo (base Google Earth; adattamento: C. McNamee - S. Vitale - T. Ross).



Tavola a colori 2. Foto satellitare di Kos con l'indicazione dei quattro siti principali dell'Età del Bronzo scavati da Morricone (base Google Earth; adattamento: C. McNamee - S. Vitale - T. Marketou).



a



b



c

Tavola a colori 3. Ceramica DF: tazze semiglobulari con dettagli della manifattura (foto S. Vitale).

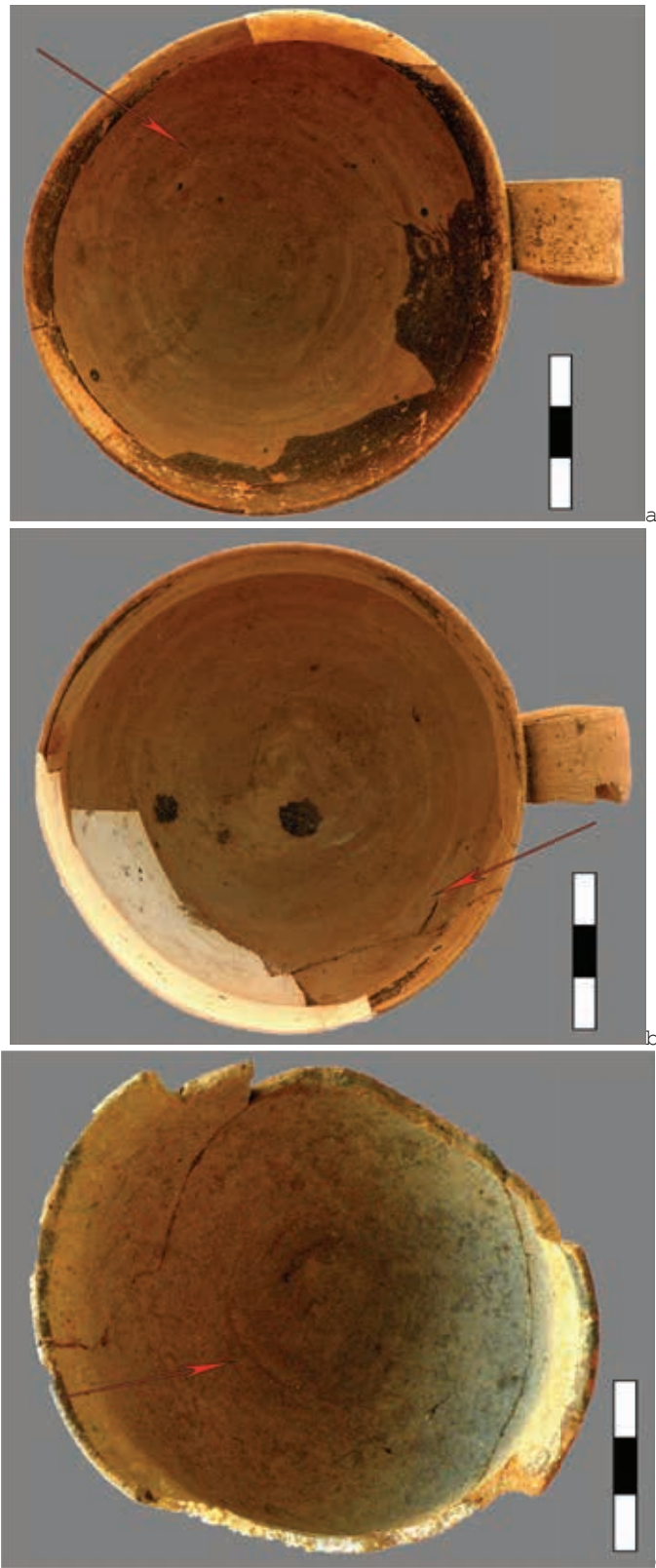


Tavola a colori 4. Ceramica DF: tecniche di formazione primaria CfT (foto S. Vitale).



Tavola a colori 5:a. Ceramica DSI, *LoD* (foto S. Vitale).

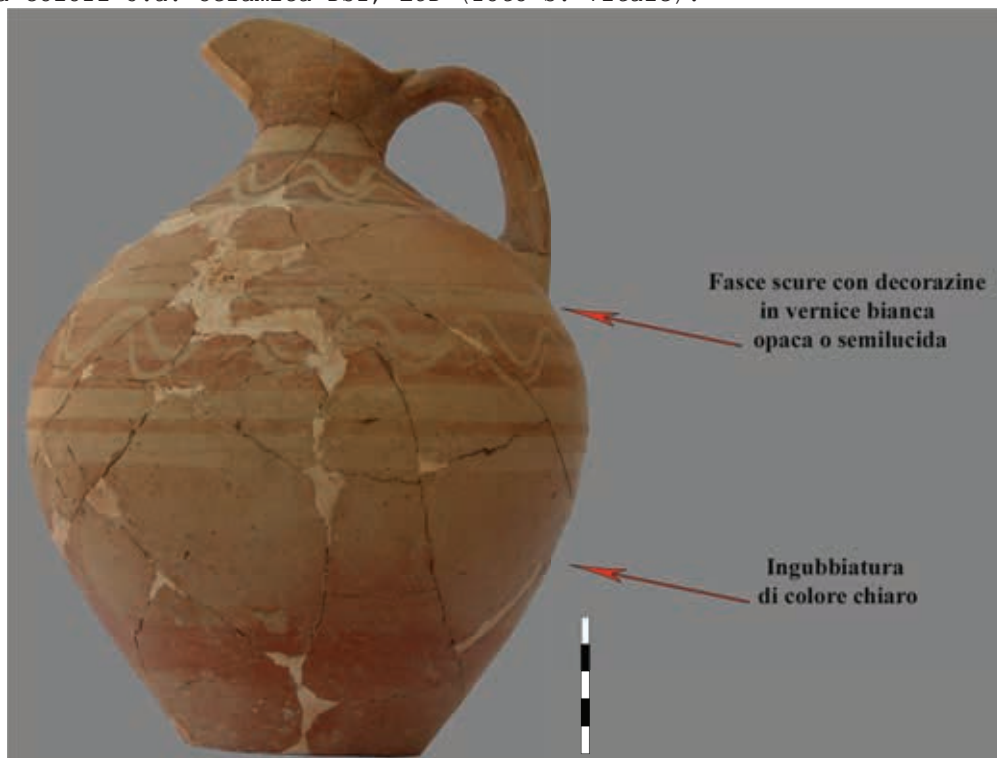


Tavola a colori 5:b. Ceramica DSI, *LoD* su fasce (foto S. Vitale).



Tavola a colori 6:a. Ceramica DSI, DoL (foto S. Vitale).



Tavola a colori 6:b. Ceramica DSI, LoD-DoL (foto S. Vitale).

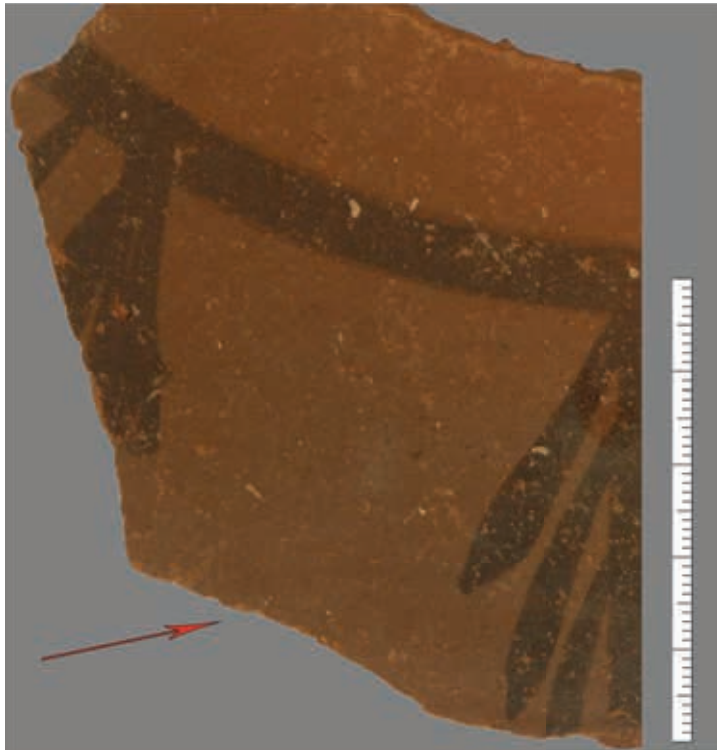


Tavola a colori 7:a. Ceramica DSI, *DoL*: superficie levigata (foto S. Vitale).

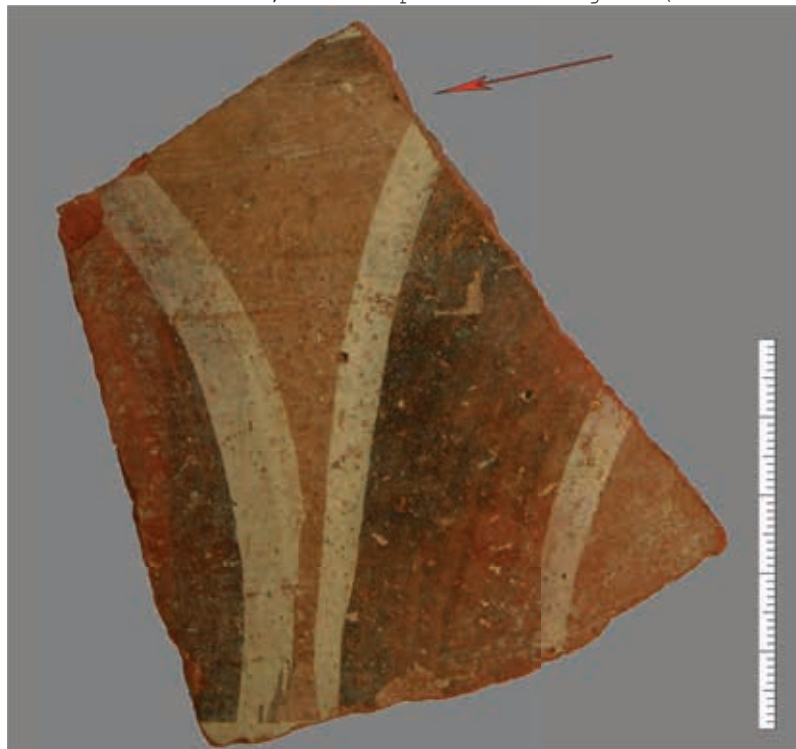


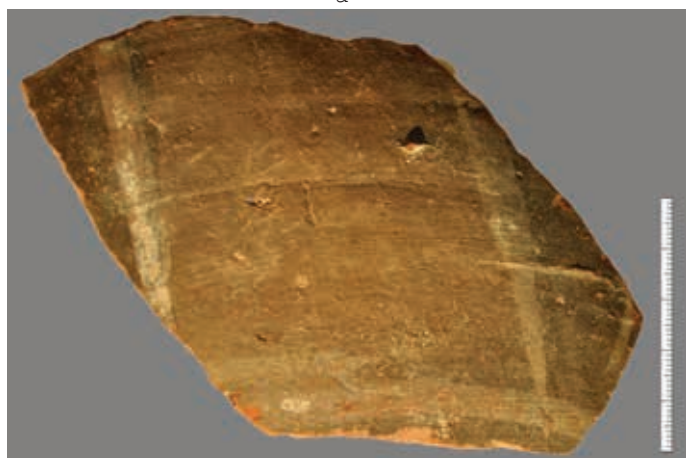
Tavola a colori 7:b. Ceramica DSI, *LoD* su fasce: superficie lisciata (foto S. Vitale).



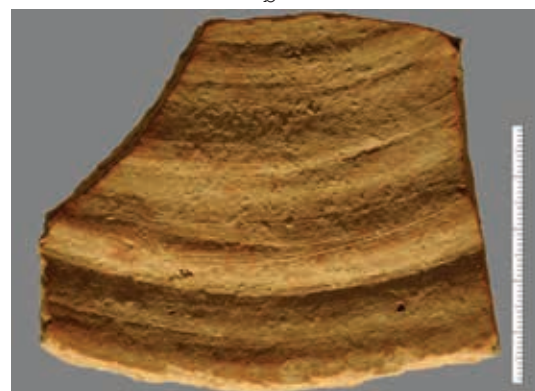
a



b



c



d



e



f

Tavola a colori 8. Ceramica DSI, *LoD/DoL*: tecniche di formazione primaria FaM e CfT (foto S. Rückl - S. Vitale).



Tavola a colori 9:a. Ceramica DSI, *DoL*: tecnica di formazione primaria CFT (foto S. Rückl - S. Vitale).

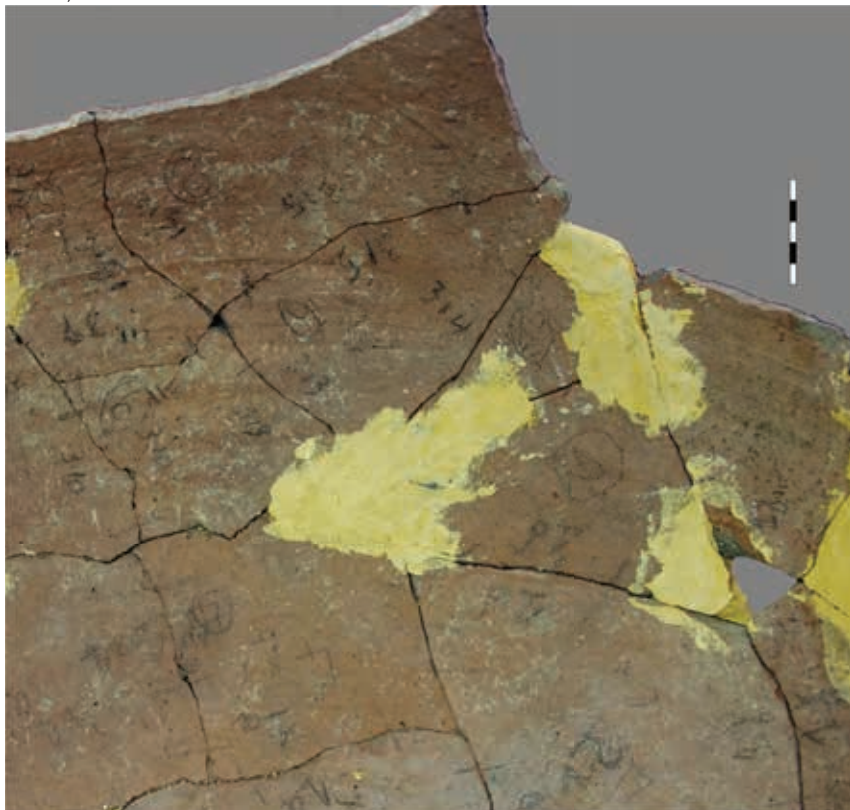
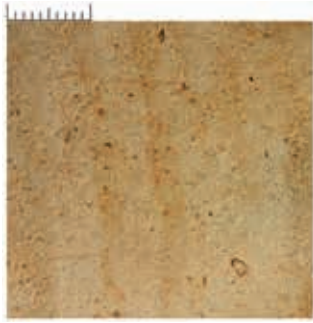
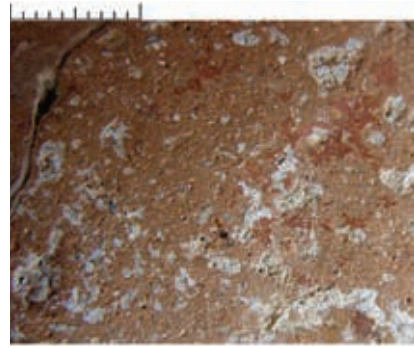


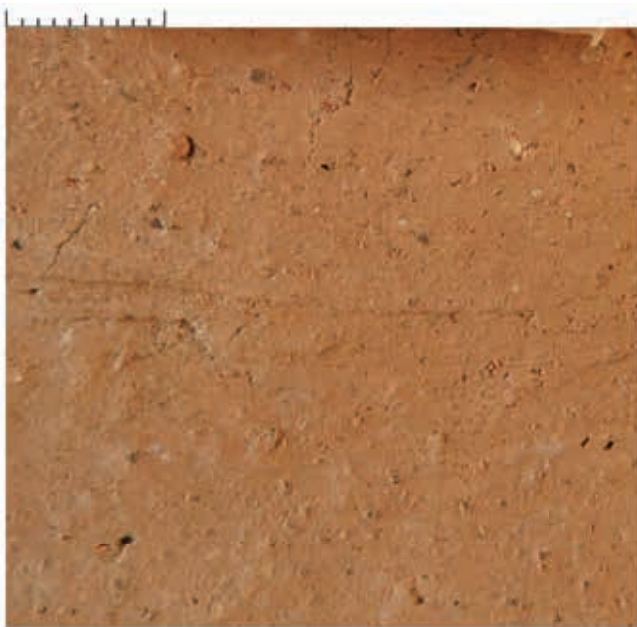
Tavola a colori 9:b. Ceramica DSI, *LoD* su fasce: tecnica di formazione primaria mista, FaM e CFT (foto J. Morrison - S. Vitale).



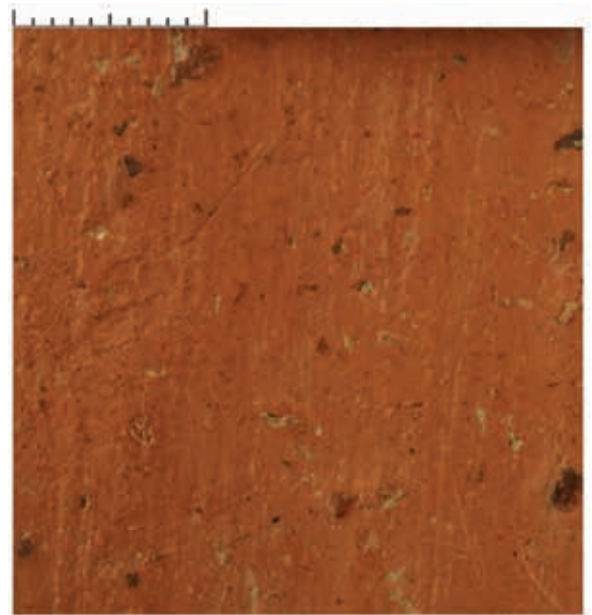
a



b



c



d



e



f

Tavola a colori 10. Sottogruppi macroscopici A-VI, B-II, B-V, B-VI, B-IX, C-IV (ogni trattino rappresenta 1 mm; a, c-e: foto S. Vitale; b, f: foto J. Morrison).



Tavola a colori 11:a. Ceramica DSI, LoD (foto S. Vitale).



Tavola a colori 11:b. Ceramica MR (foto S. Vitale).



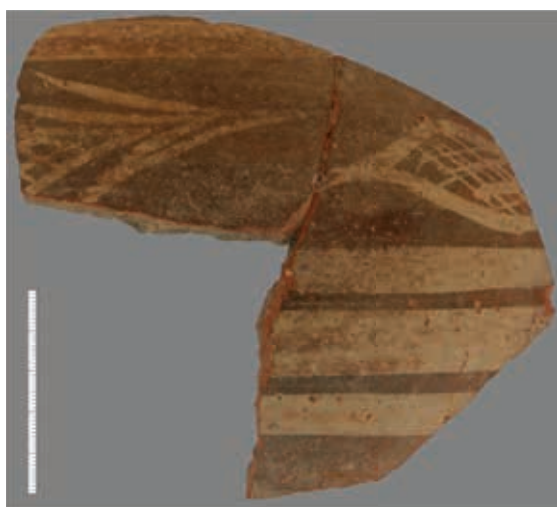
Tavola a colori 12:a. Ceramica MS (foto S. Vitale).



Tavola a colori 12:b. Ceramica DSI, *LoD* su fasce (foto S. Vitale).



a



b



c



d

Tavola a colori 13. Frammenti DSI, *LoD* e *LoD* su fasce attribuiti alla cosiddetta seconda fase dello sviluppo tecnologico (foto S. Vitale).

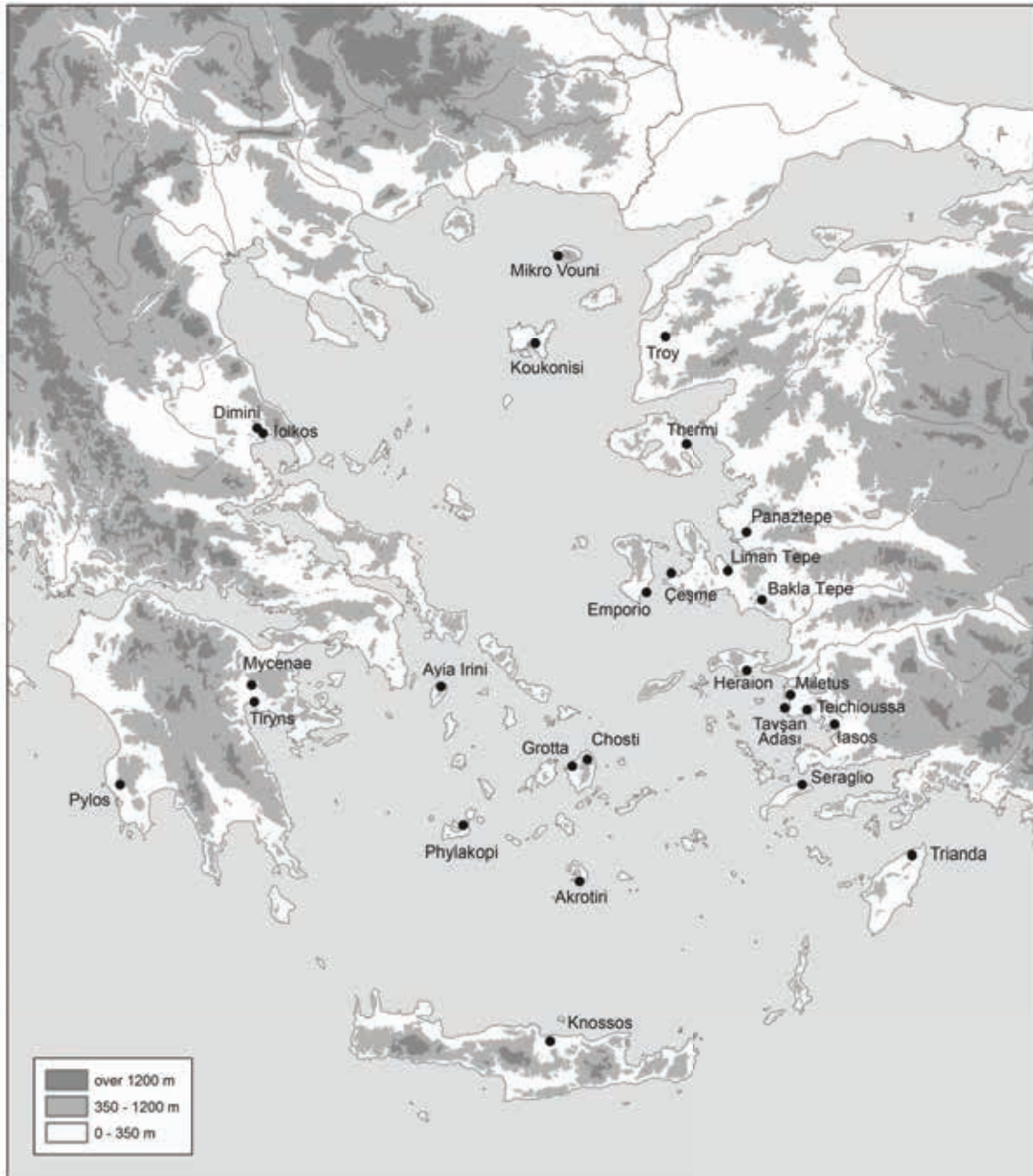


Figura 1. Il "Serraglio" e altri importanti siti dell'Età del Bronzo nel bacino dell'Egeo (P. Demján; da Girella - Gorogianni - Pavúk 2016, p. 3, fig. 1:1).

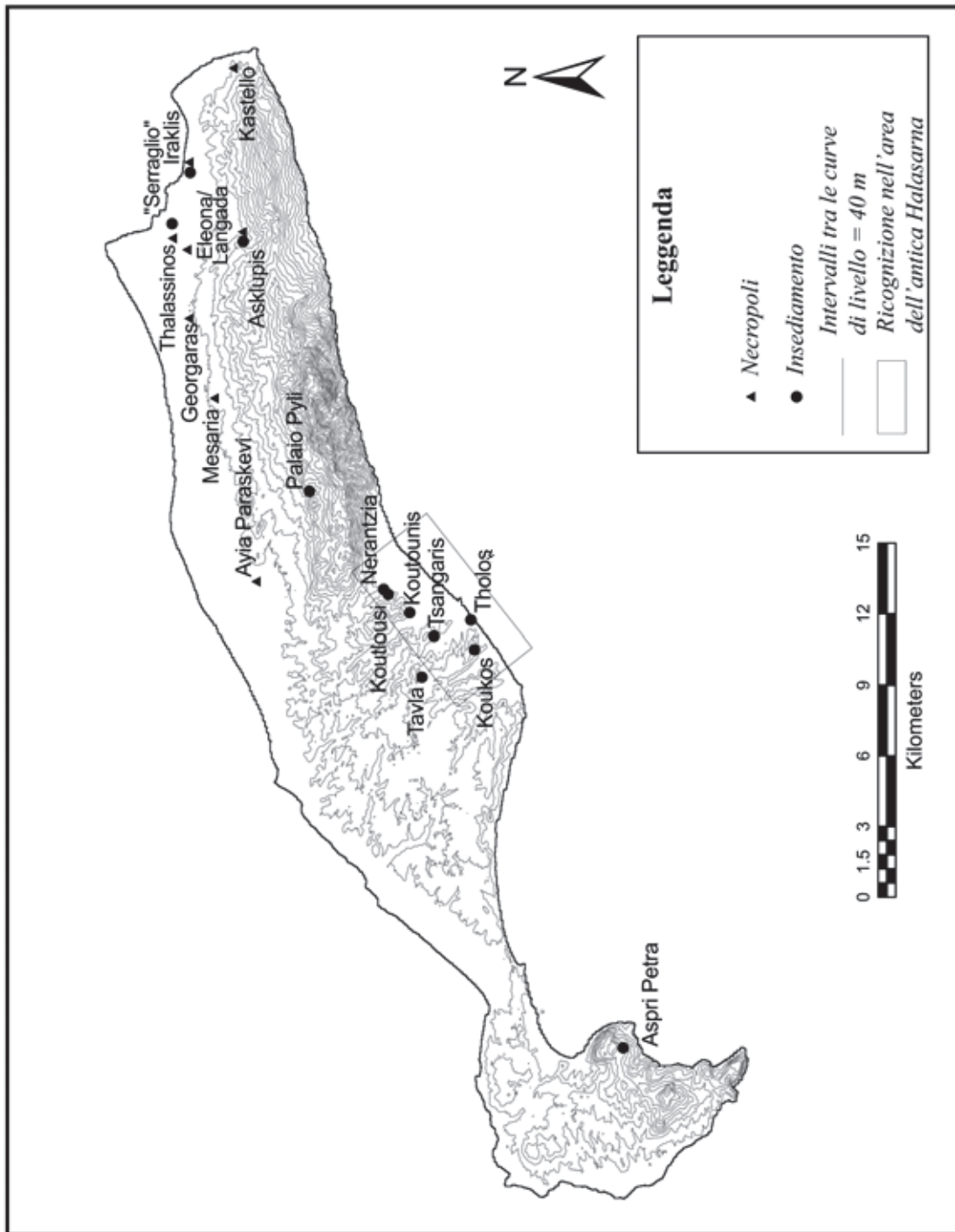


Figura 2. Mappa di Kos con i principali siti preistorici menzionati nel testo (C. McNamee - S. Vitale).

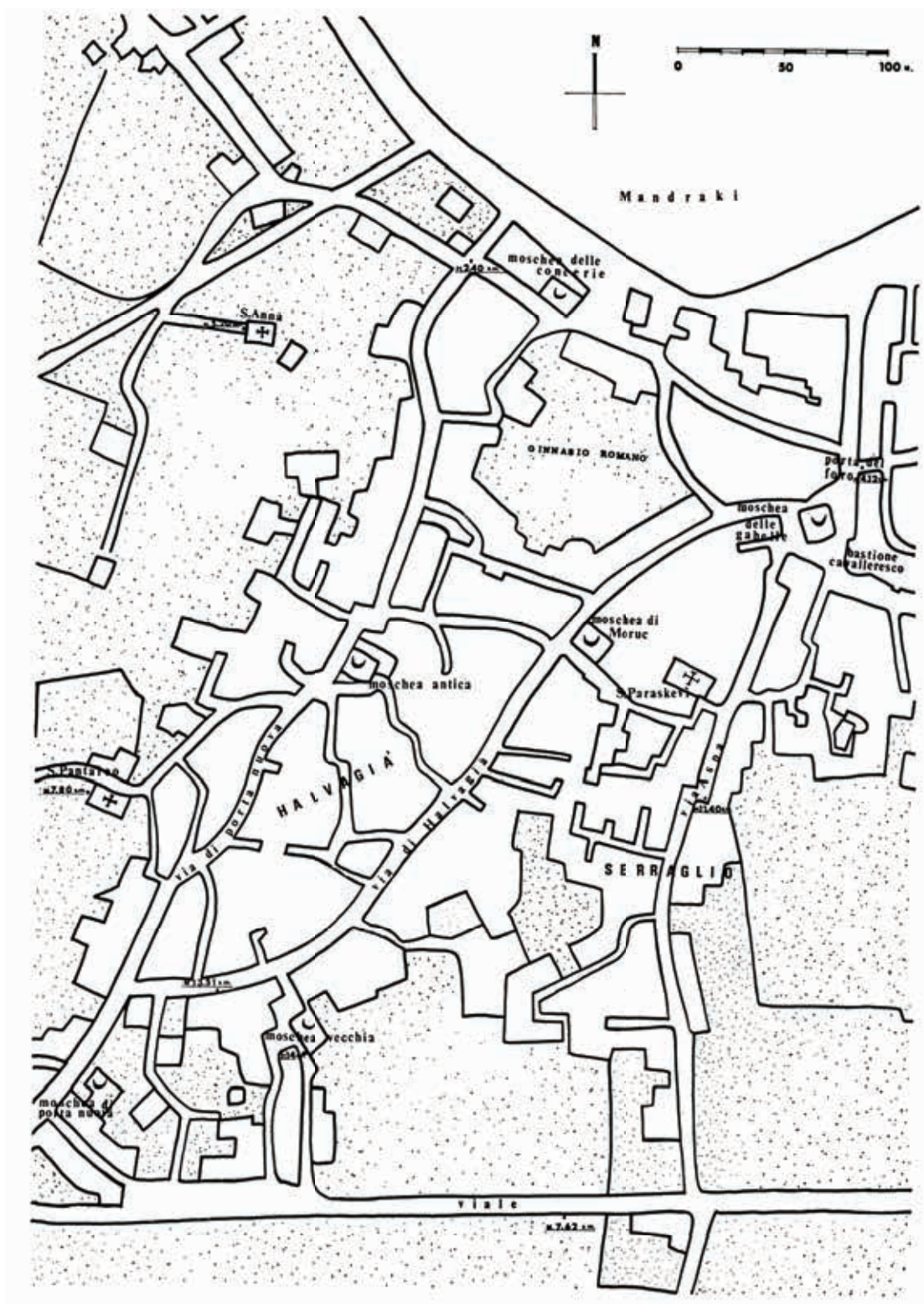


Figura 3. La città di Kos prima del terremoto del 1933 (da Morricone 1975, p. 144, fig. 3).

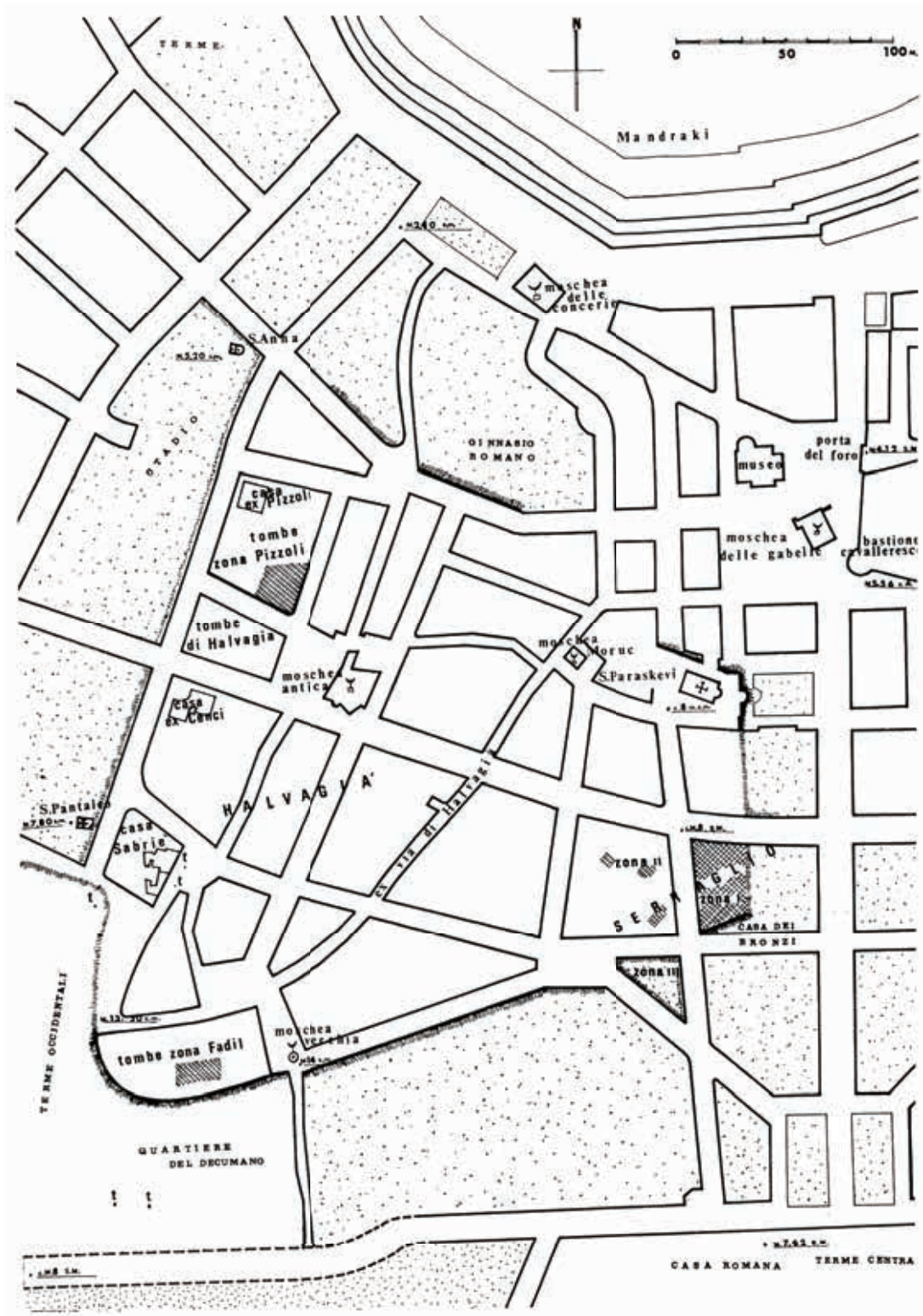


Figura 4. La città di Kos ricostruita dopo il terremoto del 1933 con le principali aree scavate da Morricone: il Serraglio propriamente detto, la Zona Fadil, l'antico quartiere di Halvagià e la Zona Pizzoli (da Morricone 1975, p. 152, fig. 7).

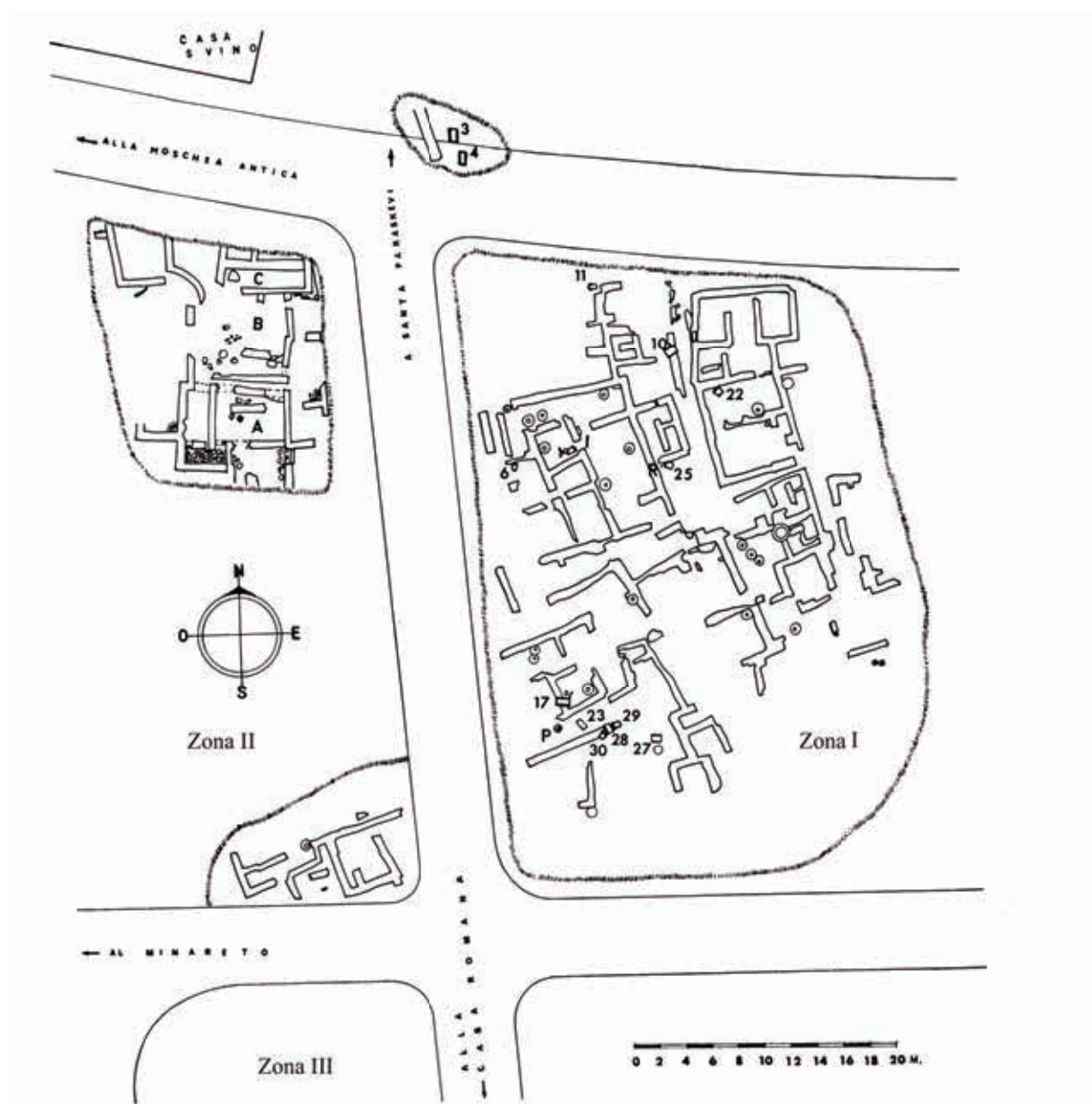


Figura 5. Planimetria delle strutture architettoniche del TB scoperte nelle Zone I-II del Serraglio propriamente detto (da Morricone 1975, p. 159, fig. 21; con aggiunte dell'autore).

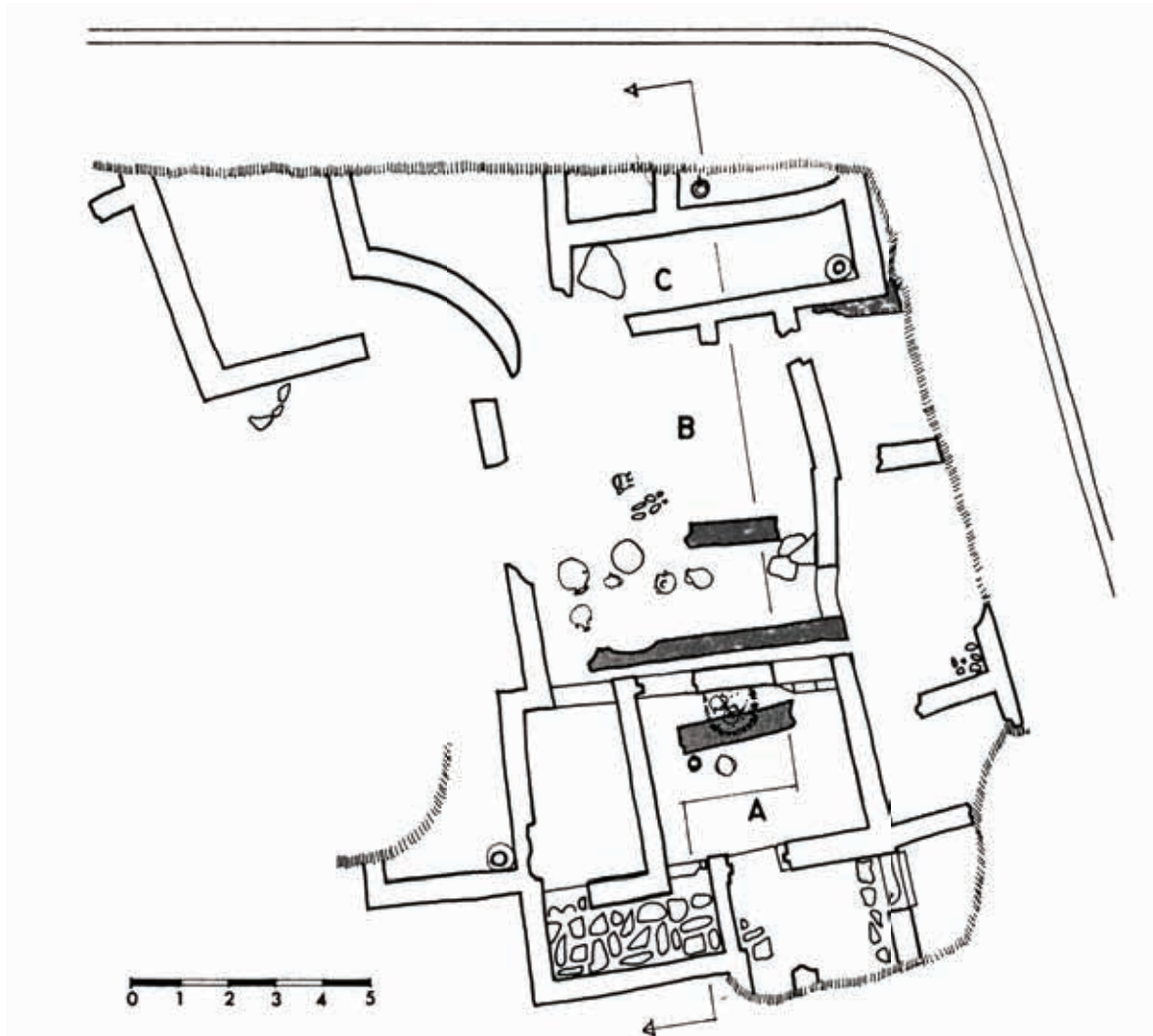


Figura 6:a. Scavi del 1941. Serraglio: Zona II, resti struttivi appartenenti alla Città I (in grigio) e alla Città II (da Morricone 1975, p. 210, fig. 121).

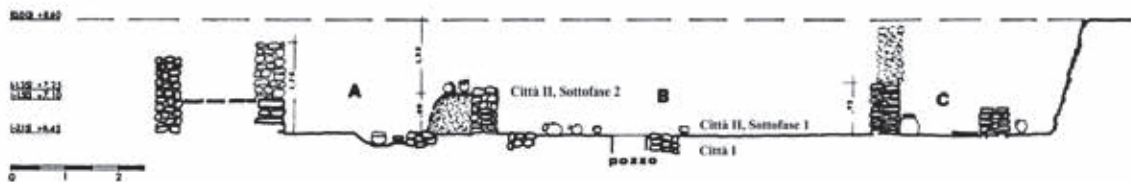


Figura 6:b. Scavi del 1941. Serraglio: Zona II, sezione ricostruttiva con le strutture appartenenti alla Città I e alle Sottofasi 1 e 2 della Città II (da Morricone 1975, p. 210, fig. 122; con aggiunte dell'autore).

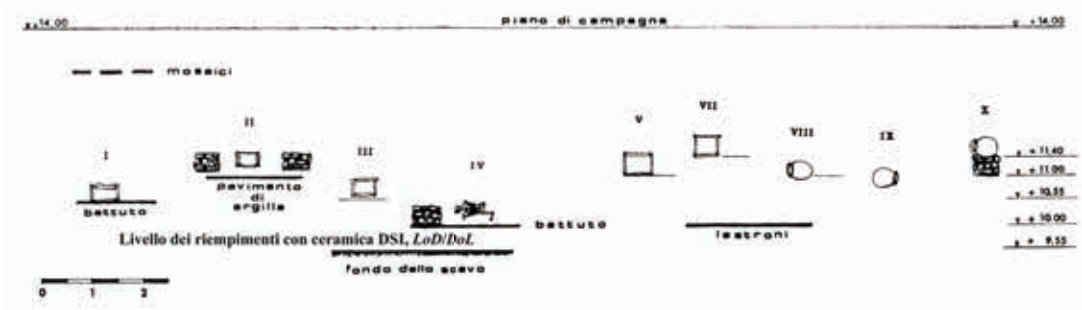


Figura 7:a. Scavi del 1942-1943. Zona Fadiil: sezione ricostruttiva. Le tombe di epoca PG e G erano collocate sui pavimenti delle strutture appartenenti alle Città I-IV (da Morricone 1975, p. 246, fig. 190; con aggiunte dell'autore).

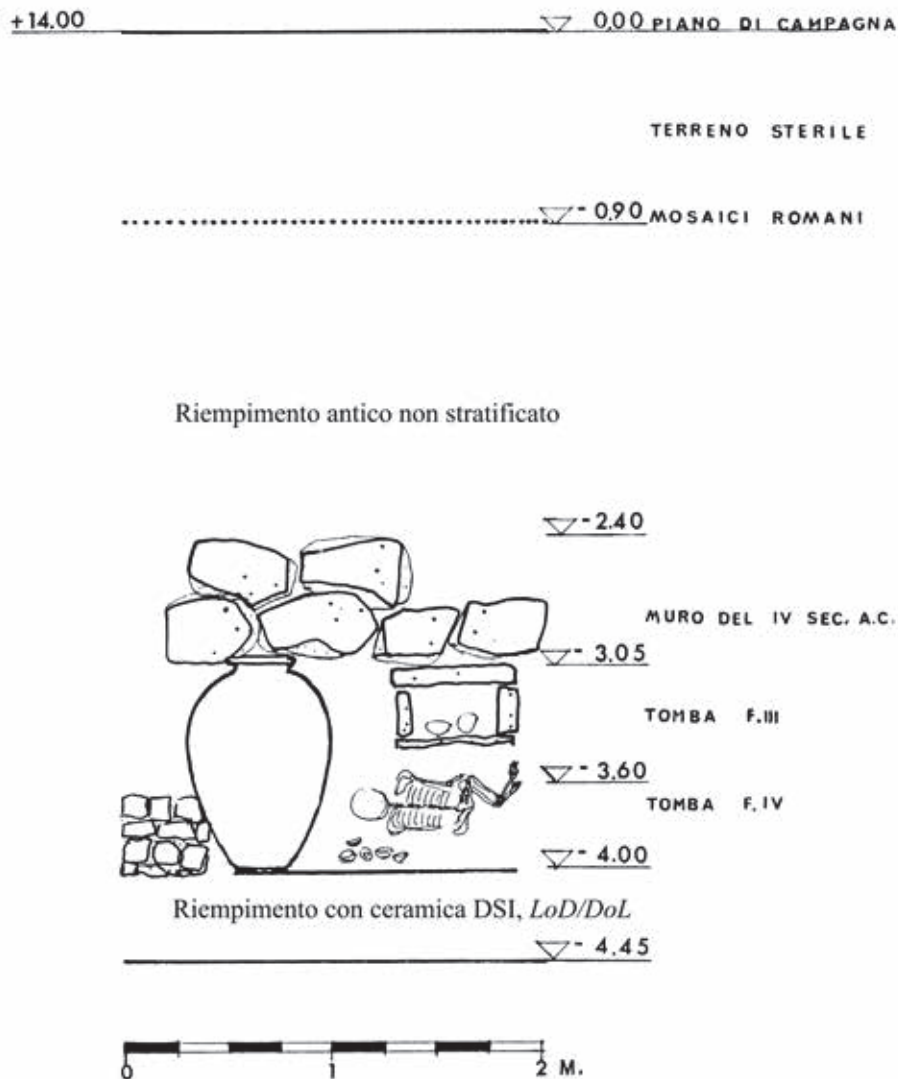


Figura 7:b. Scavi del gennaio 1943. Zona Fadiil: sezione ricostruttiva con le strutture appartenenti alle Città I-IV. Sotto il pavimento della Città I era stratificato un riempimento con ceramica DSI, LoD/DoL (da Morricone 1975, p. 248, fig. 193; con aggiunte dell'autore).

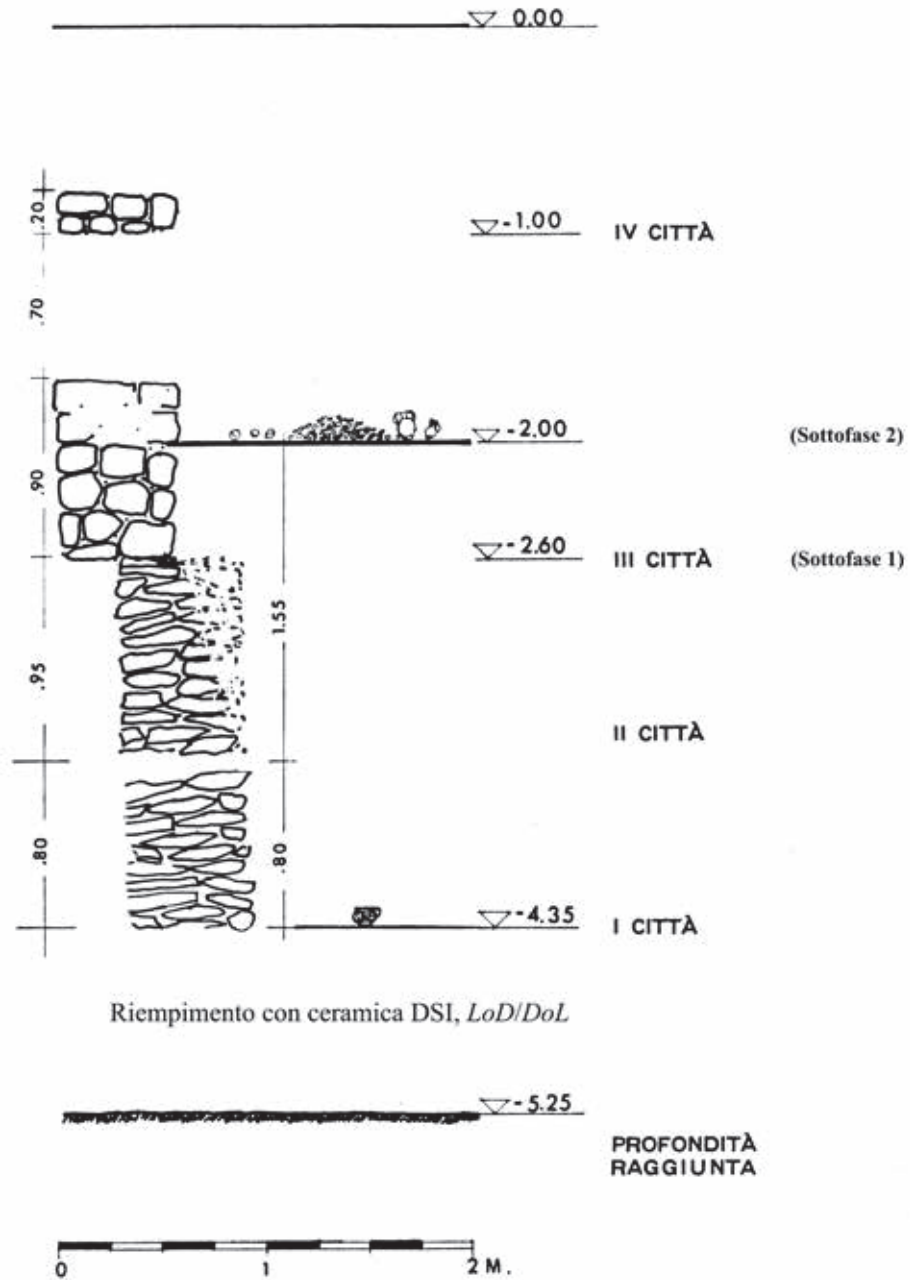


Figura 8. Saggio di scavo effettuato nei mesi di febbraio e marzo del 1946. Serraglio: Zona II, angolo NW, sezione ricostruttiva con le strutture appartenenti alle Città I-IV. Sotto il pavimento della Città I era stratificato un riempimento con ceramica DSI, LoD/DoL (da Morricone 1975, p. 230, fig. 158; con aggiunte dell'autore).

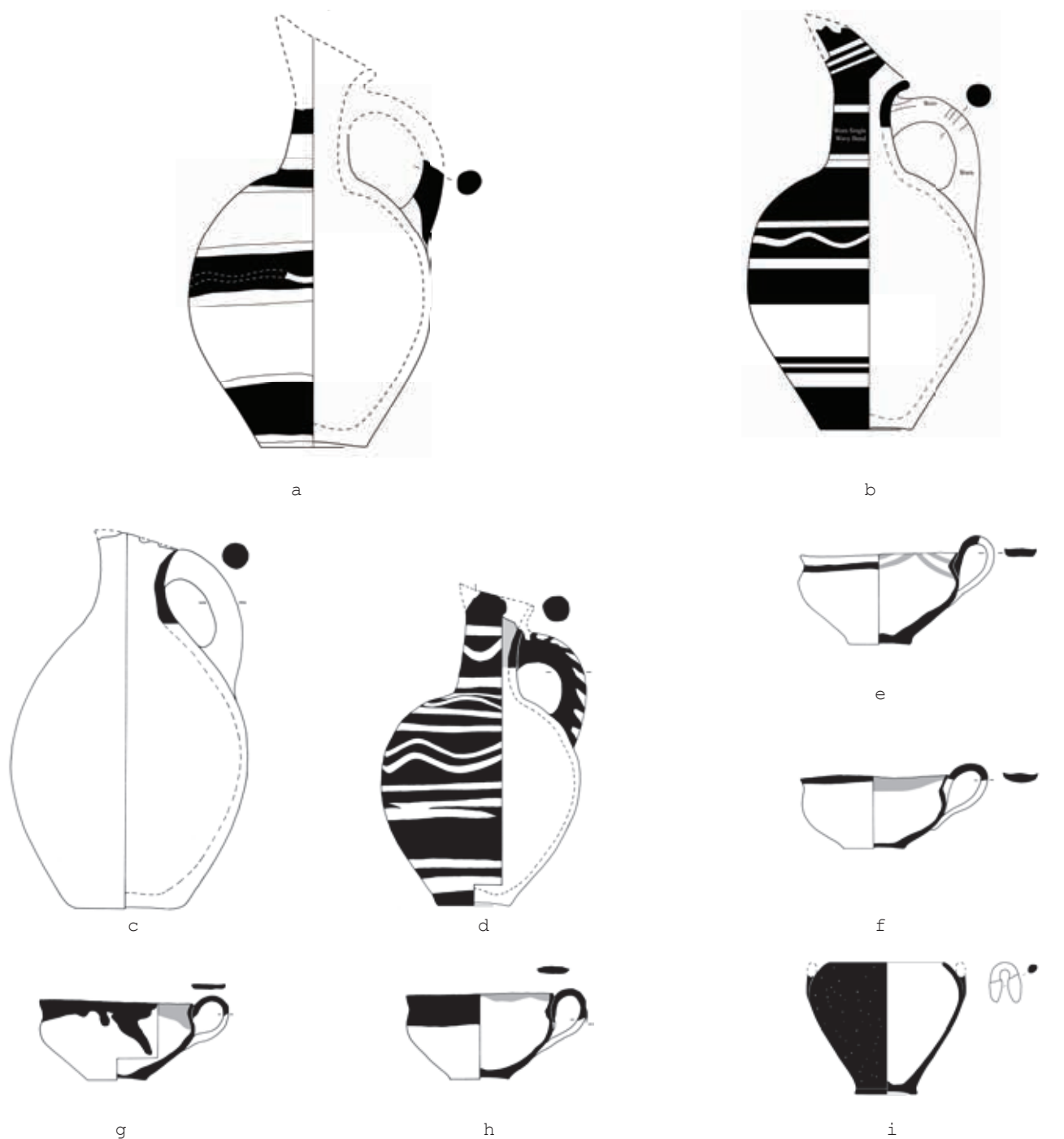


Figura 9. TB IA Iniziale. Serraglio: Zona I, Vano A. Vasi C III:1.a-01:01-09, nn. 1221-1229 (a-b: dis. A. Trecarichi - T. Ross; c-h: dis. A. Caputo; i: dis. S. Regio - M. Rossin - A. Trecarichi).

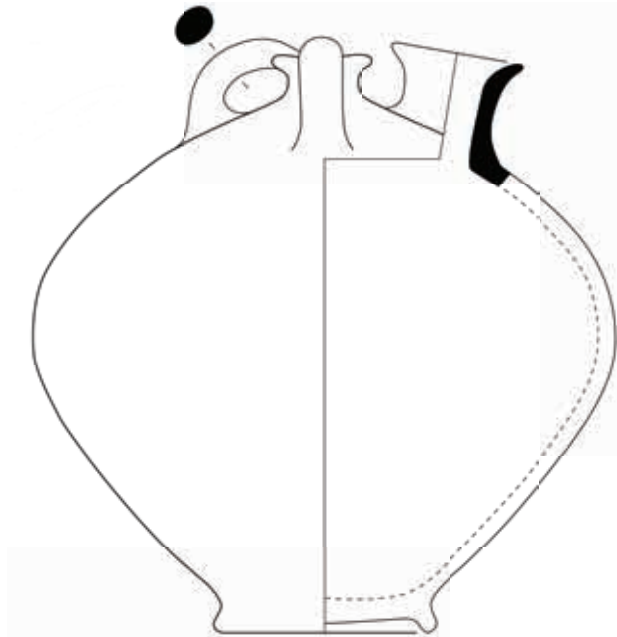


Figura 10:a. TB IA Iniziale. Serraglio: Zona I, Vano Z. Vaso C III:1.a-02:01, n. 1215 (dis. S. Regio - T. Ross).

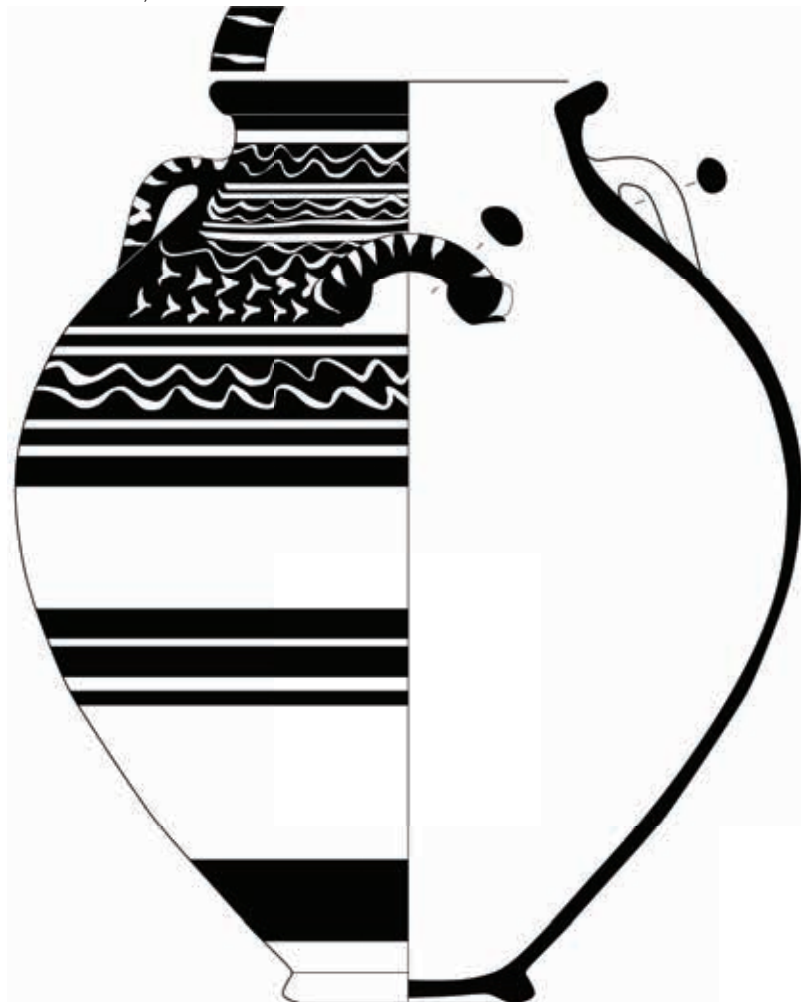


Figura 10:b. TB IA Maturo. Serraglio: Zona III, deposito pavimentale di distruzione. Vaso C III:1.b-01:01, n. 1196 (dis. S. Regio - T. Ross).

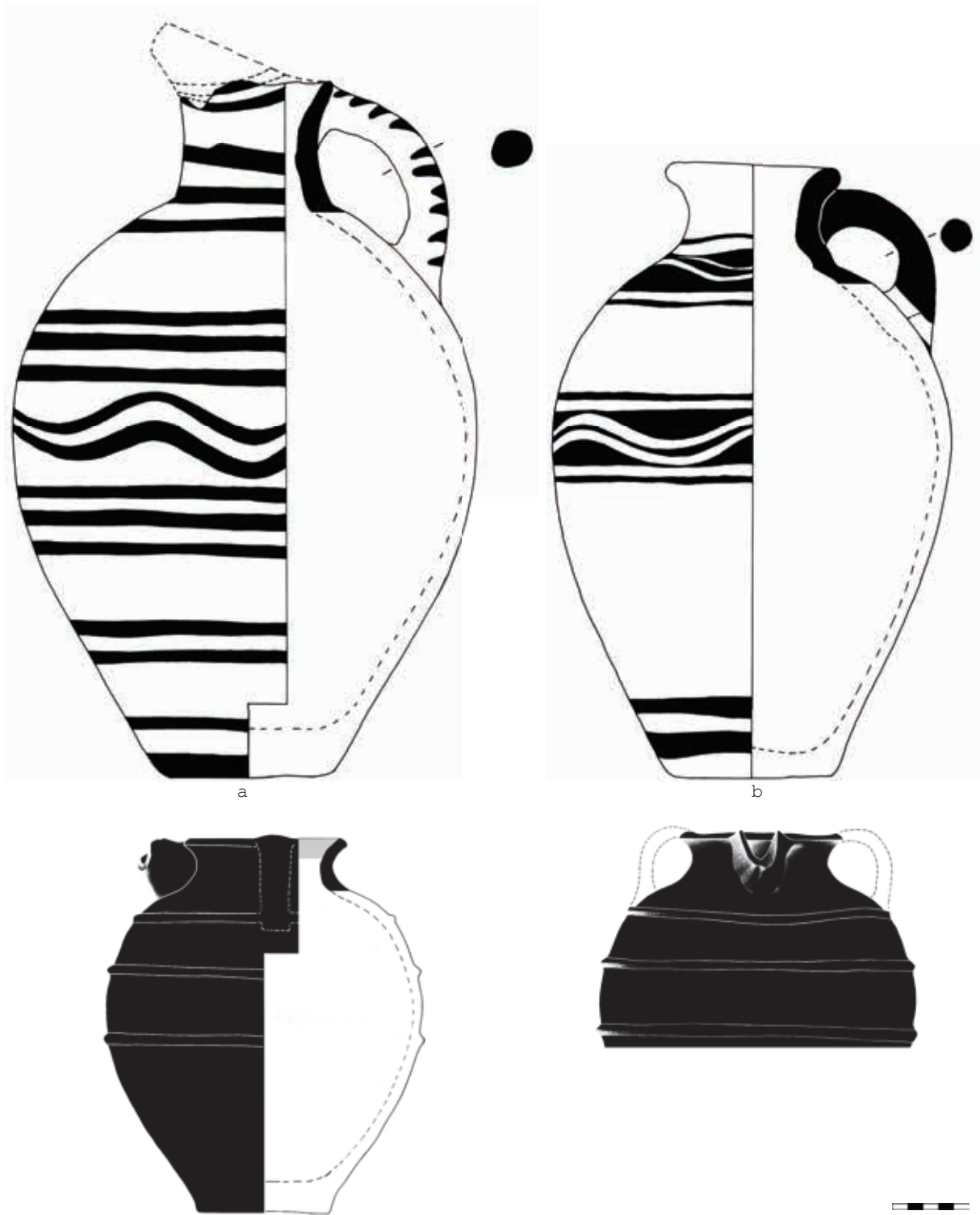


Figura 11. TB IA Maturo. Serraglio: Zona I, saggio sotto le murature della Città I (6 novembre 1940). Vasi C III:1.b-02:01-03, nn. 1205-1206, 1211 (dis. A. Caputo).



Figura 12. Vasi Err. 01-03, nn. 1204, 1238, 1353 (a, c: dis. A. Caputo; b: dis. M. Rossin - T. Ross).

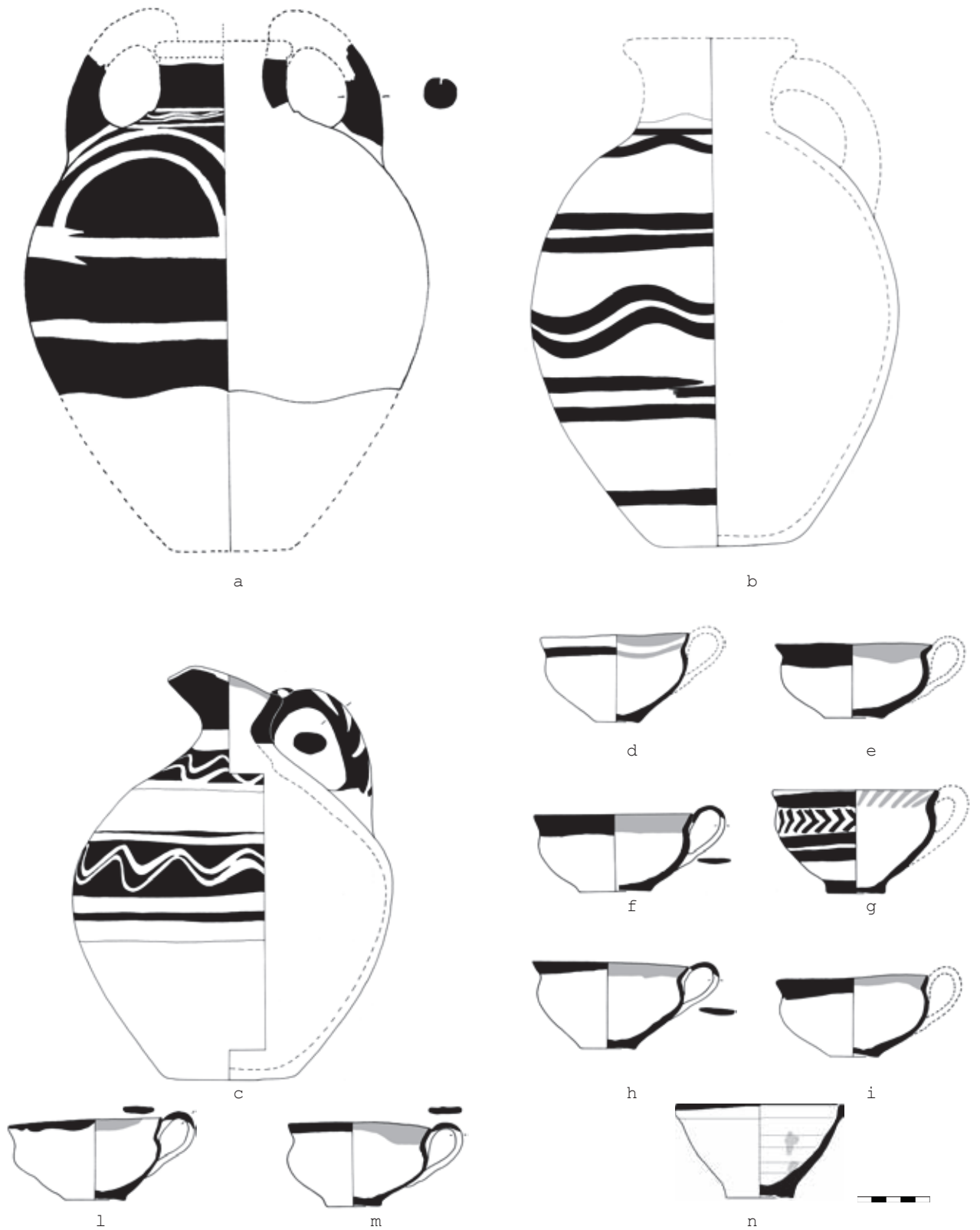


Figura 13. Vasi Err. 04, senza n., 05-14, nn. 1214, 1234, 1242-1243, 1246, 1253-1257, e 15, senza n. (a-n: dis. A. Caputo; dis. S. Regio - T. Ross).

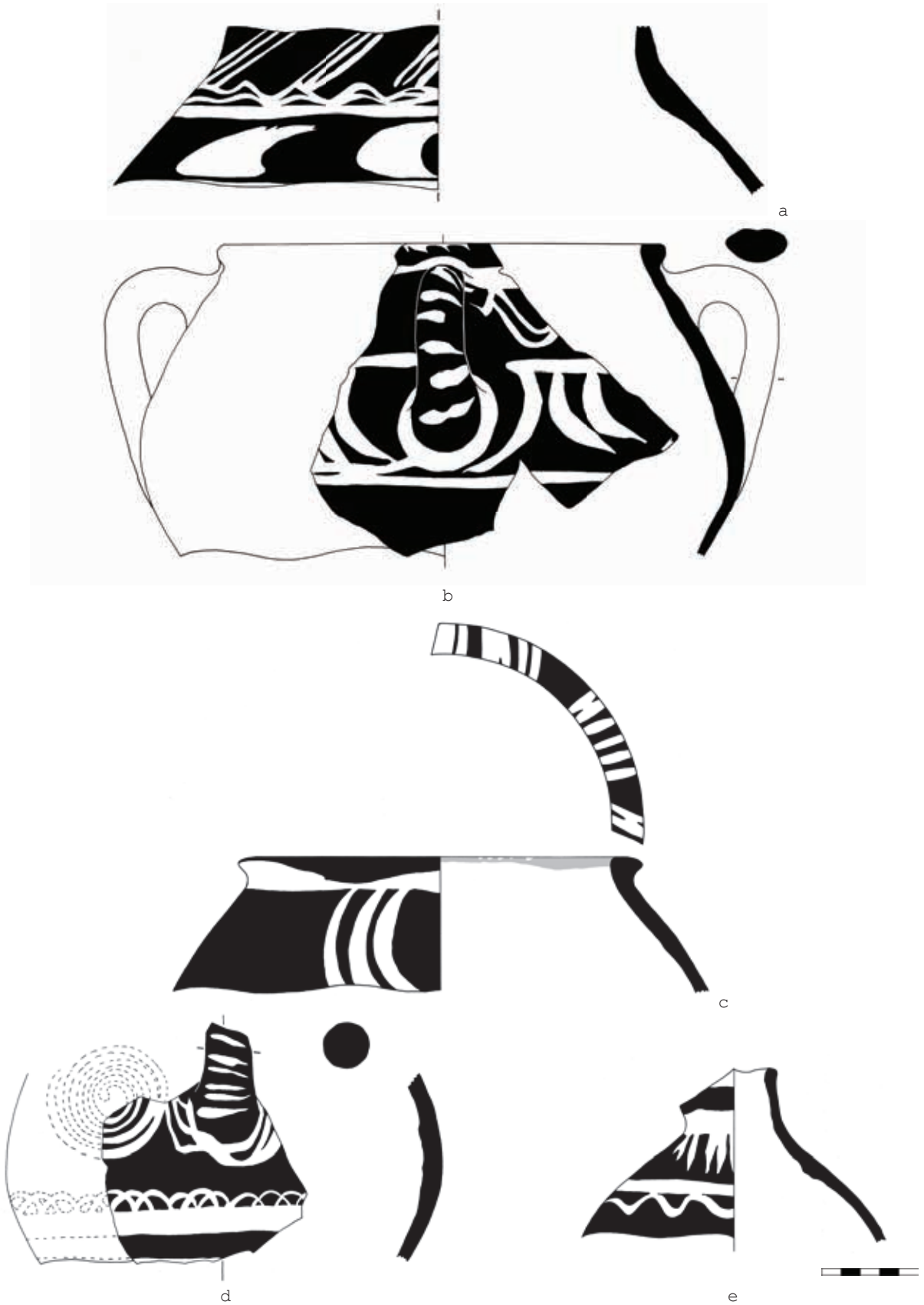


Figura 14. Cassetta 0: frammenti 0:01-05 (dis. A. Caputo).



Figura 15. Cassetta 0: frammenti 0:06-12 (a-e, g: dis. A. Caputo; f: dis. S. Vitale - A. Caputo).



Figura 16. Cassetta 0: frammenti 0:13-17 (dis. A. Caputo).



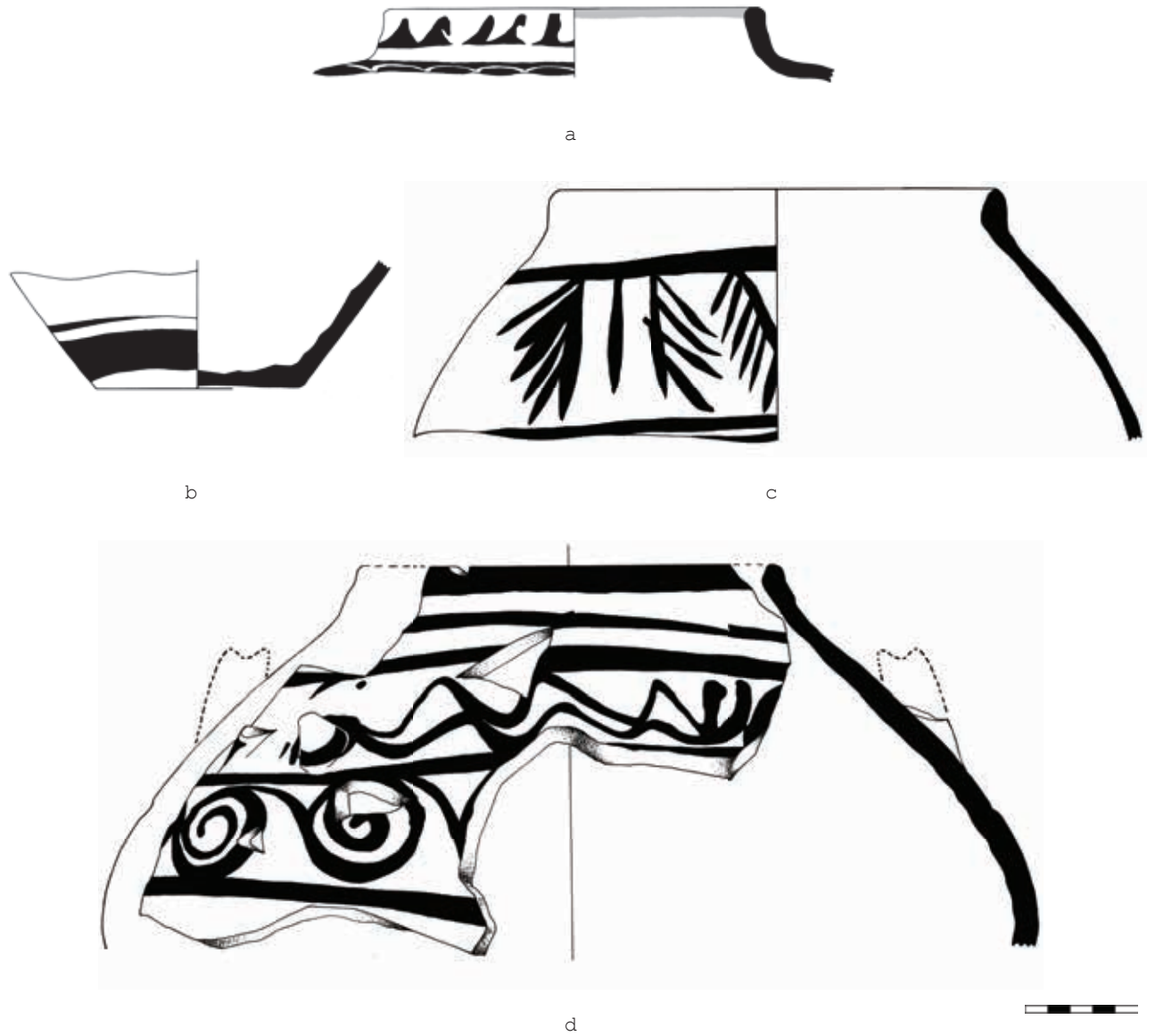


Figura 17. Cassetta 0: frammenti 0:18-21 (a, c-d: dis. A. Caputo; b: dis. S. Vitale - A. Caputo).

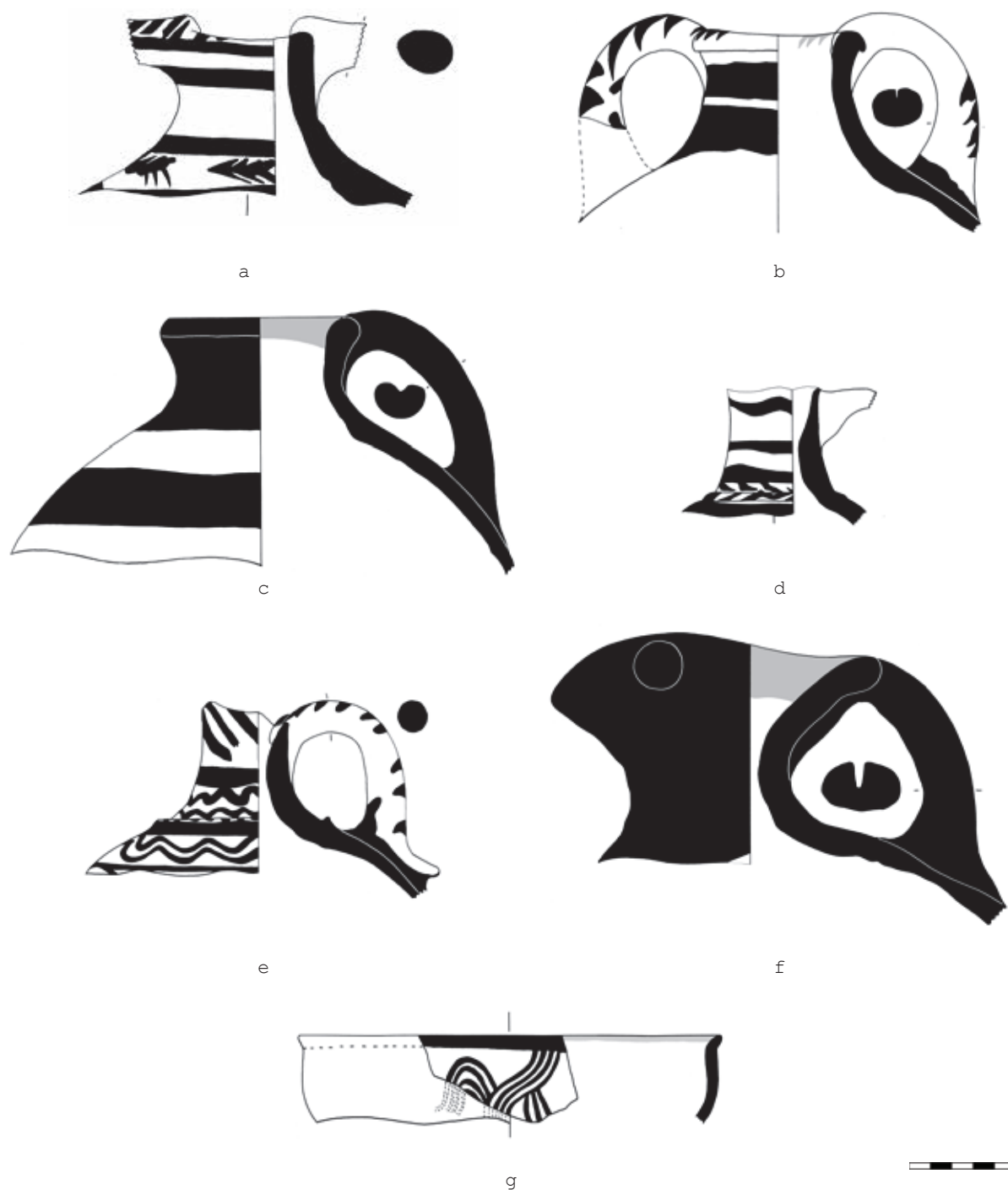


Figura 18. Cassetta 0: frammenti 0:22-28 (a-f: dis. A. Caputo; g: dis. S. Vitale - A. Caputo).

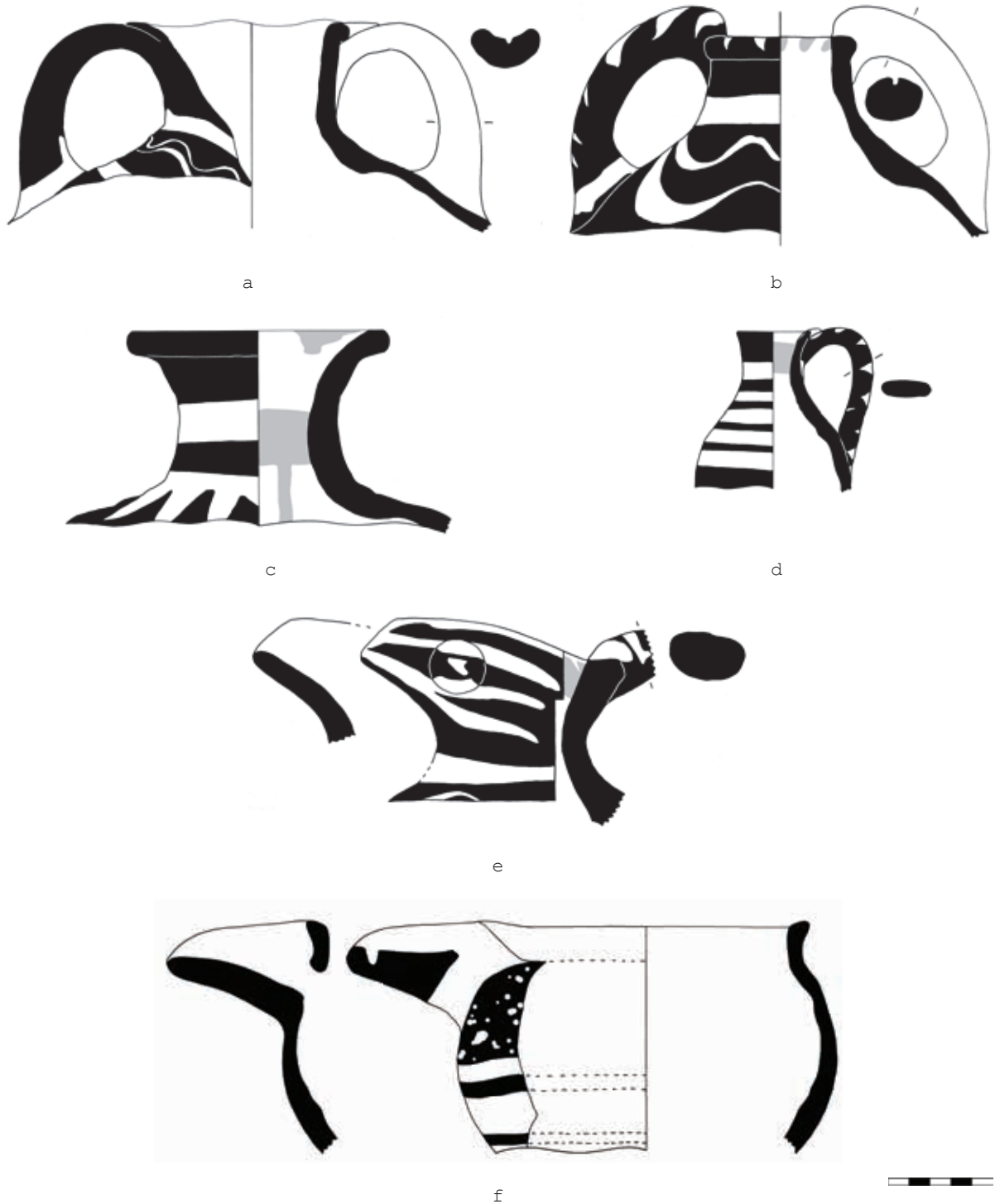


Figura 19. Cassetta 04: frammenti 04:01-06 (dis. A. Caputo).



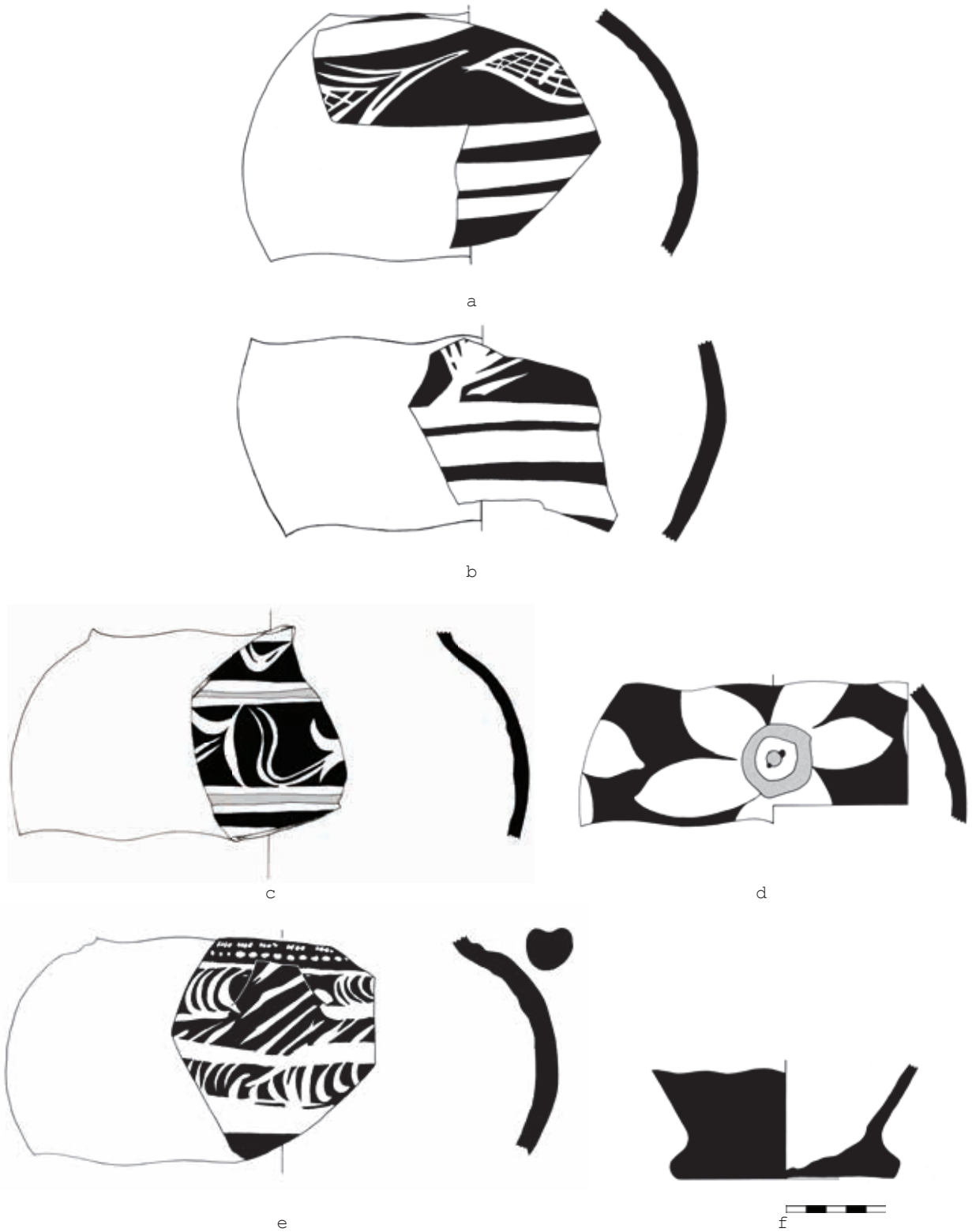


Figura 20. Cassetta 04: frammenti 04:07-12 (a-e: dis. A. Caputo; f: dis. S. Vitale).

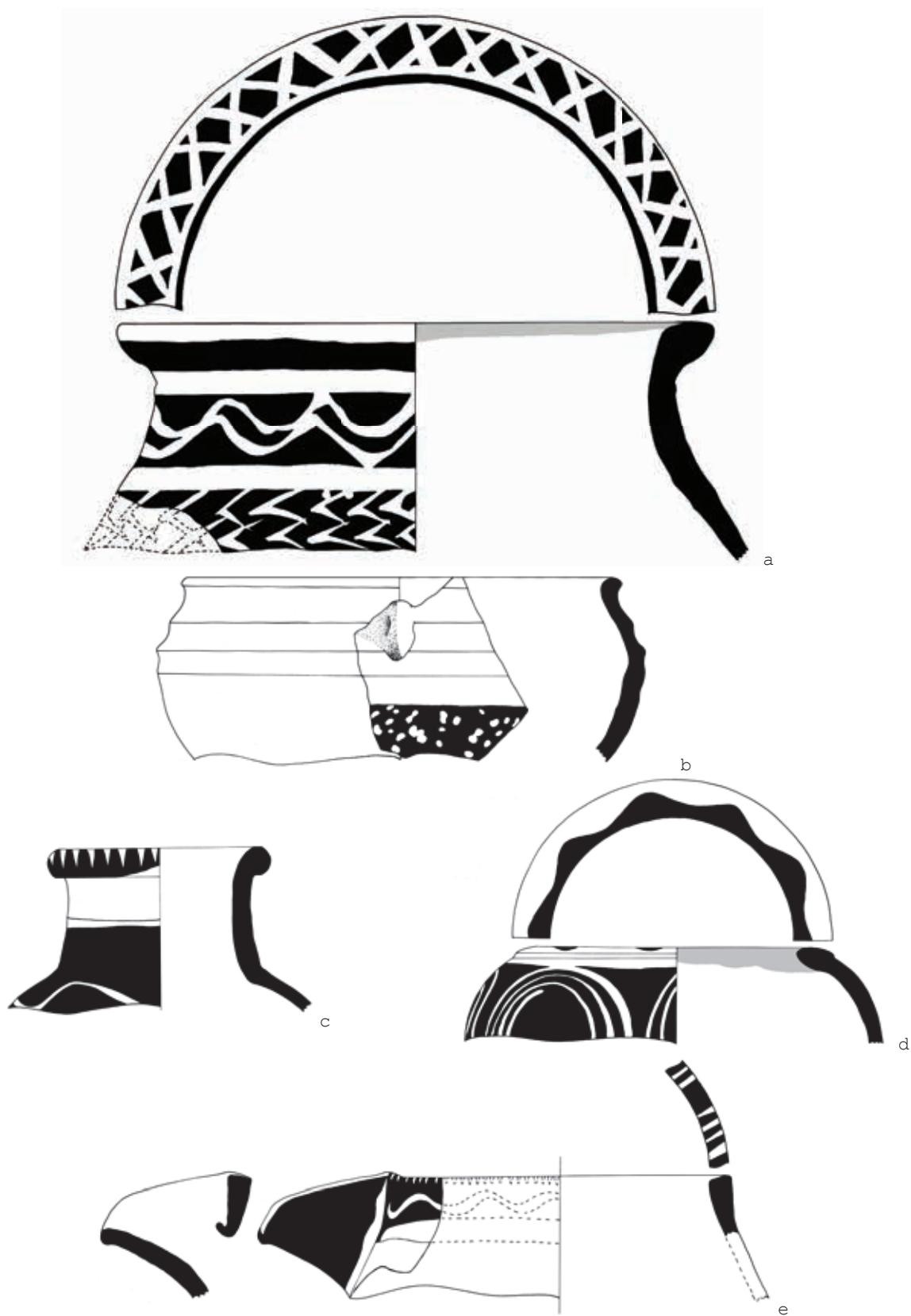


Figura 21. Cassetta 04: frammenti 04:13-17 (a-b, d-e: dis. A. Caputo; c: dis. S. Vitale - A. Caputo).



Figura 22. Cassetta 04: frammenti 04:18-22 (dis. A. Caputo).

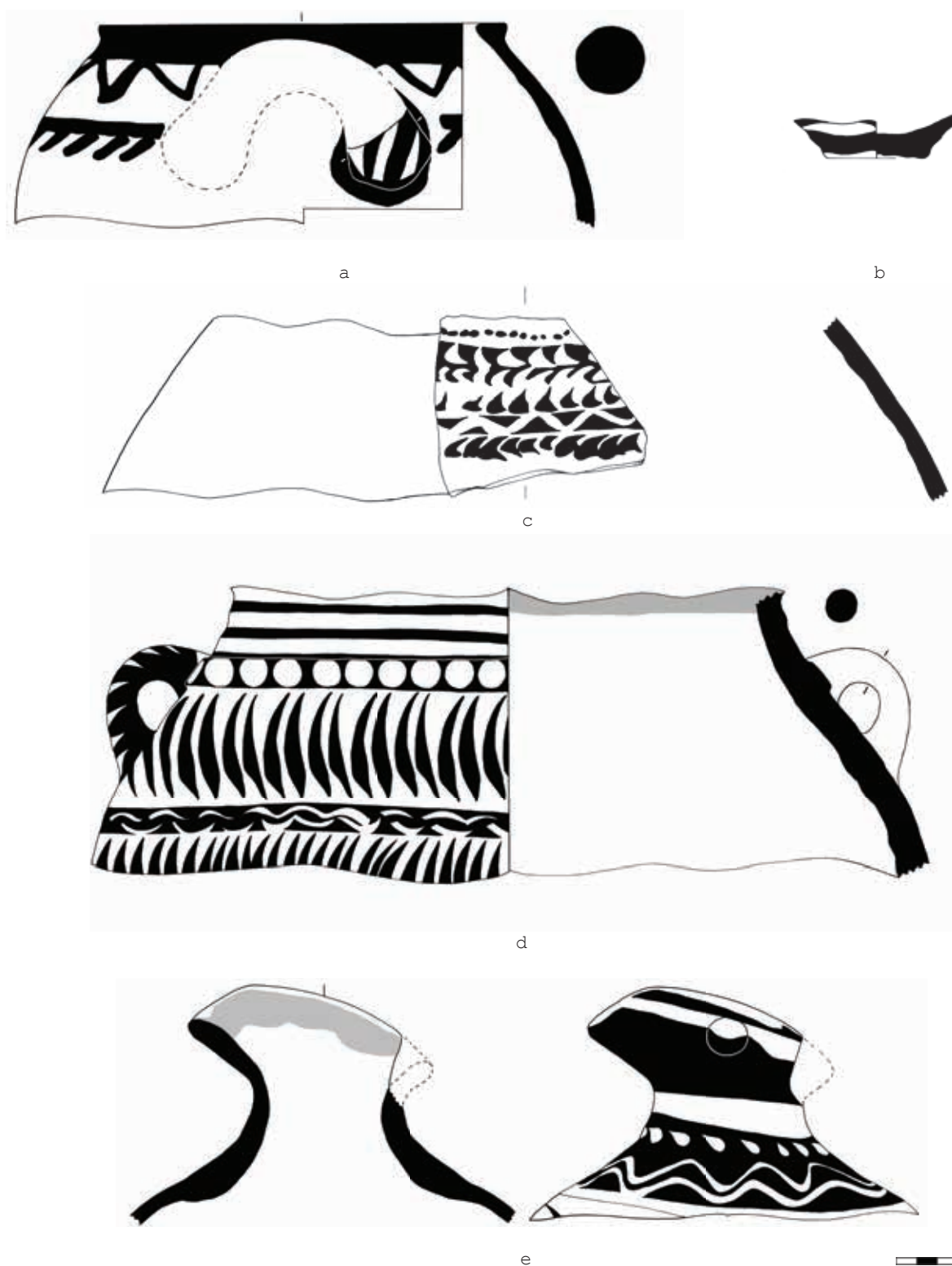


Figura 23. Cassetta 04: frammenti 04:23-27 (a, c-e: dis. A. Caputo; b: dis. S. Vitale - A. Caputo).



Figura 24. Cassetta 15: frammenti 15:01-03 (a-b: dis. A. Caputo; c: dis. A. Caputo - T. Ross).

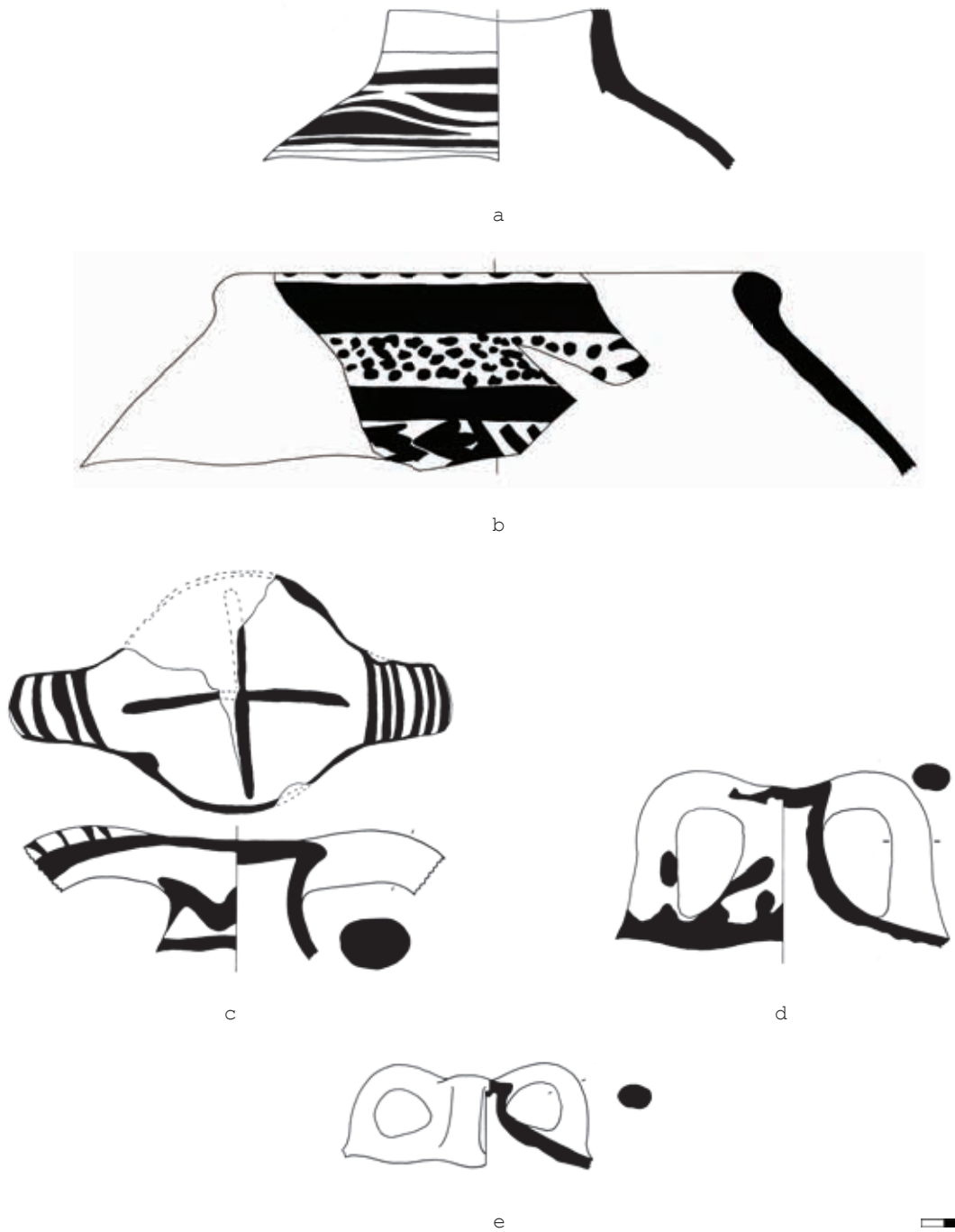


Figura 25. Cassetta 15: frammenti 15:04-08 (dis. A. Caputo).

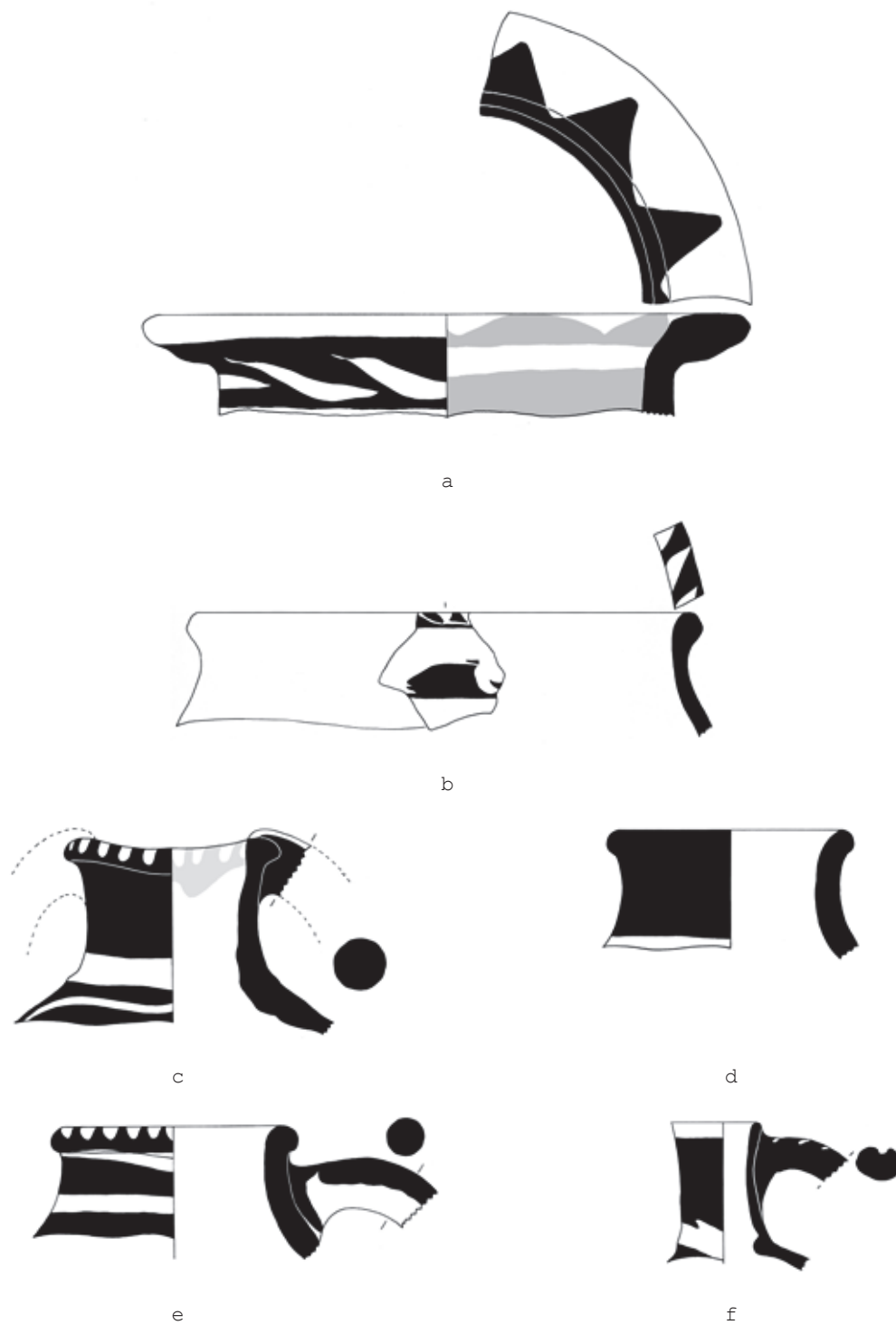


Figura 26. Cassetta 18: frammenti 18:01-06 (a: dis. S. Vitale - A. Caputo; b-c, e-f: dis. A. Caputo; d: dis. S. Vitale).



Figura 27. Cassetta 18: frammenti 18:07-13 (a-c, f-g: dis. A. Caputo; d-e: dis. S. Vitale - A. Caputo).

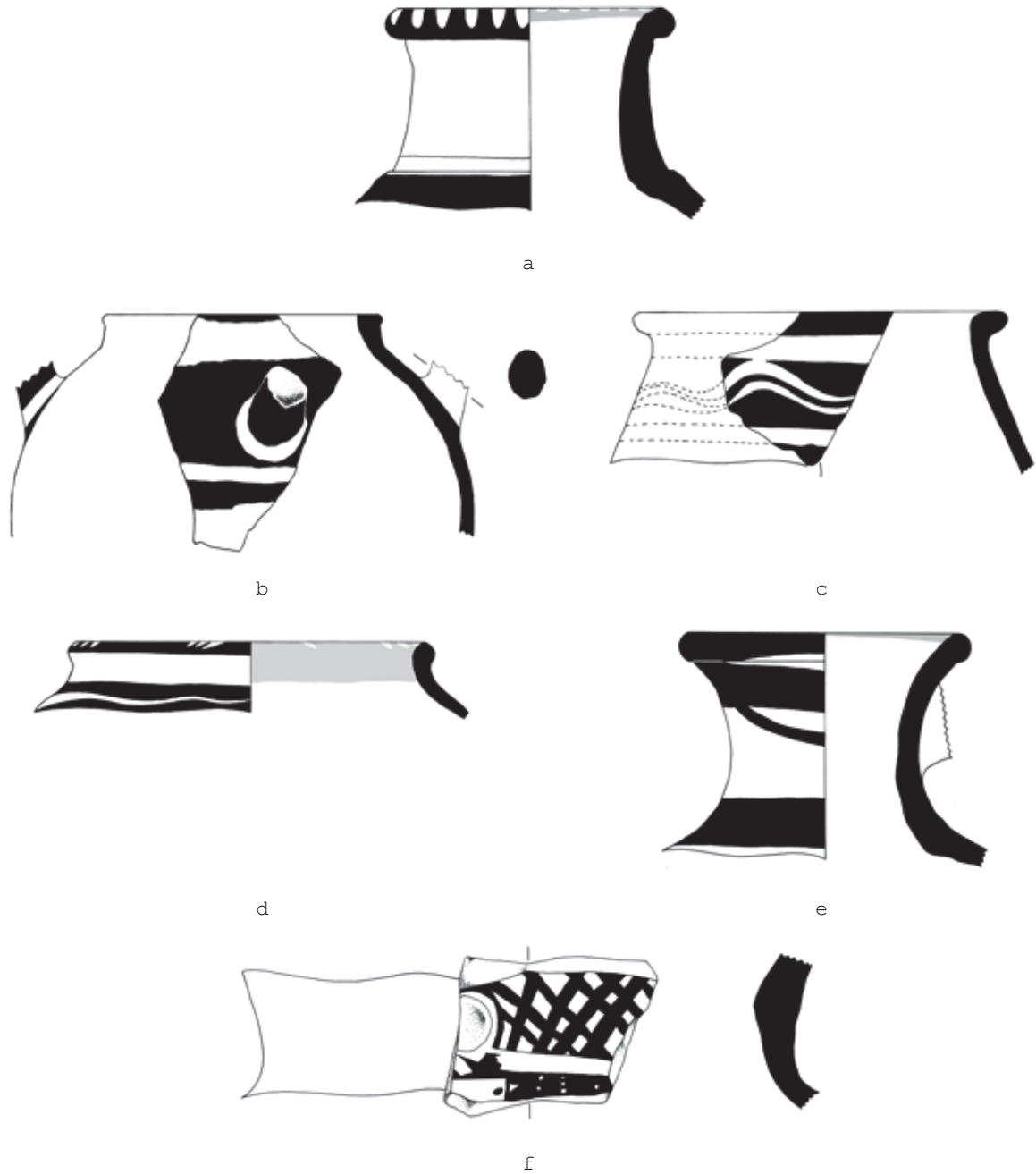
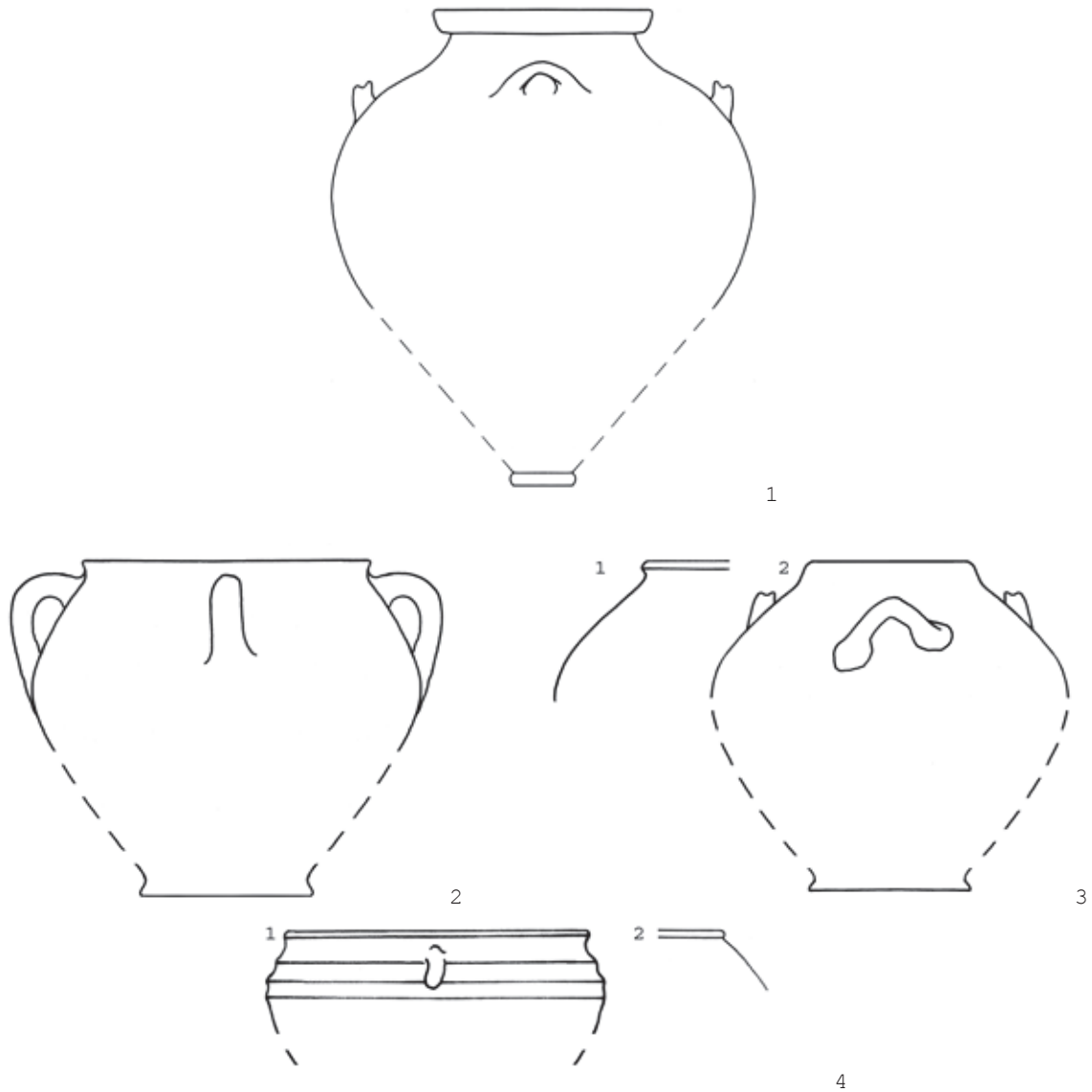


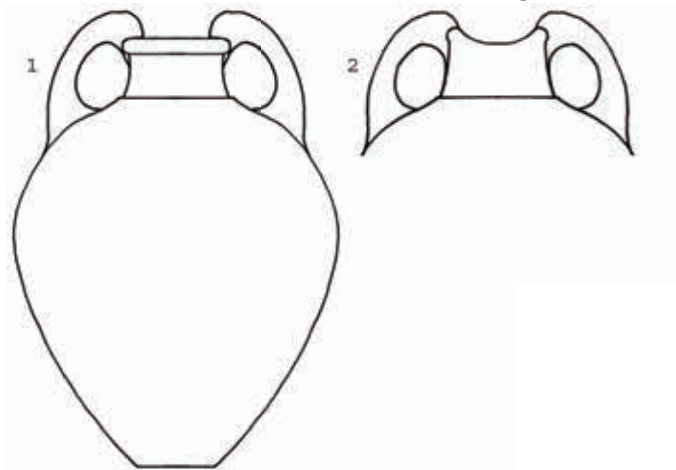
Figura 28. Cassetta 18: frammenti 18:14-19 (a, d-f: dis. A. Caputo; b-c: dis. S. Vitale - A. Caputo).



Figura 29. Cassetta 18: frammenti 18:20-27 (a-c: dis. A. Caputo; d-h: dis. S. Vitale - A. Caputo).



a. F. 1: Pitharaki (*Pithoid jar*)



b. F. 2: Anfora (*Oval-mouthed amphora*)

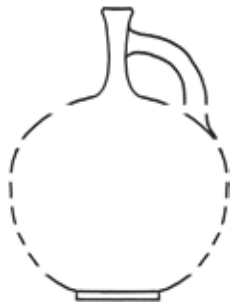
Figura 30. Forme attestate nella ceramica DSI, LoD/DoL (dis. A. Caputo).



1

a. F. 3: Brocca (Round-mouthed jug)

2



b

F. 4: Brocca con collo stretto (Narrow-necked jug)



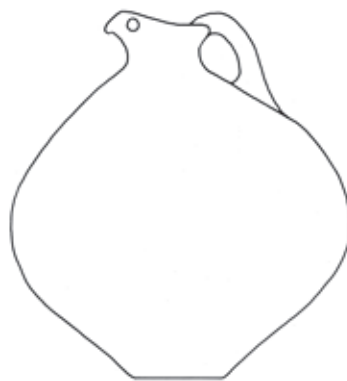
c

F. 5: Brocca con becco obliquo ed alto collo (High-necked beaked jug)



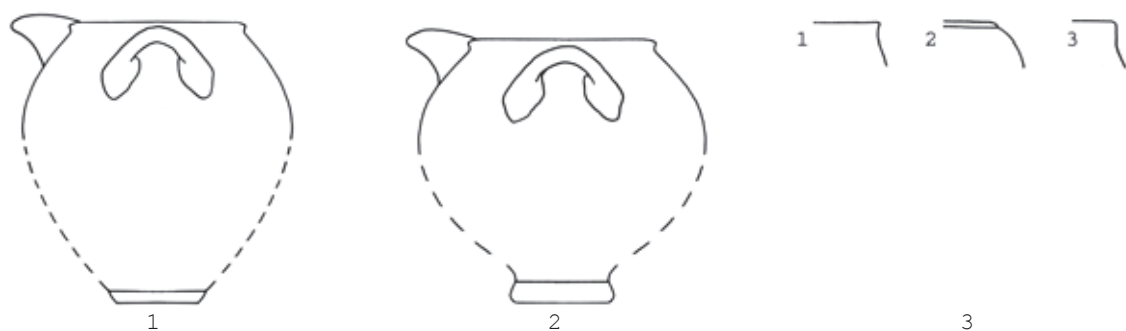
d

F. 6: Brocca con becco obliquo (Beaked jug)



e. F. 7: Oinochoe (Eyed beaked jug)

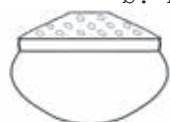
Figura 31. Forme attestate nella ceramica DSI, LoD/DoL (dis. A. Caputo).



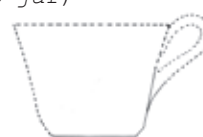
a. F. 8: Olla con o senza beccuccio a ponte (*Hole-mouthed/bridge-spouted jar*)



b. F. 9: Giara a staffa (*Stirrup jar*)



c. F. 10: Incensiere (*Firebox*)



d. F. 11: Tazza cilindrica (*Straight-sided cup*)



1



2

e. F. 12: Bacino (*Basin*)

Figura 32. Forme attestate nella ceramica DSI, LoD/DoL (a-b: dis. A. Caputo; c: dis. C. McNamee; d-e: dis. S. Vitale).



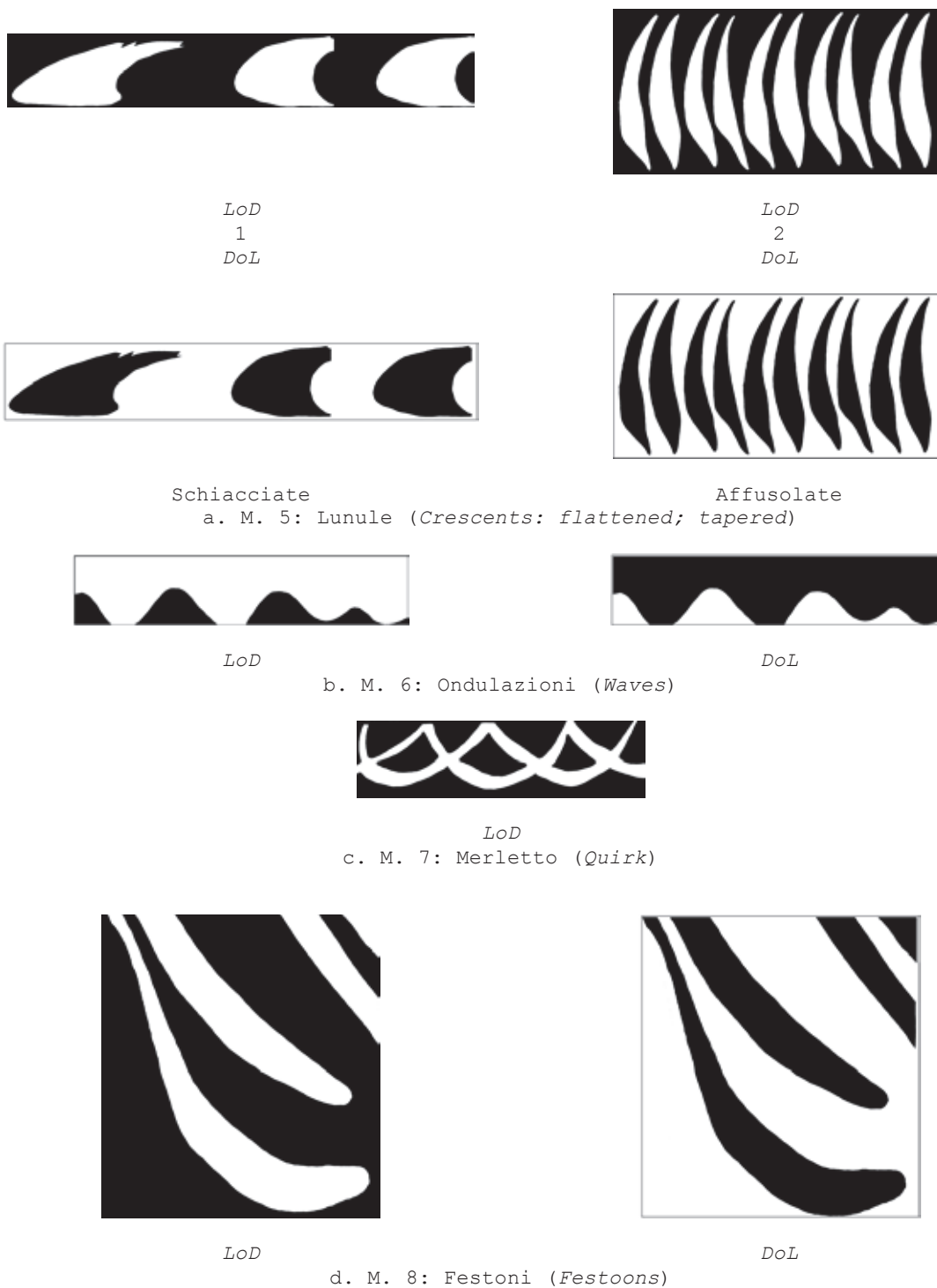
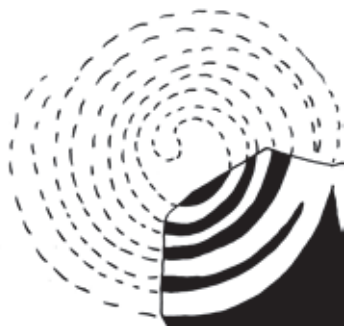


Figura 34. Motivi decorativi attestati nella ceramica DSI, LoD/DoL (dis. S. Vitale - A. Caputo).



1  
"J" semplice



2  
"J" con stelo a rametto

LoD



3  
Correnti "J"



LoD

DoL

a. M. 9: Spirali (*Spirals: "J", simple; "J" with foliate stem; "J", running*)



LoD

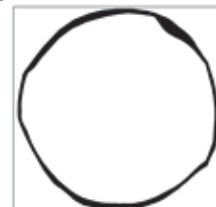


DoL

b. M. 10: Gocce (*Foliate drops*)



LoD



DoL

c. M. 11: Cerchio (*Circle*)



LoD

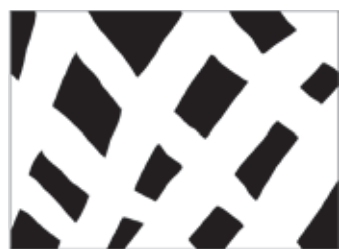
d. M. 12: Dischi (*Discs*)



LoD

e. M. 13: Grata (*Checkerboard pattern*)

Figura 35. Motivi decorativi attestati nella ceramica DSI, LoD/DoL (dis. S. Vitale - A. Caputo).



*LoD*



*DoL*

a. M. 14: Rete (*Net pattern*)



*LoD*

b. M. 15: Corolla a zig-zag (*Zig-zag flower*)



*LoD*

c. M. 16: Croce (*Cross*)



*LoD*



*DoL*

d. M. 17: “Ruota” (*“Wheel”*)



*LoD*



*DoL*

e. M. 18: Marmorizzazione (*Stone pattern*)

Figura 36. Motivi decorativi attestati nella ceramica DSI, *LoD/DoL* (dis. S. Vitale - A. Caputo).



*LoD*

a. M. 19: Narciso (*Narcissus flower*)



*LoD*



*DoL*

b. M. 20: Corolla (*Flower*)



*LoD*

c. M. 21: Corolla pendula (*Running flower*)



*LoD*

d. M. 22: Boccio a racchetta (*Hatched flower bud*)



*LoD*



*DoL*

e. M. 23: Collana di foglie (*Leaf necklace*)

Figura 37. Motivi decorativi attestati nella ceramica DSI, *LoD/DoL* (dis. S. Vitale - A. Caputo).



*LoD*



*DoL*

a. M. 24: Foglie (*Leaves*)



1

Isolato

*LoD*



*LoD*



*DoL*

2

In serie

b. M. 25: Rametto (*Foliate band: isolated; in a series*)



*LoD*



*DoL*

c. M. 26: Cespuglio (*Reed pattern*)

Figura 38. Motivi decorativi attestati nella ceramica DSI, *LoD/DoL* (dis. S. Vitale - A. Caputo).



Tavola 1:a. Kos prima del terremoto del 1933 con l'edificio detto del Serraglio in fondo a destra (da W; da Morricone 1975, p. 150, fig. 5).

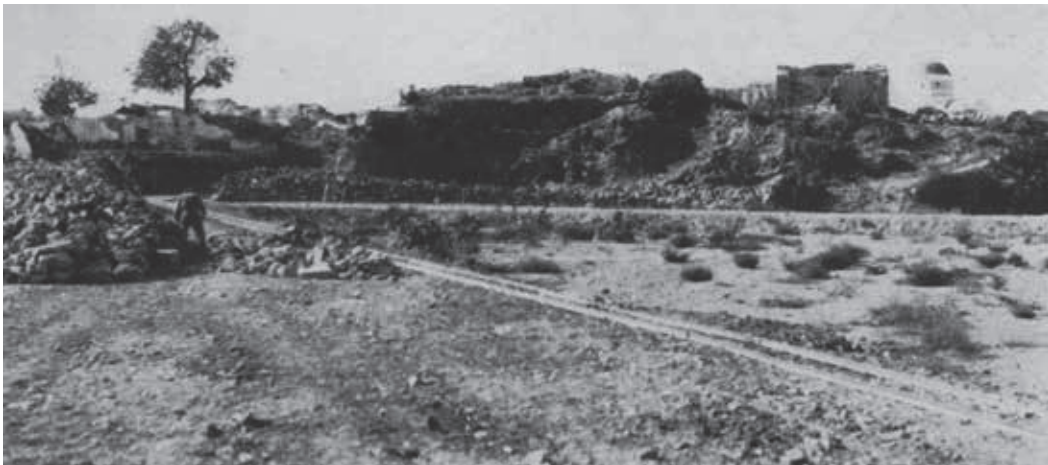
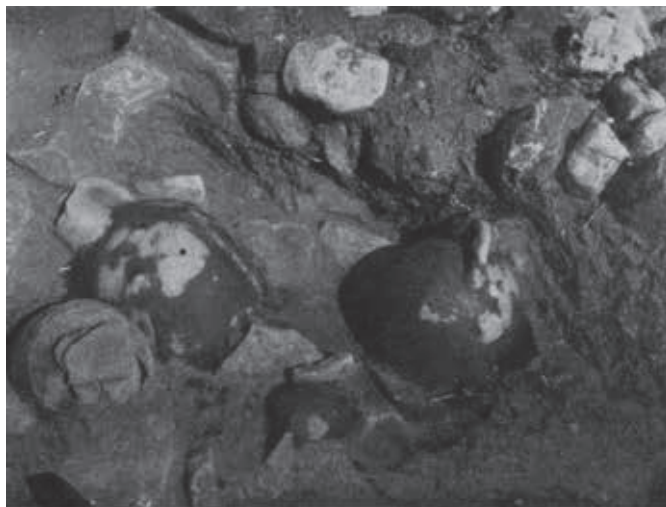


Tavola 1:b. Le rovine del Serraglio dopo il terremoto del 1933 e l'apertura delle nuove strade (da SE e S; da Morricone 1975, pp. 151, 154, figg. 6, 11).



Tavola 2:a. Saggio di scavo del 12 giugno 1936. Serraglio: Zona III, pitharaki n. 1196 (da N; da Morricone 1975, p. 191, fig. 76).



b

Tavola 2:b. Saggio di scavo del 6 novembre 1940. Serraglio: Zona I, vasi rinvenuti *in situ* sotto le murature della Città I (da E; da Morricone 1975, p. 194, fig. 82).



Tavola 2:c. Scavo effettuato nel giugno 1942. Serraglio: Zona I, immagini del Vano A da due diverse angolazioni (da Morricone 1975, p. 196, figg. 85-86).

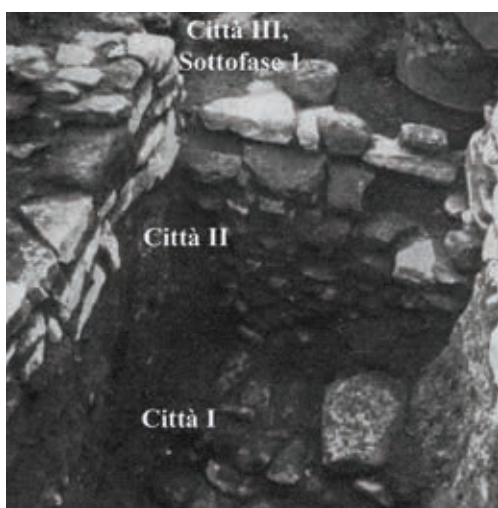


Tavola 2:d. Scavi febbraio-marzo 1946. Serraglio: Zona II, angolo NW, strutture delle Città I-IV (da E; da Morricone 1975, pp. 227, 231, figg. 154, 159; con aggiunte dell'autore).



a



b



c



d



e



f



g



h



i



Tavola 3. TB IA Iniziale. Serraglio: Zona I, Vano A. Vasi C III:1.a-01:01-09, nn. 1221-1229 (foto S. Vitale).



Tavola 4:a. TB IA Iniziale. Serraglio: Zona I, Vano Z. Vaso C III:1.a-02:01, n. 1215 (foto S. Vitale).



Tavola 4:b. TB IA Maturo. Serraglio: Zona III, deposito pavimentale di distruzione. Vaso C III:1.b-01:01, n. 1196 (foto S. Vitale).



a



b



c



Tavola 5. TB IA Maturo. Serraglio: Zona I, saggio sotto le murature della Città I (6 novembre 1940). Vasi C III:1.b-02:01-03, nn. 1205-1206, 1211 (foto S. Vitale).



a



b



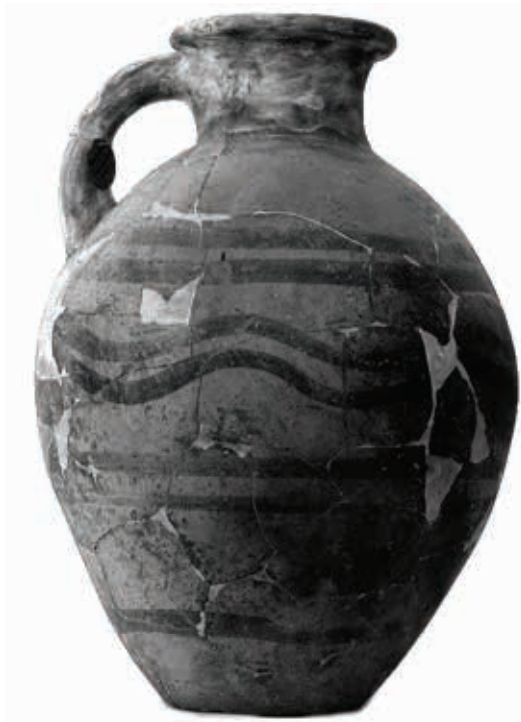
c

Tavola 6. Vasi Err. 01-03, nn. 1204, 1238, 1353 (foto S. Vitale).





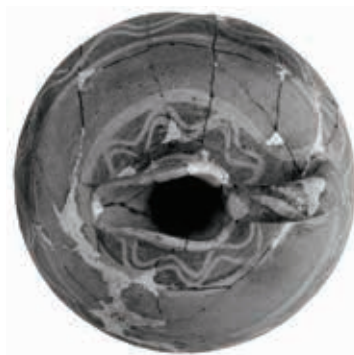
a



b

Tavola 7. Vasi Err. 04, senza n., e 05, n. 1214 (foto S. Vitale).





a



b



c



d



e



f



g



h



i



l

Tavola 8. Vasi Err. 06-14, nn. 1234, 1242-1243, 1246, 1253-1257, e 15, senza n. (foto S. Vitale).



a



b



c



d



e

Tavola 9. Cassetta 0: frammenti 0:01-05 (foto S. Vitale).





a



b



c



d



e



f



g

Tavola 10. Cassetta 0: frammenti 0:06-12 (foto S. Vitale).





a



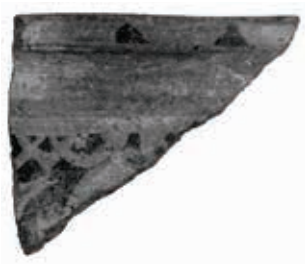
b



c



d



e

Tavola 11. Cassetta 0: frammenti 0:13-17 (foto S. Vitale).





a



b



c



d

Tavola 12. Cassetta 0: frammenti 0:18-21 (foto S. Vitale).





a



b



c



d



e



f



g

Tavola 13. Cassetta 0: frammenti 0:22-28 (foto S. Vitale).





a



b



c



d



e



f

Tavola 14. Cassetta 04: frammenti 04:01-06 (foto S. Vitale).





a



b



c



d



e



f

Tavola 15. Cassetta 04: frammenti 04:07-12 (foto S. Vitale).





a



b



c



d



e



f

Tavola 16. Cassetta 04: frammenti 04:13-18 (foto S. Vitale).





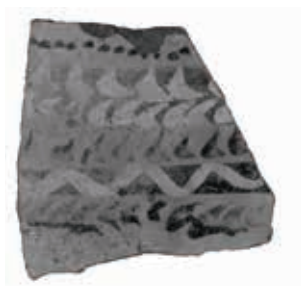
Tavola 17. Cassetta 04: frammenti 04:19-22 (foto S. Vitale).



a



b



c



d



e

Tavola 18. Cassetta 04: frammenti 04:23-27 (foto S. Vitale).





a



b



c

Tavola 19. Cassetta 15: frammenti 15:01-03 (foto S. Vitale).





a



b



c



d



e

Tavola 20. Cassetta 15: frammenti 15:04-08 (foto S. Vitale).





Tavola 21. Cassetta 18: frammenti 18:01-06 (foto S. Vitale).



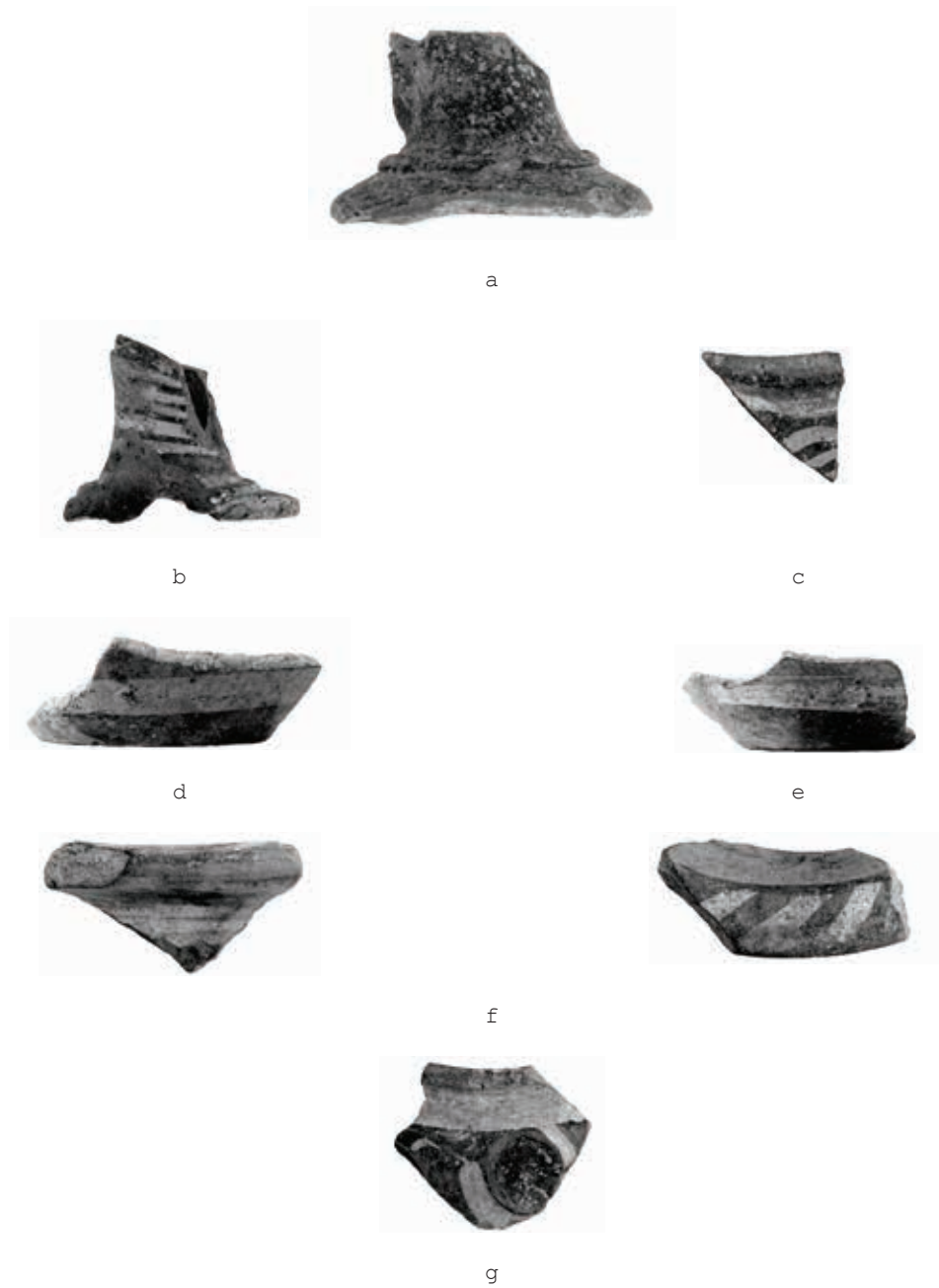


Tavola 22. Cassetta 18: frammenti 18:07-13 (foto S. Vitale).





a



b



c



d



e



f

Tavola 23. Cassetta 18: frammenti 18:14-19 (foto S. Vitale).





Tavola 24. Cassetta 18: frammenti 18:20-27 (foto S. Vitale).

